

# Inzicht in extreme golfcondities

Stormmetingen en SWAN berekeningen  
Bijlage: Aanvullende figuren berekeningen

J. Dekker

Verslag  
december 2000



# Lijst van Figuren

## A. Westerschelde

1. Roosters
2. Diepte schematisatie en uitvoerlocaties
3. Resultaten Case c10: 900125 19:30
  - a. Contourplots van  $H_s$ , en  $TM_{-1,0}$
  - b. Contourplots van  $T_p$  en  $T_{pm}$
  - c. Gemeten en berekende spectra c10
  - d. Gemeten en berekende spectra c11
  - e. Gemeten en berekende spectra c12
  - f. Gemeten en berekende spectra f13
4. Resultaten Case c20: 900125 20:30
  - a. Contourplots van  $H_s$ , en  $TM_{-1,0}$
  - b. Contourplots van  $T_p$  en  $T_{pm}$
  - c. Gemeten en berekende spectra c20
5. Resultaten Case c30: 900125 23:30
  - a. Contourplots van  $H_s$ , en  $TM_{-1,0}$
  - b. Contourplots van  $T_p$  en  $T_{pm}$
  - c. Gemeten en berekende spectra c30
6. Resultaten Case f40: 900128 10:30
  - a. Contourplots van  $H_s$ , en  $TM_{-1,0}$
  - b. Contourplots van  $T_p$  en  $T_{pm}$
  - c. Gemeten en berekende spectra f40

## B. Walcheren

1. Roosters
2. Diepte schematisatie en uitvoerlocaties
3. Resultaten Case c10: 900125 19:00
  - a. Contourplots van  $H_s$ , en  $TM_{-1,0}$
  - b. Contourplots van  $T_p$  en  $T_{pm}$
  - c. Gemeten en berekende spectra c10
  - d. Gemeten en berekende spectra c11
  - e. Gemeten en berekende spectra c12
  - f. Gemeten en berekende spectra c13

4. Resultaten Case c20: 900125 21:00
  - a. Contourplots van  $H_s$ , en  $TM_{-1,0}$
  - b. Contourplots van  $T_p$  en  $T_{pm}$
  - c. Gemeten en berekende spectra c20
  - d. Gemeten en berekende spectra c21
  - e. Gemeten en berekende spectra c22
  
5. Resultaten Case f30: 900228 03:00
  - a. Contourplots van  $H_s$ , en  $TM_{-1,0}$
  - b. Contourplots van  $T_p$  en  $T_{pm}$
  - c. Gemeten en berekende spectra f30
  - d. Gemeten en berekende spectra f31

### C. Oosterschelde

1. Roosters
  
2. Diepte schematisatie en uitvoerlocaties
  
3. Resultaten Case c10: 900125 18:30
  - a. Contourplots van  $H_s$ , en  $TM_{-1,0}$
  - b. Contourplots van  $T_p$  en  $T_{pm}$
  - c. Gemeten en berekende spectra c10
  - d. Gemeten en berekende spectra c11
  - e. Gemeten en berekende spectra c12
  - f. Gemeten en berekende spectra c13
  - g. Gemeten en berekende spectra c14
  
4. Resultaten Case c20: 900125 19:00
  - a. Contourplots van  $H_s$ , en  $TM_{-1,0}$
  - b. Contourplots van  $T_p$  en  $T_{pm}$
  - c. Gemeten en berekende spectra c20
  
5. Resultaten Case c30: 900125 19:30
  - a. Contourplots van  $H_s$ , en  $TM_{-1,0}$
  - b. Contourplots van  $T_p$  en  $T_{pm}$
  - c. Gemeten en berekende spectra c30

3. Resultaten Case c10: 890214 06:00
  - a. Contourplots van  $H_s$ , en  $TM_{-1,0}$
  - b. Contourplots van  $T_p$  en  $T_{pm}$
  - c. Gemeten en berekende spectra c10
  - d. Gemeten en berekende spectra c11
  - e. Gemeten en berekende spectra c12
  
4. Resultaten Case m10: 890214 06:00
  - a. Contourplots van  $H_s$ , en  $TM_{-1,0}$
  - b. Contourplots van  $T_p$  en  $T_{pm}$
  - c. Gemeten en berekende spectra m10
  - d. Gemeten en berekende spectra m11
  - e. Gemeten en berekende spectra m12
  
5. Resultaten Case w10: 890214 06:00
  - a. Contourplots van  $H_s$ , en  $TM_{-1,0}$
  - b. Contourplots van  $T_p$  en  $T_{pm}$
  - c. Gemeten en berekende spectra w10
  - d. Gemeten en berekende spectra w11
  - e. Gemeten en berekende spectra w12
  
6. Resultaten Case x10: 890214 06:00
  - a. Contourplots van  $H_s$ , en  $TM_{-1,0}$
  - b. Contourplots van  $T_p$  en  $T_{pm}$
  - c. Gemeten en berekende spectra x10
  - d. Gemeten en berekende spectra x11
  - e. Gemeten en berekende spectra x12
  
7. Resultaten Case y10: 890214 06:00
  - a. Contourplots van  $H_s$ , en  $TM_{-1,0}$
  - b. Contourplots van  $T_p$  en  $T_{pm}$
  - c. Gemeten en berekende spectra y10
  - d. Gemeten en berekende spectra y11
  - e. Gemeten en berekende spectra y12
  
8. Resultaten Case z10: 890214 06:00
  - a. Contourplots van  $H_s$ , en  $TM_{-1,0}$
  - b. Contourplots van  $T_p$  en  $T_{pm}$
  - c. Gemeten en berekende spectra z10
  - d. Gemeten en berekende spectra z11
  - e. Gemeten en berekende spectra y12

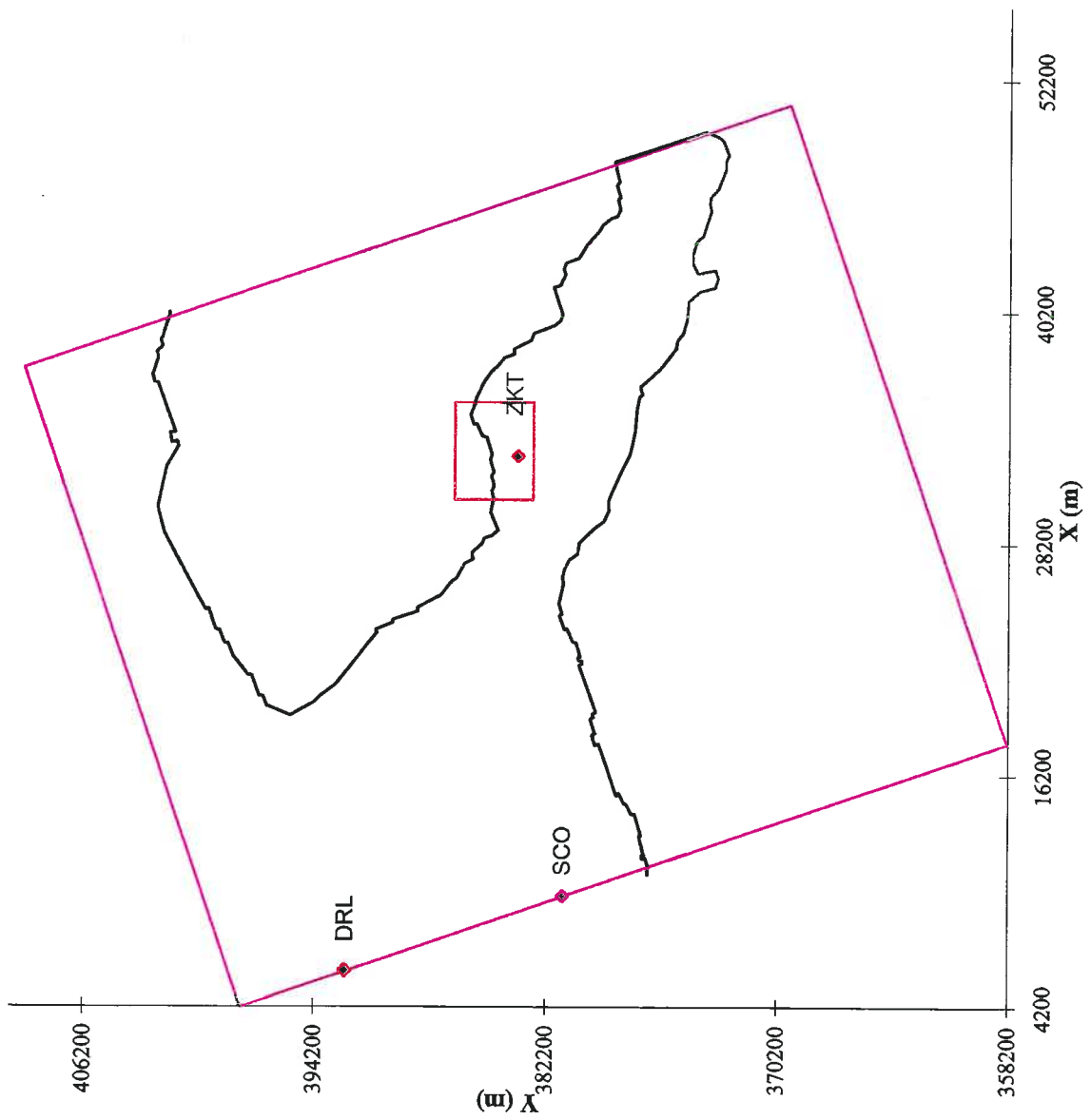


9. Resultaten Case c20: 890214 16:00
  - a. Contourplots van  $H_s$ , en  $TM_{-1,0}$
  - b. Contourplots van  $T_p$  en  $T_{pm}$
  - c. Gemeten en berekende spectra c20

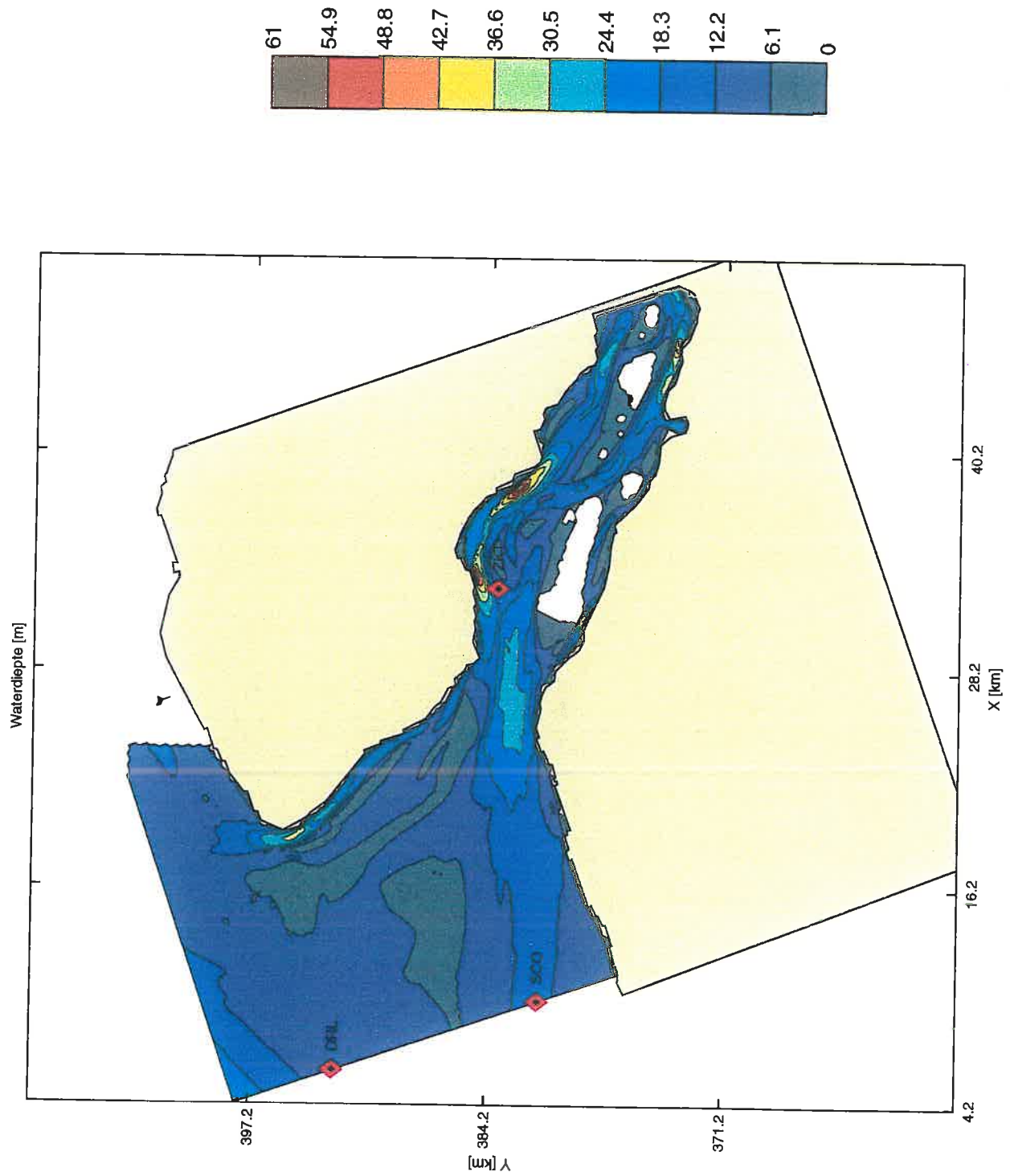
10. Resultaten Case w20: 890214 16:00
  - a. Contourplots van  $H_s$ , en  $TM_{-1,0}$
  - b. Contourplots van  $T_p$  en  $T_{pm}$
  - c. Gemeten en berekende spectra w20

F. Bath

1. Roosters
2. Diepte schematisatie en uitvoerlocaties
3. Resultaten Case c10: 000528 11:30
  - a. Contourplots van  $H_s$ , en  $TM_{-1,0}$
  - b. Contourplots van  $T_p$  en  $T_{pm}$
  - c. Gemeten en berekende spectra c10
  - d. Gemeten en berekende spectra c11
  - e. Gemeten en berekende spectra c12



Rekenroosters Westerschelde	Run c10	900125
WL   DELFT HYDRAULICS	H3761	Fig. A.1



Diepte schematisatie Westerschelde

Run c10

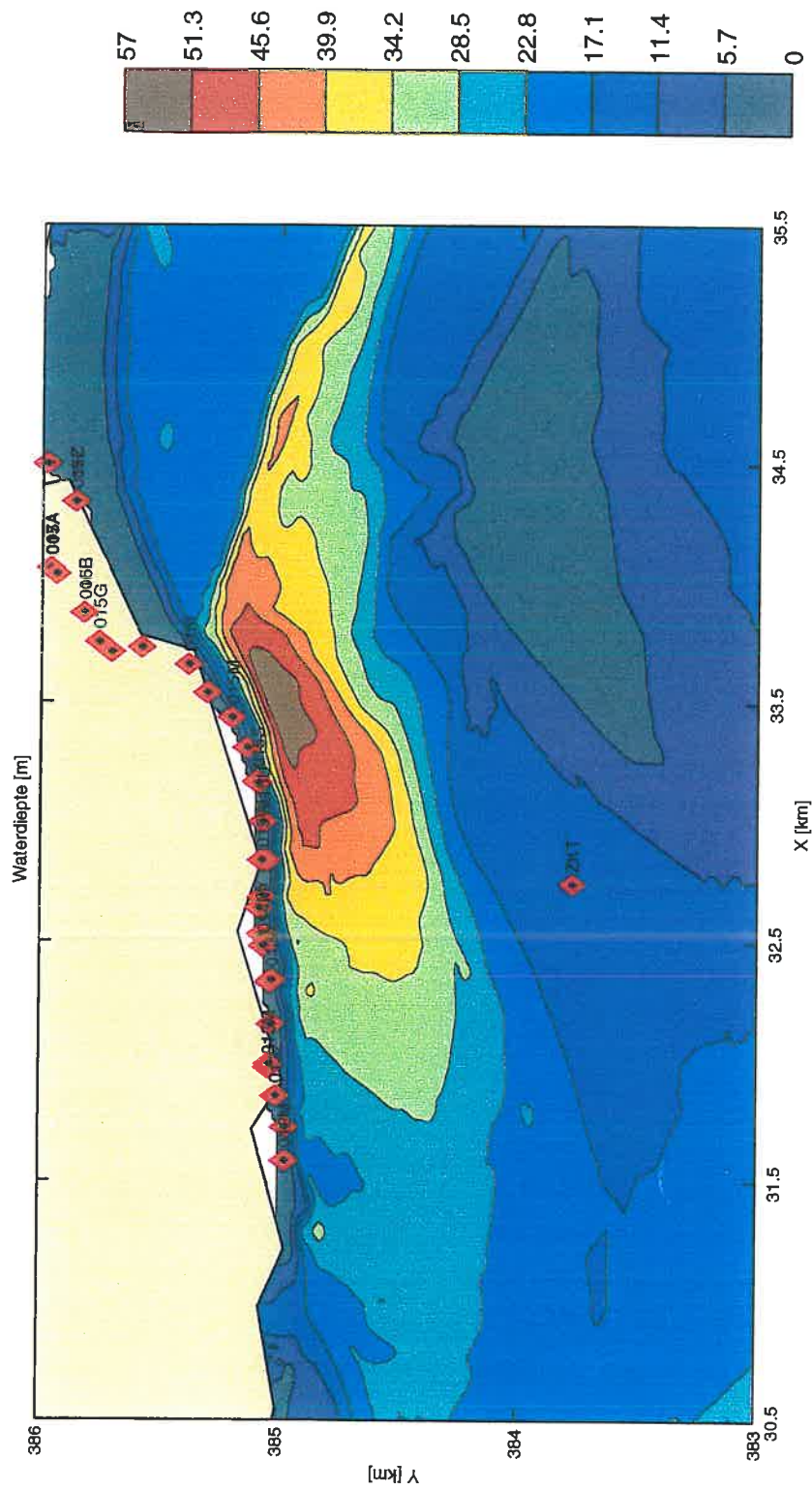
900125

SWAN v40.01

WL | DELFT HYDRAULICS

H3761

Fig. A.2.a



Diepte schematisatie Westerschelde

Run f10

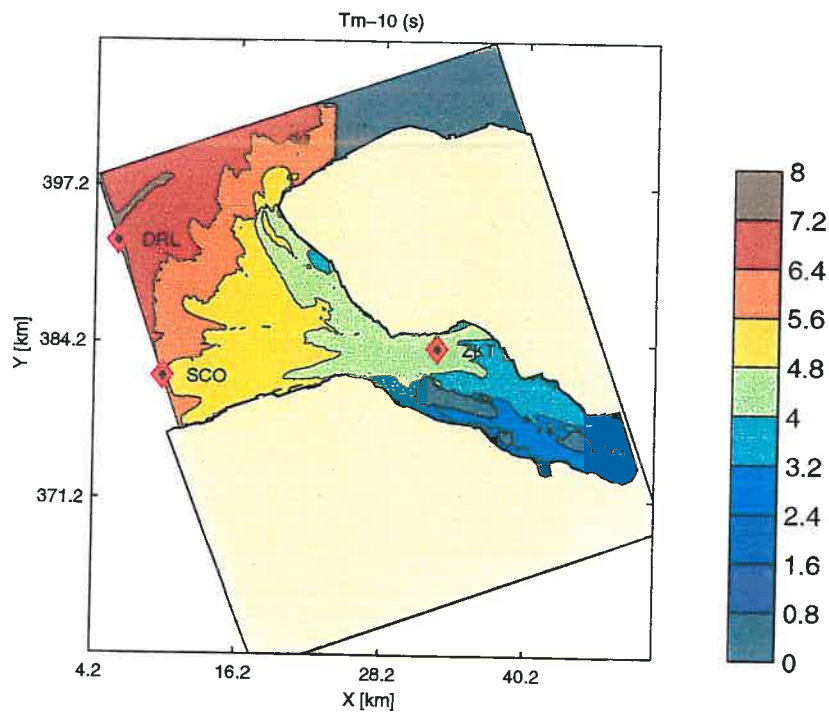
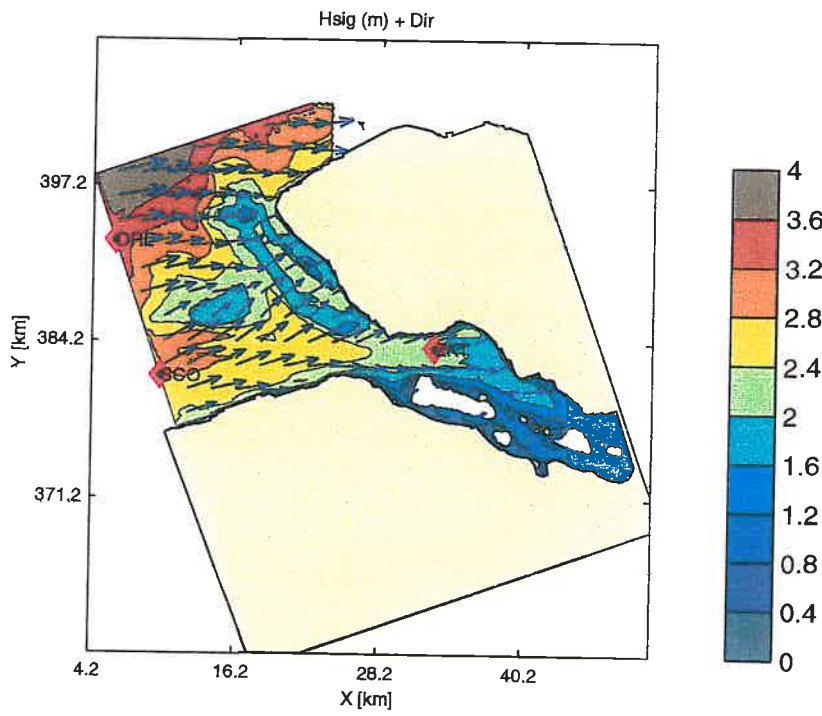
900125

SWAN v40.01

WL | DELFT HYDRAULICS

H3761

Fig. A.2.b



Berekende Hs, Dir en Tm-10 voor de Westerschelde

Run c10

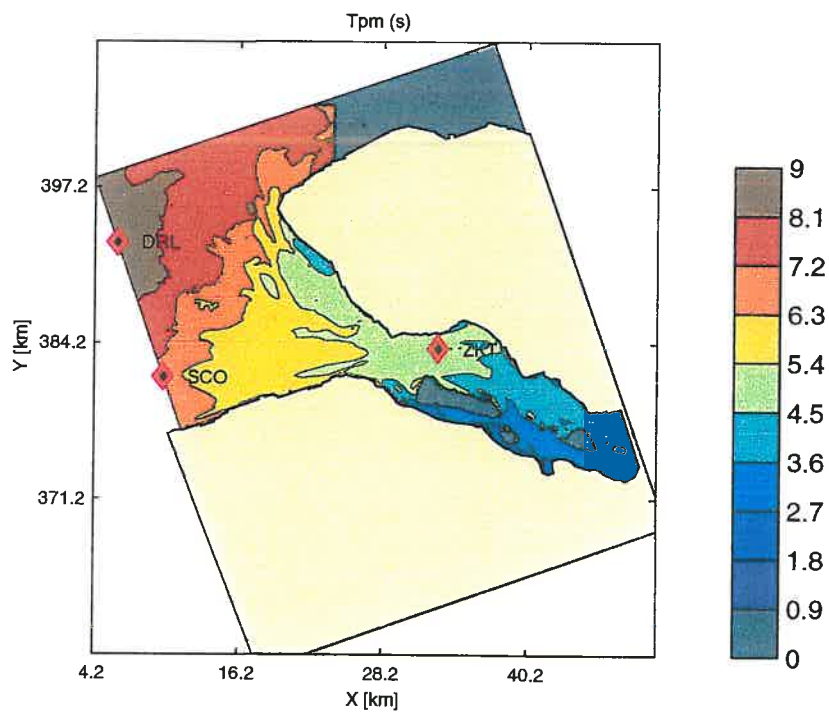
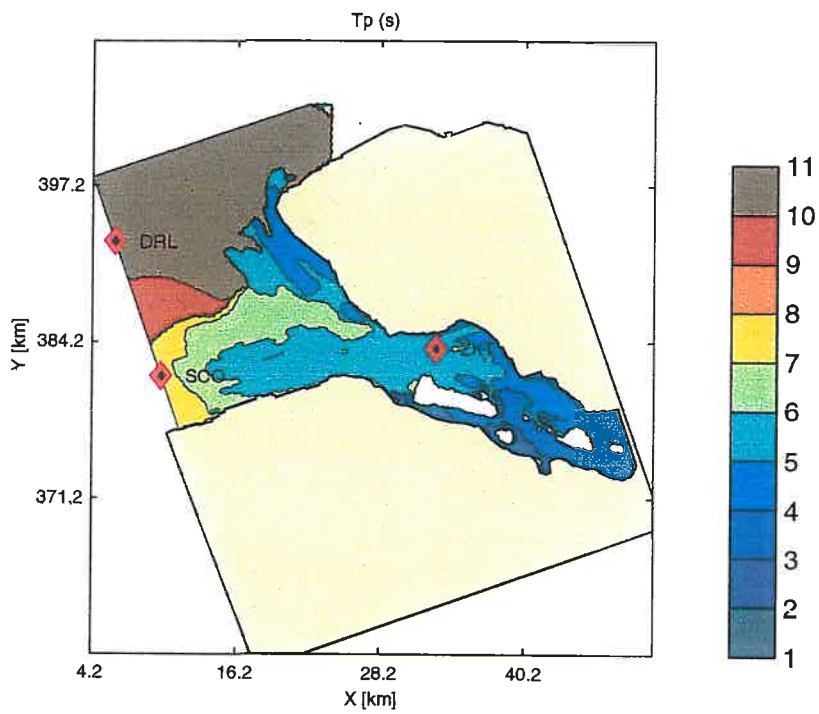
900125 19:30

SWAN v40.01

WL | DELFT HYDRAULICS

H3761

Fig. A.3.a



Berekende Tp en Tpm voor de Westerschelde

Run c10

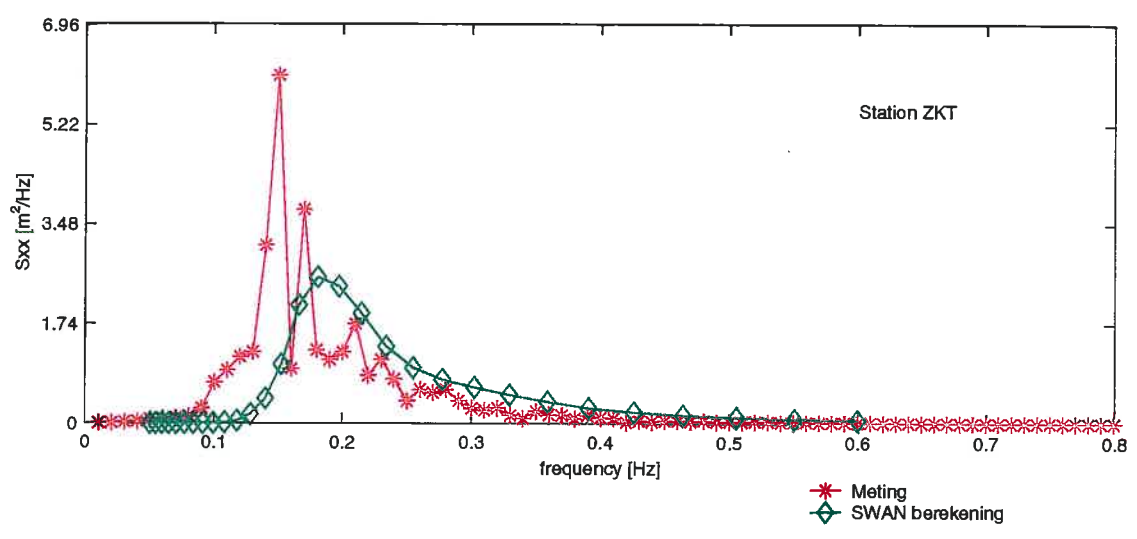
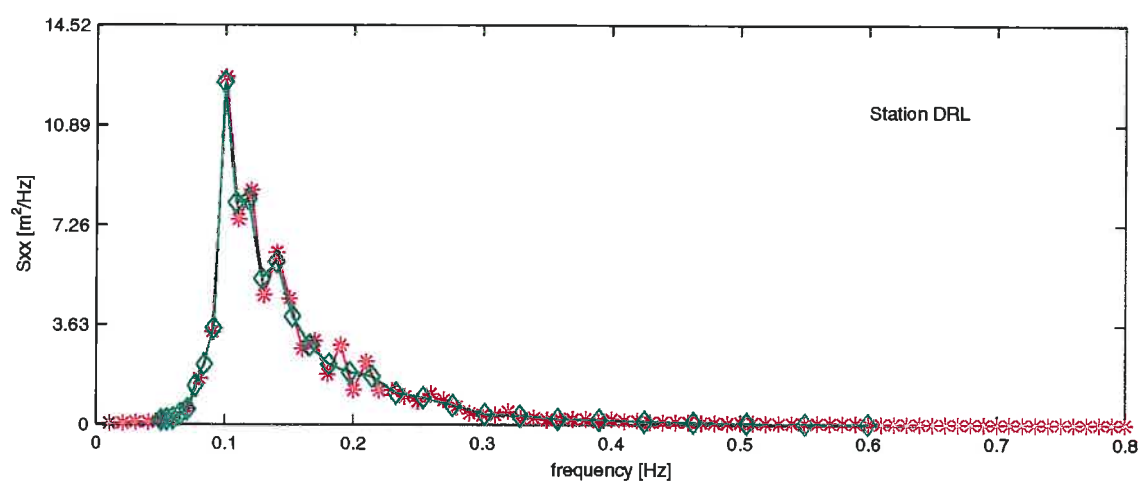
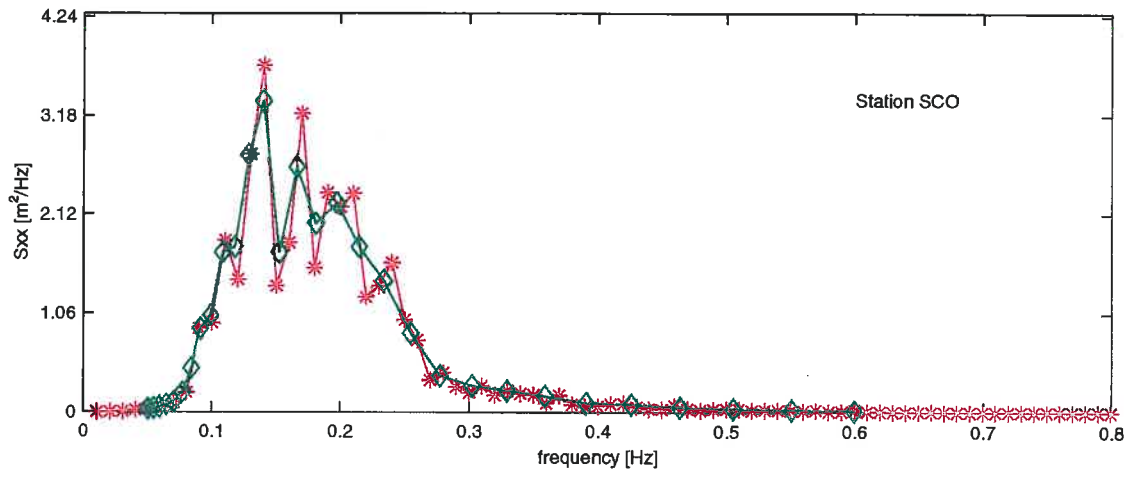
900125 19:30

SWAN v40.01

WL | DELFT HYDRAULICS

H3761

Fig. A.3.b



Berekende vs gemeten spectrum voor de Westerschelde

Run c10

900125 19:30

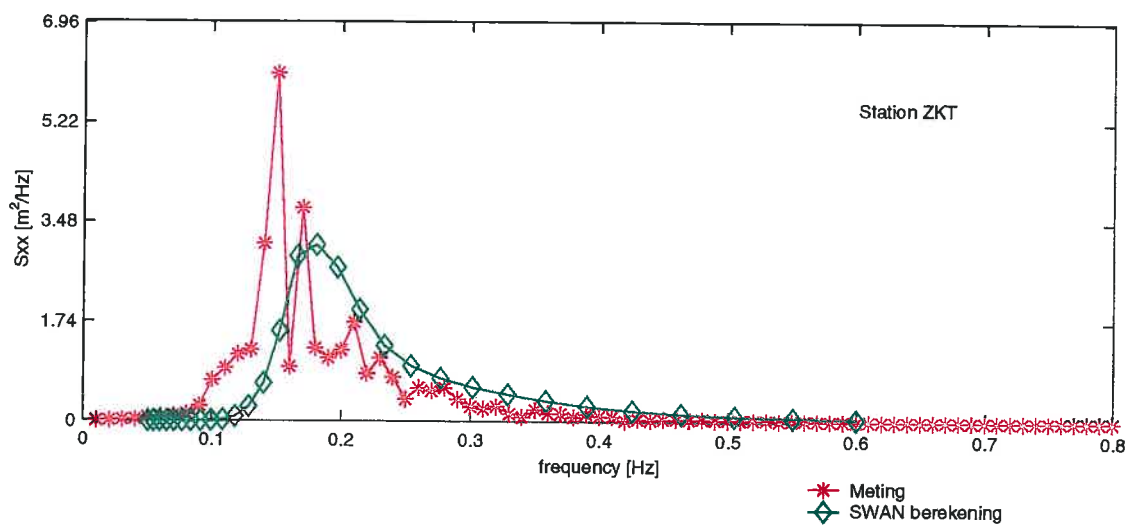
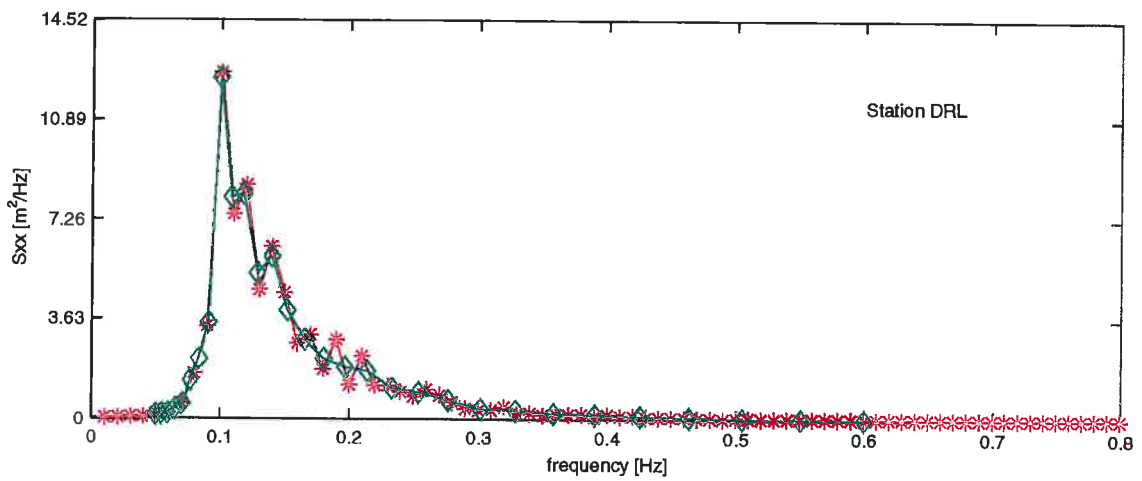
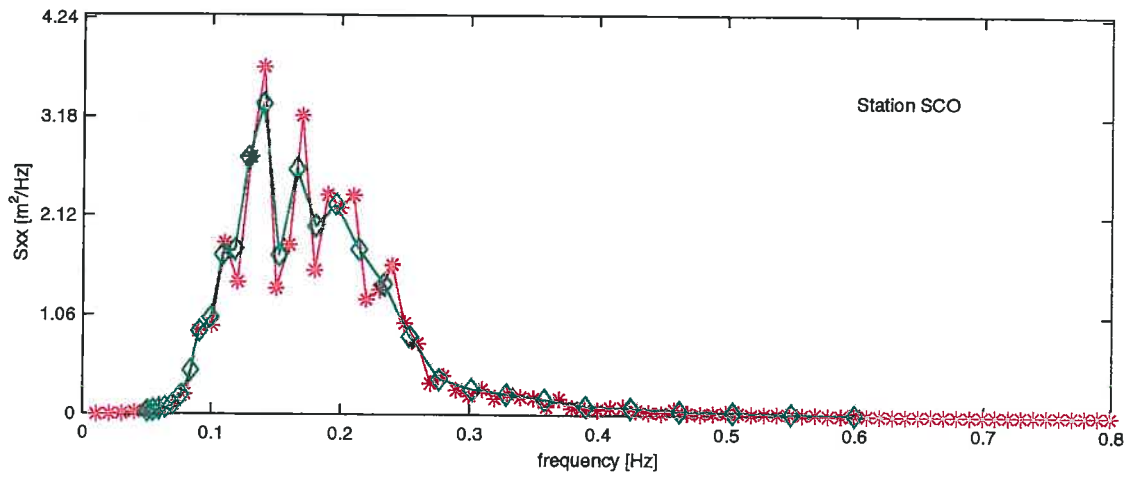
SWAN v40.01

WL | DELFT HYDRAULICS

H3761

Fig. A.3.c





Berekende vs gemeten spectrum voor de Westerschelde

Run c11

900125 19:30

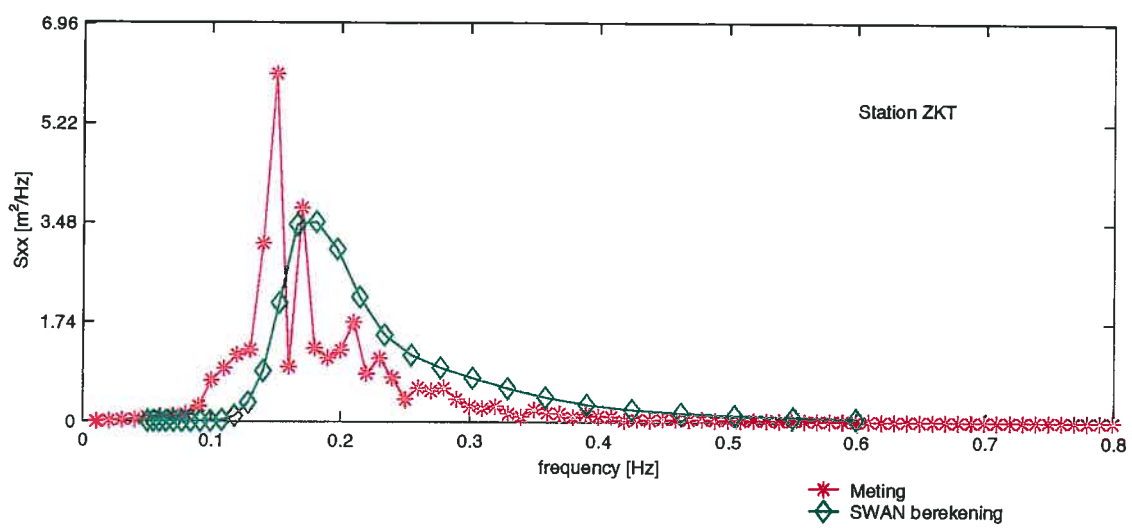
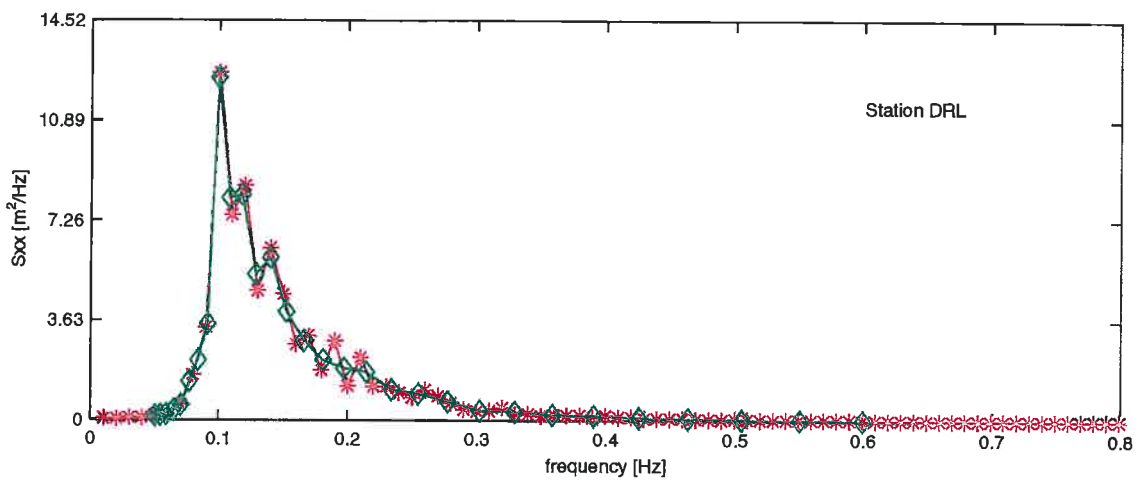
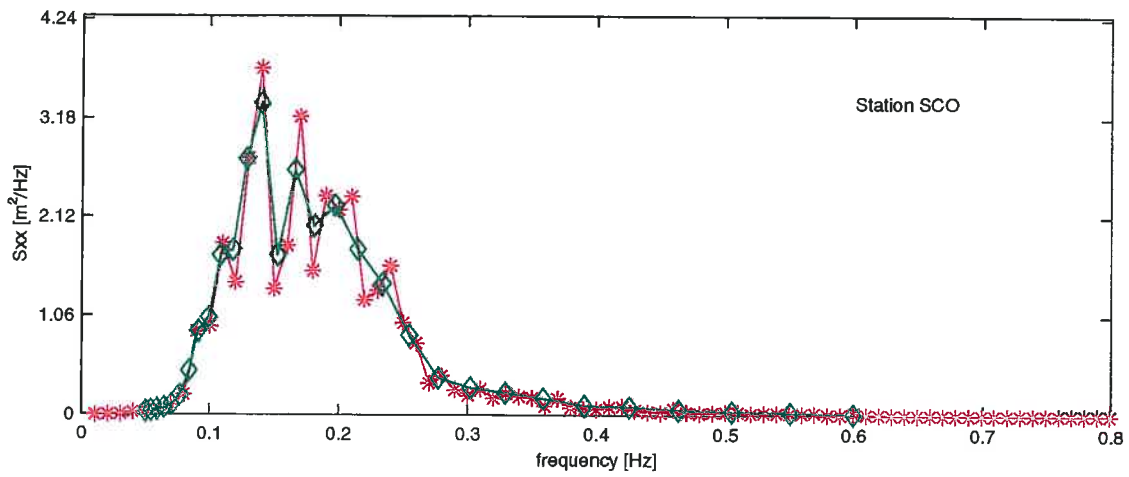
SWAN v40.01

WL | DELFT HYDRAULICS

H3761

Fig. A.3.d





\* Meting  
◇ SWAN berekening

Berekende vs gemeten spectrum voor de Westerschelde

Run c12

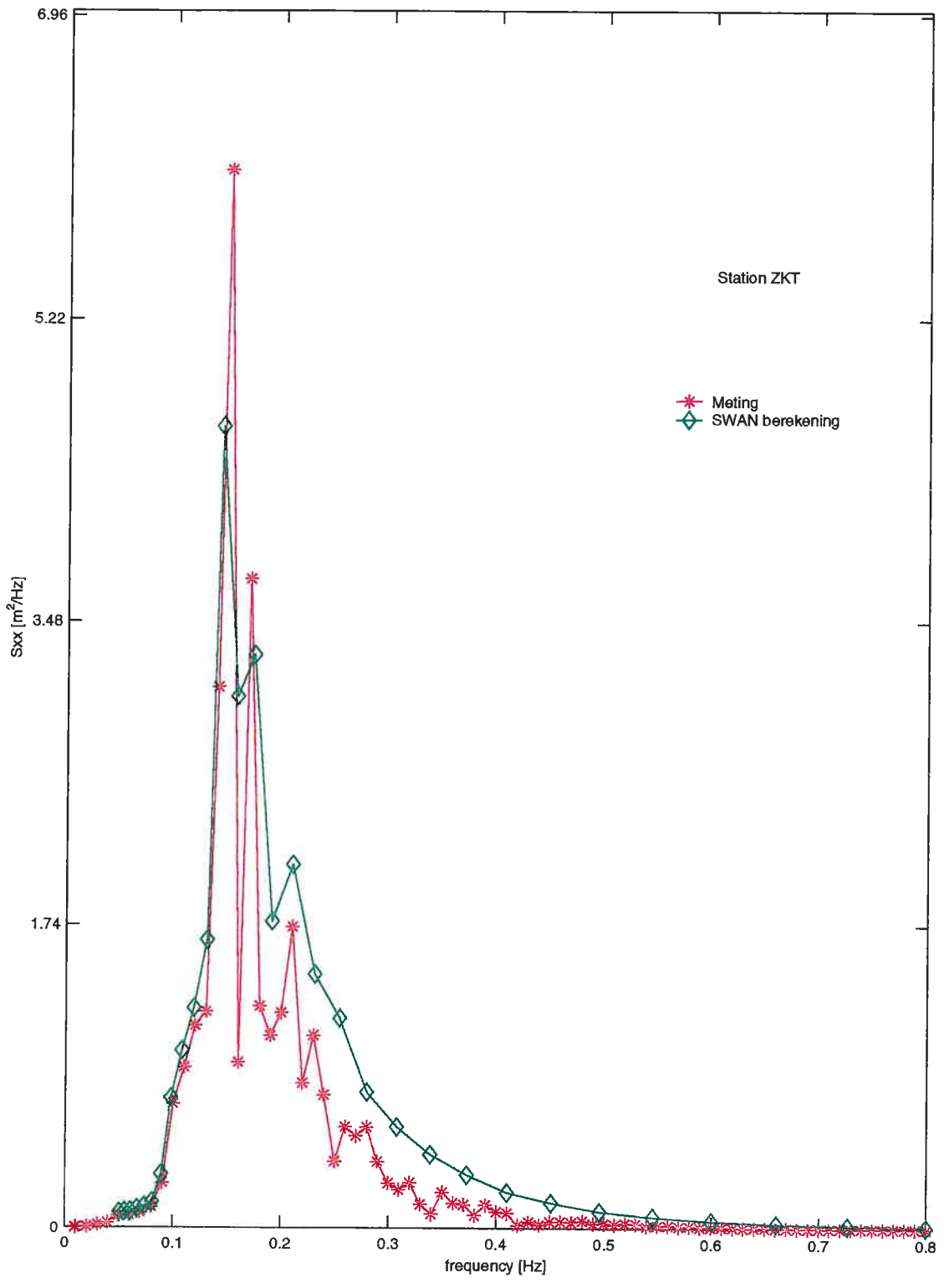
900125 19:30

SWAN v40.01

WL | DELFT HYDRAULICS

H3761

Fig. A.3.e



Berekende vs gemeten spectrum voor de Westerschelde

Run f13

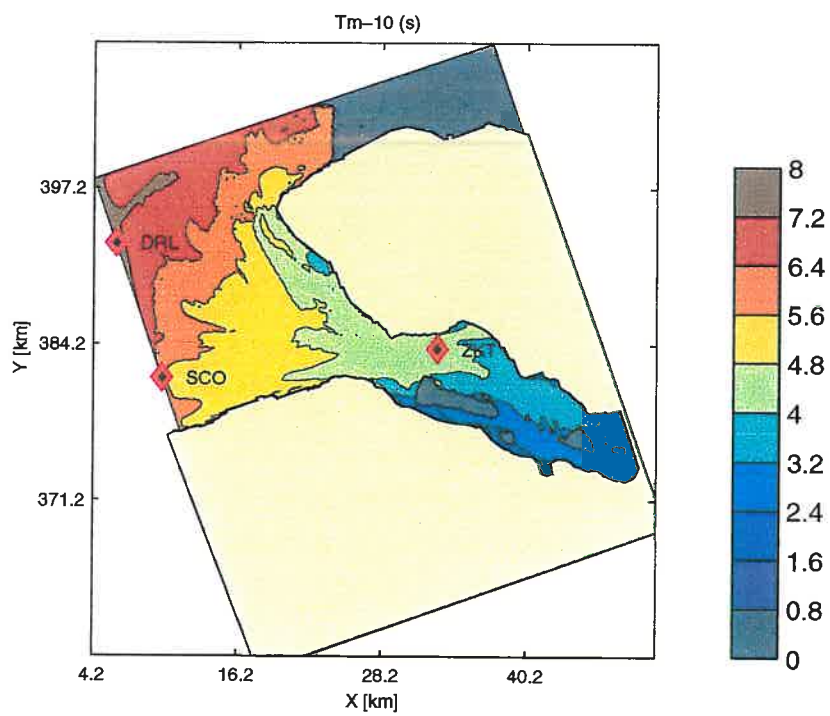
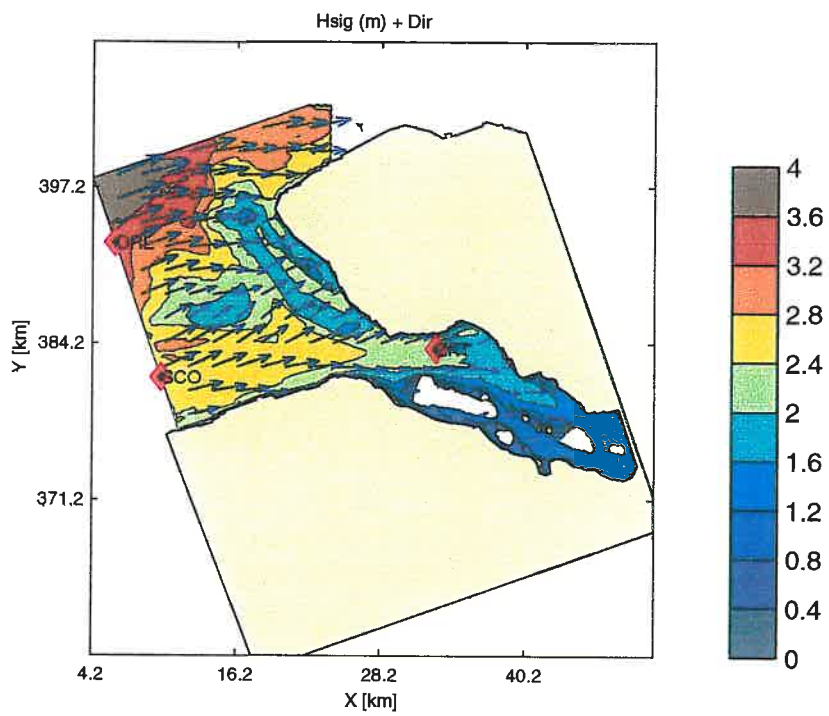
900125 19:30

SWAN v40.01

WL | DELFT HYDRAULICS

H3761

Fig. A.3.f



Berekende Hs, Dir en Tm-10 voor de Westerschelde

Run c20

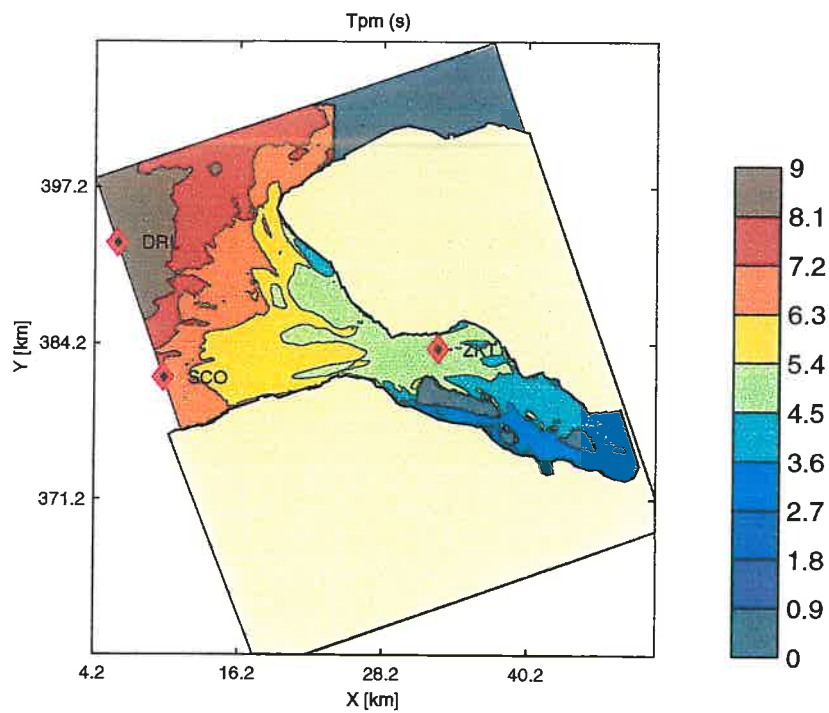
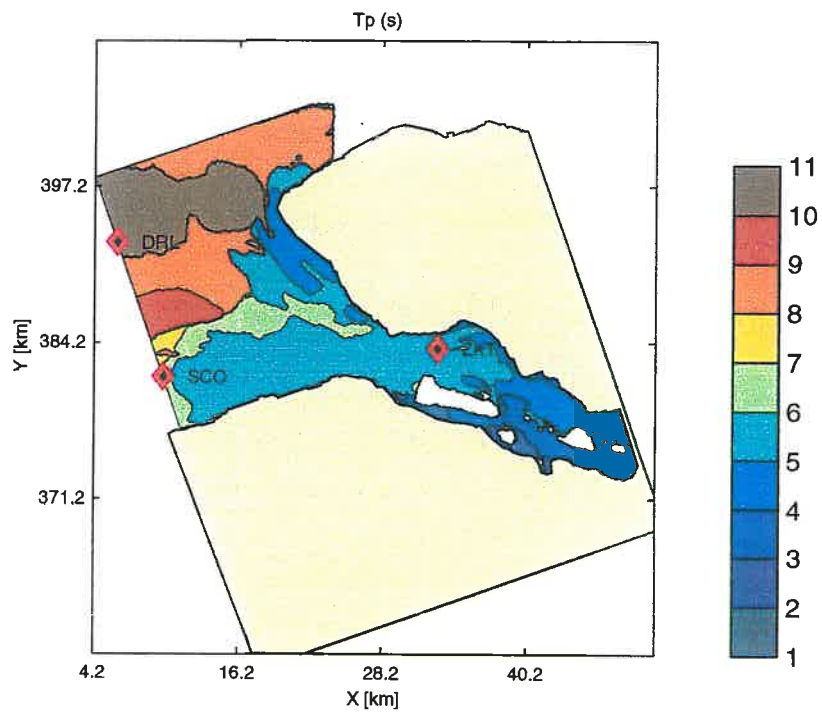
900125 20:30

SWAN v40.01

WL | DELFT HYDRAULICS

H3761

Fig. A.4.a



Berekende Tp en Tpm voor de Westerschelde

Run c20

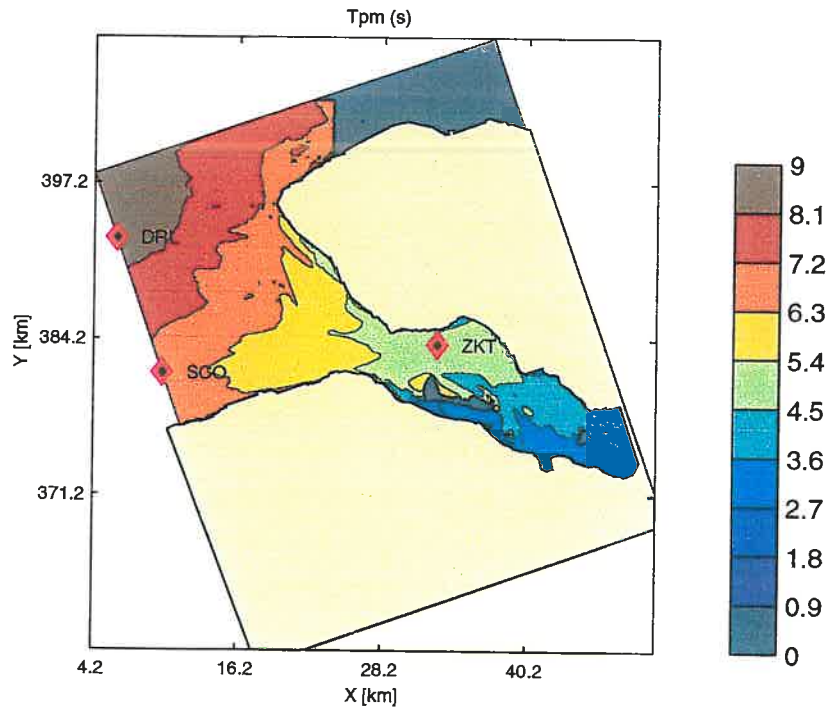
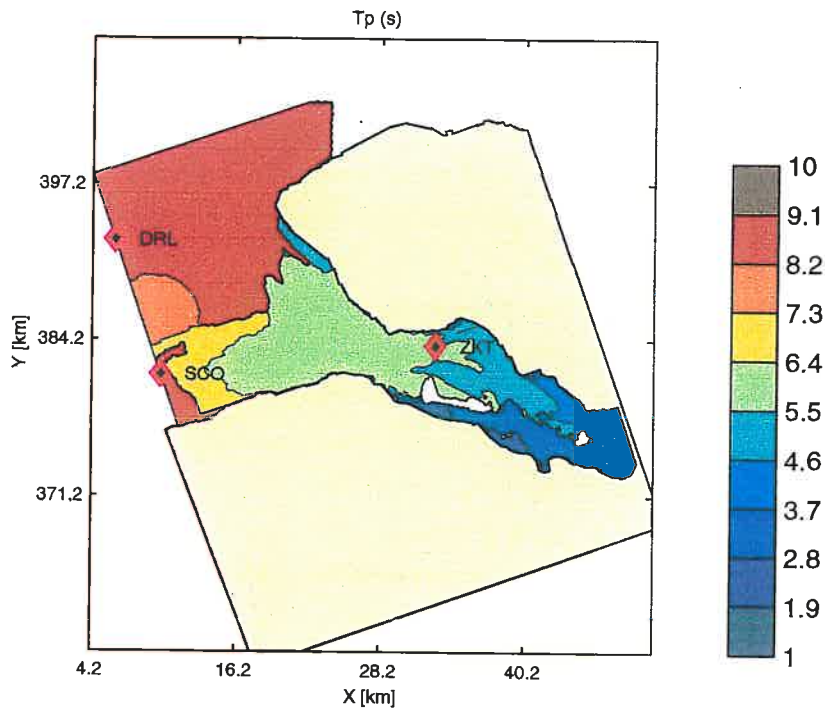
900125 20:30

SWAN v40.01

WL | DELFT HYDRAULICS

H3761

Fig. A.4.b



Berekende Tp en Tpm voor de Westerschelde

Run c30

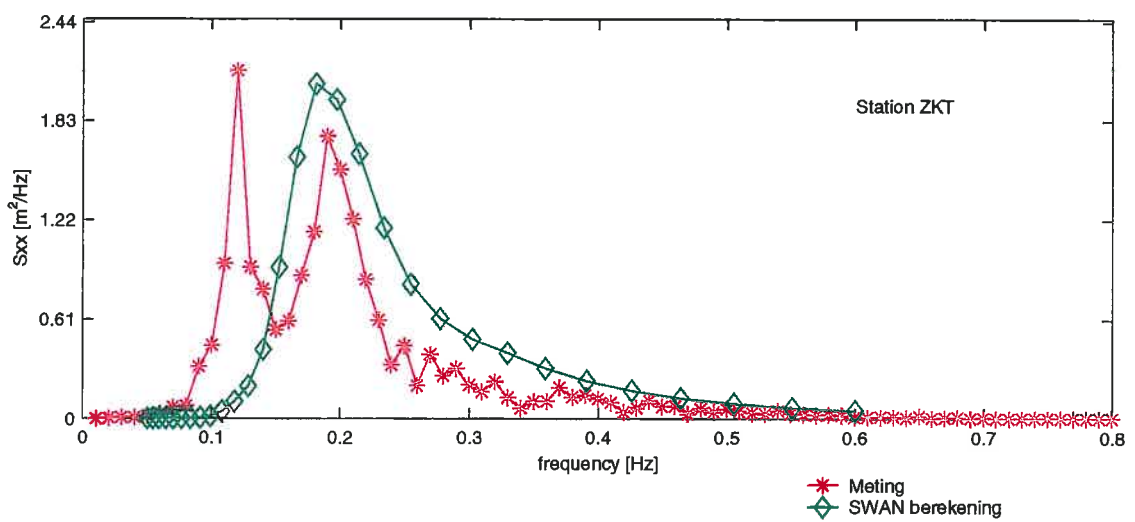
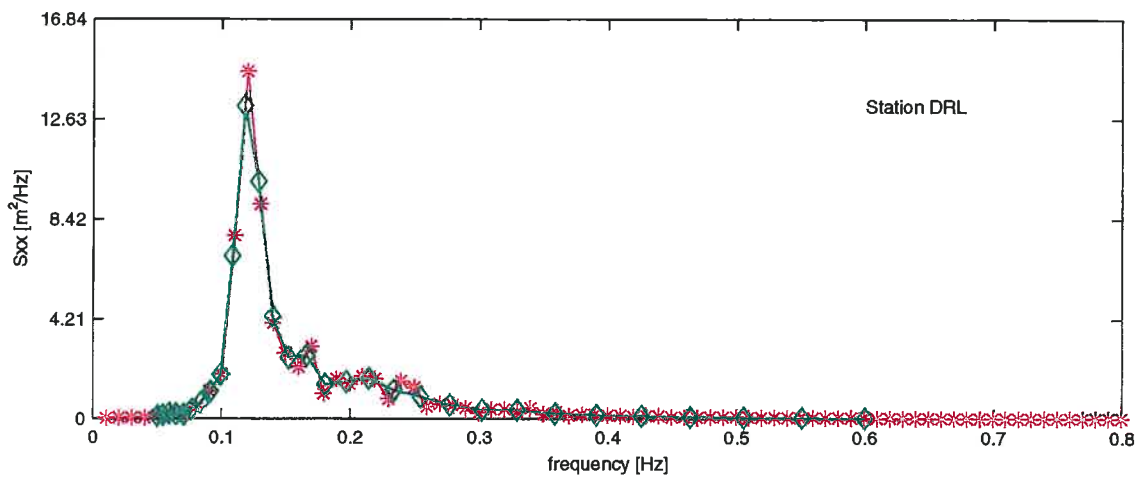
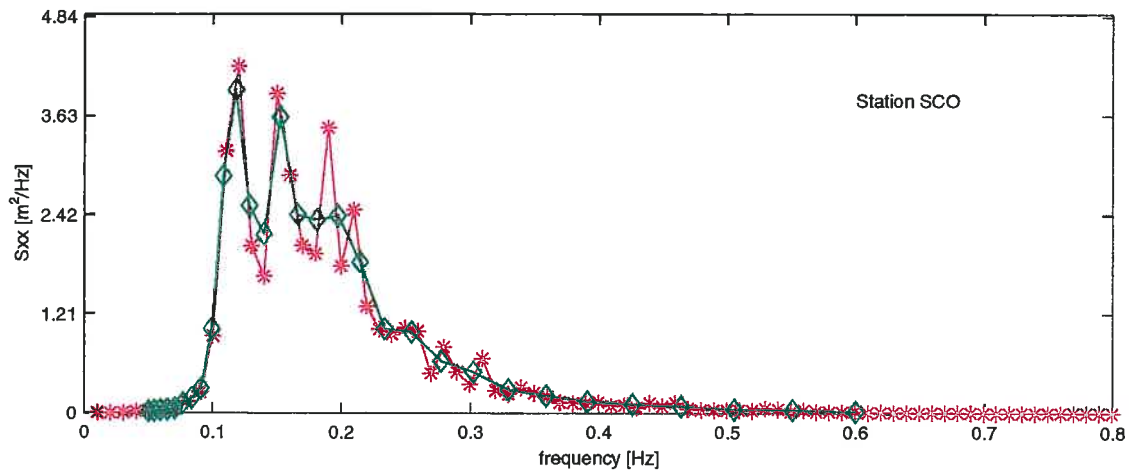
900125 23:30

SWAN v40.01

WL | DELFT HYDRAULICS

H3761

Fig. A.5.b



\* Meting  
◇ SWAN berekening

Berekende vs gemeten spectrum voor de Westerschelde

Run c30

900125 23:30

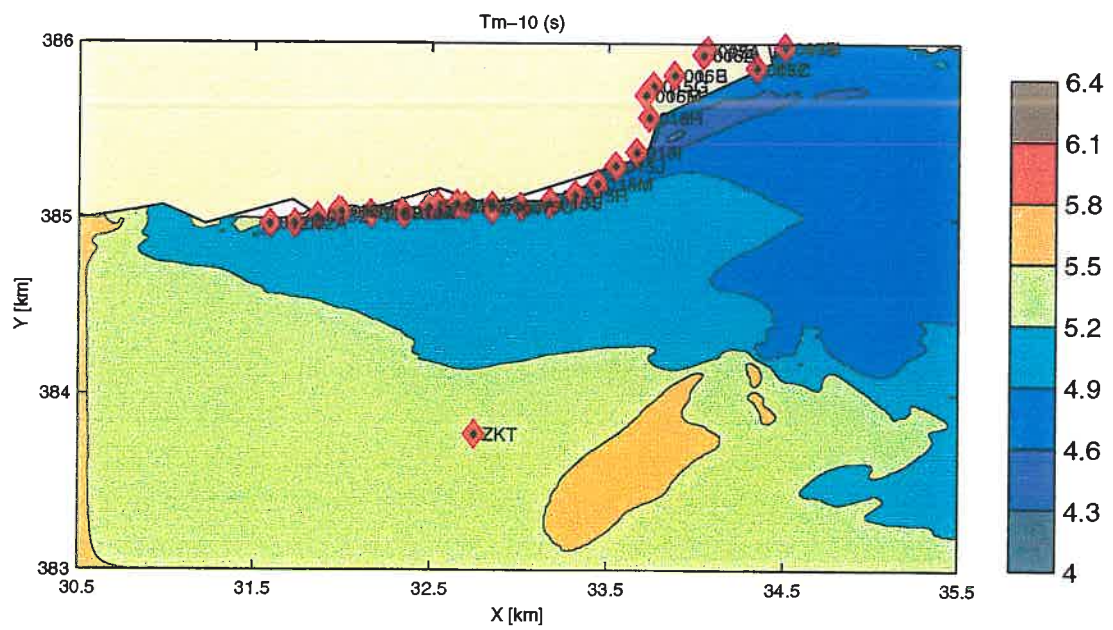
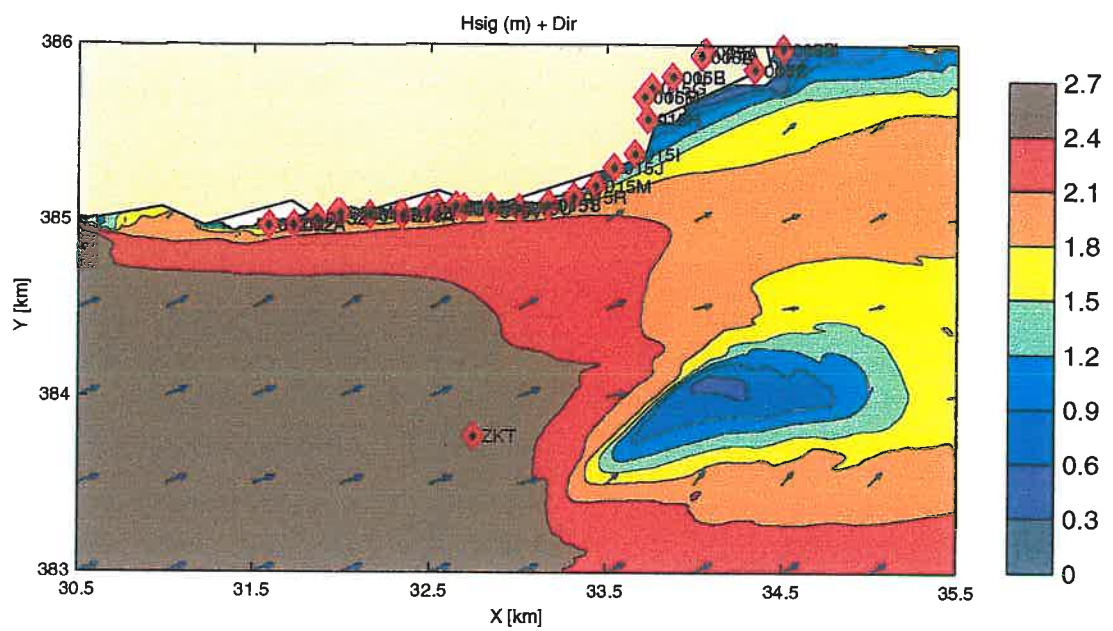
SWAN v40.01

WL | DELFT HYDRAULICS

H3761

Fig. A.5.c





Berekende Hs, Dir en Tm-10 voor de Westerschelde

Run f40

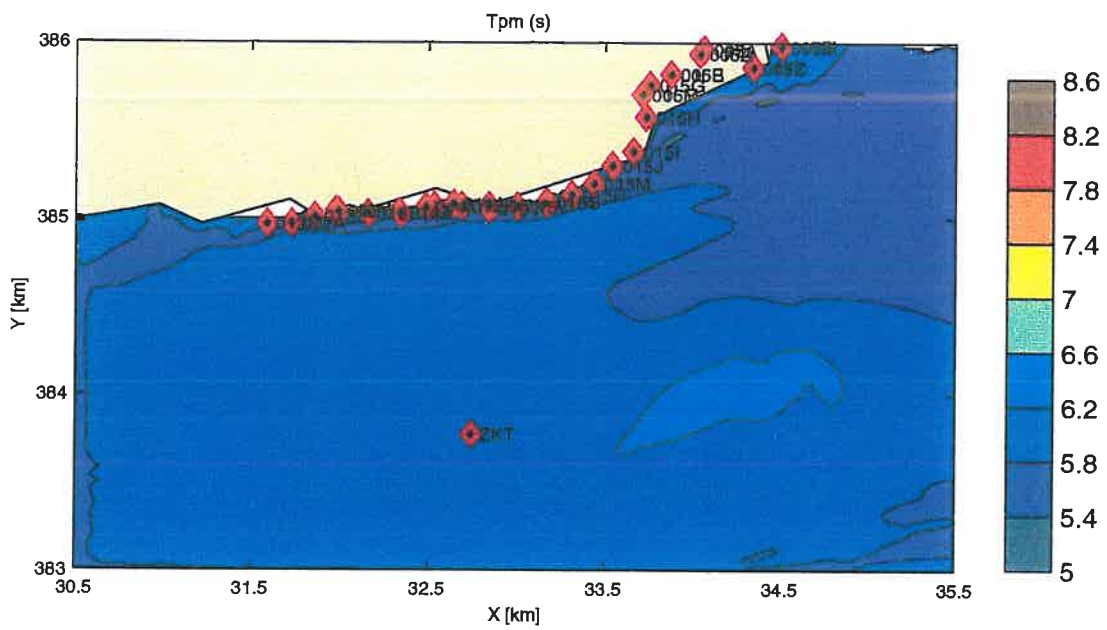
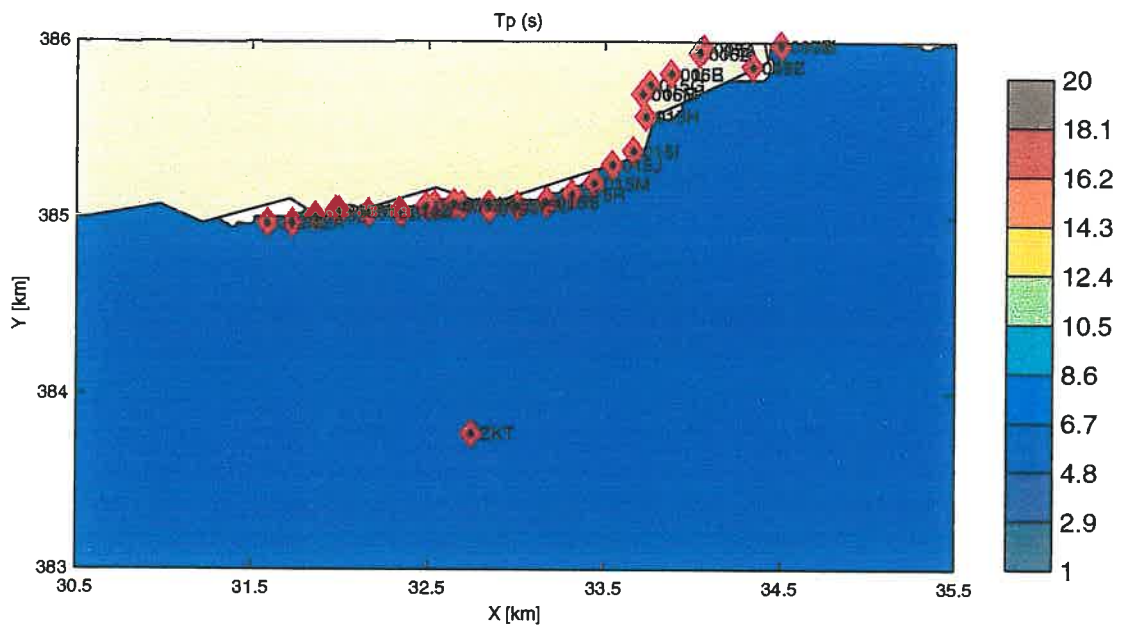
900128 10:30

SWAN v40.01

WL | DELFT HYDRAULICS

H3761

Fig. A.6.a



Berekende Tp en Tpm voor de Westerschelde

Run f40

900128 10:30

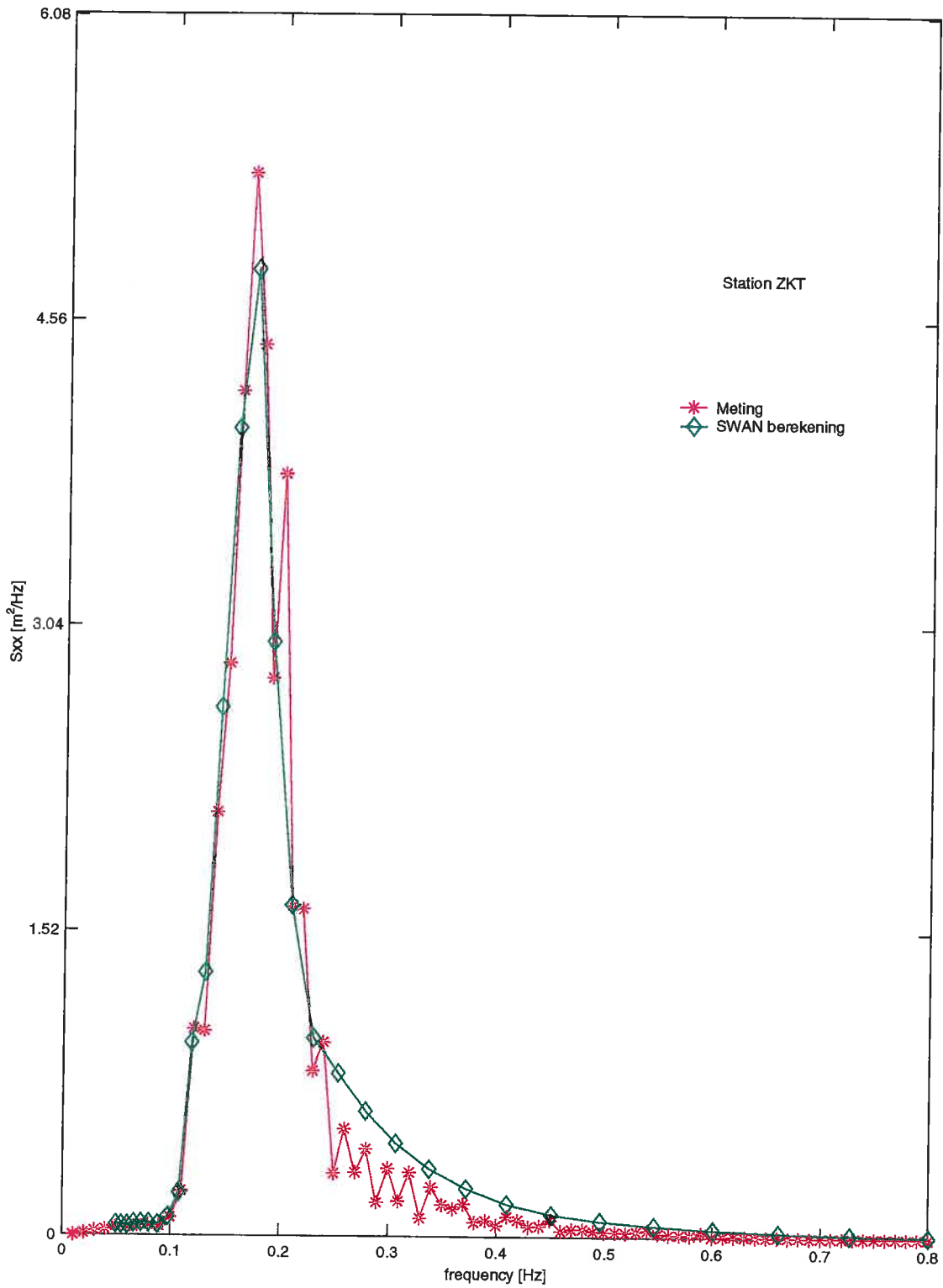
SWAN v40.01

WL | DELFT HYDRAULICS

H3761

Fig. A.6.b





Berekende vs gemeten spectrum voor de Westerschelde

Run f40

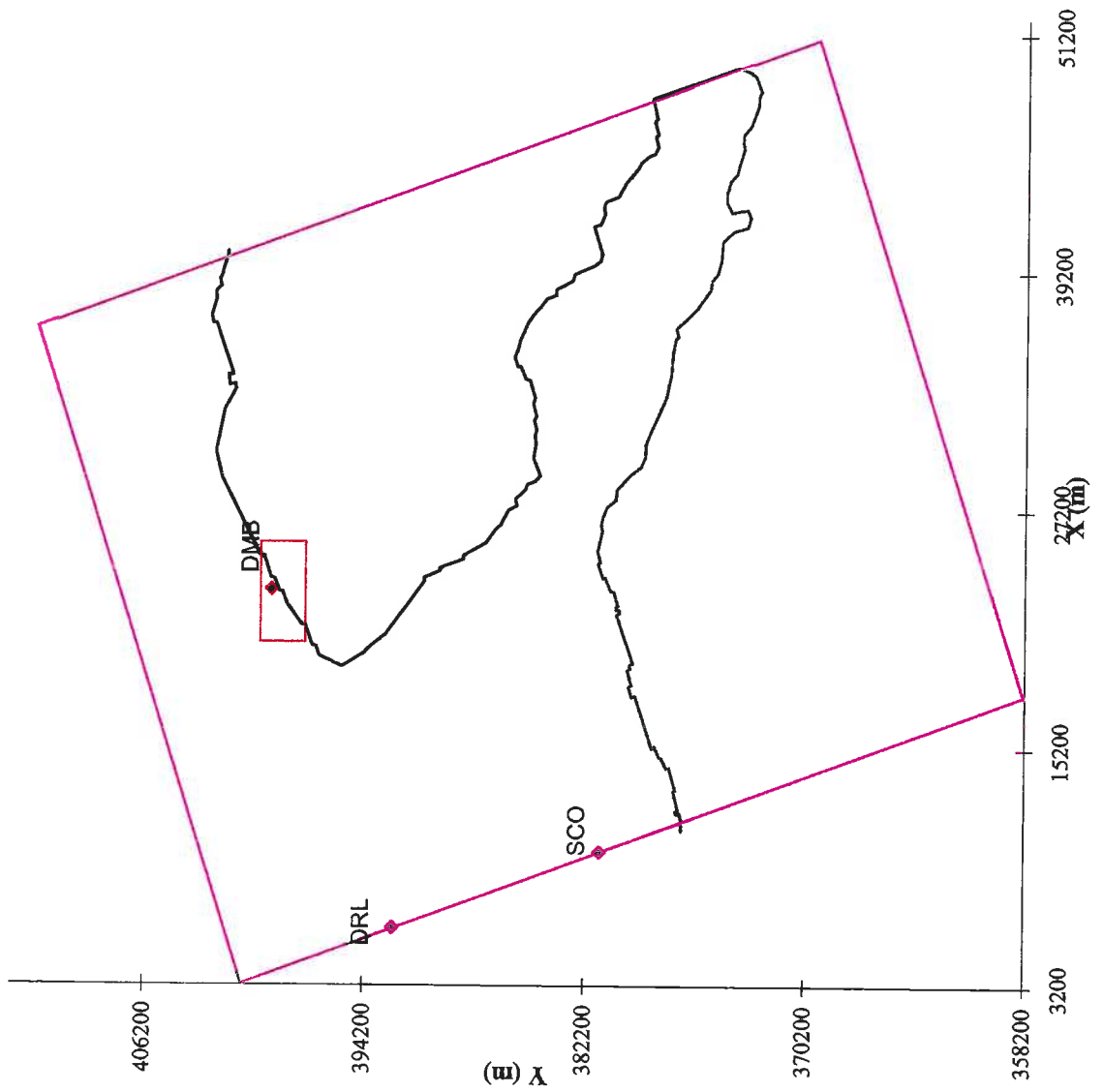
900128 10:30

SWAN v40.01

WL | DELFT HYDRAULICS

H3761

Fig. A.6.c



Rekenroosters Walcheren

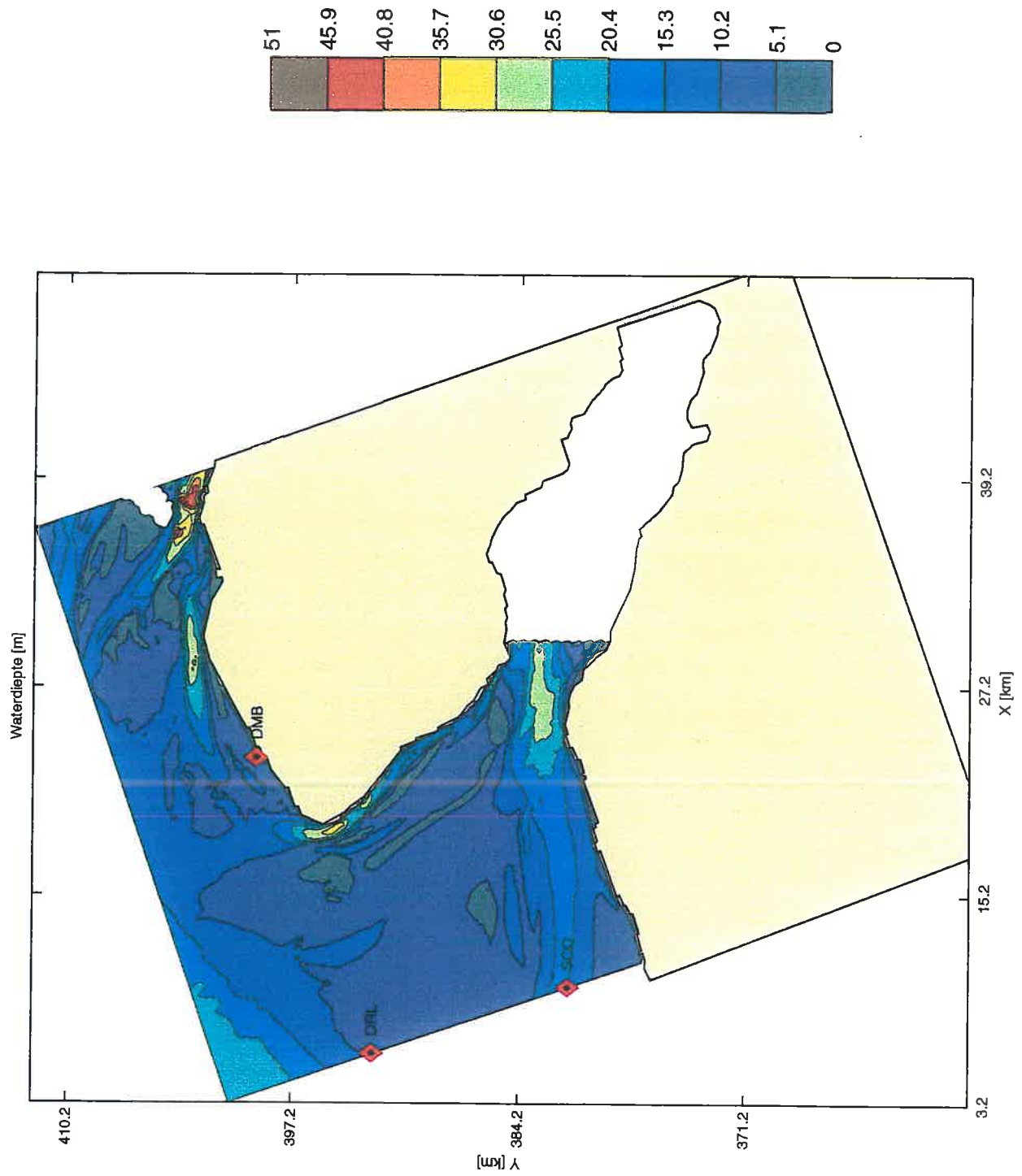
Run c10

900125

WL | DELFT HYDRAULICS

H3761

Fig. B.1



Diepte schematisatie Walcheren

Run c10

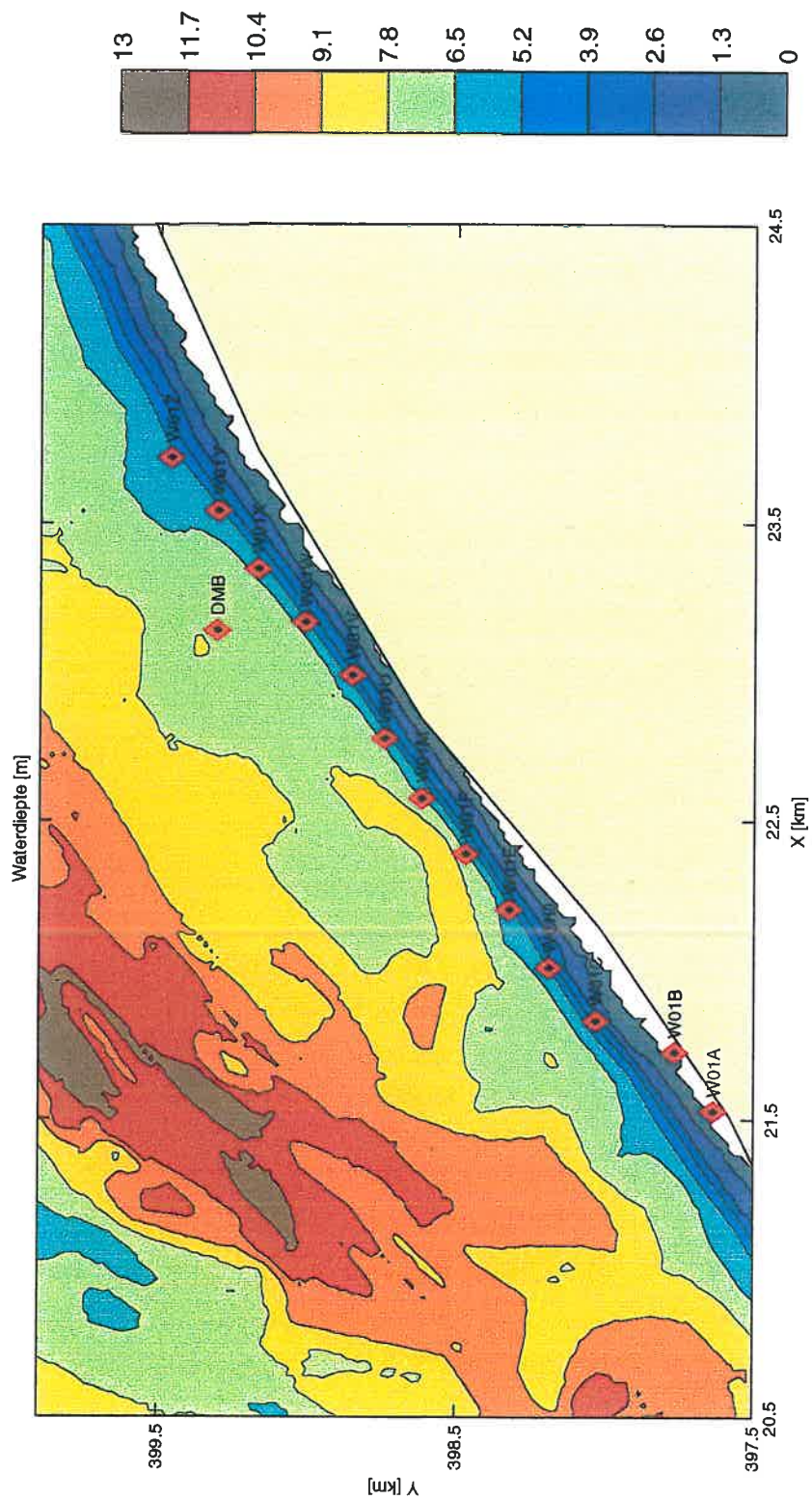
900125

SWAN v40.01

WL | DELFT HYDRAULICS

H3761

Fig. B.2.a



Diepte schematisatie Walcheren

Run f10

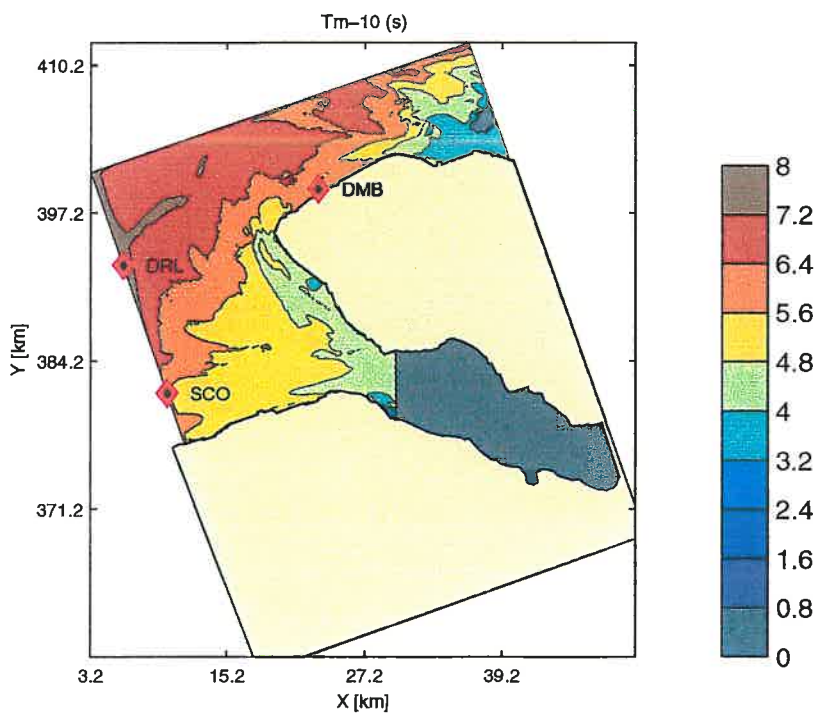
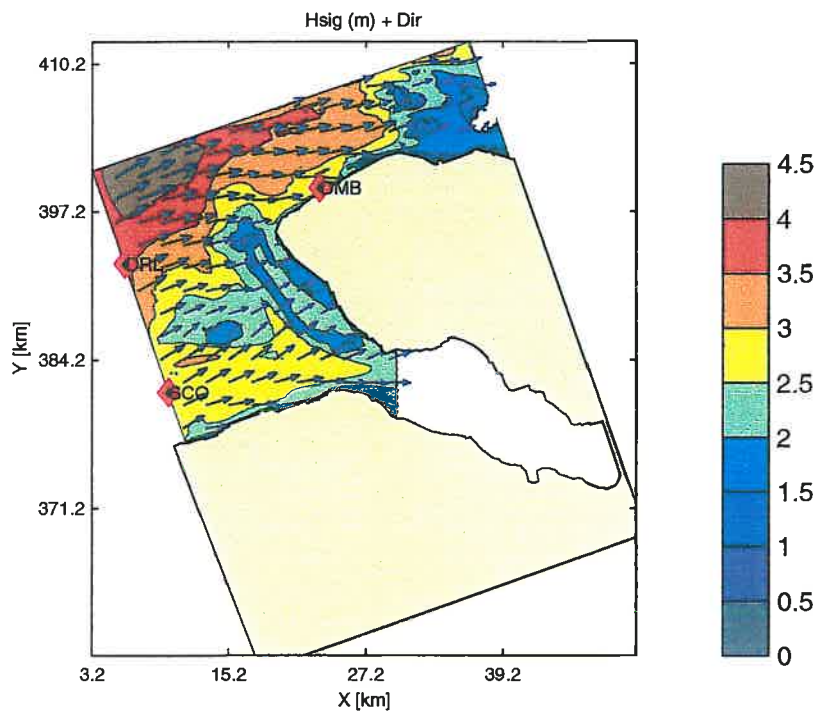
900125

SWAN v40.01

WL | DELFT HYDRAULICS

H3761

Fig. B.2.b



Berekende Hs, Dir en Tm-10 voor Walcheren

Run c10

900125 19:00

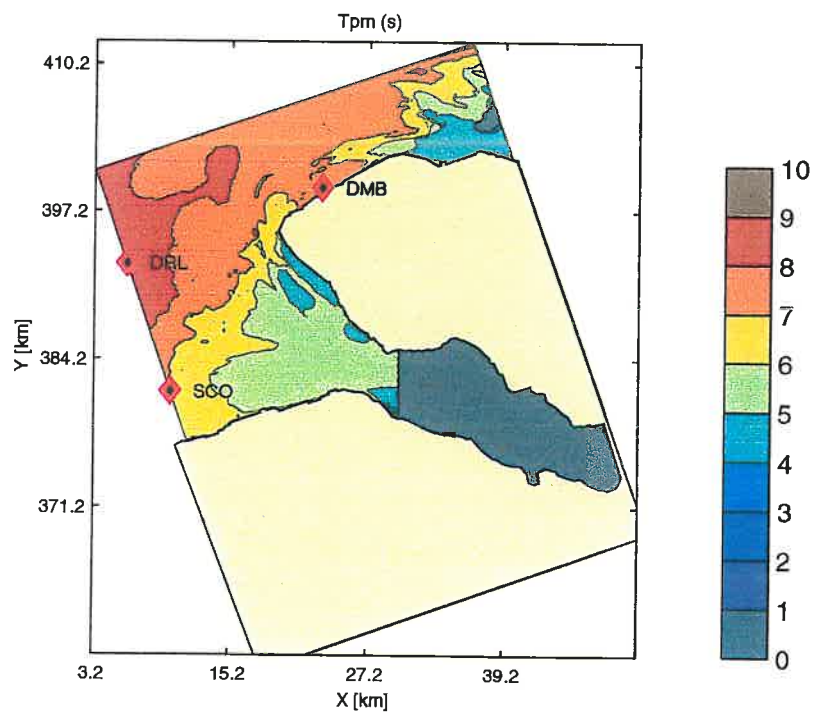
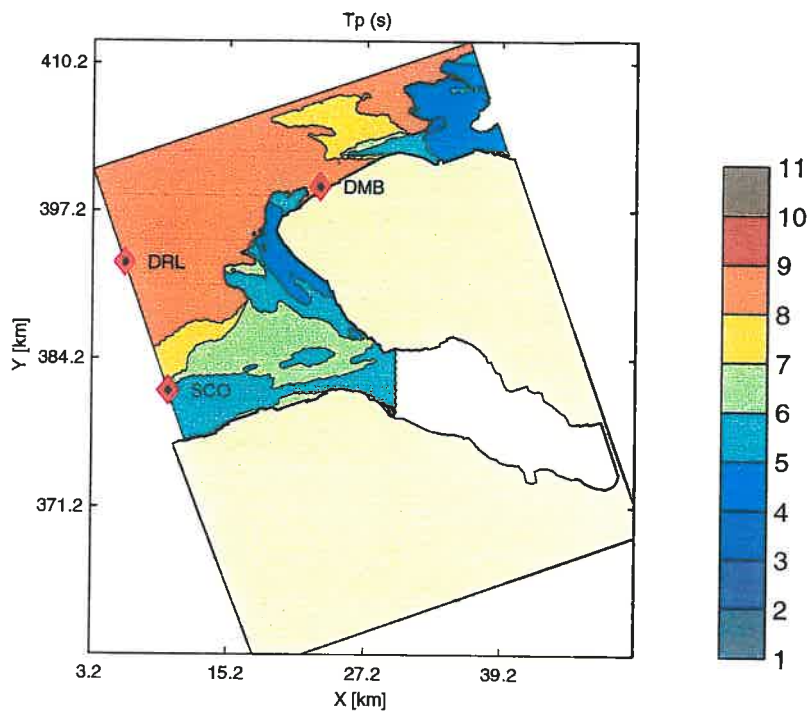
SWAN v40.01

WL | DELFT HYDRAULICS

H3761

Fig. B.3.a





Berekende Tp en Tpm voor Walcheren

Run c10

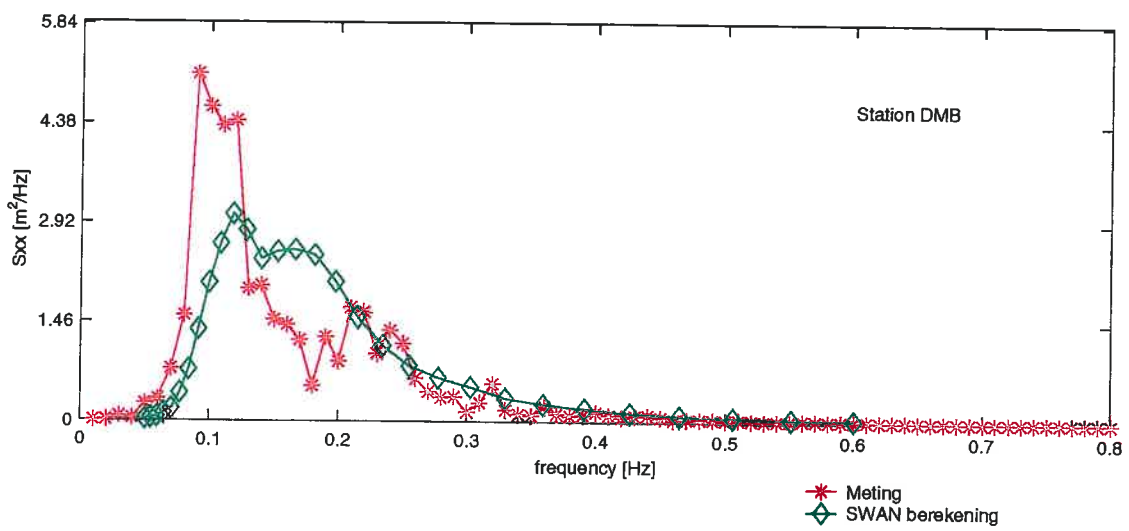
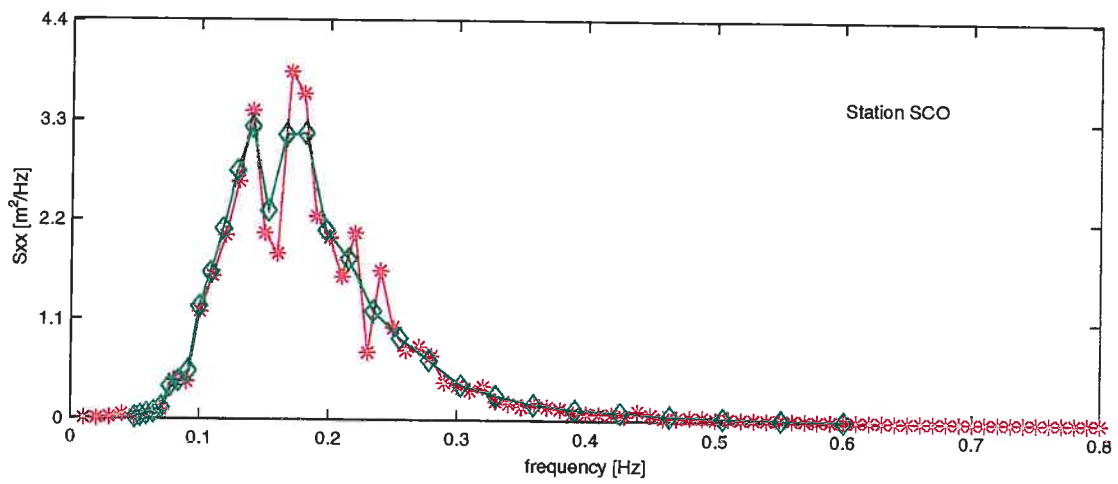
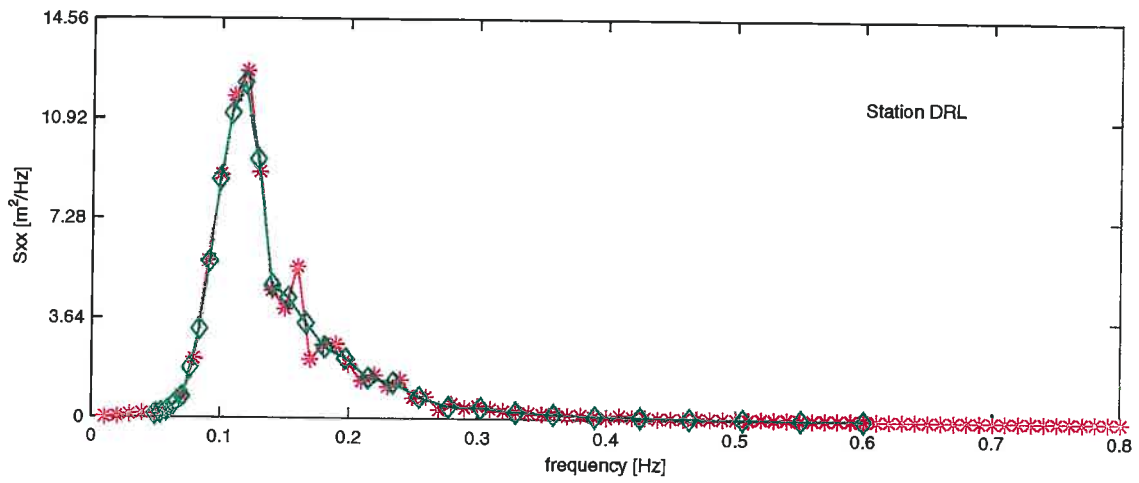
900125 19:00

SWAN v40.01

WL | DELFT HYDRAULICS

H3761

Fig. B.3.b



\* Meting  
◇ SWAN berekening

Berekende vs gemeten spectrum voor Walcheren

Run c10

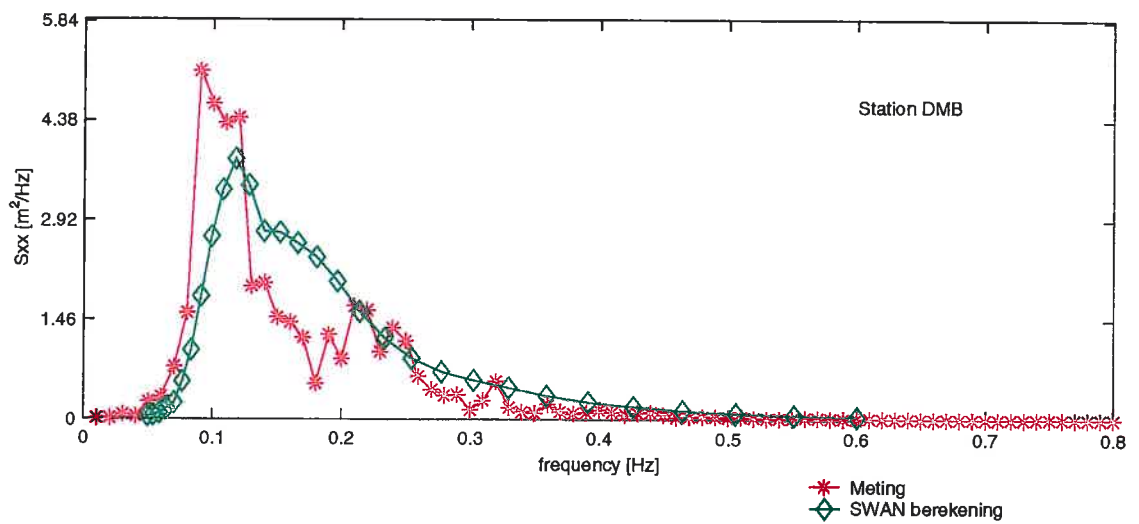
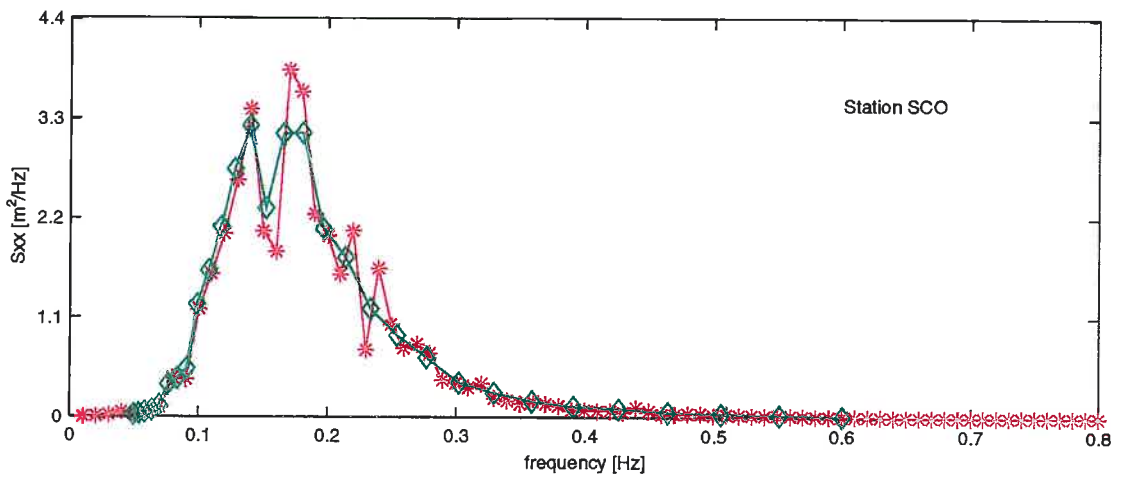
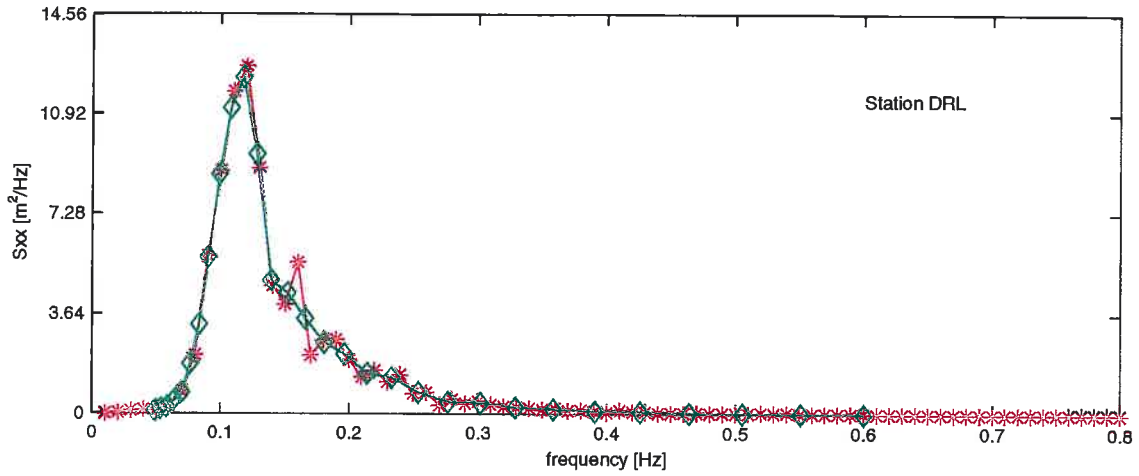
900125 19:00

SWAN v40.01

WL | DELFT HYDRAULICS

H3761

Fig. B.3.c



Berekende vs gemeten spectrum voor Walcheren

Run c11

900125 19:00

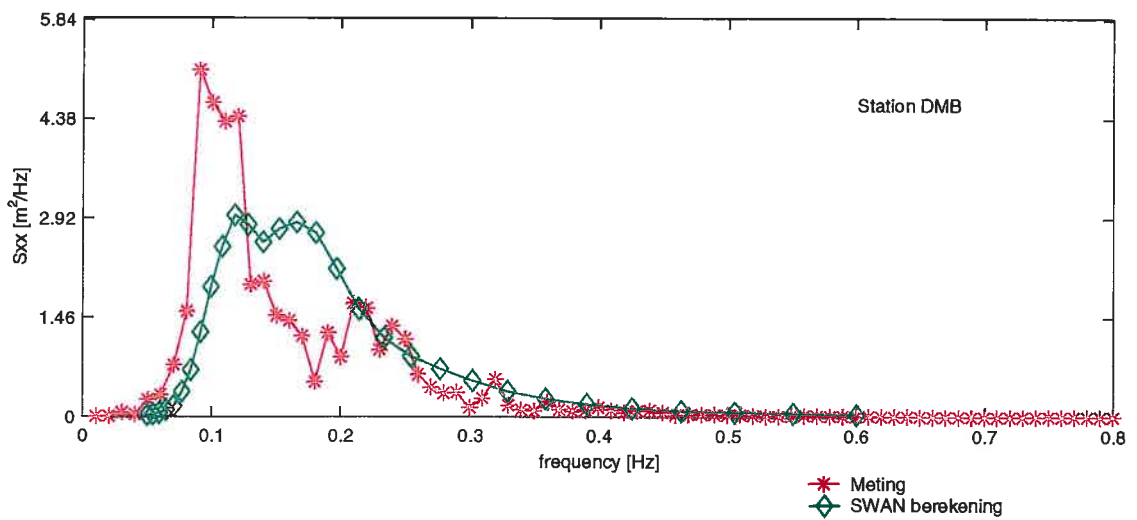
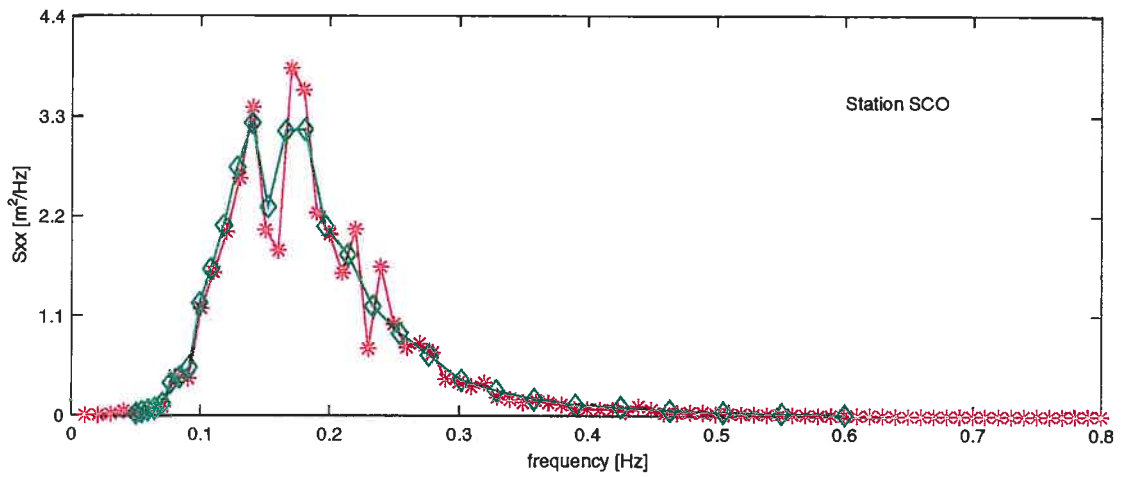
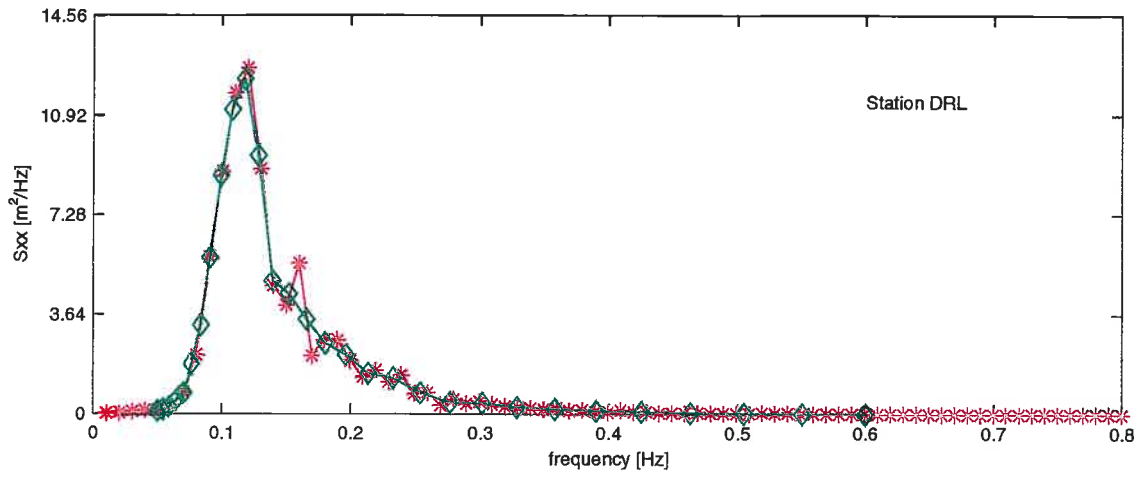
SWAN v40.01

WL | DELFT HYDRAULICS

H3761

Fig. B.3.d





\* Meting  
◇ SWAN berekening

Berekende vs gemeten spectrum voor Walcheren

Run c12

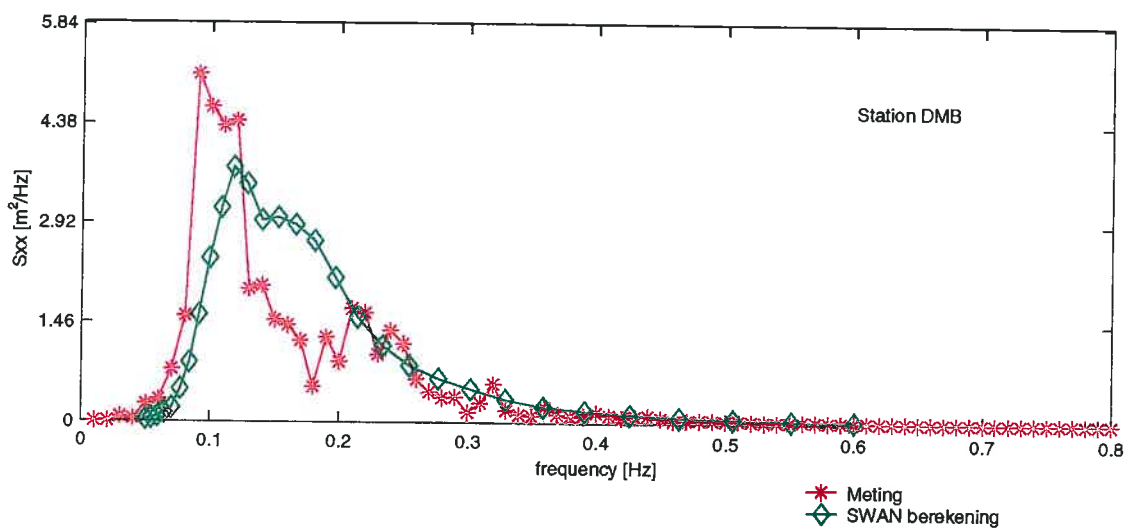
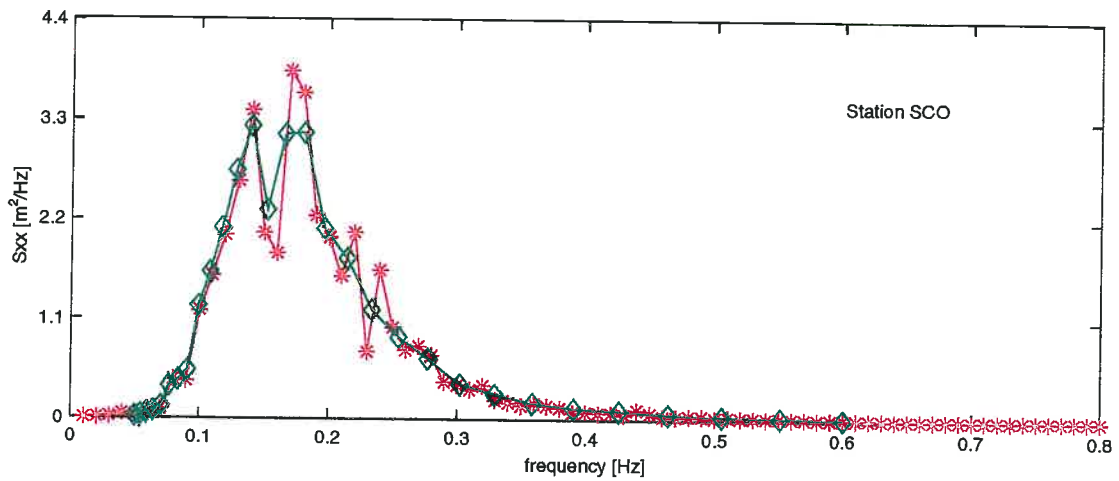
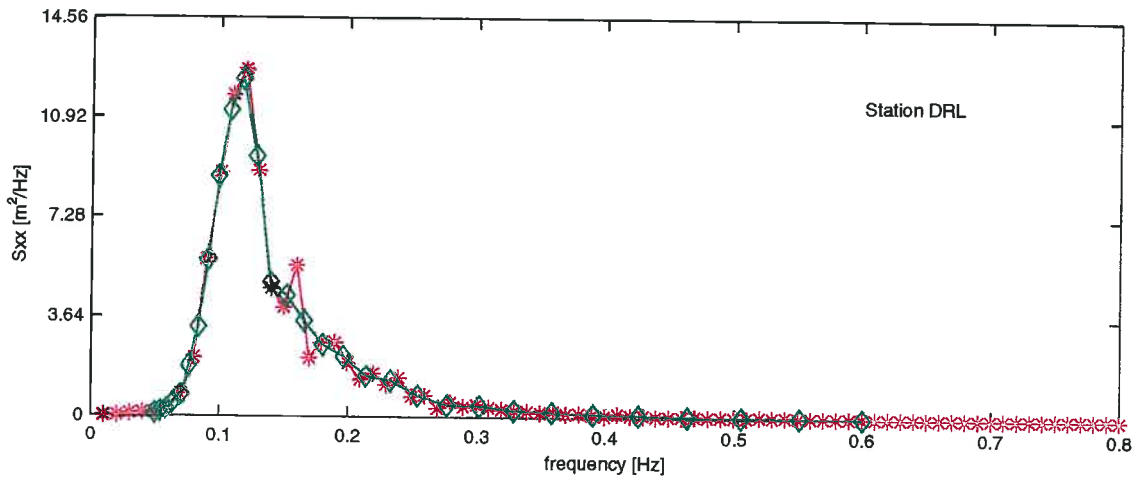
900125 19:00

SWAN v40.01

WL | DELFT HYDRAULICS

H3761

Fig. B.3.e



\* Meting  
◇ SWAN berekening

Berekende vs gemeten spectrum voor Walcheren

Run c13

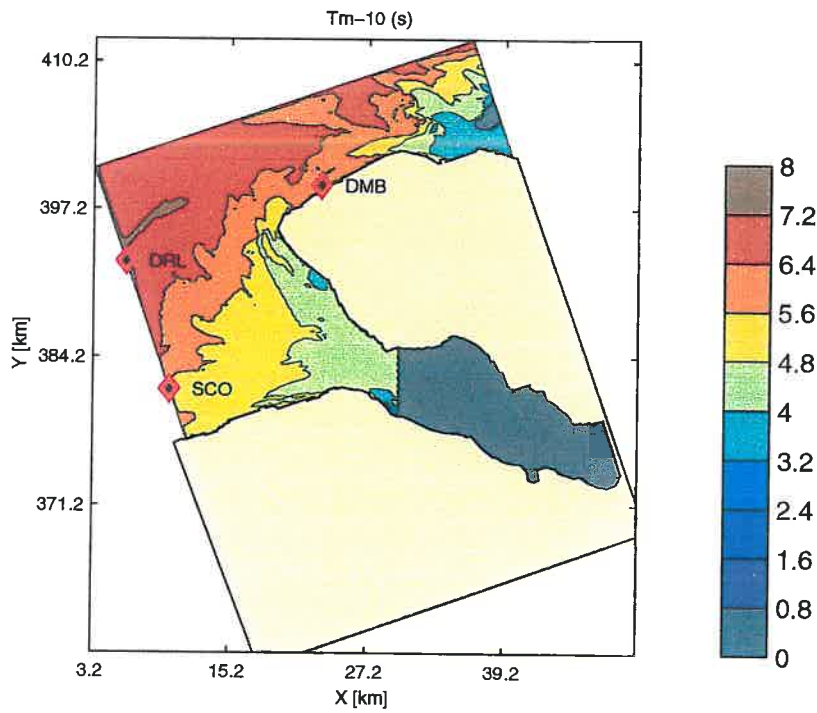
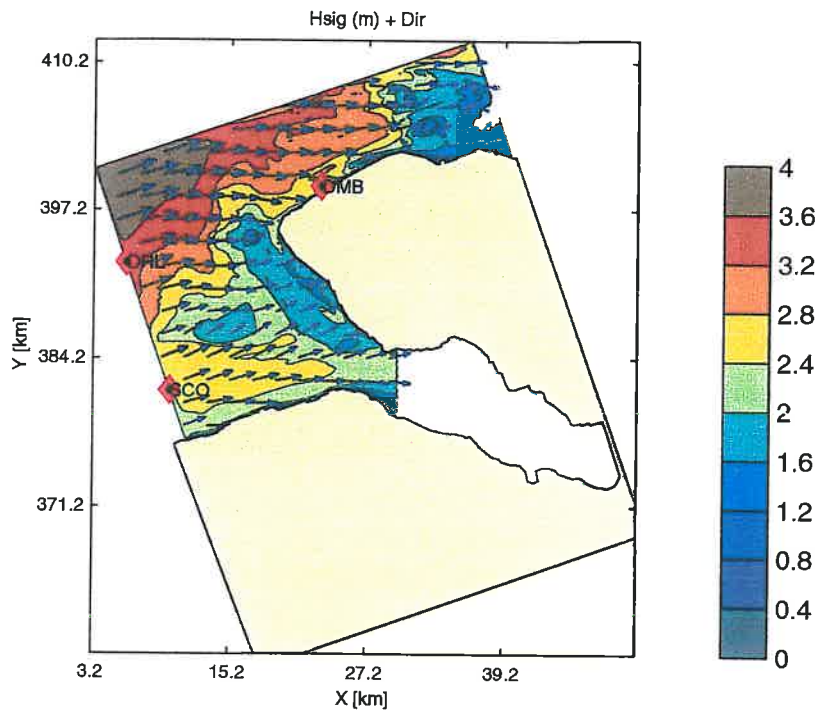
900125 19:00

SWAN v40.01

WL | DELFT HYDRAULICS

H3761

Fig. B.3.f



Berekende Hs, Dir en Tm-10 voor Walcheren

Run c20

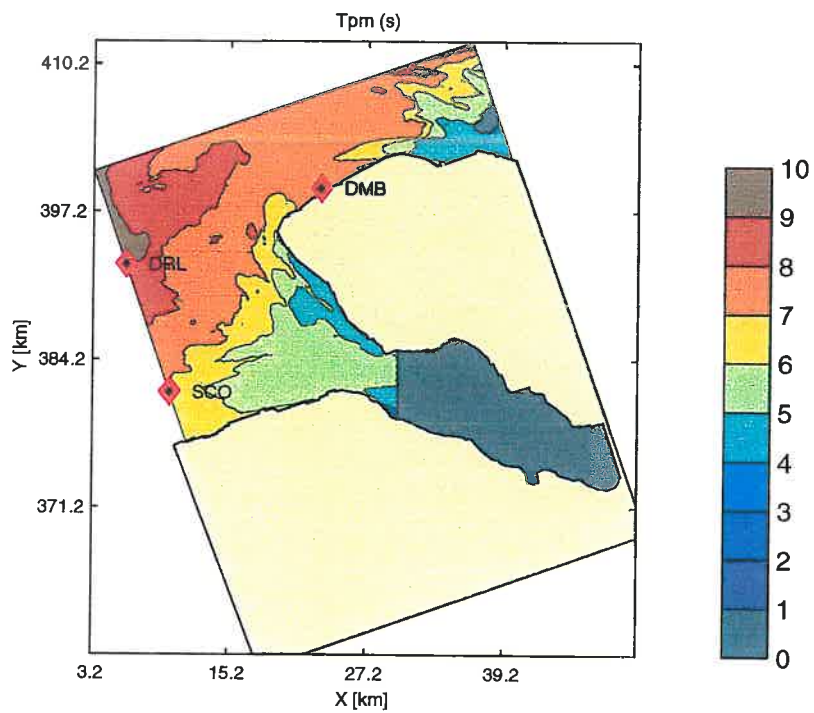
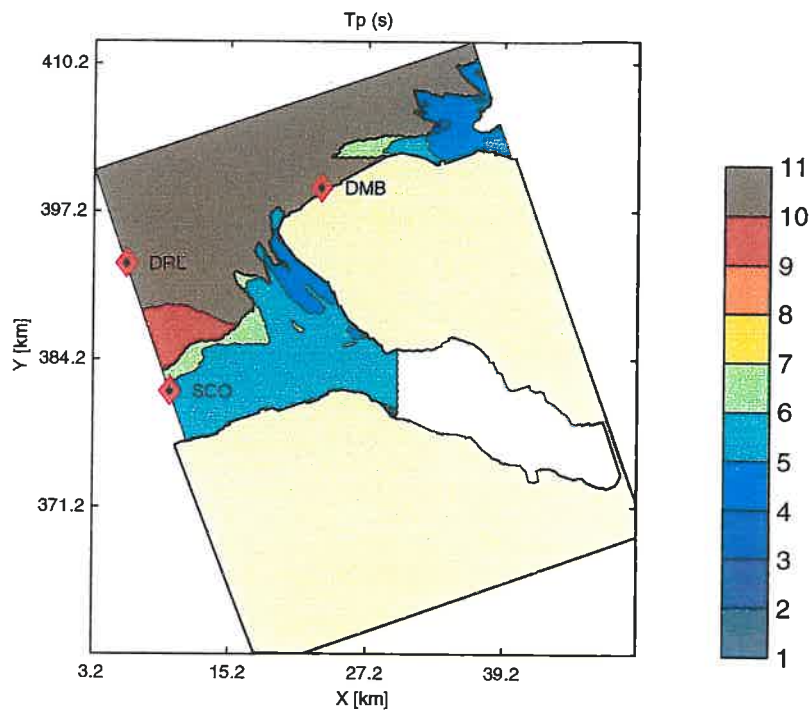
900125 21:00

SWAN v40.01

WL | DELFT HYDRAULICS

H3761

Fig. B.4.a



Berekende Tp en Tpm voor Walcheren

Run c20

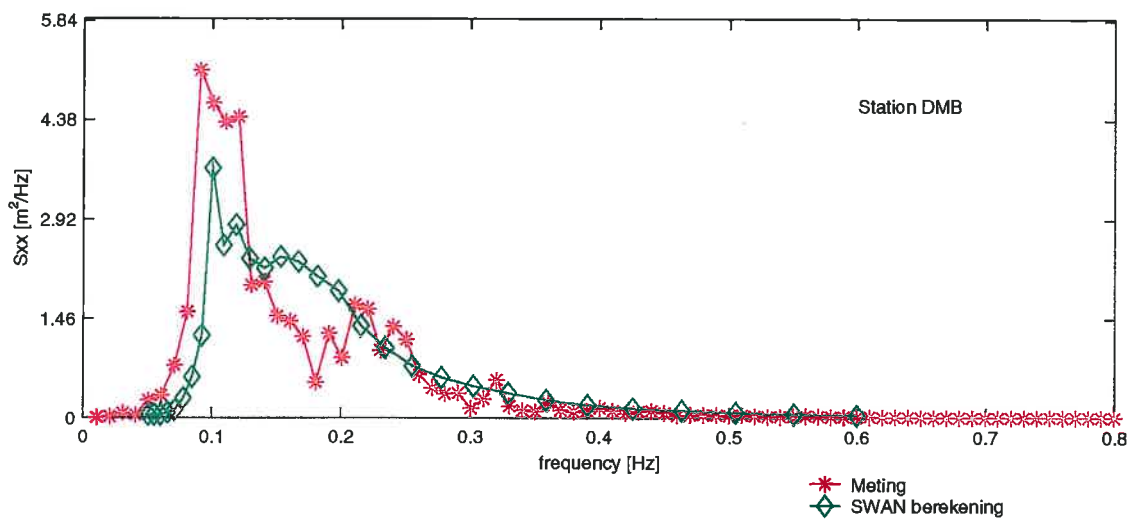
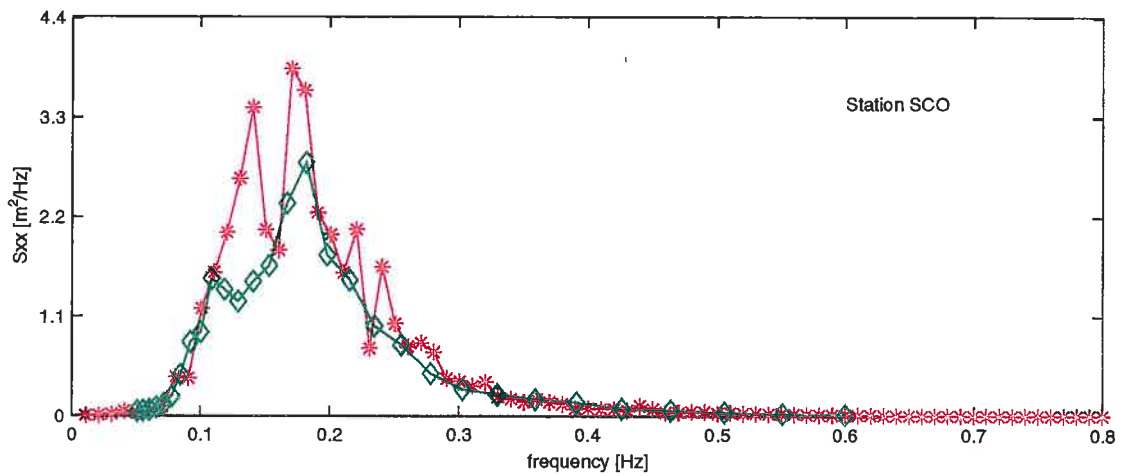
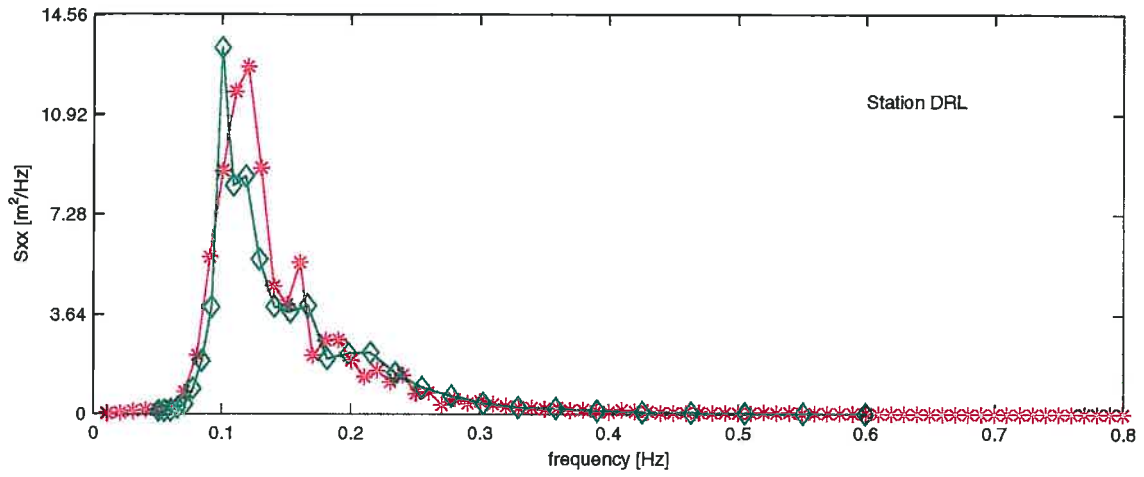
900125 21:00

SWAN v40.01

WL | DELFT HYDRAULICS

H3761

Fig. B.4.b



Berekende vs gemeten spectrum voor Walcheren

Run c20

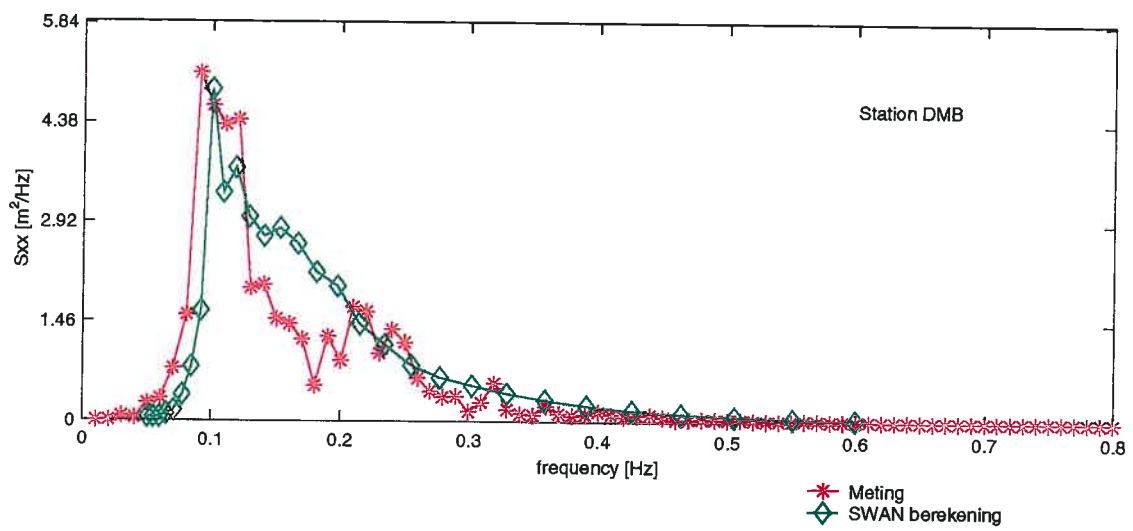
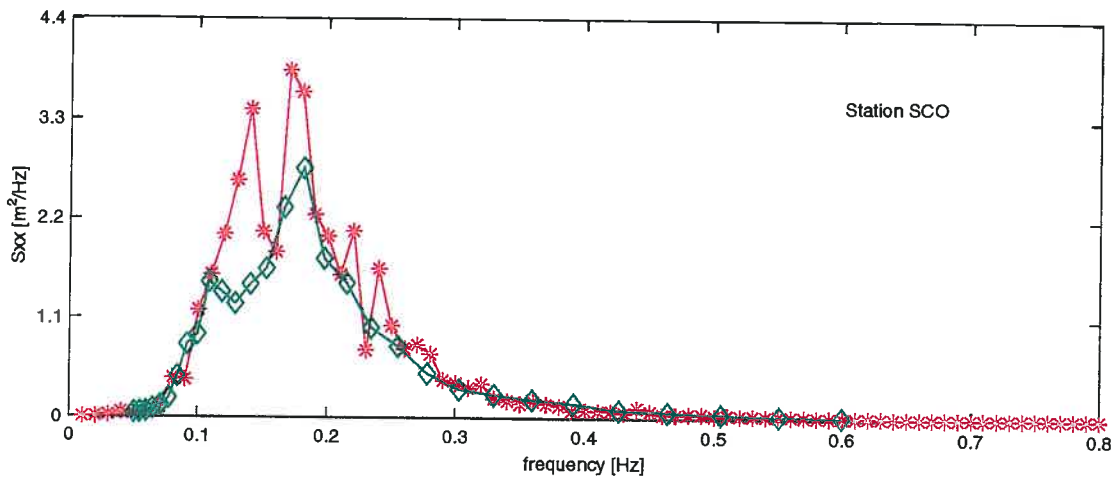
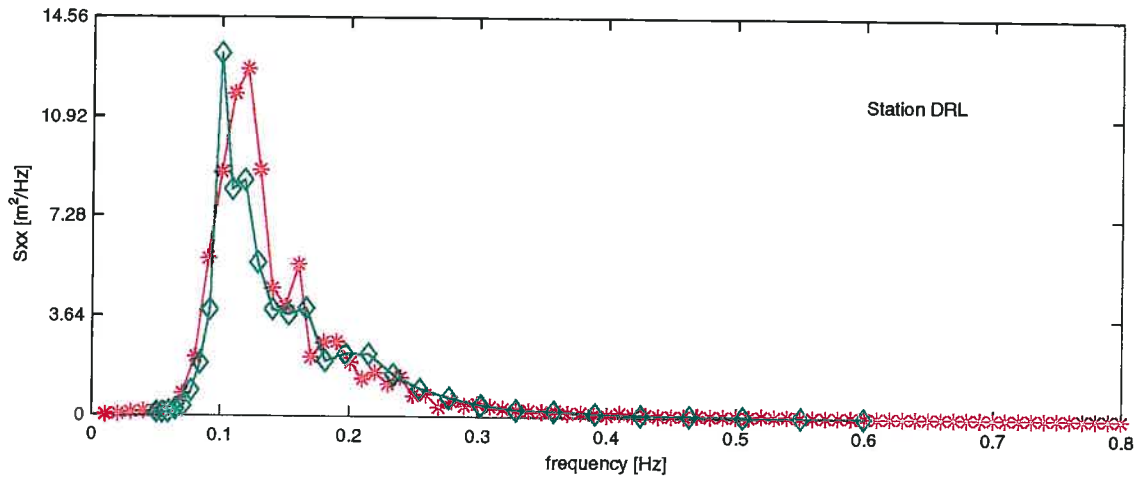
900125 21:00

SWAN v40.01

WL | DELFT HYDRAULICS

H3761

Fig. B.4.c



Berekende vs gemeten spectrum voor Walcheren

Run c21

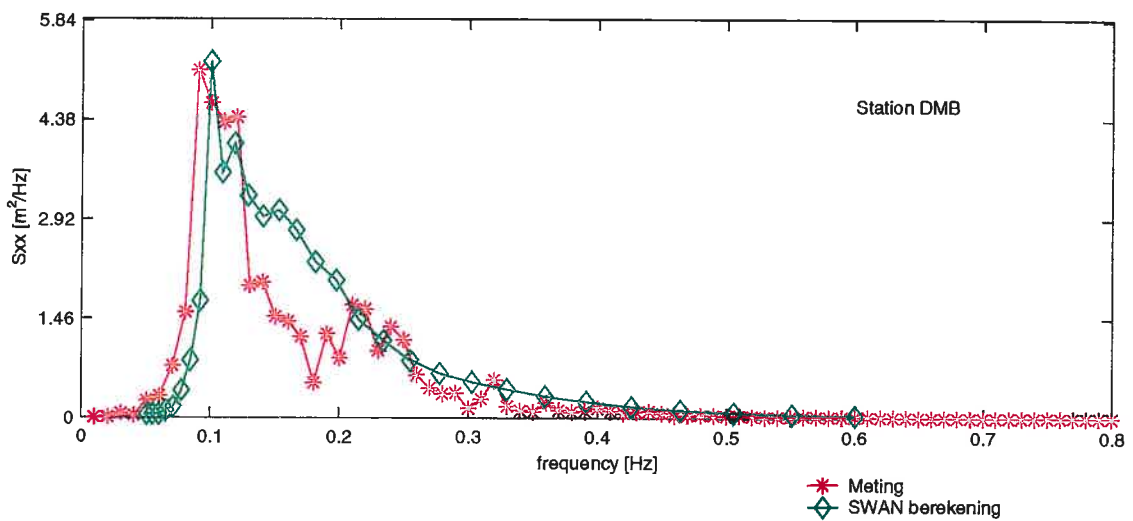
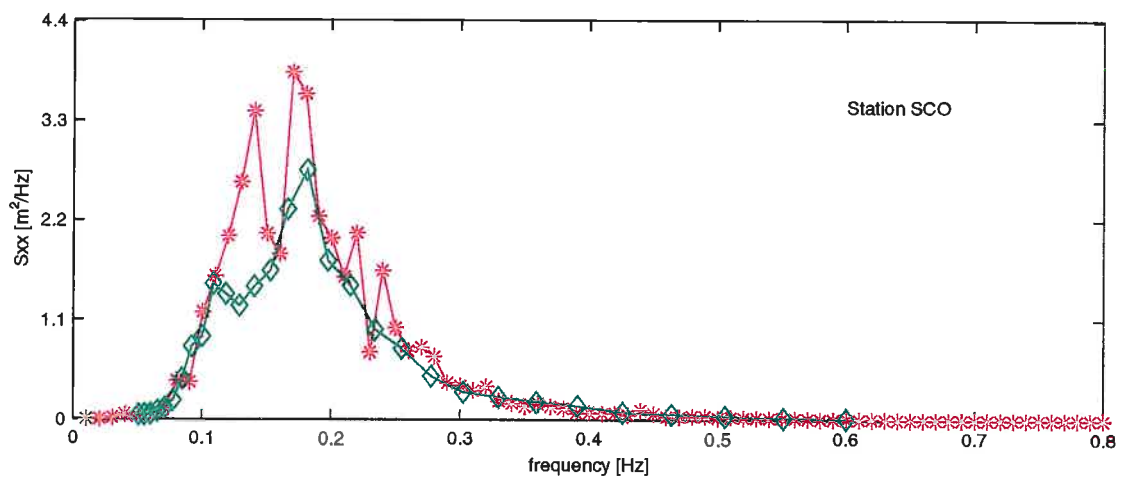
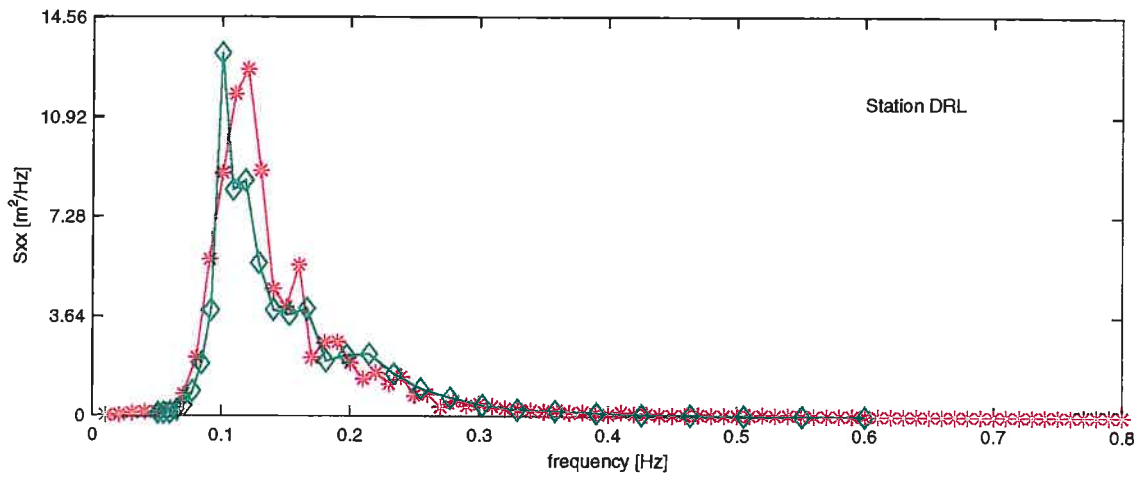
900125 21:00

SWAN v40.01

WL | DELFT HYDRAULICS

H3761

Fig. B.4.d



Berekende vs gemeten spectrum voor Walcheren

Run c22

900125 19:00

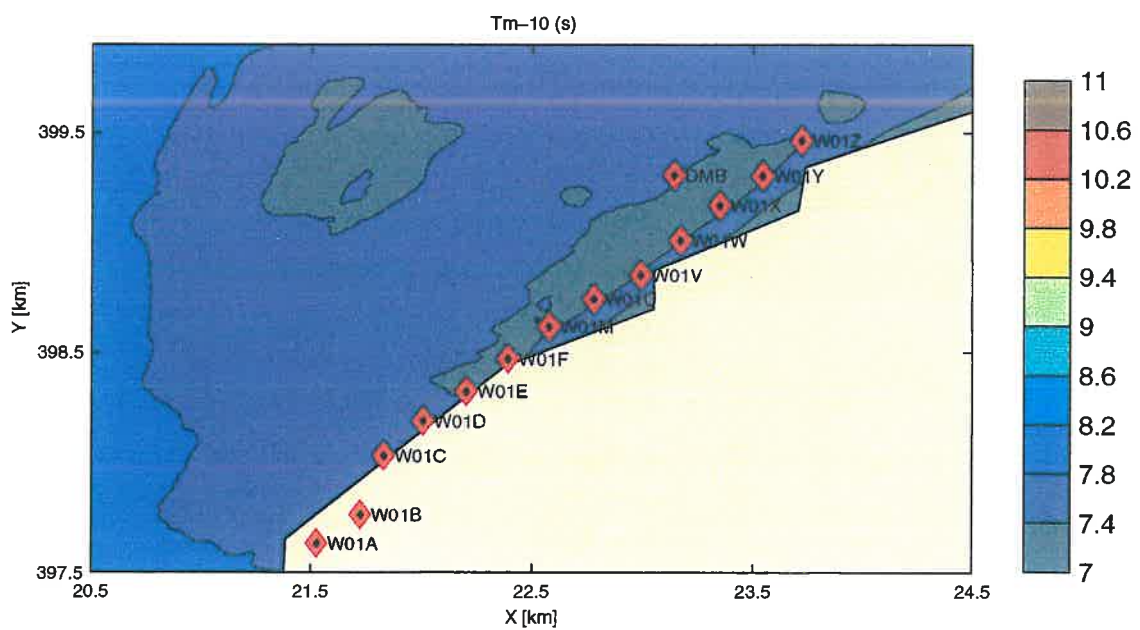
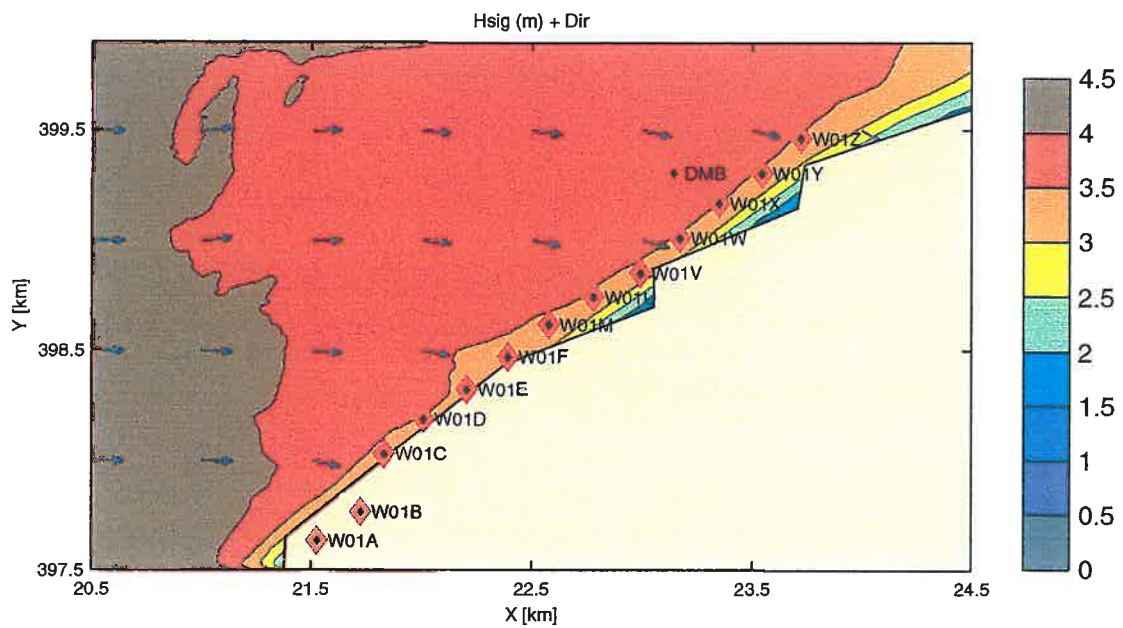
SWAN v40.01

WL | DELFT HYDRAULICS

H3761

Fig. B.4.e





Berekende Hs, Dir en Tm-10 voor Walcheren

Run f30

900228 03:00

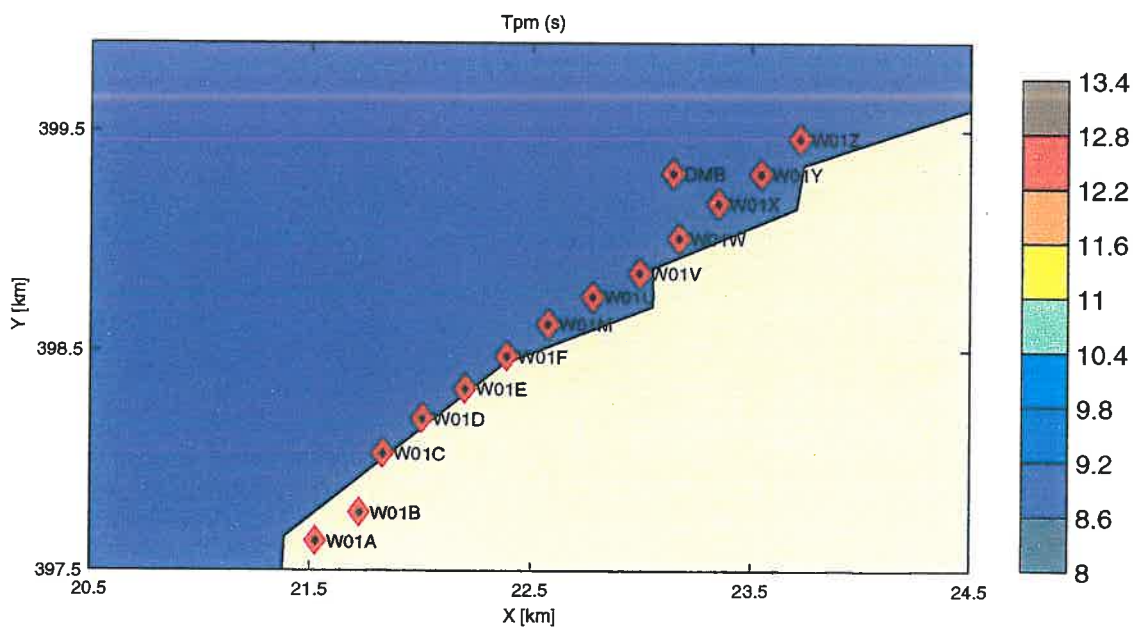
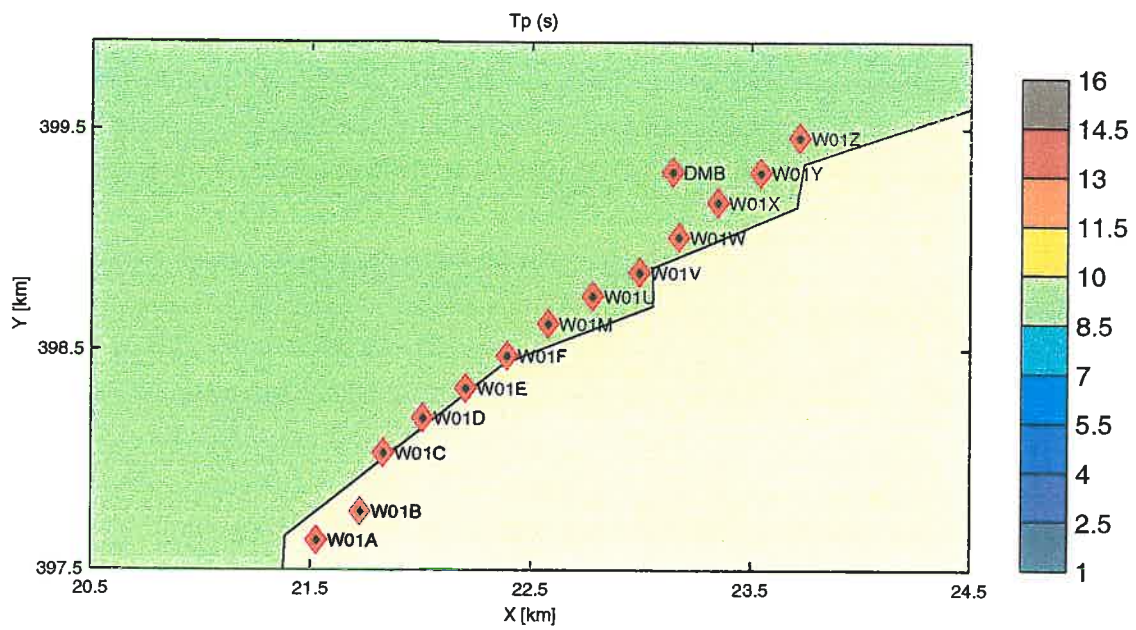
SWAN v40.01

WL | DELFT HYDRAULICS

H3761

Fig. B.5.a





Berekende  $T_p$  en  $T_{pm}$  voor Walcheren

Run f30

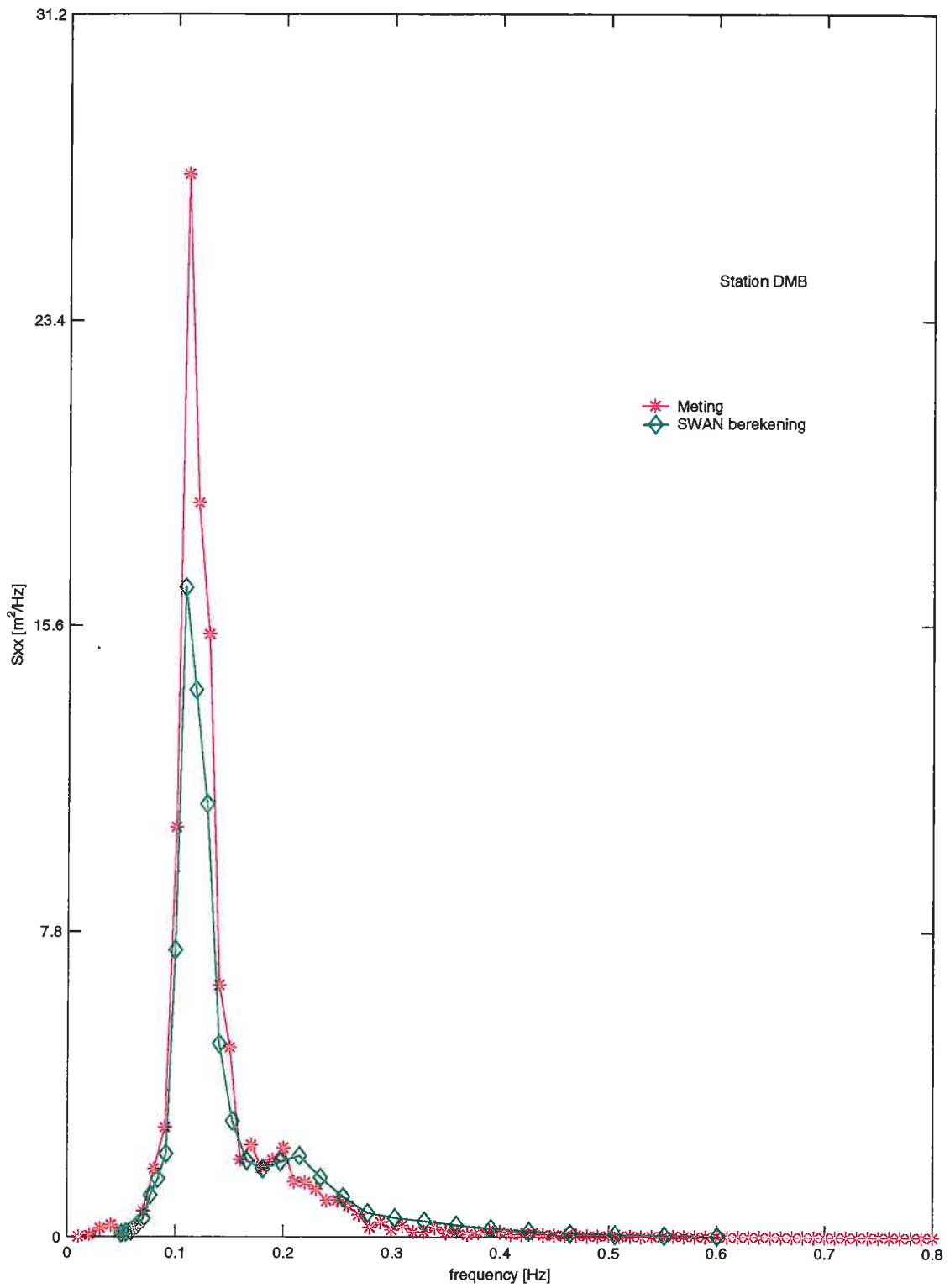
900228 03:00

SWAN v40.01

WL | DELFT HYDRAULICS

H3761

Fig. B.5.b



Berekende vs gemeten spectrum voor Walcheren

Run f30

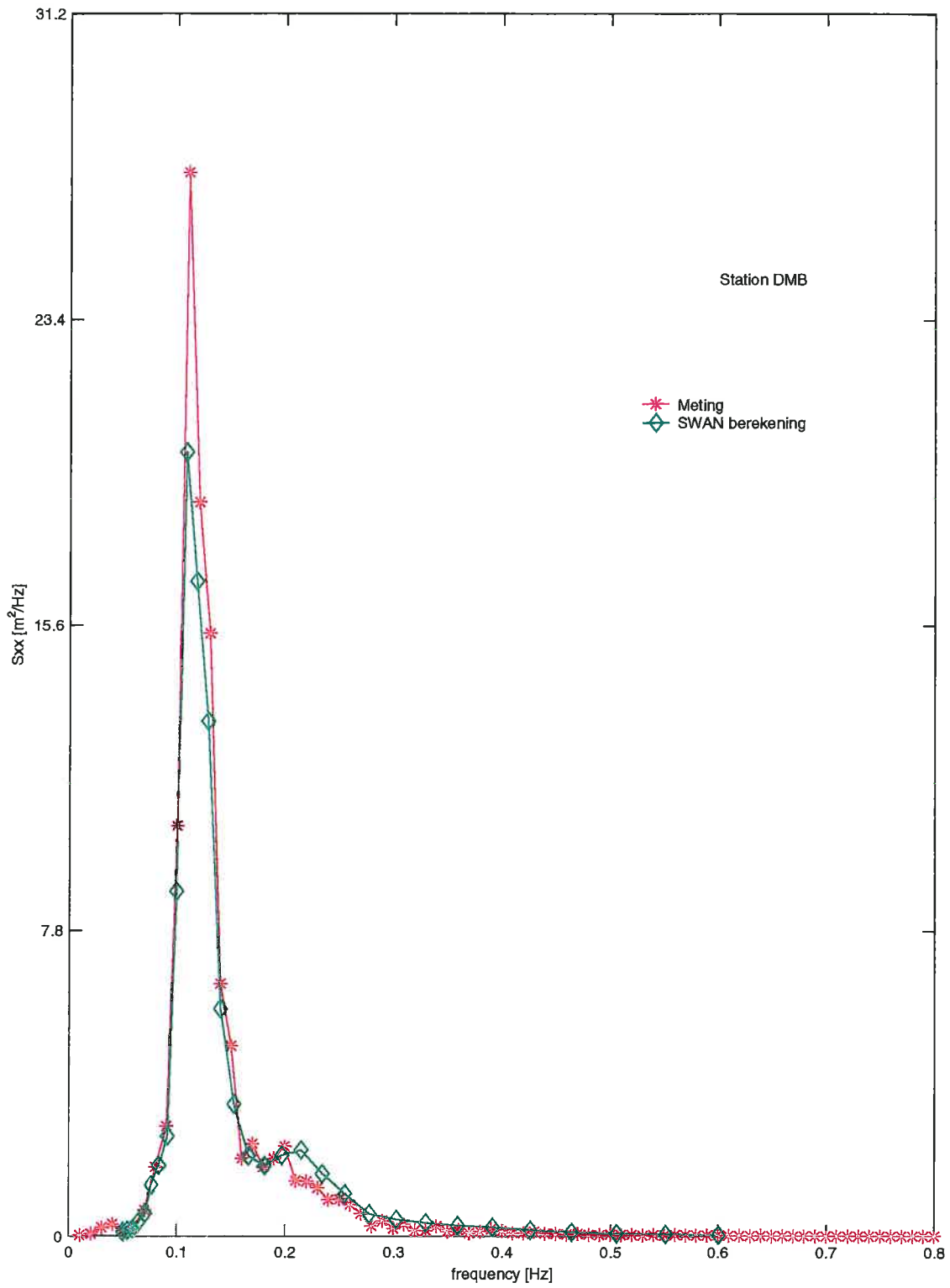
900228 03:00

SWAN v40.01

WL | DELFT HYDRAULICS

H3761

Fig. B.5.c



Berekende vs gemeten spectrum voor Walcheren

Run f31

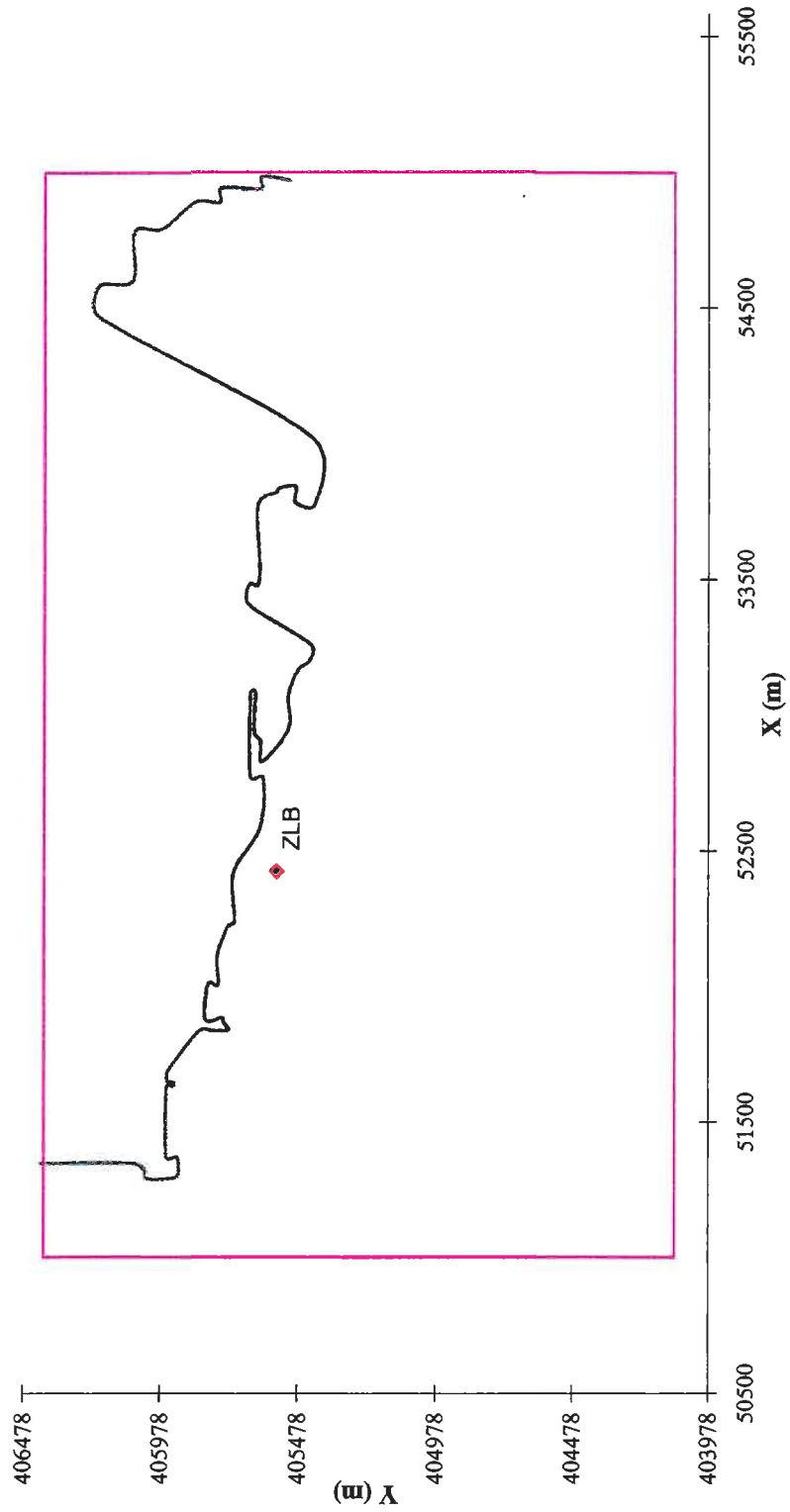
900228 03:00

SWAN v40.01

WL | DELFT HYDRAULICS

H3761

Fig. B.5.d



Rekenrooster Oosterschelde

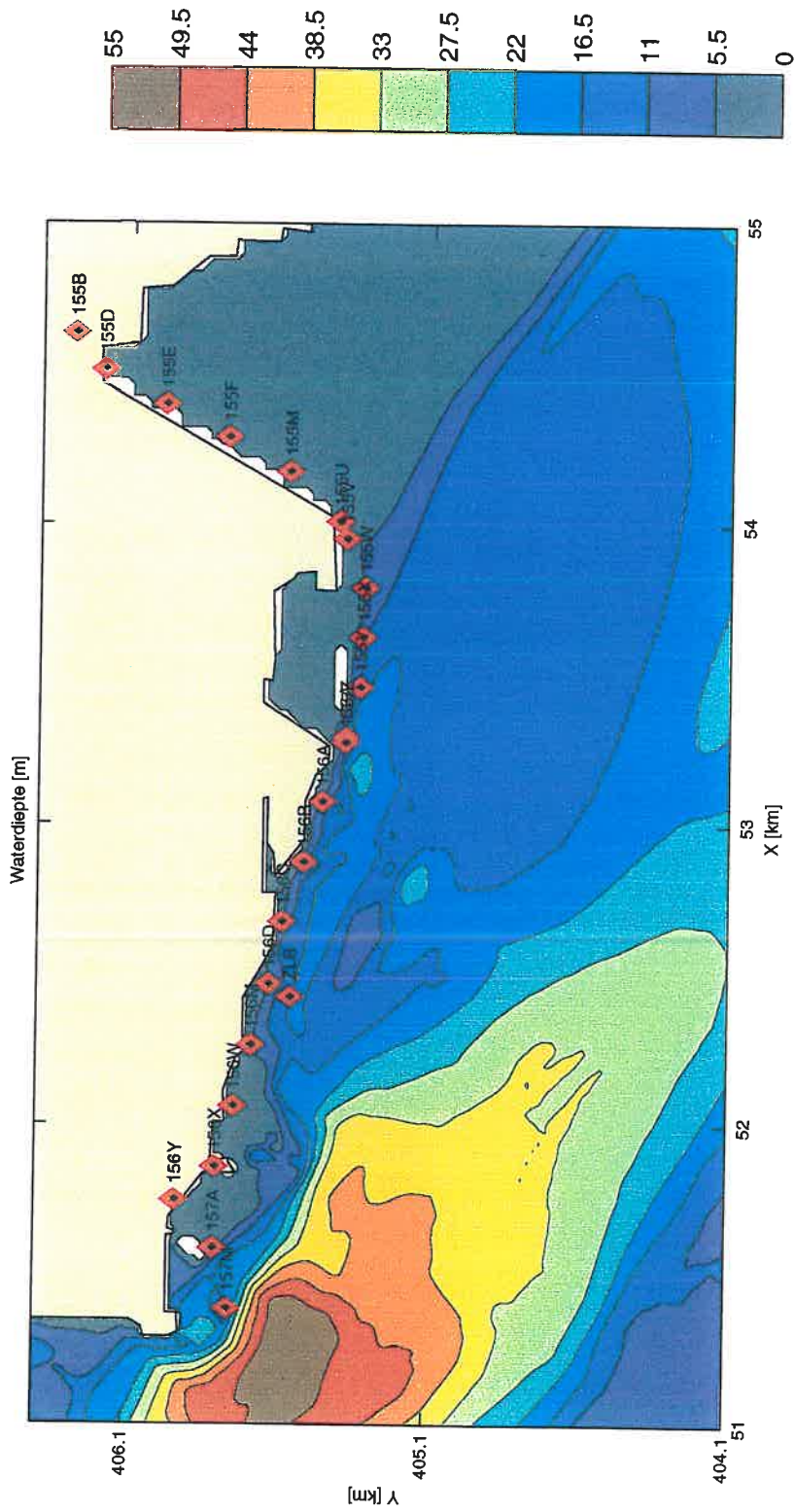
Run c10

900125

WL | DELFT HYDRAULICS

H3761

Fig. C.1



Diepte schematisatie Oosterschelde

Run c10

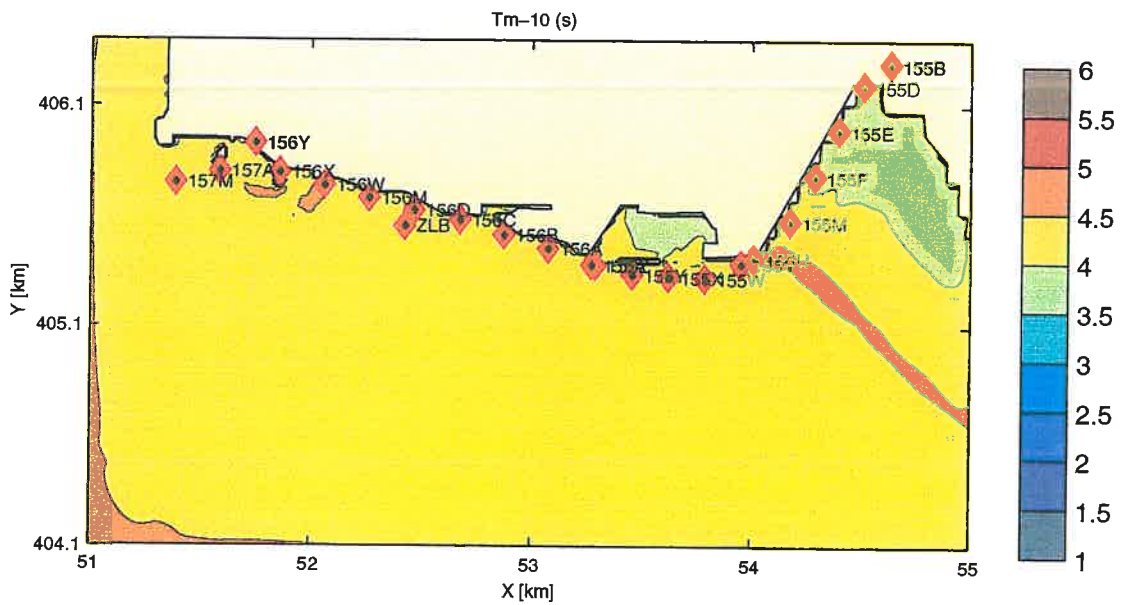
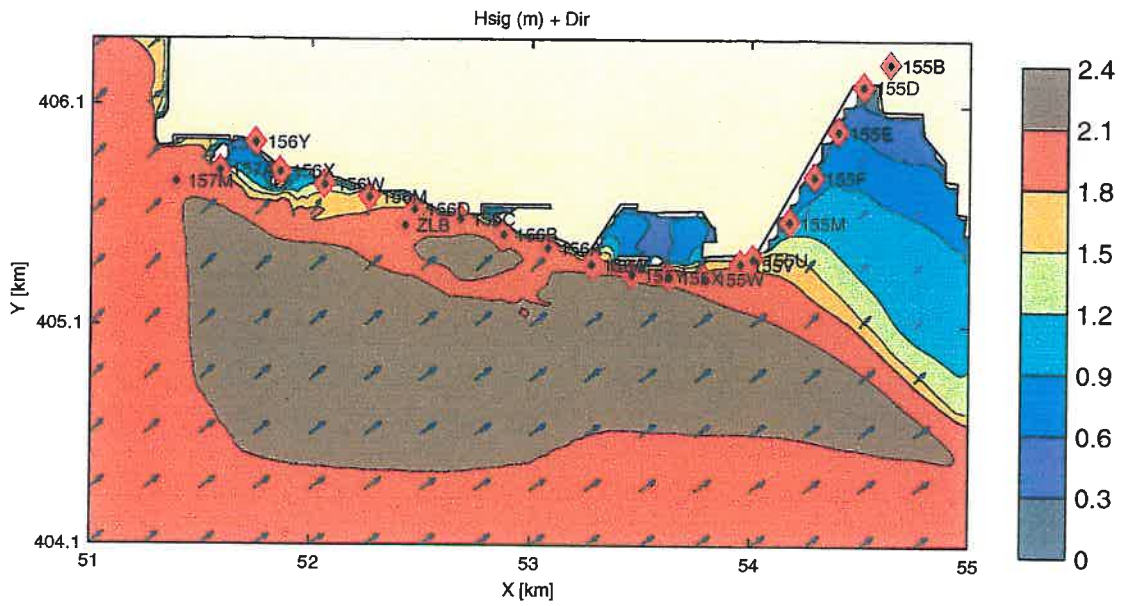
900125

SWAN v40.01

WL | DELFT HYDRAULICS

H3761

Fig. C.2



Berekende Hs, Dir en Tm-10 voor de Oosterschelde

Run c10

900125 19:30

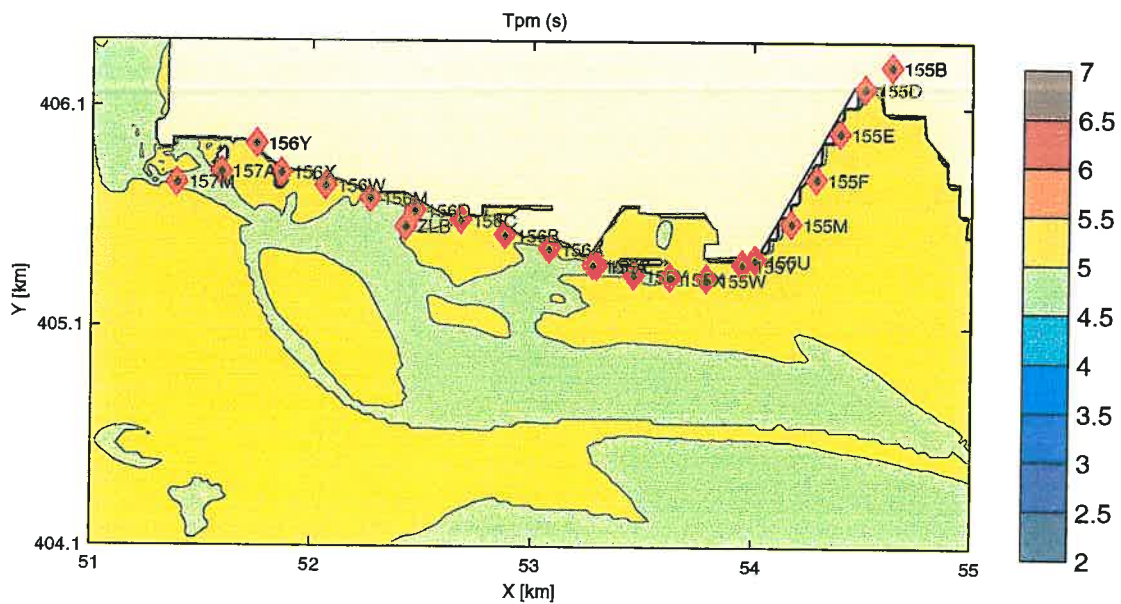
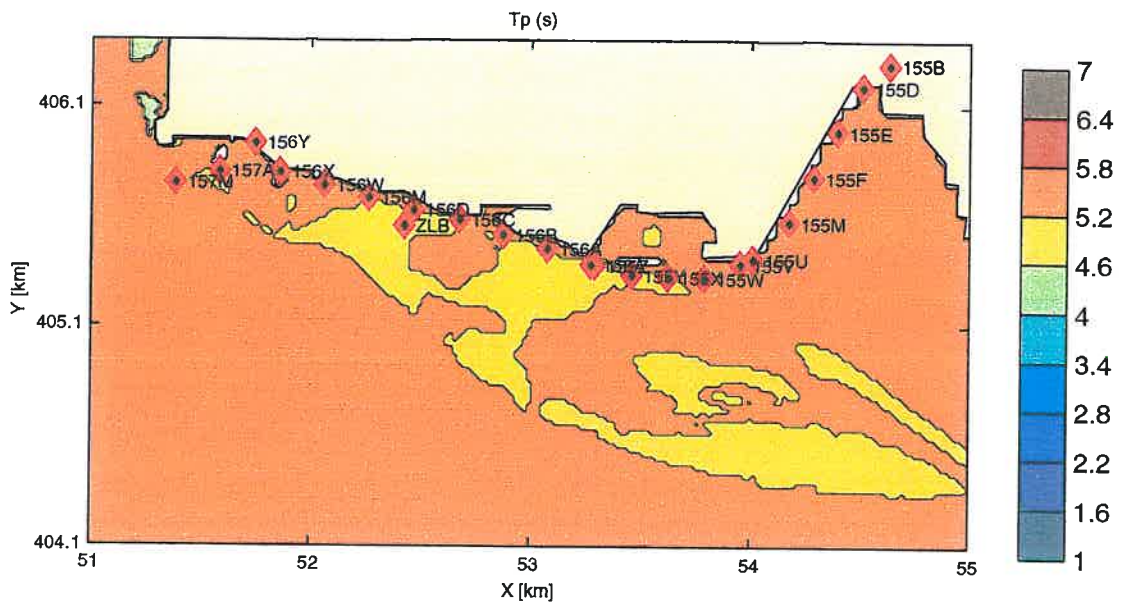
SWAN v40.01

WL | DELFT HYDRAULICS

H3761

Fig. C.3.a





Berekende Tp en Tpm voor de Oosterschelde

Run c10

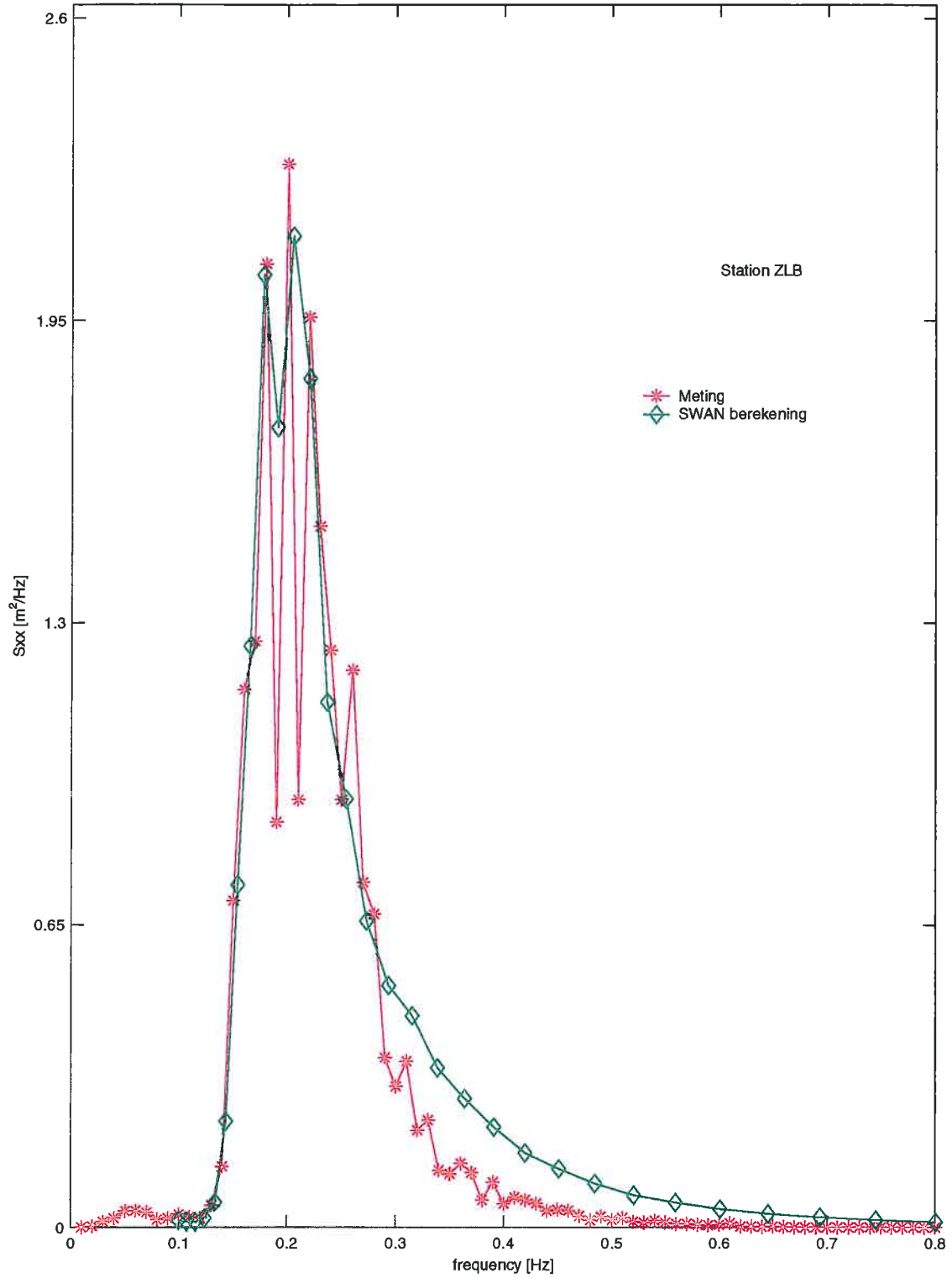
900125 19:30

SWAN v40.01

WL | DELFT HYDRAULICS

H3761

Fig. C.3.b



Berekende vs gemeten spectrum voor de Oosterschelde

Run c10

900125 17:30

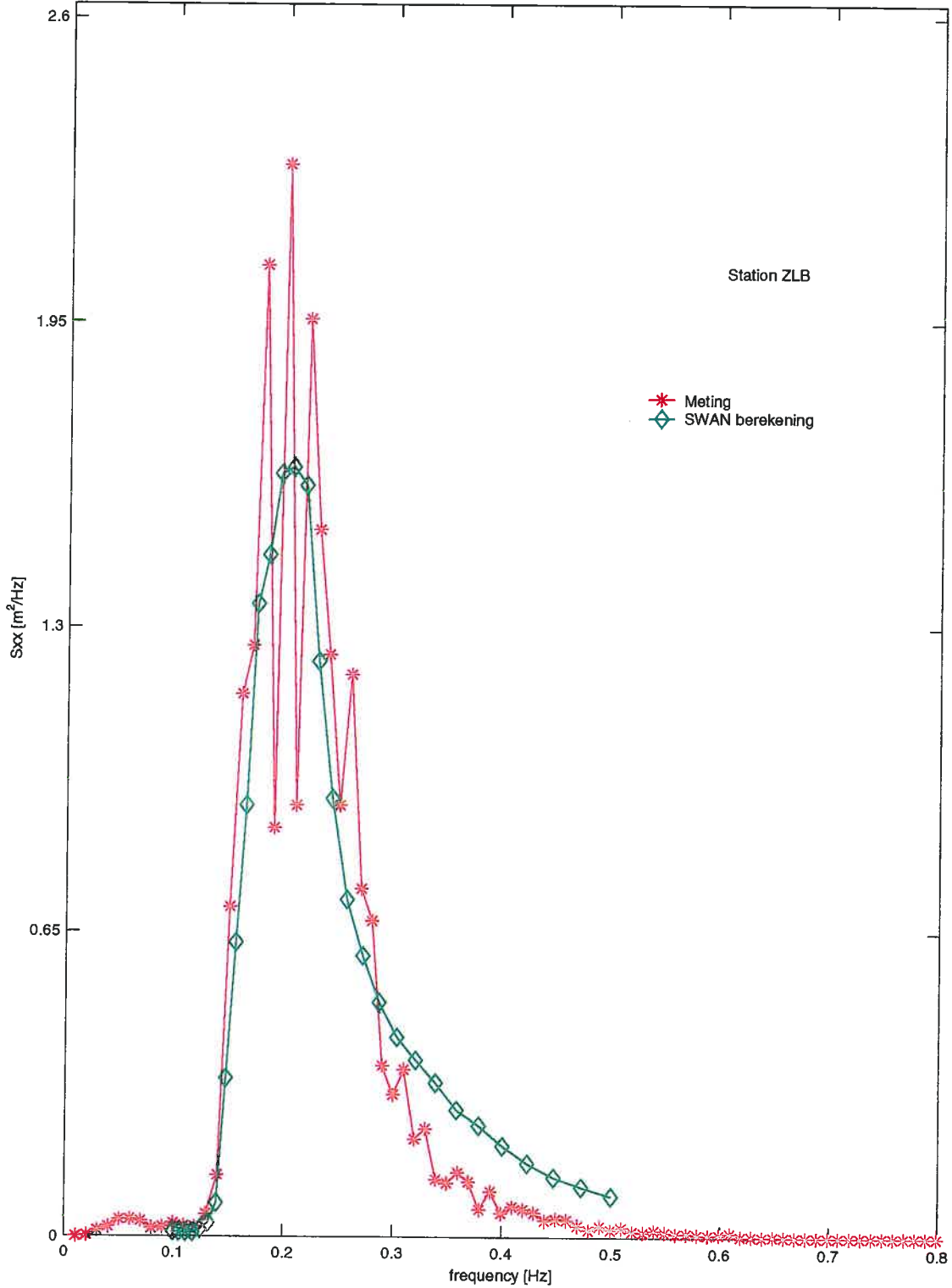
SWAN v40.01

WL | DELFT HYDRAULICS

H3761

Fig. C.3.c





Berekende vs gemeten spectrum voor de Oosterschelde

Run c11

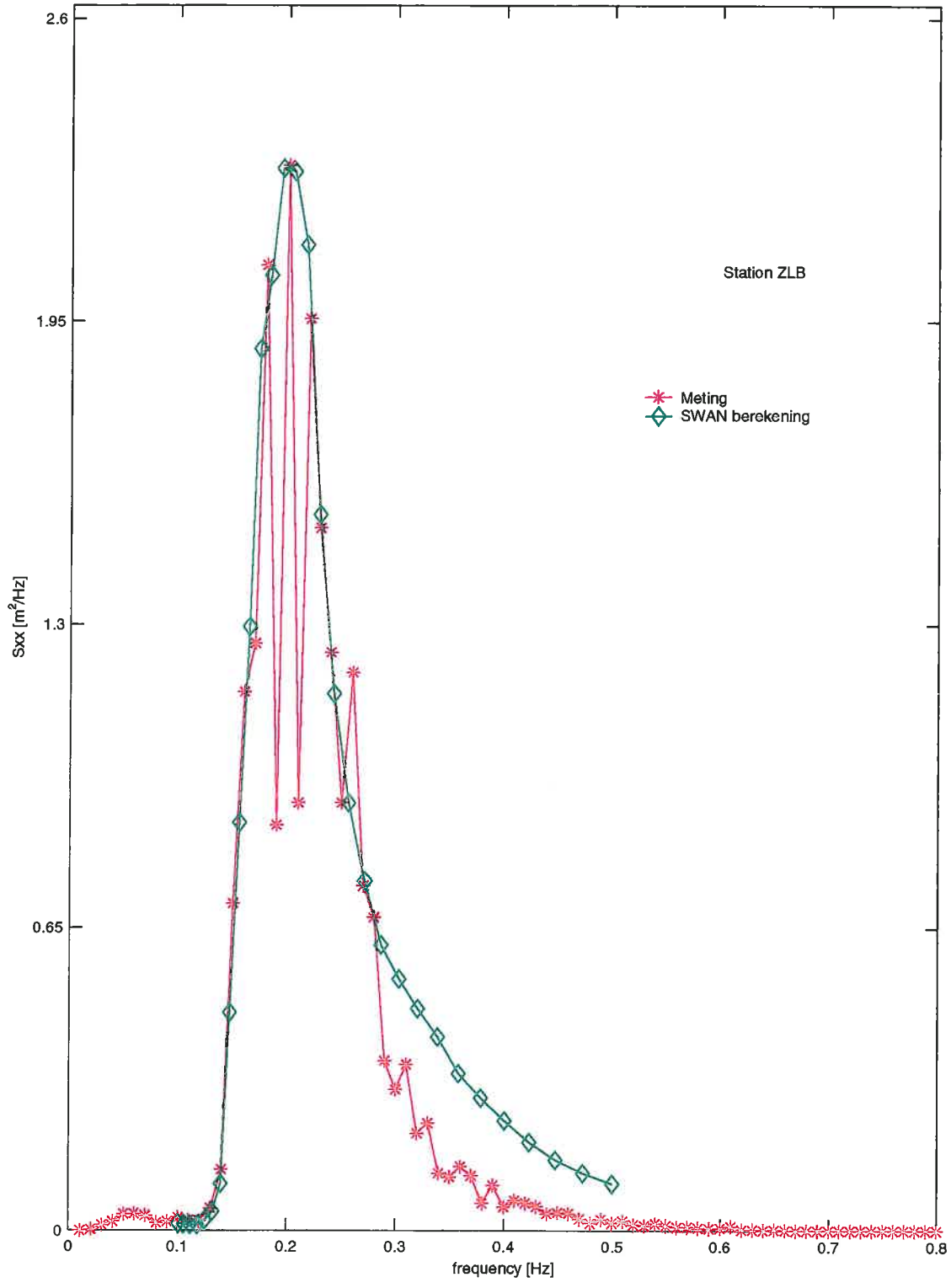
900125 17:30

SWAN v40.01

WL | DELFT HYDRAULICS

H3761

Fig. C.3.d



Berekende vs gemeten spectrum voor de Oosterschelde

Run c12

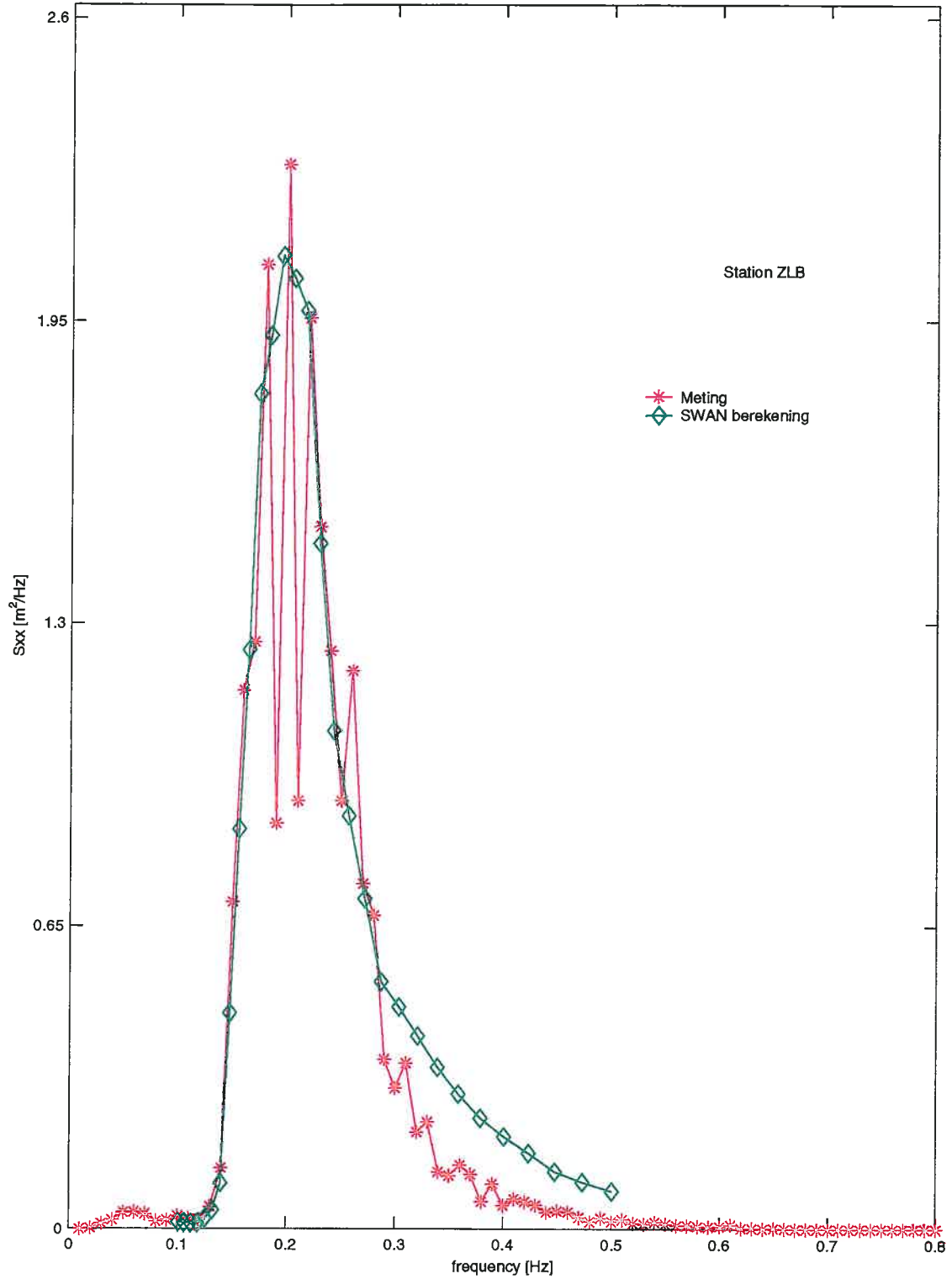
900125 17:30

SWAN v40.01

WL | DELFT HYDRAULICS

H3761

Fig. C.3.e



Berekende vs gemeten spectrum voor de Oosterschelde

Run c13

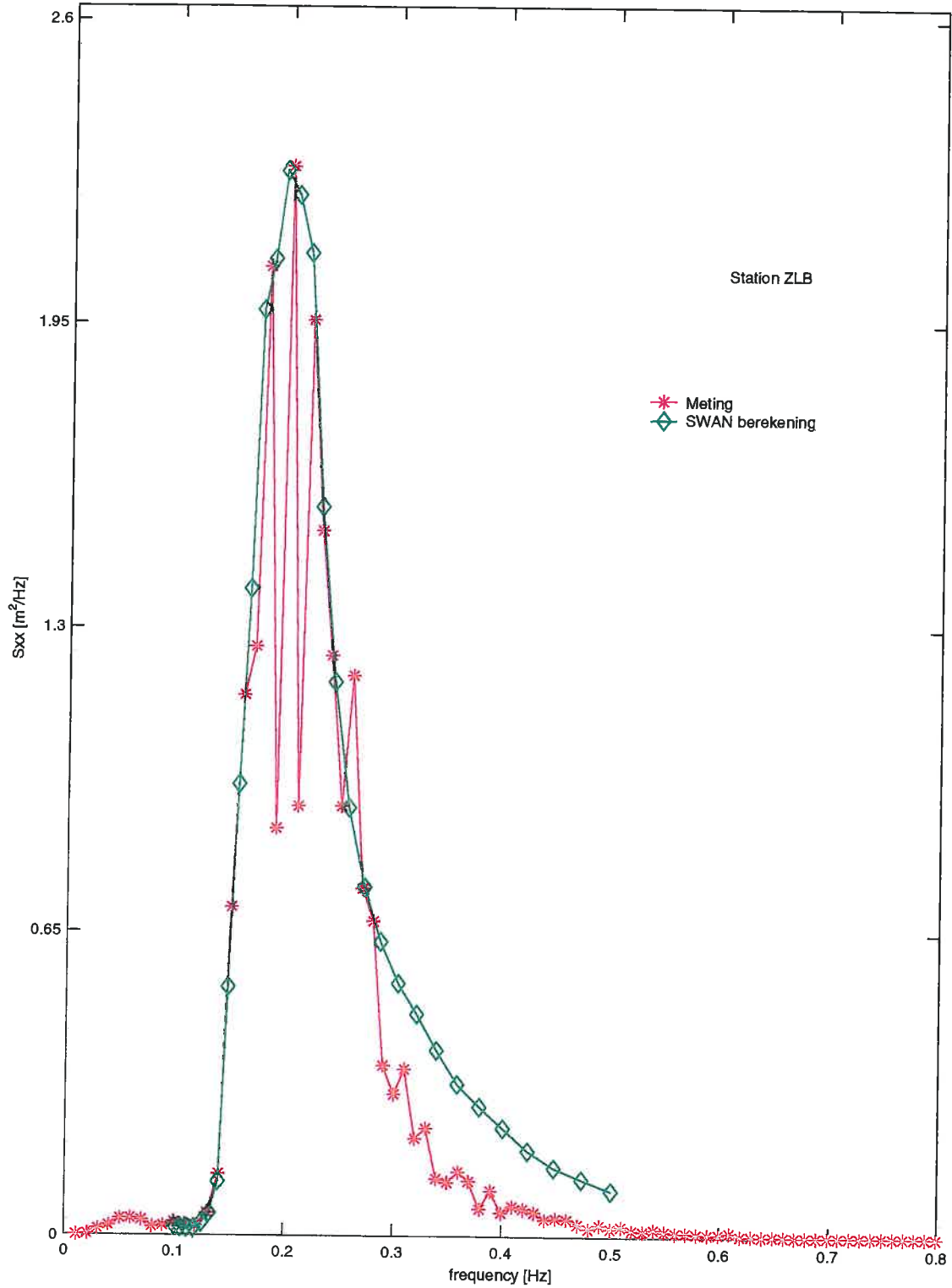
900125 17:30

SWAN v40.01

WL | DELFT HYDRAULICS

H3761

Fig. C.3.f



Berekende vs gemeten spectrum voor de Oosterschelde

Run c14

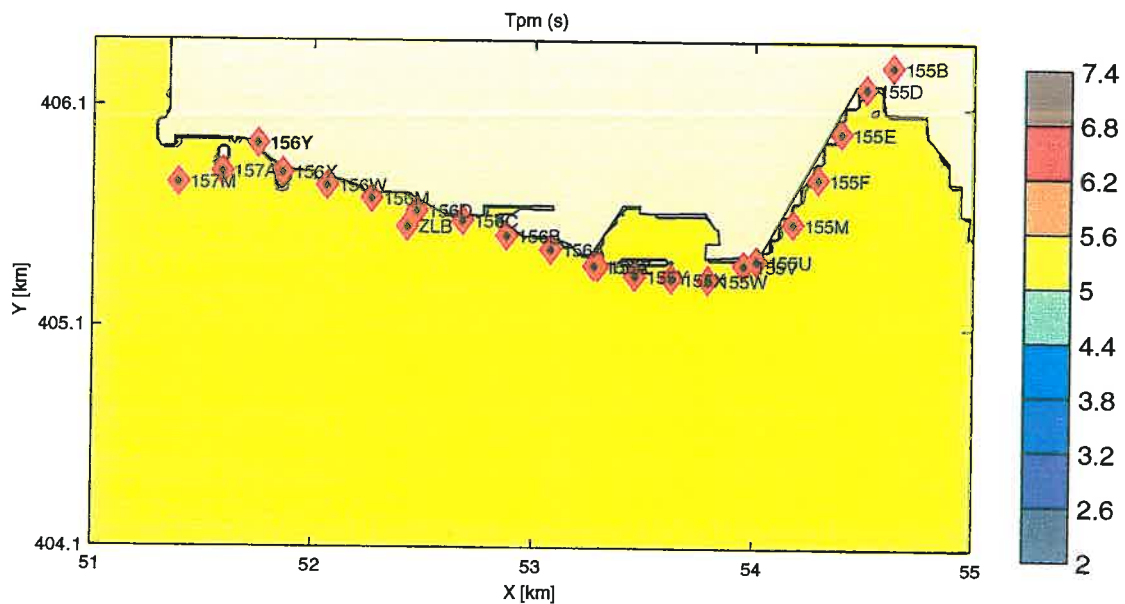
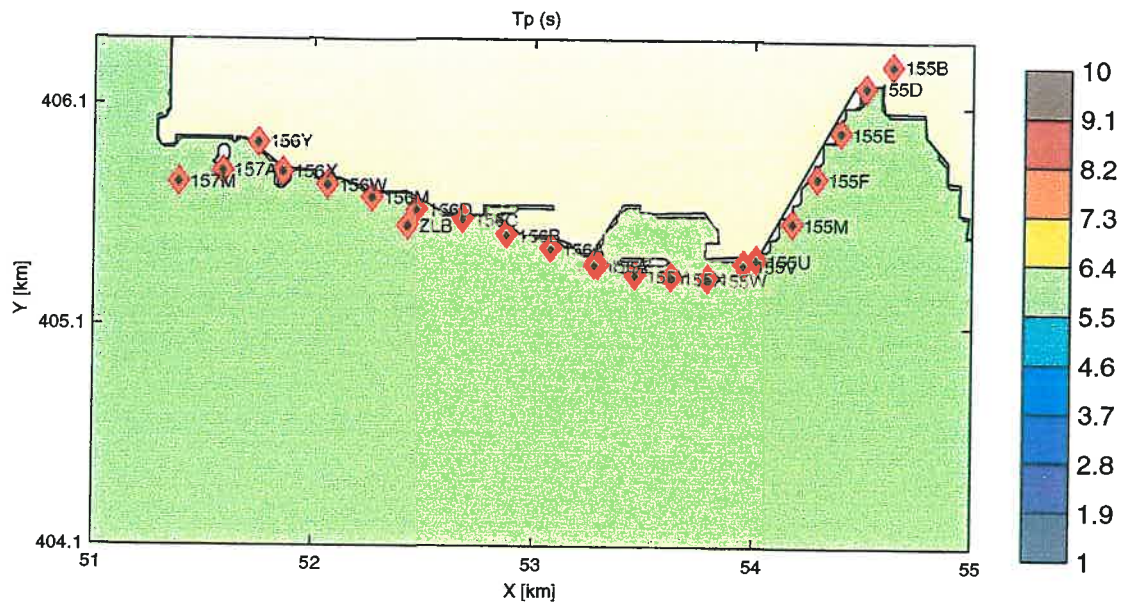
900125 17:30

SWAN v40.01

WL | DELFT HYDRAULICS

H3761

Fig. C.3.g



Berekende  $T_p$  en  $T_{pm}$  voor de Oosterschelde

Run c20

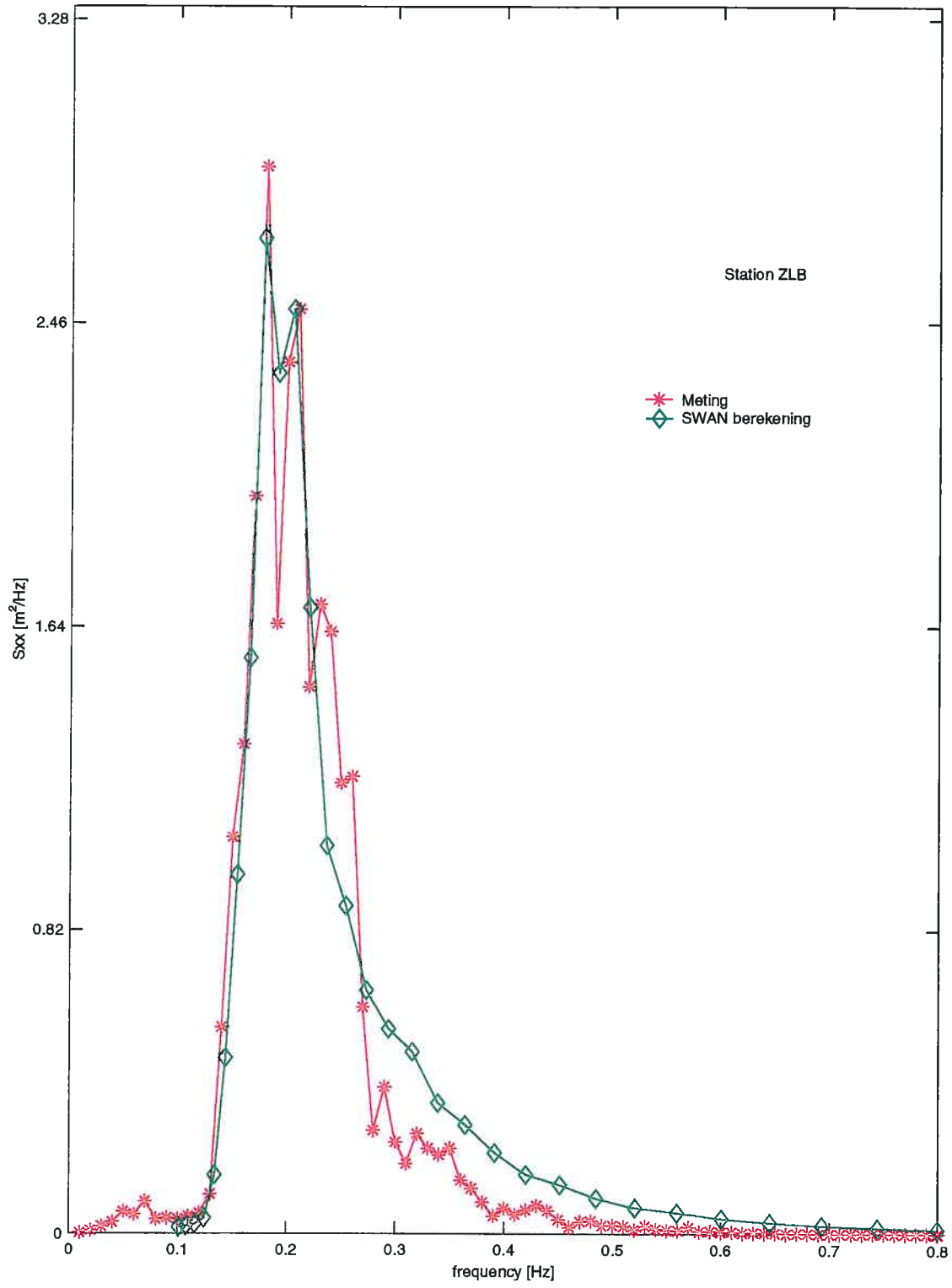
900125 19:30

SWAN v40.01

WL | DELFT HYDRAULICS

H3761

Fig. C.4.b



Berekende vs gemeten spectrum voor de Oosterschelde

Run c20

900125 18:00

SWAN v40.01

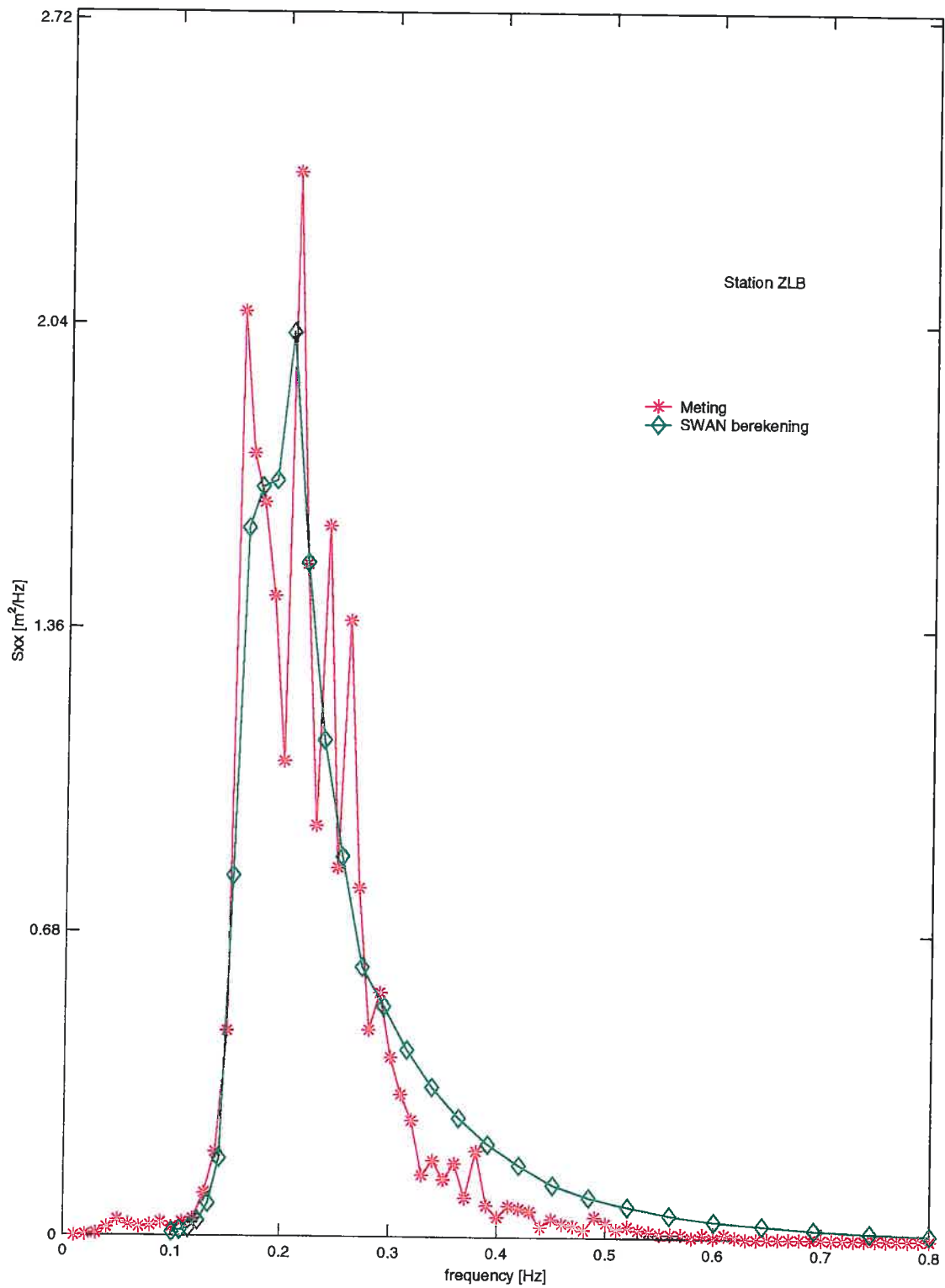
WL | DELFT HYDRAULICS

H3761

Fig. C.4.c







Berekende vs gemeten spectrum voor de Oosterschelde

Run c30

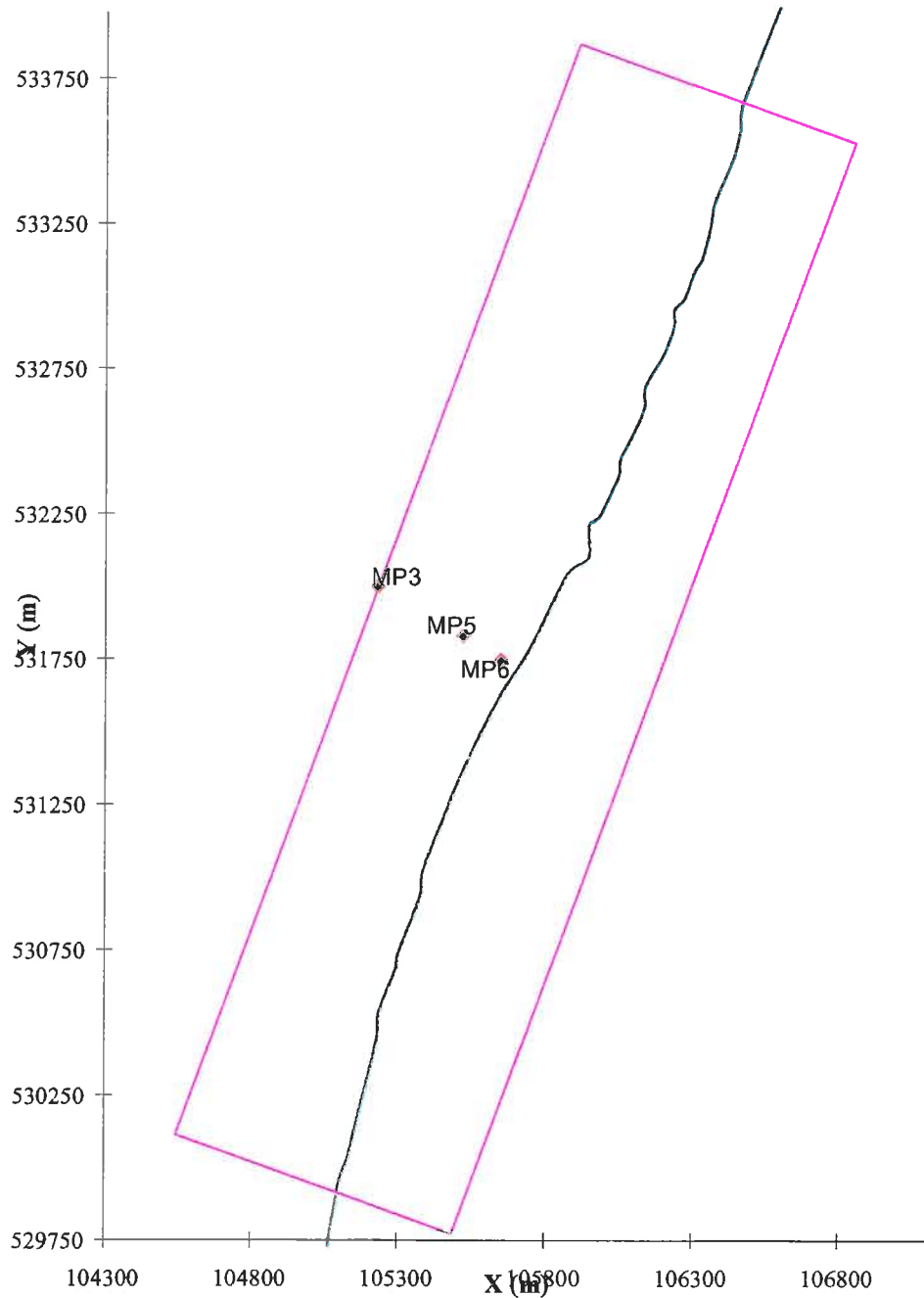
900125 18:30

SWAN v40.01

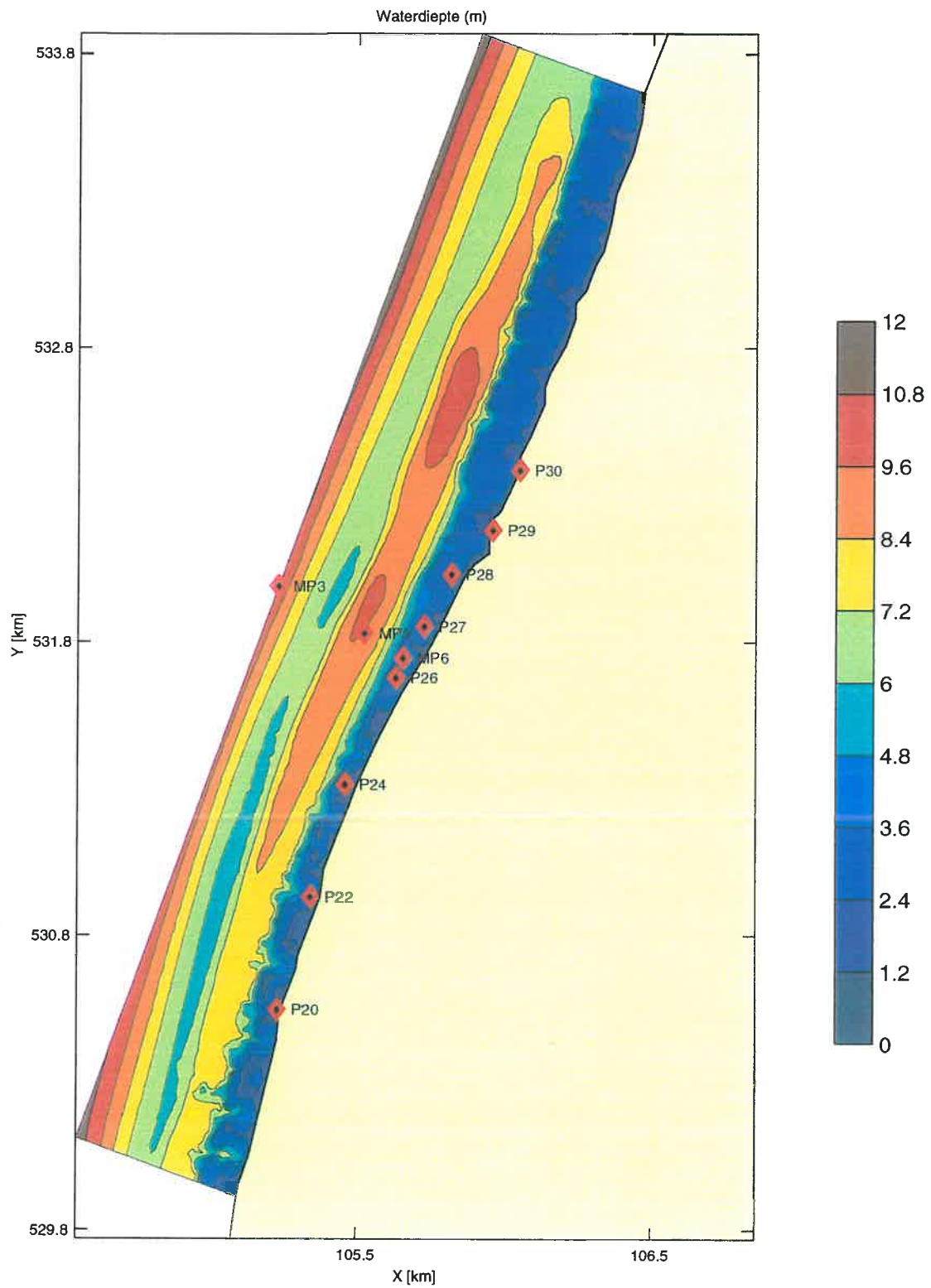
WL | DELFT HYDRAULICS

H3761

Fig. C.5.c



Rekenrooster Petten	Run c10	950201
<b>WL   DELFT HYDRAULICS</b>	H3671	FIG. D.1



Diepte schematisatie Petten

Run c10

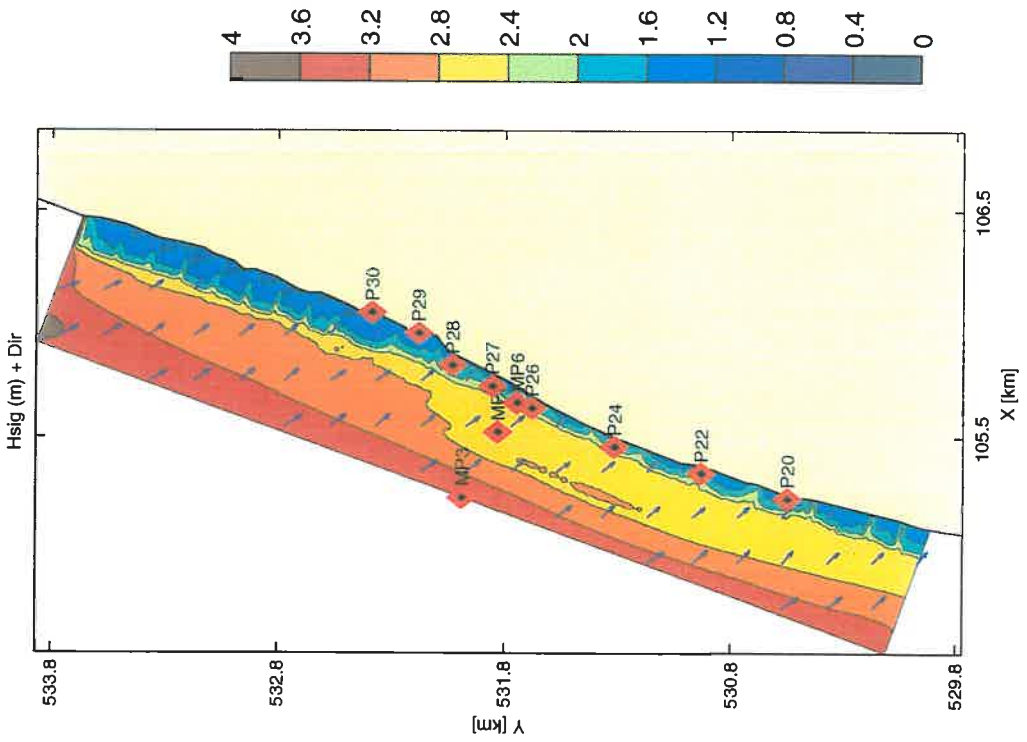
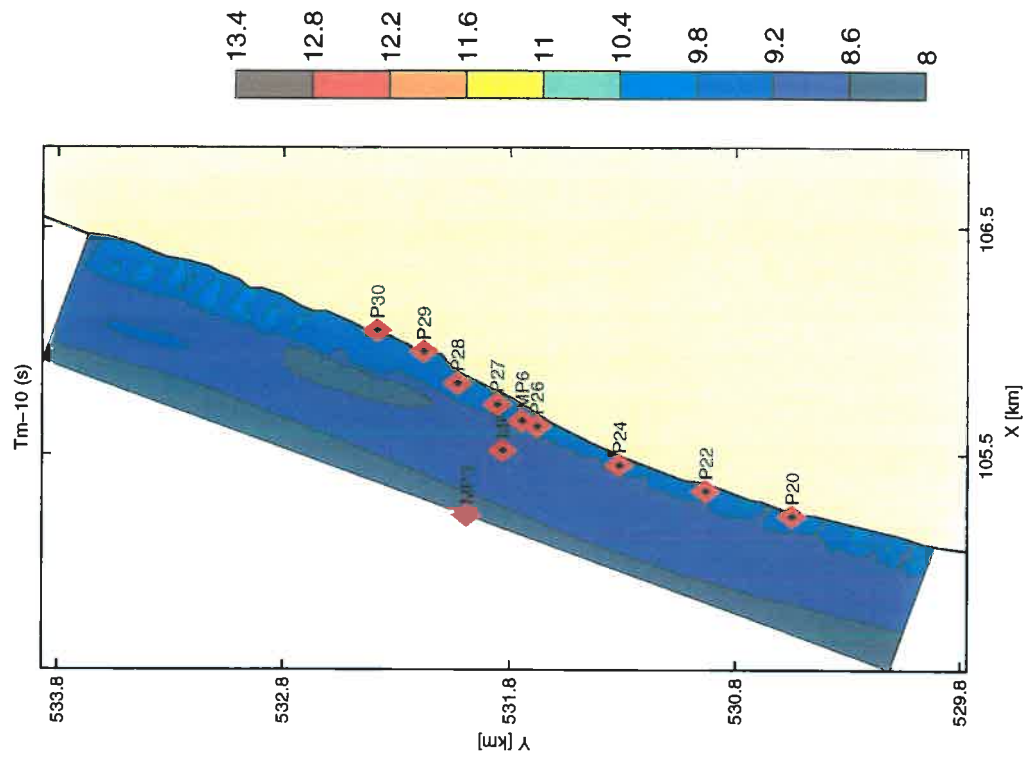
950201

SWAN v40.01

WL | DELFT HYDRAULICS

H3761

Fig. D.2



Berekende Hs, Dir en Tm-10 (s) voor Petten

Run c10

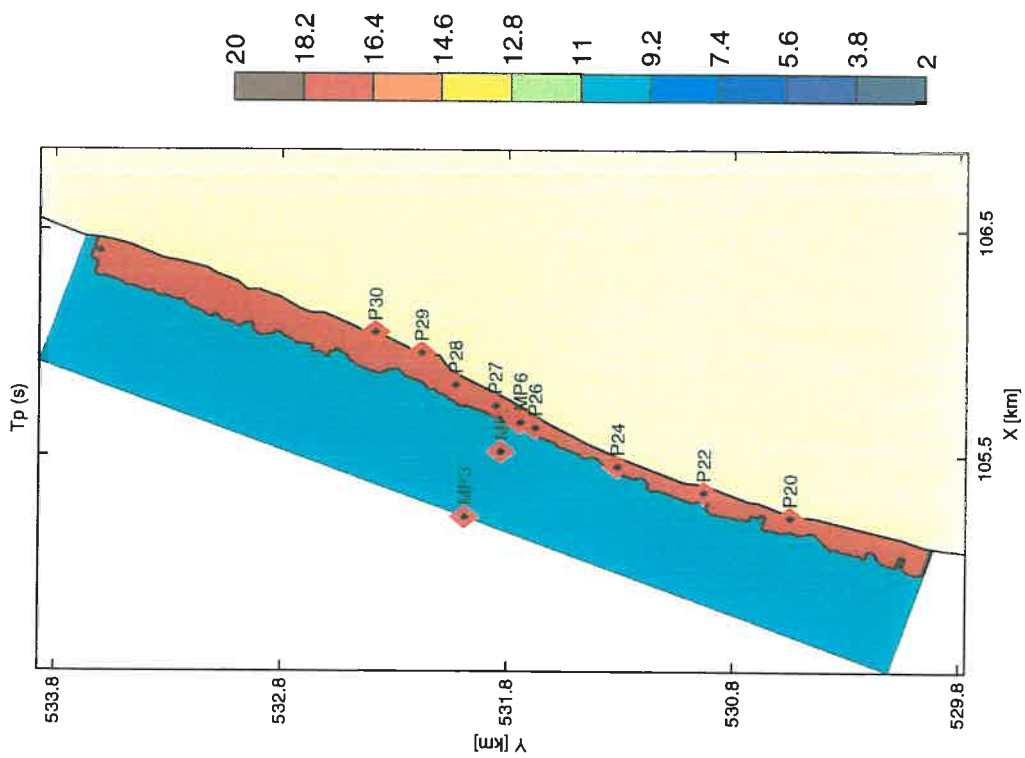
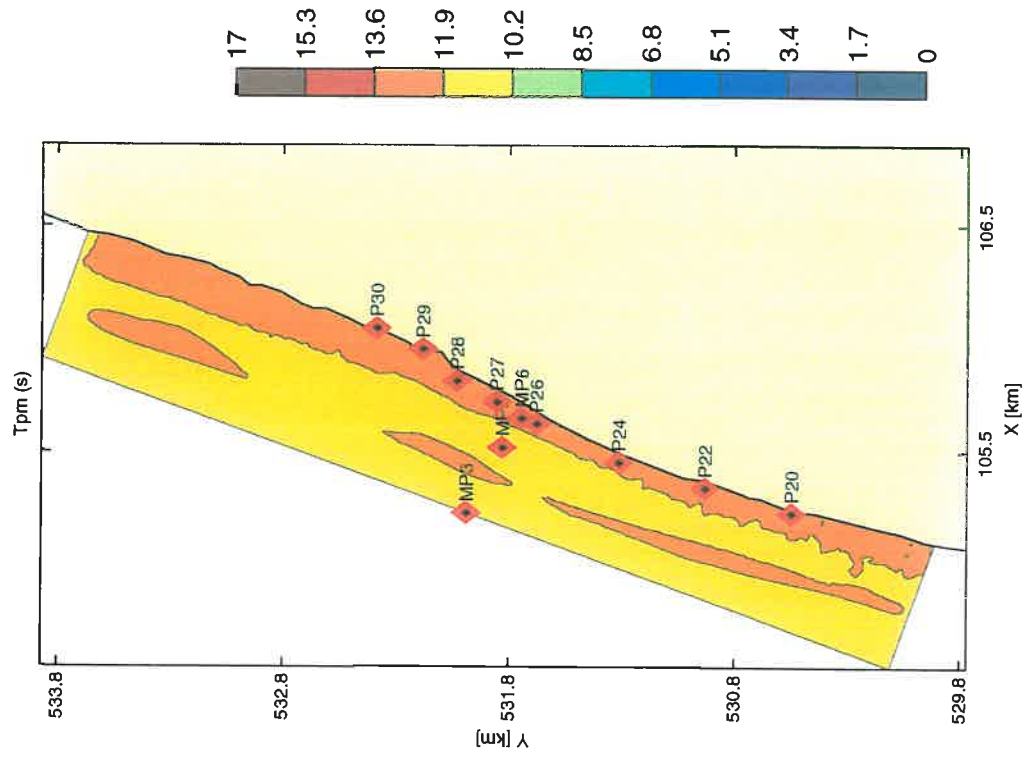
950201 03:40

SWAN v40.01

WL | DELFT HYDRAULICS

H3761

Fig. D.3.a



Berekende Tp (s) en Tpm (s) voor Petten

Run c10

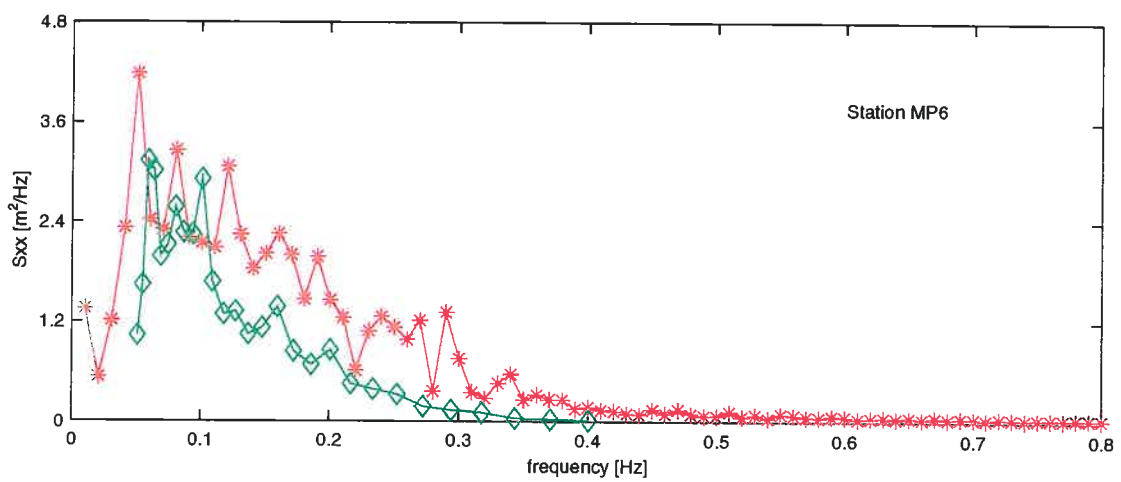
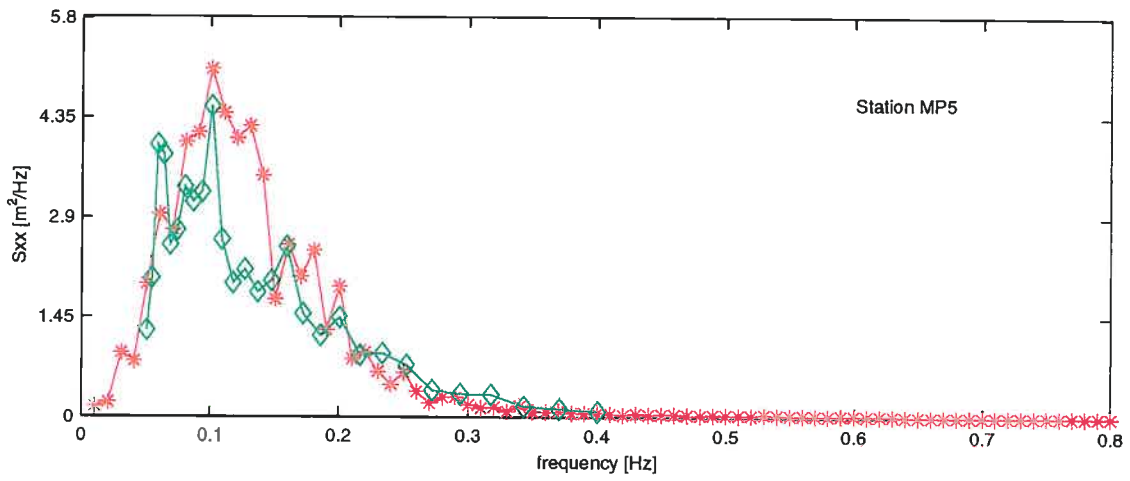
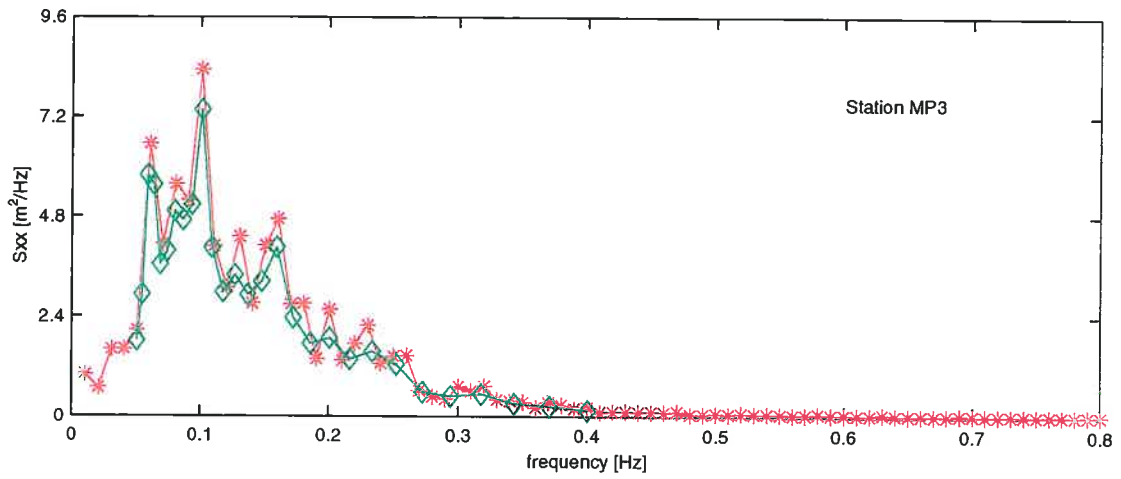
950201 03:40

SWAN v40.01

WL | DELFT HYDRAULICS

H3761

Fig. D.3.b



\* Meting  
◇ SWAN berekening

Berekende vs gemeten spectrum voor Petten

Run c10

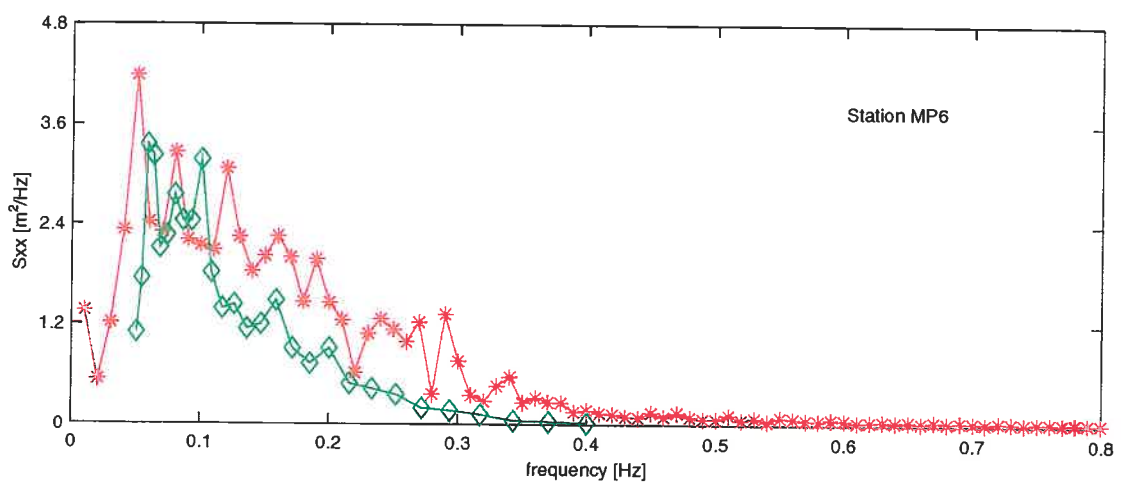
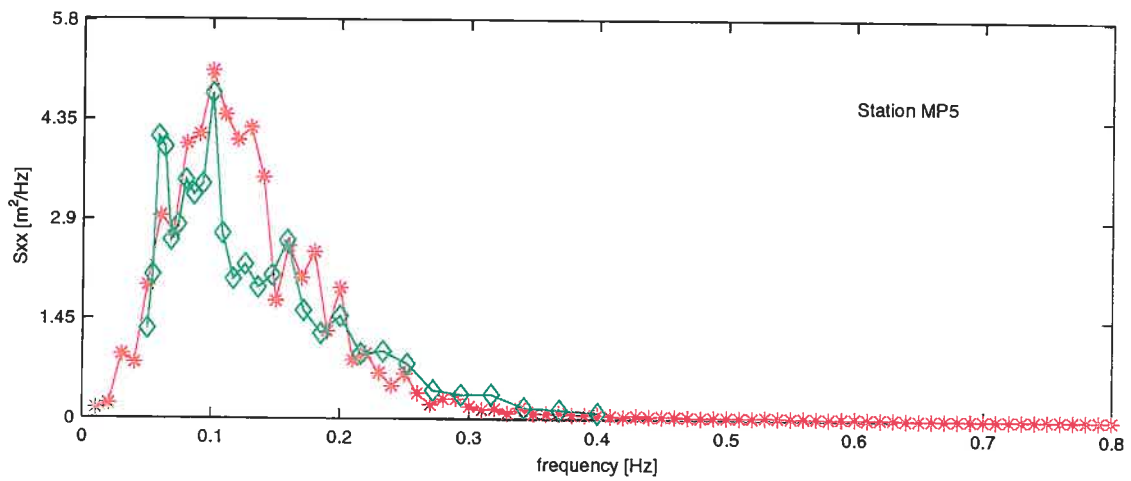
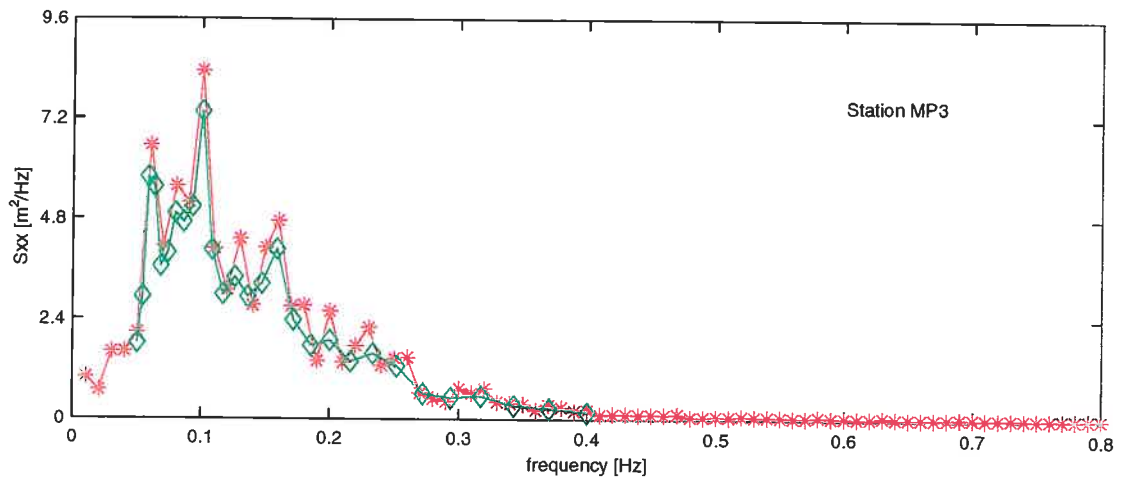
950201 03:40

SWAN v40.01

WL | DELFT HYDRAULICS

H3761

Fig. D.3.c



\* Meting  
◇ SWAN berekening

Berekende vs gemeten spectrum voor Petten

Run c11

950201 03:40

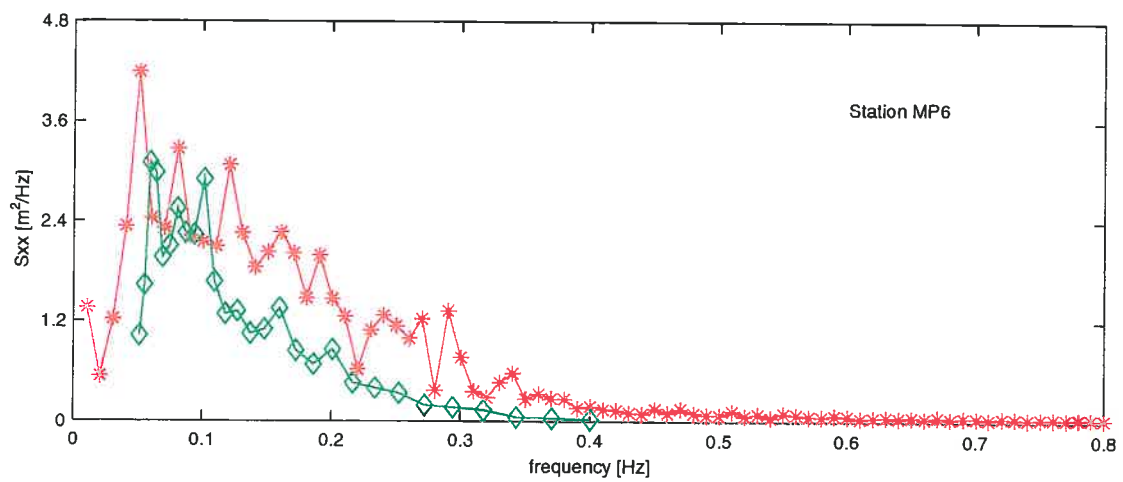
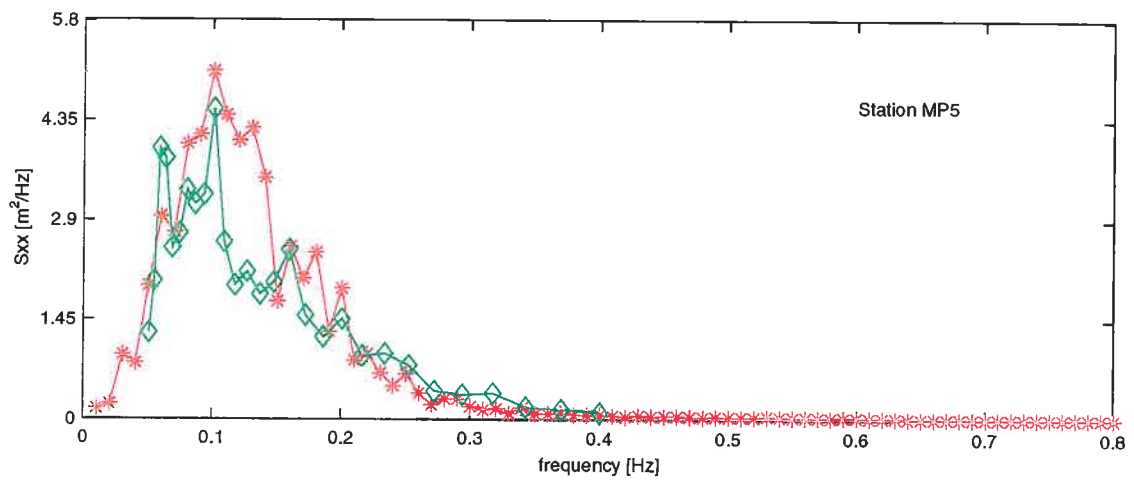
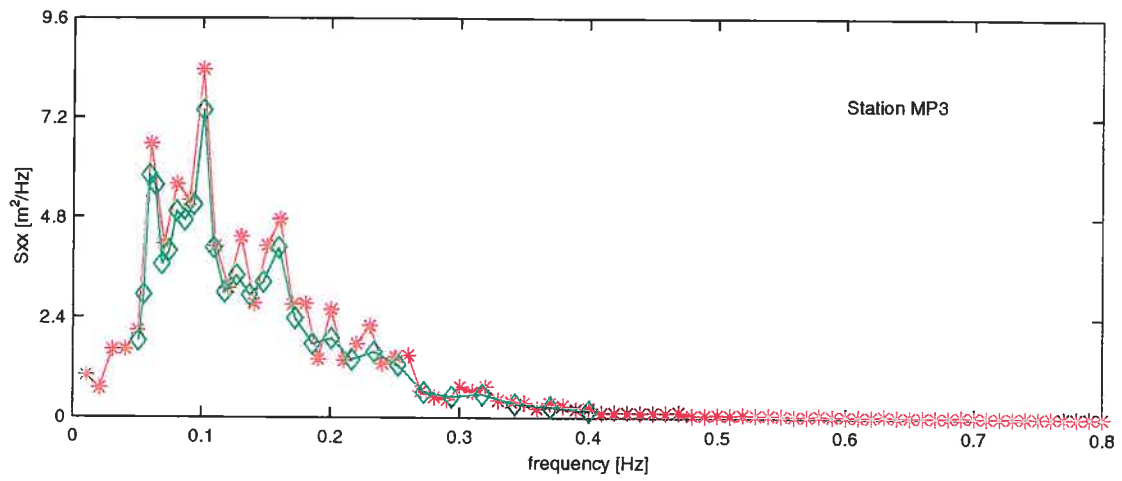
SWAN v40.01

WL | DELFT HYDRAULICS

H3761

Fig. D.3.d





\* Meting  
◇ SWAN berekening

Berekende vs gemeten spectrum voor Petten

Run c12

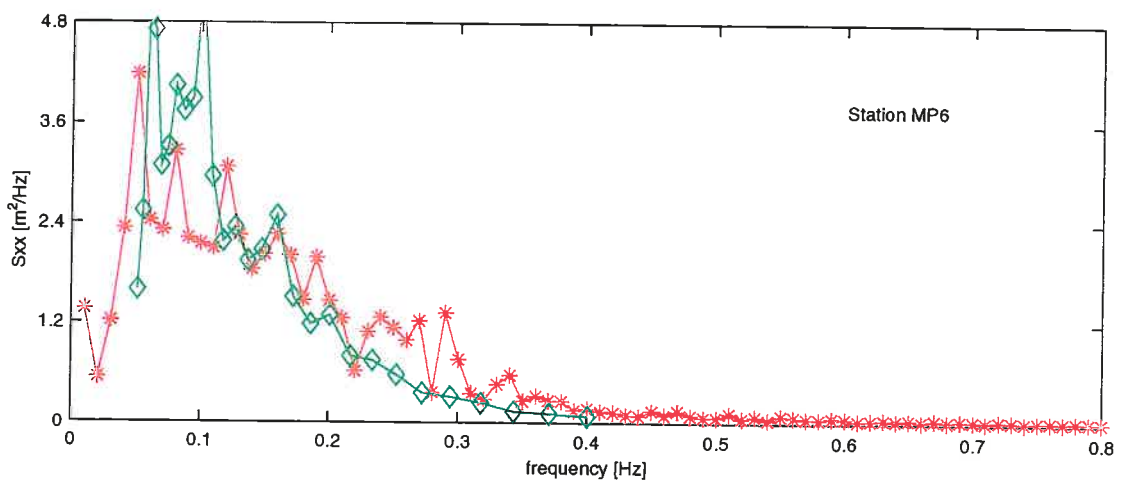
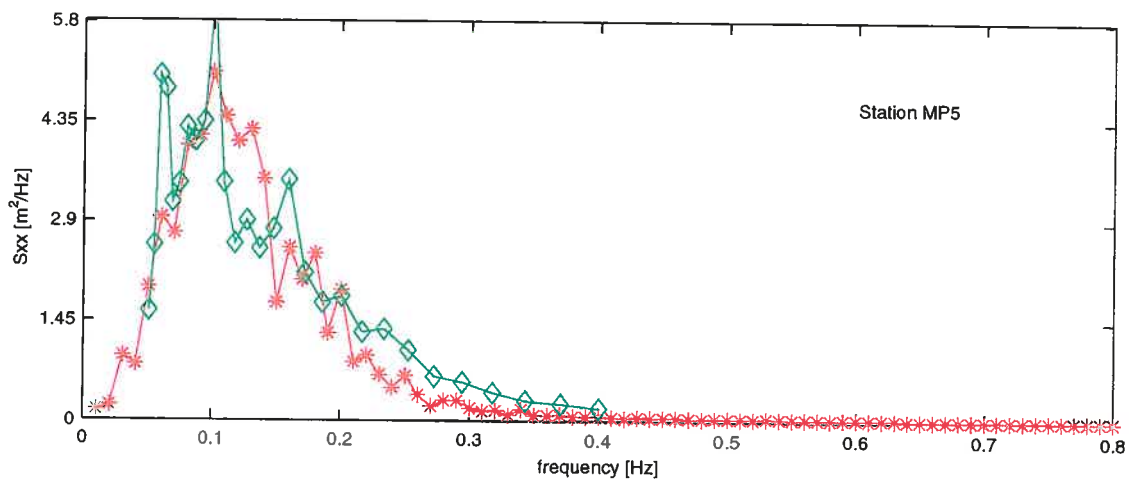
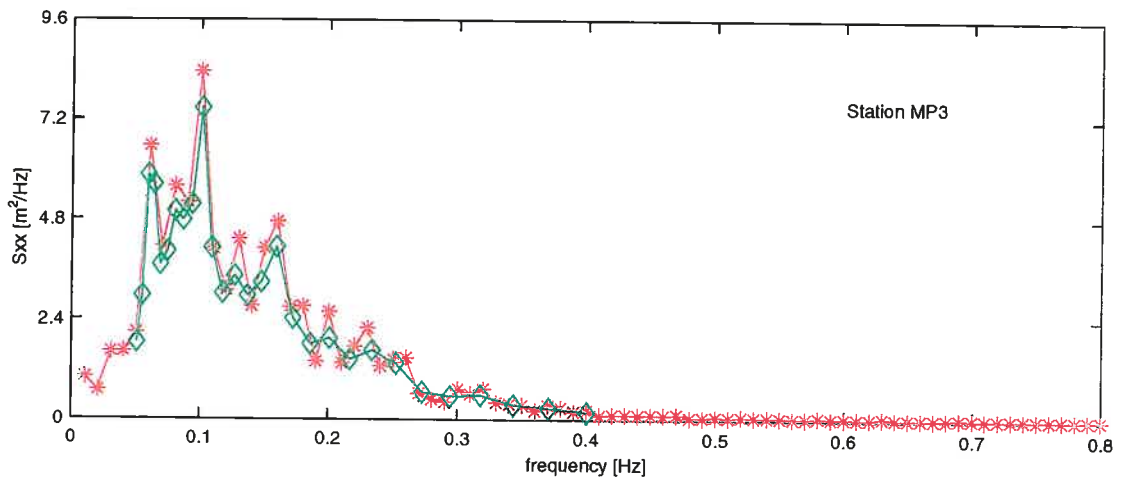
950201 03:40

SWAN v40.01

WL | DELFT HYDRAULICS

H3761

Fig. D.3.e



\* Meting  
◇ SWAN berekening

Berekende vs gemeten spectrum voor Petten

Run c13

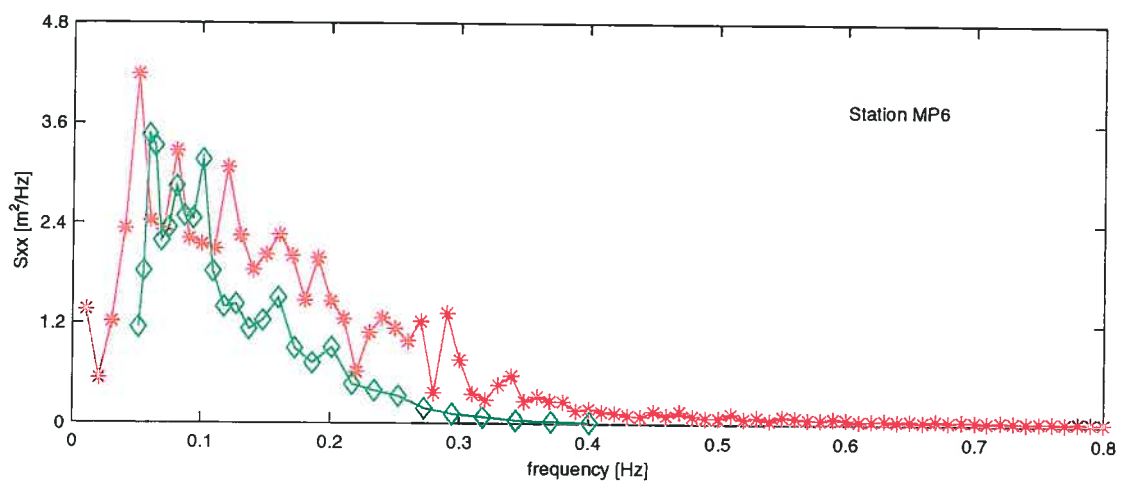
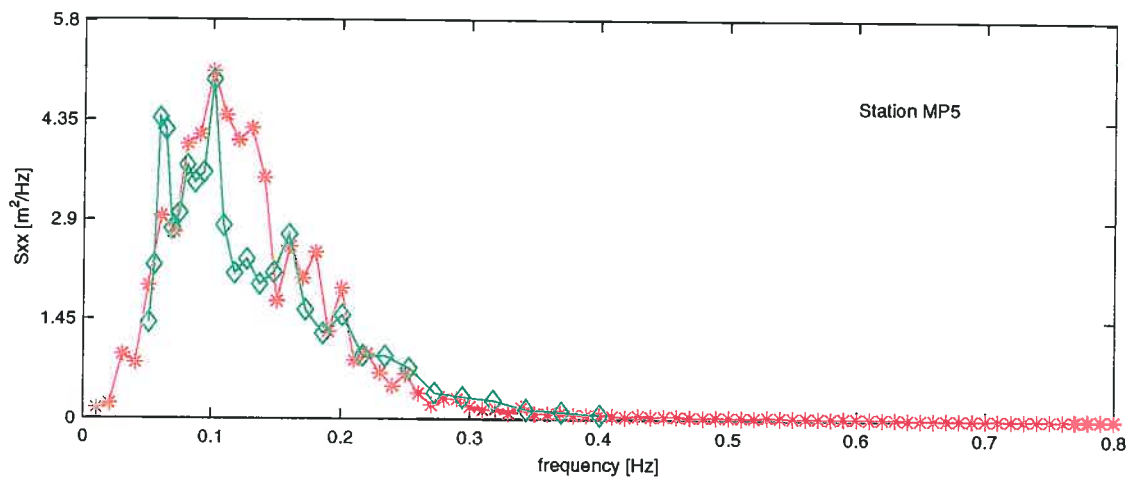
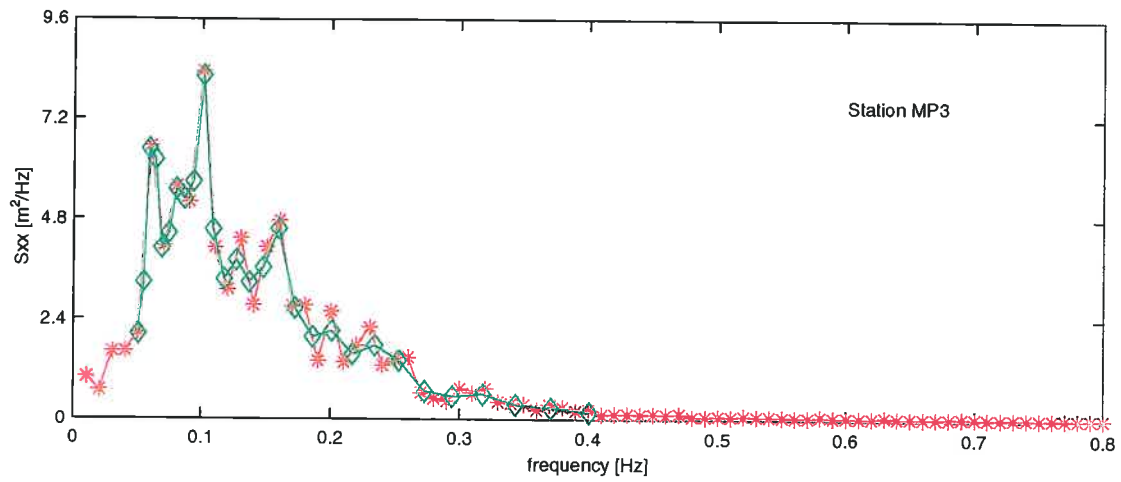
950201 03:40

SWAN v40.01

WL | DELFT HYDRAULICS

H3761

Fig. D.3.f



\* Meting  
◇ SWAN berekening

Berekende vs gemeten spectrum voor Petten

Run c14

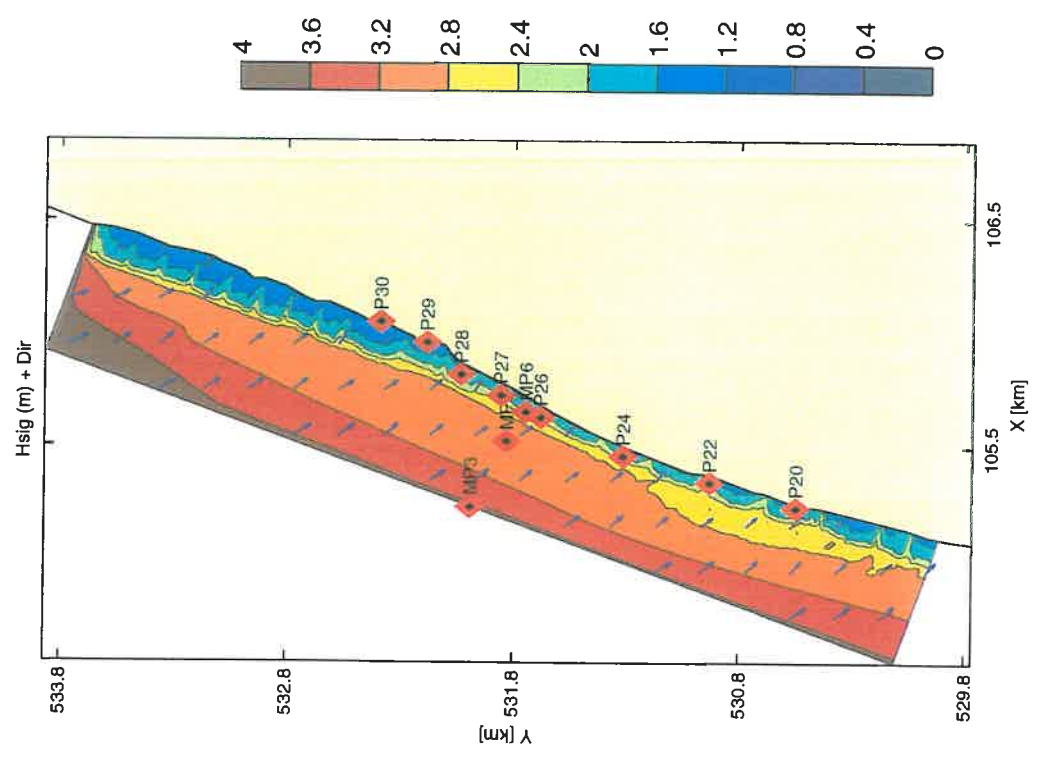
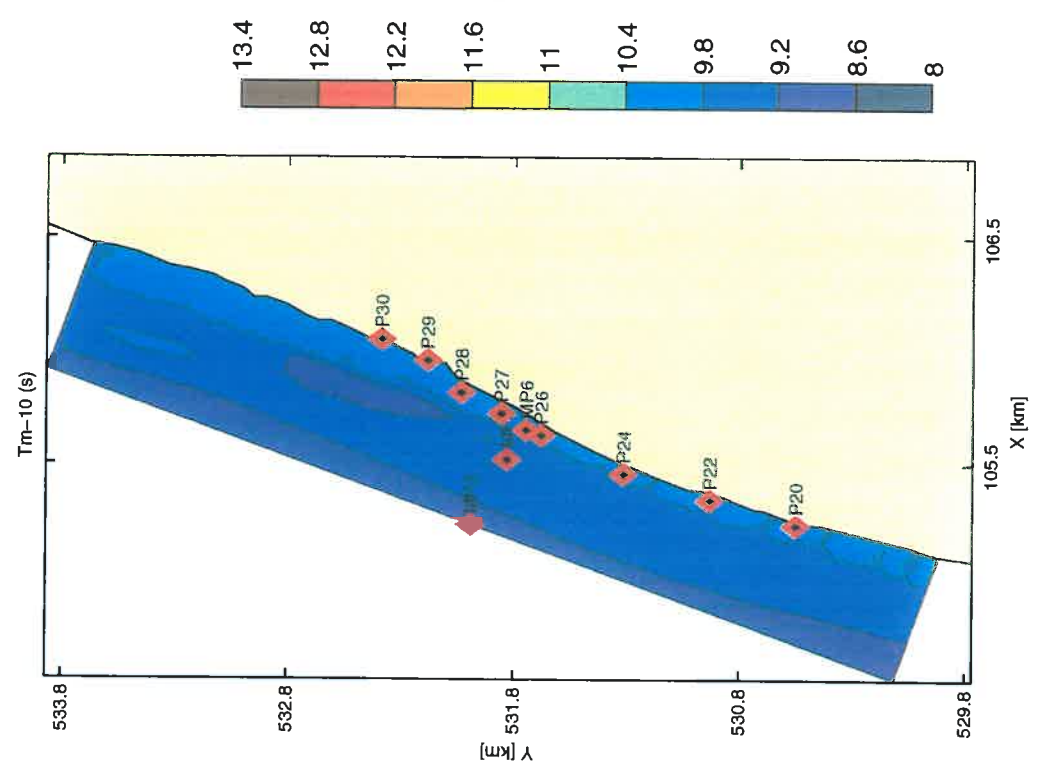
950201 03:40

SWAN v40.01

WL | DELFT HYDRAULICS

H3761

Fig. D.3.g



Berekende Hs, Dir en Tm-10 (s) voor Petten

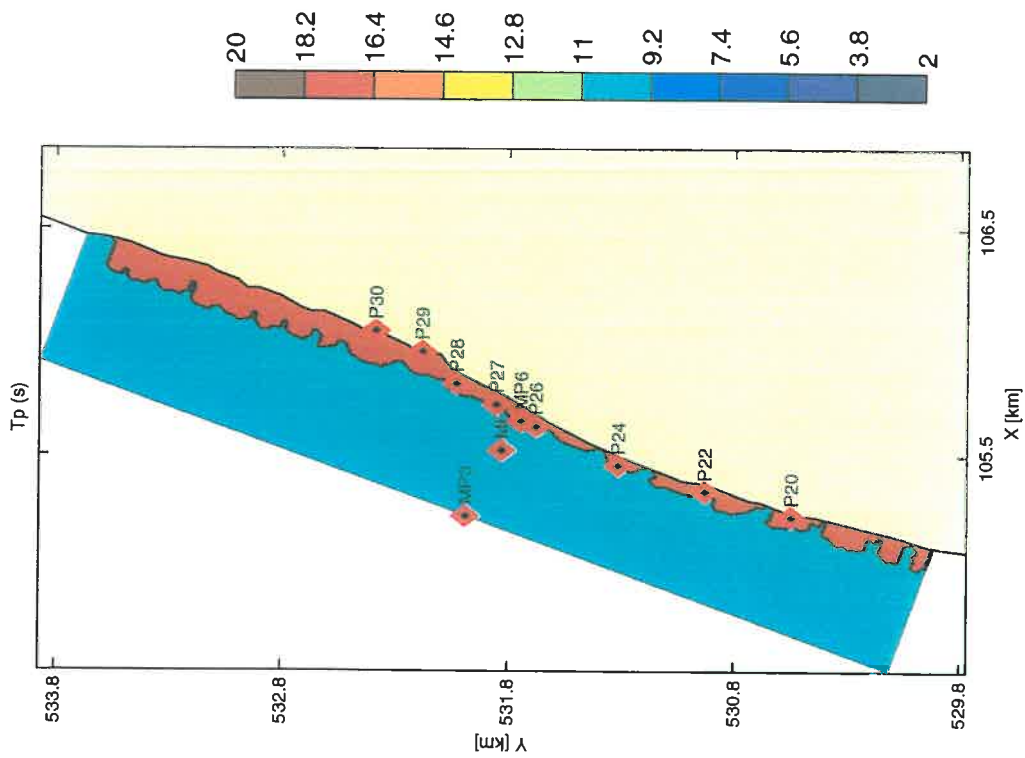
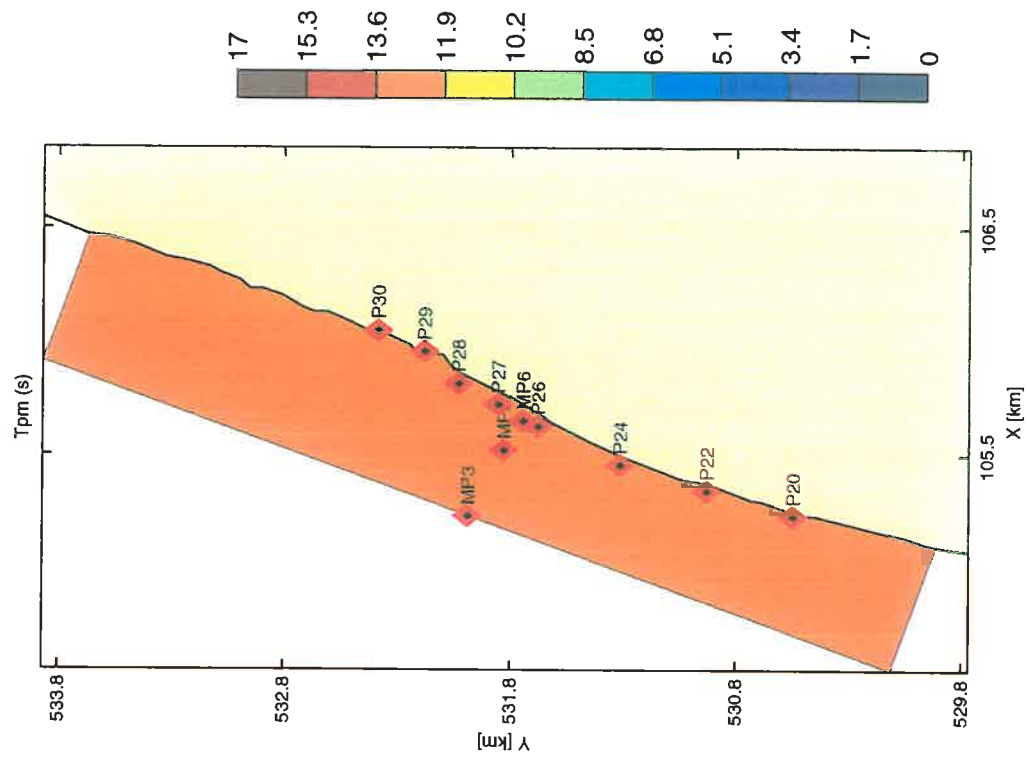
Run c20 950201 04:00

SWAN v40.01

WL | DELFT HYDRAULICS

H3761

Fig. D.4.a



Berekende Tp (s) en Tpm (s) voor Petten

Run c20

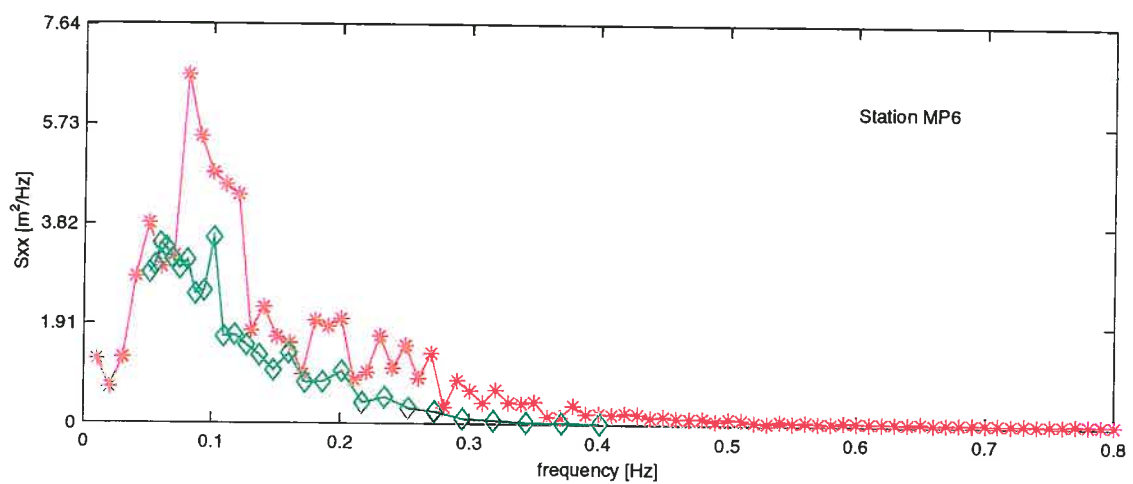
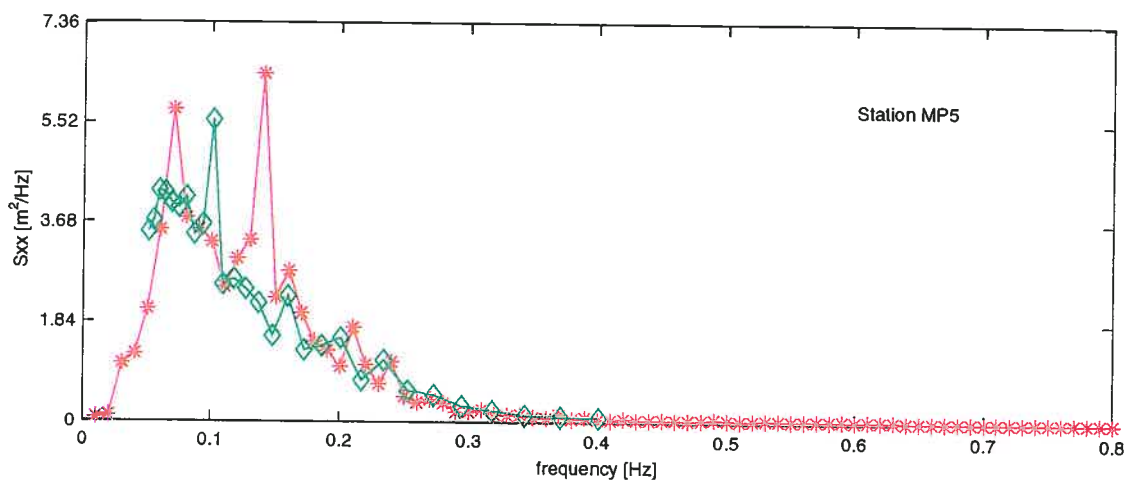
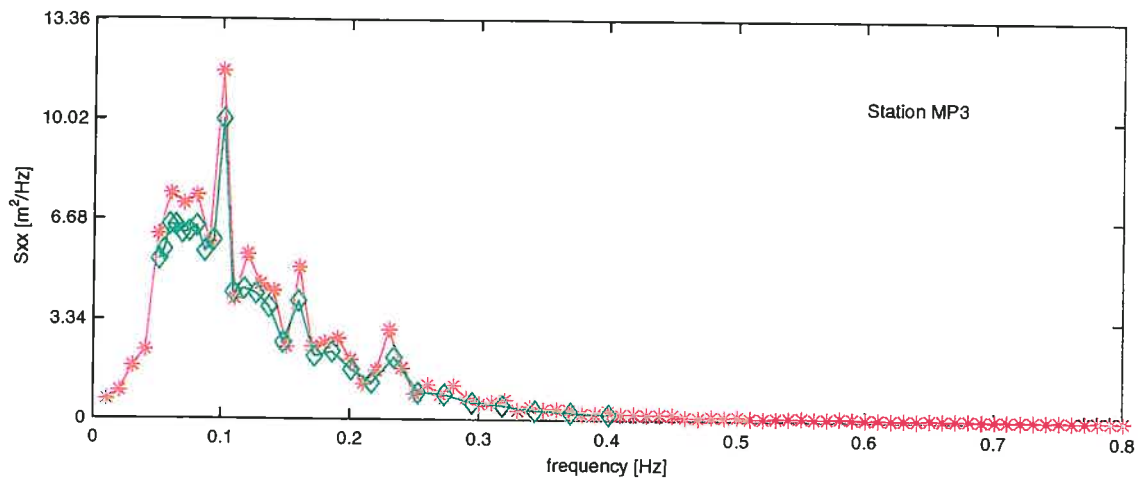
950201 04:00

SWAN v40.01

WL | DELFT HYDRAULICS

H3761

Fig. D.4.b



\* Meting  
◇ SWAN berekening

Berekende vs gemeten spectrum voor Petten

Run c20

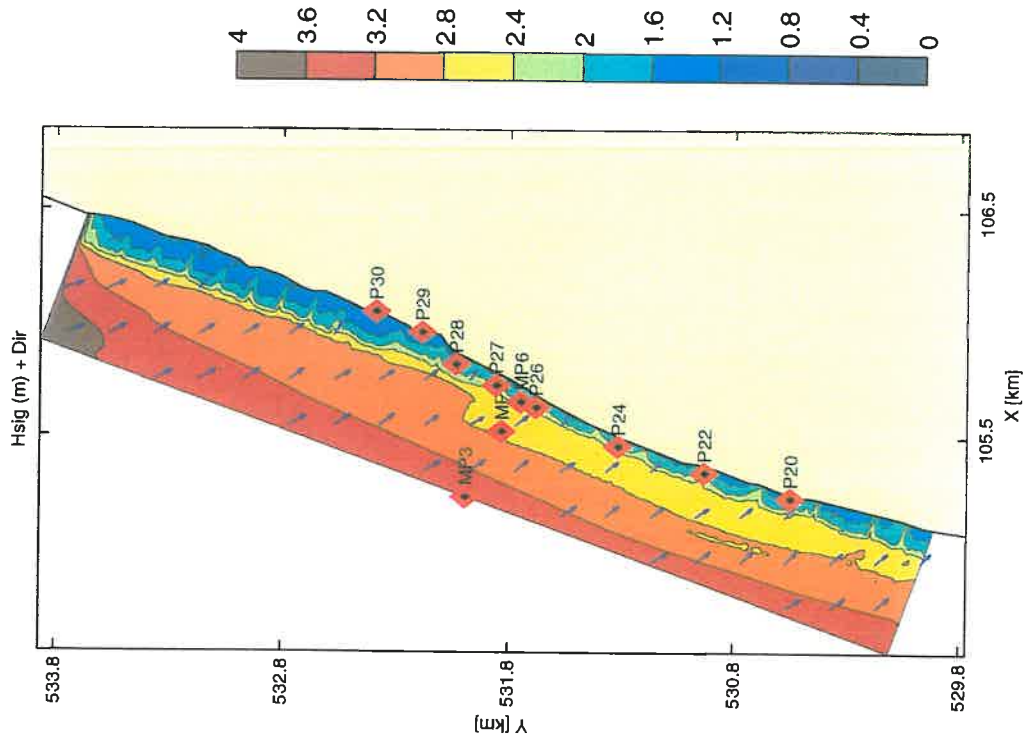
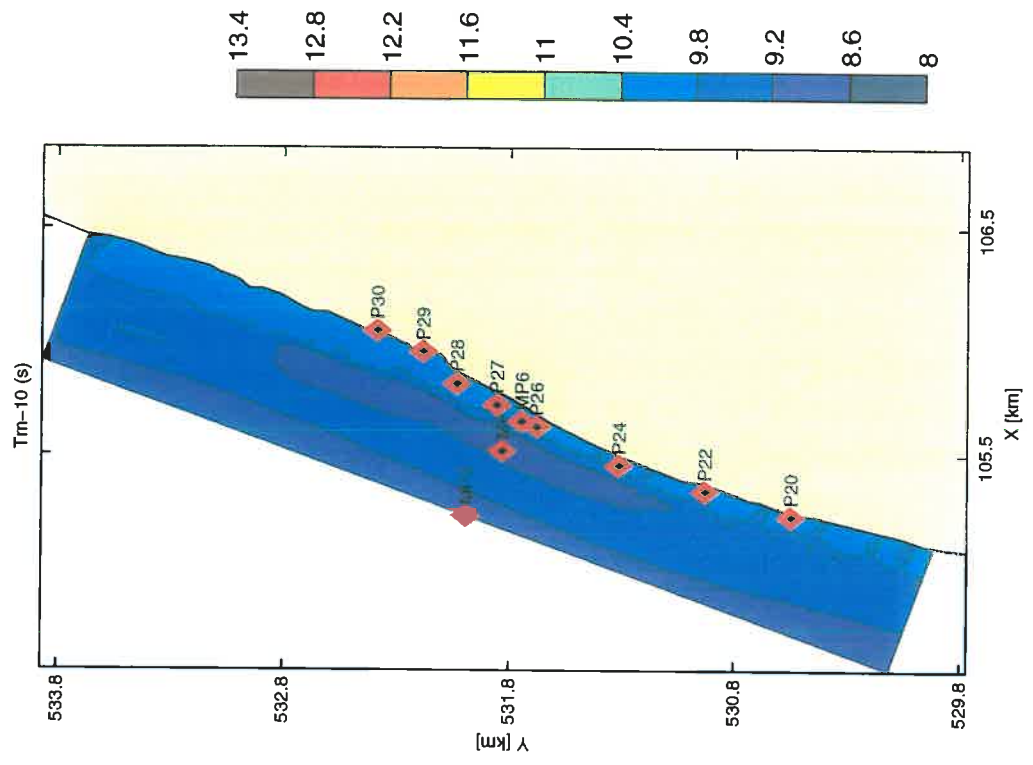
950201 04:00

SWAN v40.01

WL | DELFT HYDRAULICS

H3761

Fig. D.4.c



Berekende Hs, Dir en Tm-10 (s) voor Petten

Run c30

950201 04:20

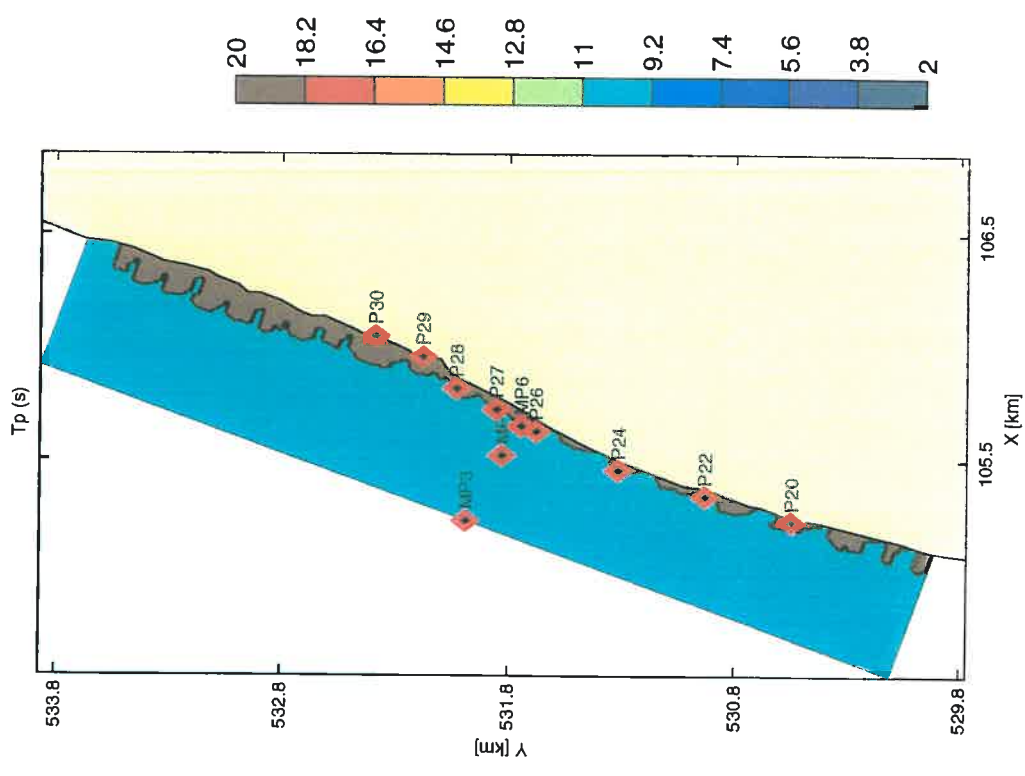
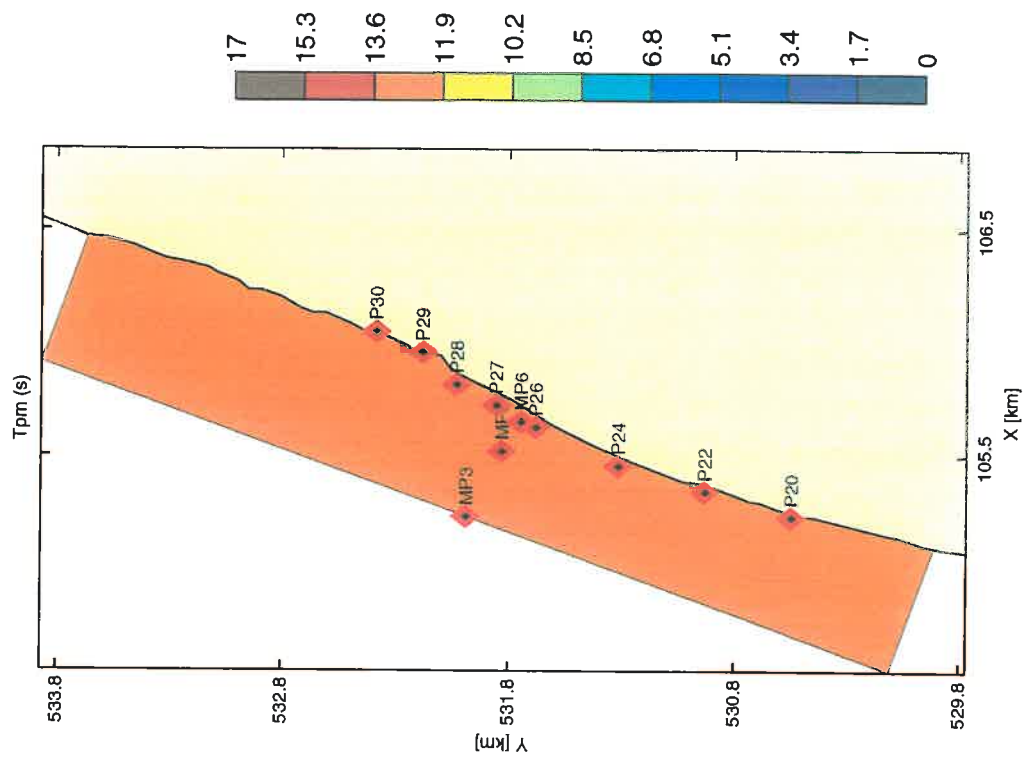
SWAN v40.01

WL | DELFT HYDRAULICS

H3761

Fig. D.5.a





Berekende Tp (s) en Tpm (s) voor Petten

Run c30

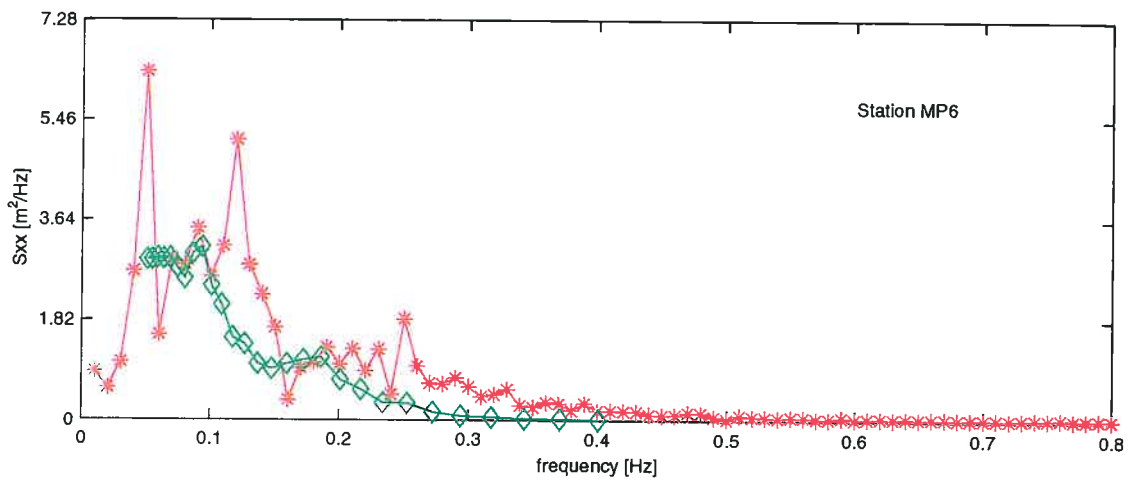
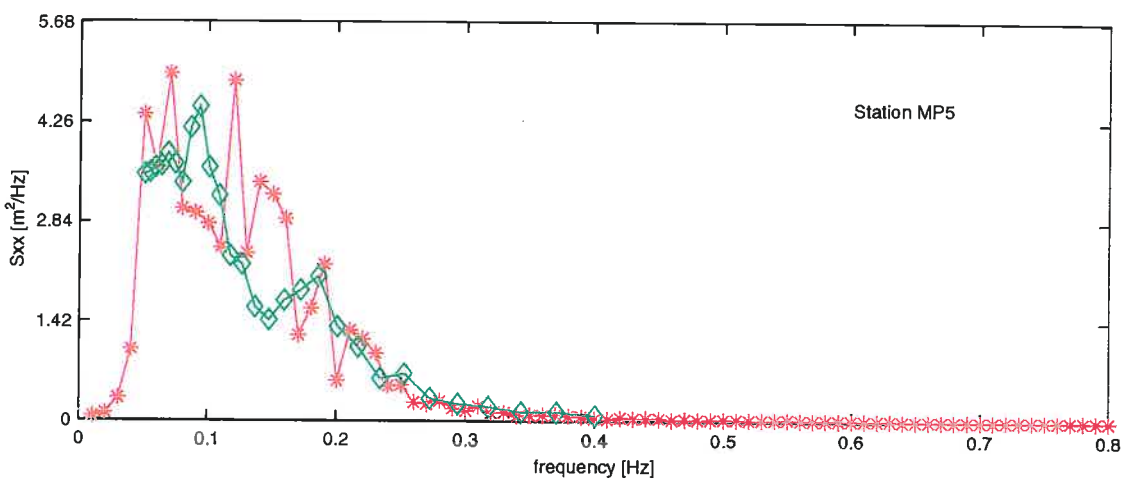
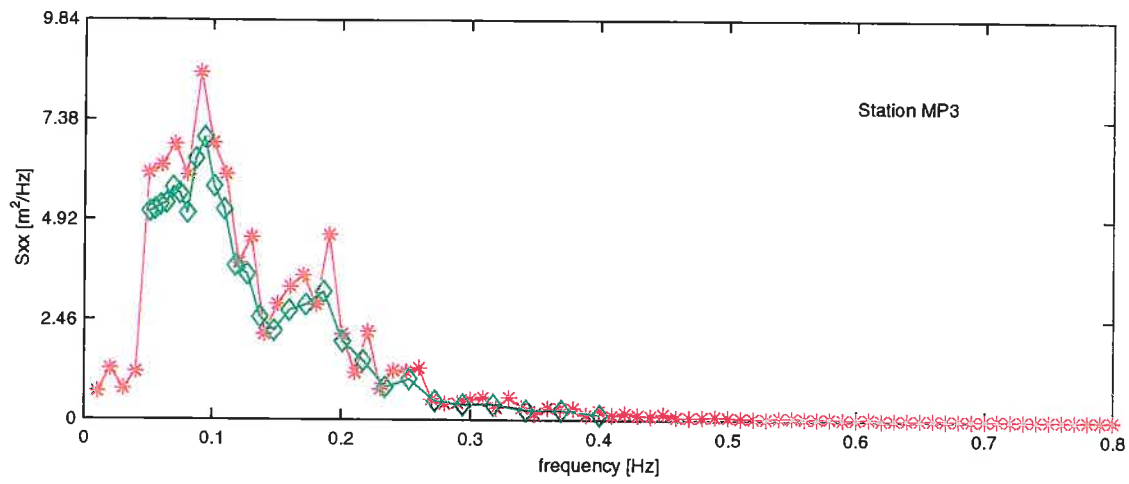
950201 04:20

SWAN v40.01

WL | DELFT HYDRAULICS

H3761

Fig. D.5.b



\* Meting  
◇ SWAN berekening

Berekende vs gemeten spectrum voor Petten

Run c30

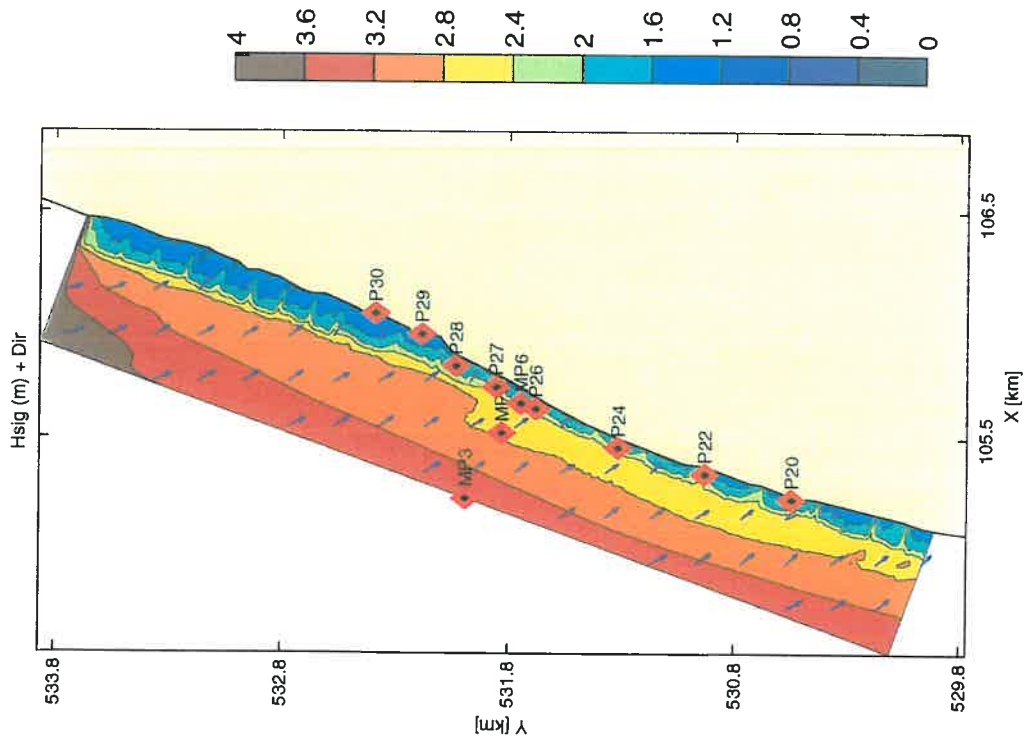
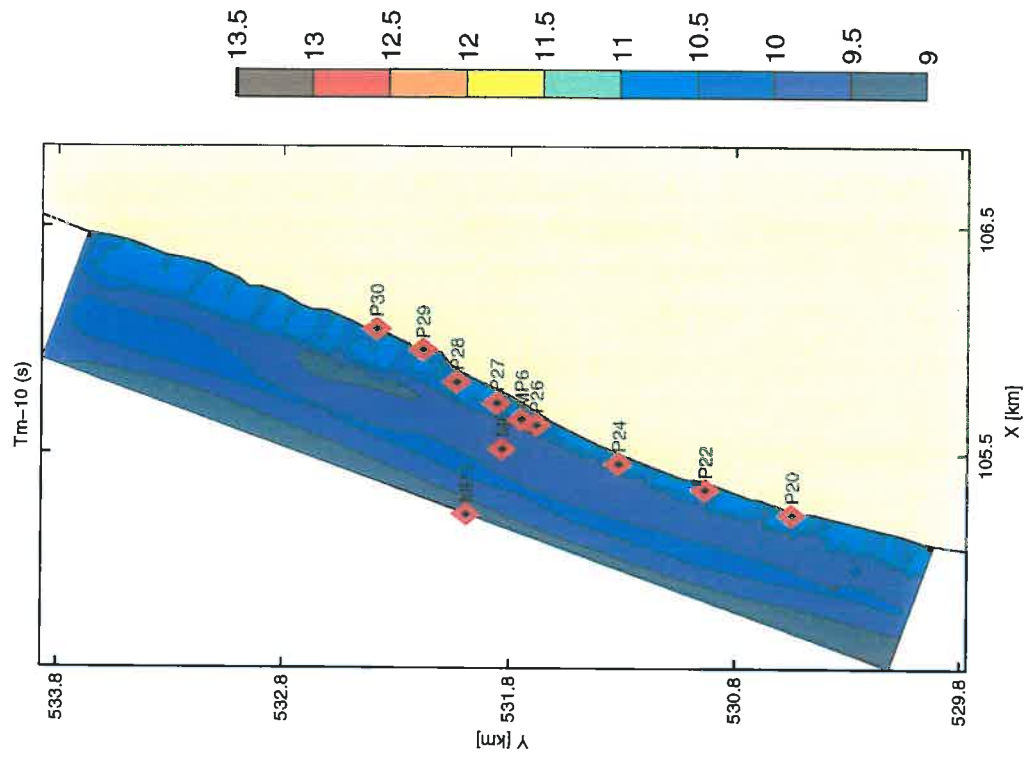
950201 04:20

SWAN v40.01

WL | DELFT HYDRAULICS

H3761

Fig. D.5.c



Berekende Hs, Dir en Tm-10 (s) voor Petten

Run c40

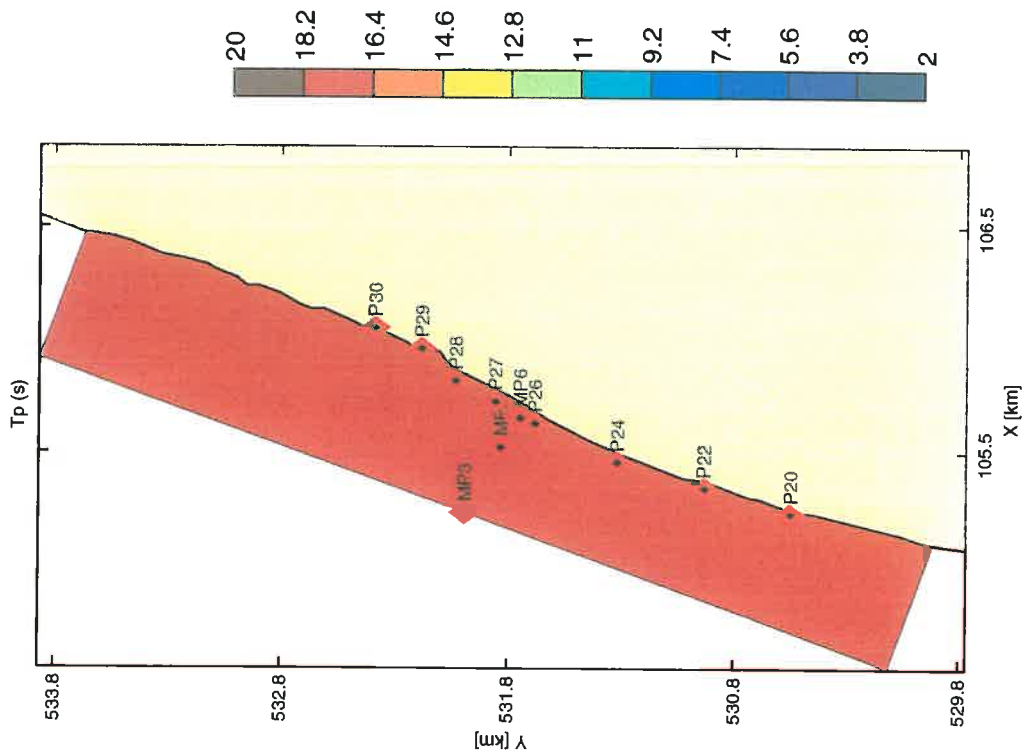
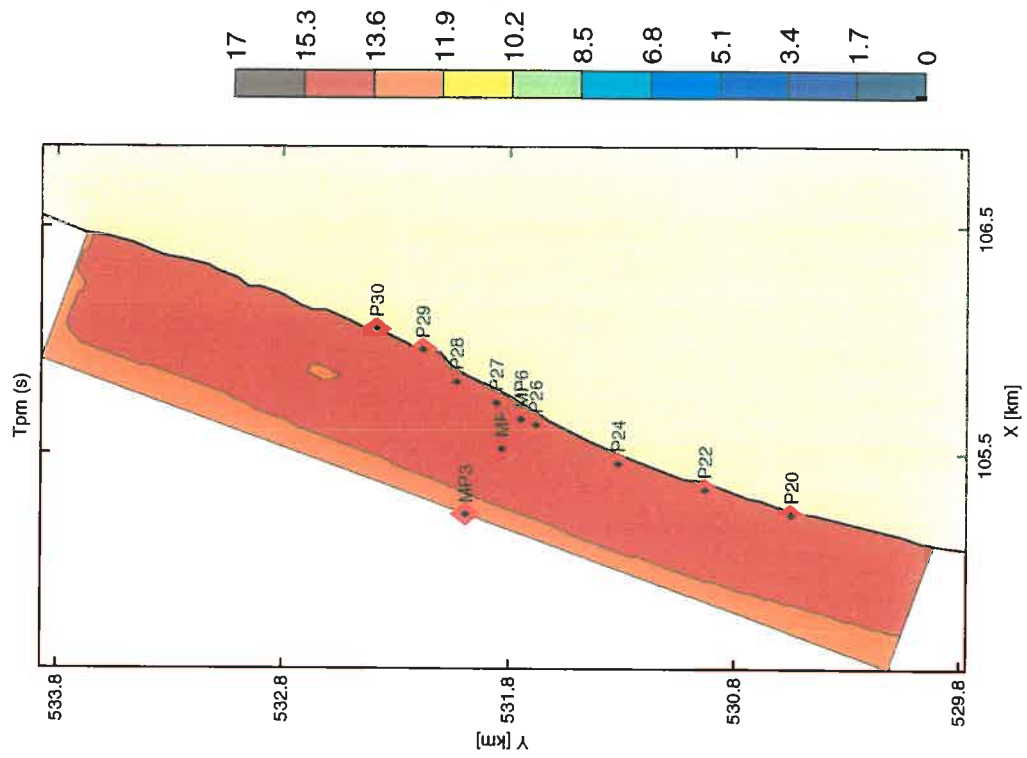
950201 04:40

SWAN v40.01

WL | DELFT HYDRAULICS

H3761

Fig. D.6.a



Berekende Tp (s) en Tpm (s) voor Petten

Run c40

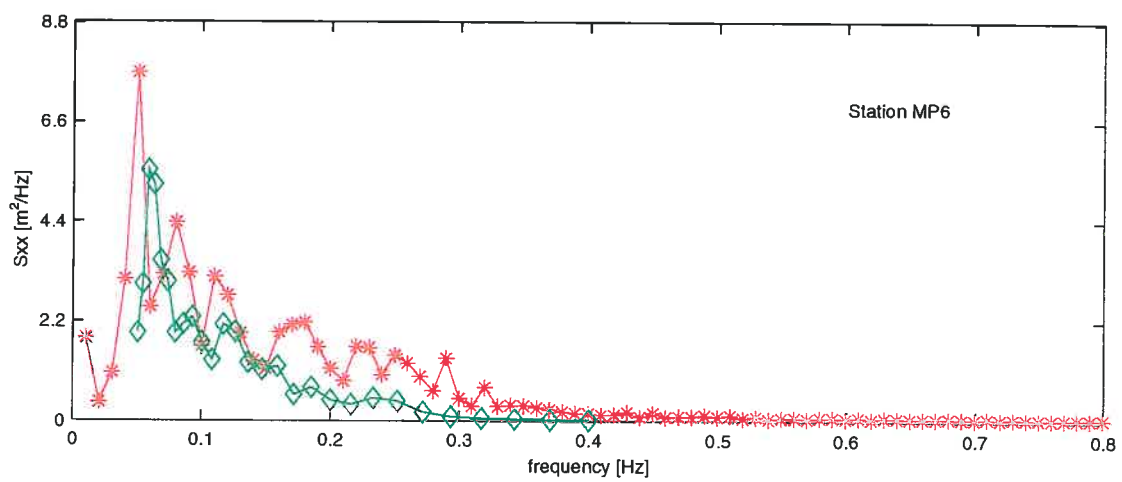
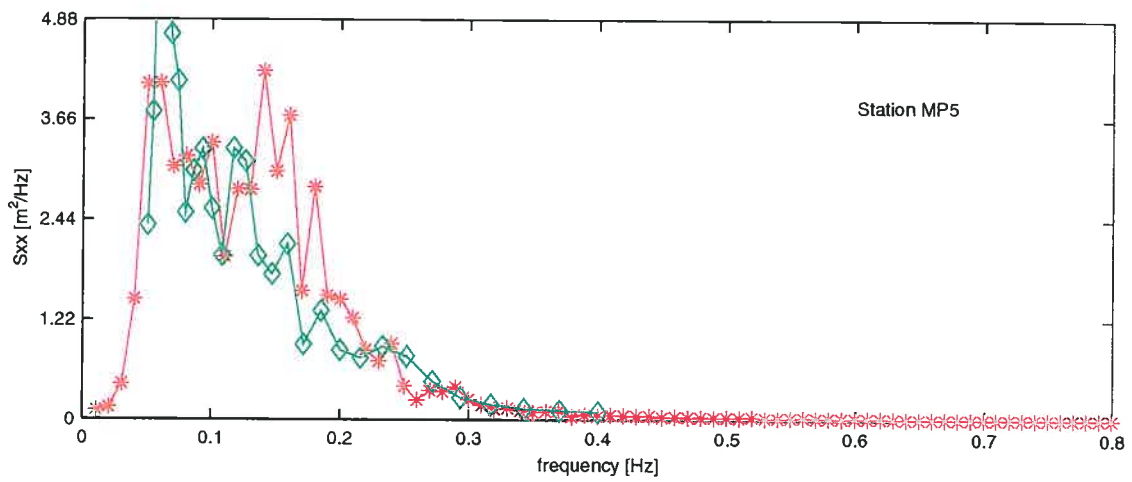
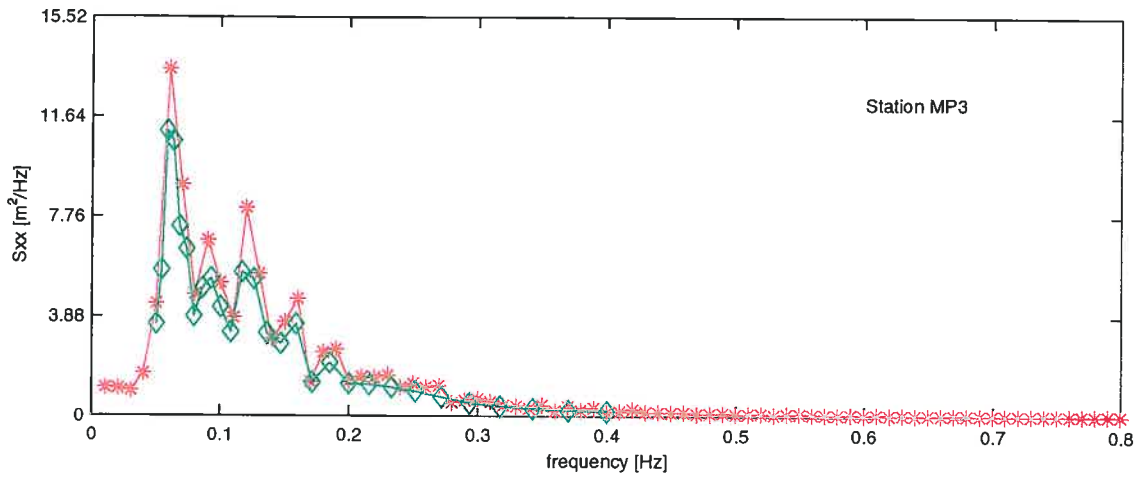
950201 04:40

SWAN v40.01

WL | DELFT HYDRAULICS

H3761

Fig. D.6.b



\* Meting  
◇ SWAN berekening

Berekende vs gemeten spectrum voor Petten

Run c40

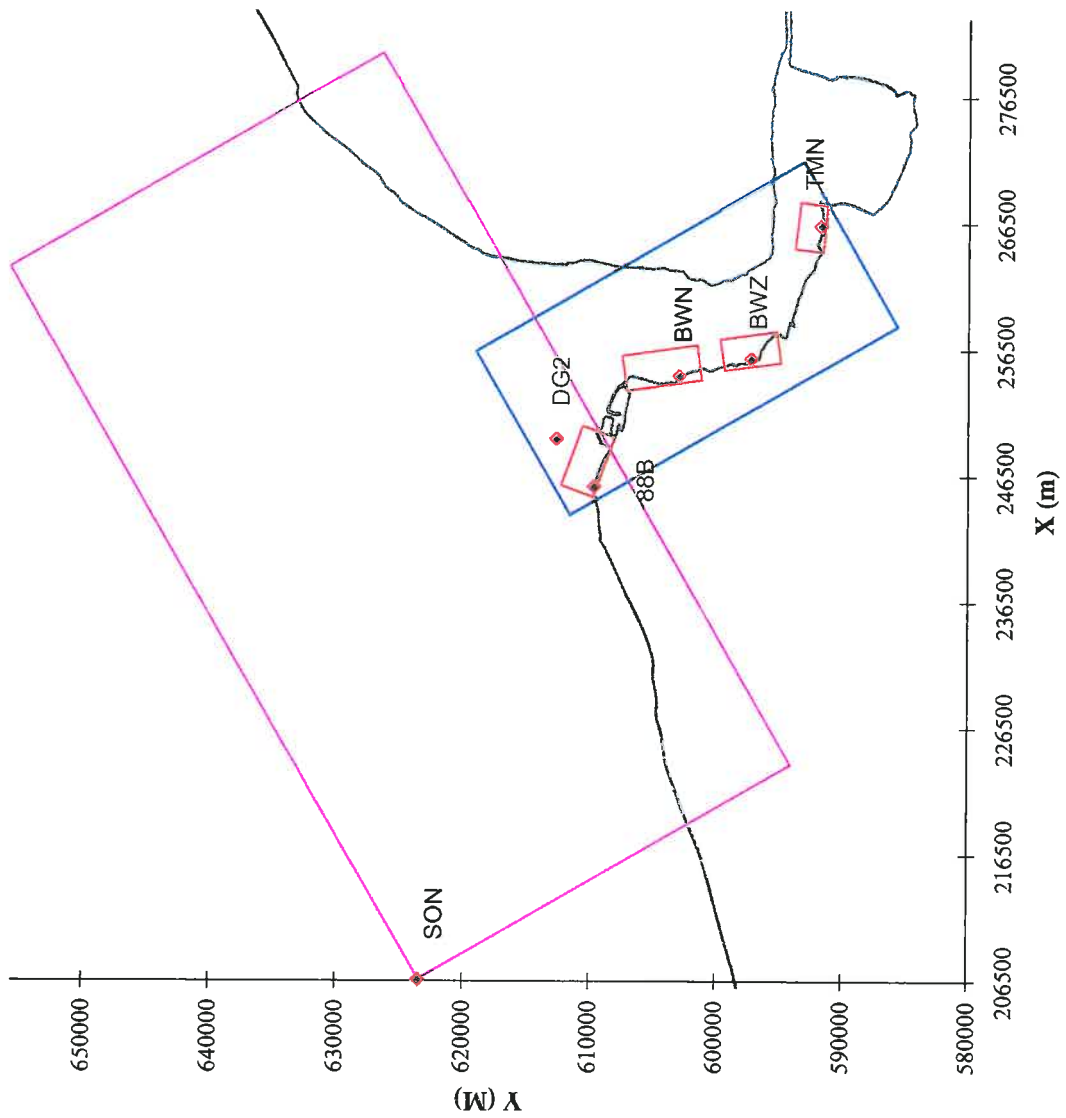
950201 04:40

SWAN v40.01

WL | DELFT HYDRAULICS

H3761

Fig. D.6.c



Rekenroosters Waddenzee

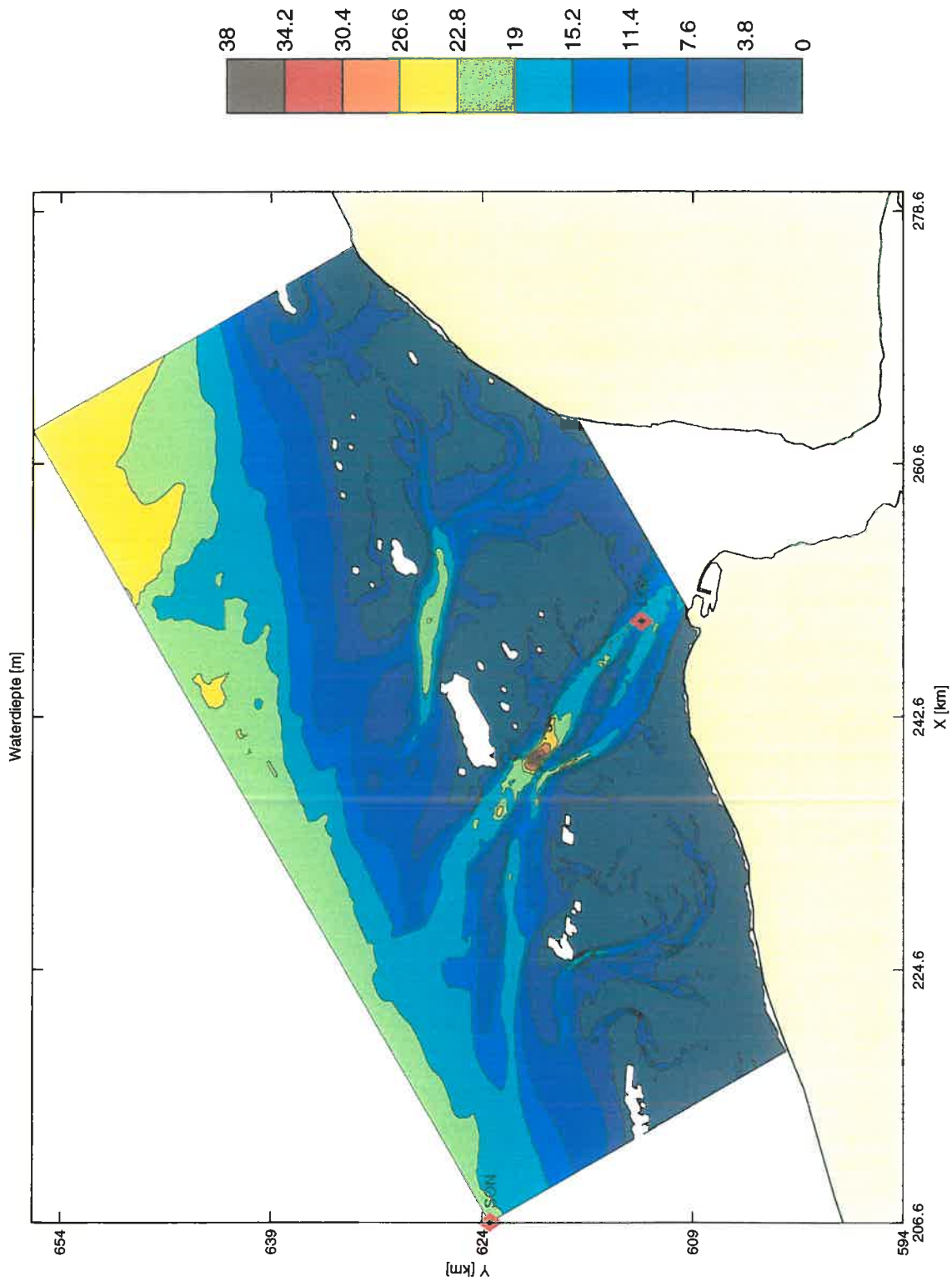
Run c10

890214

WL | DELFT HYDRAULICS

H3761

Fig. E.1



Diepte schematisatie Eems-Dollard

Run c10

890214

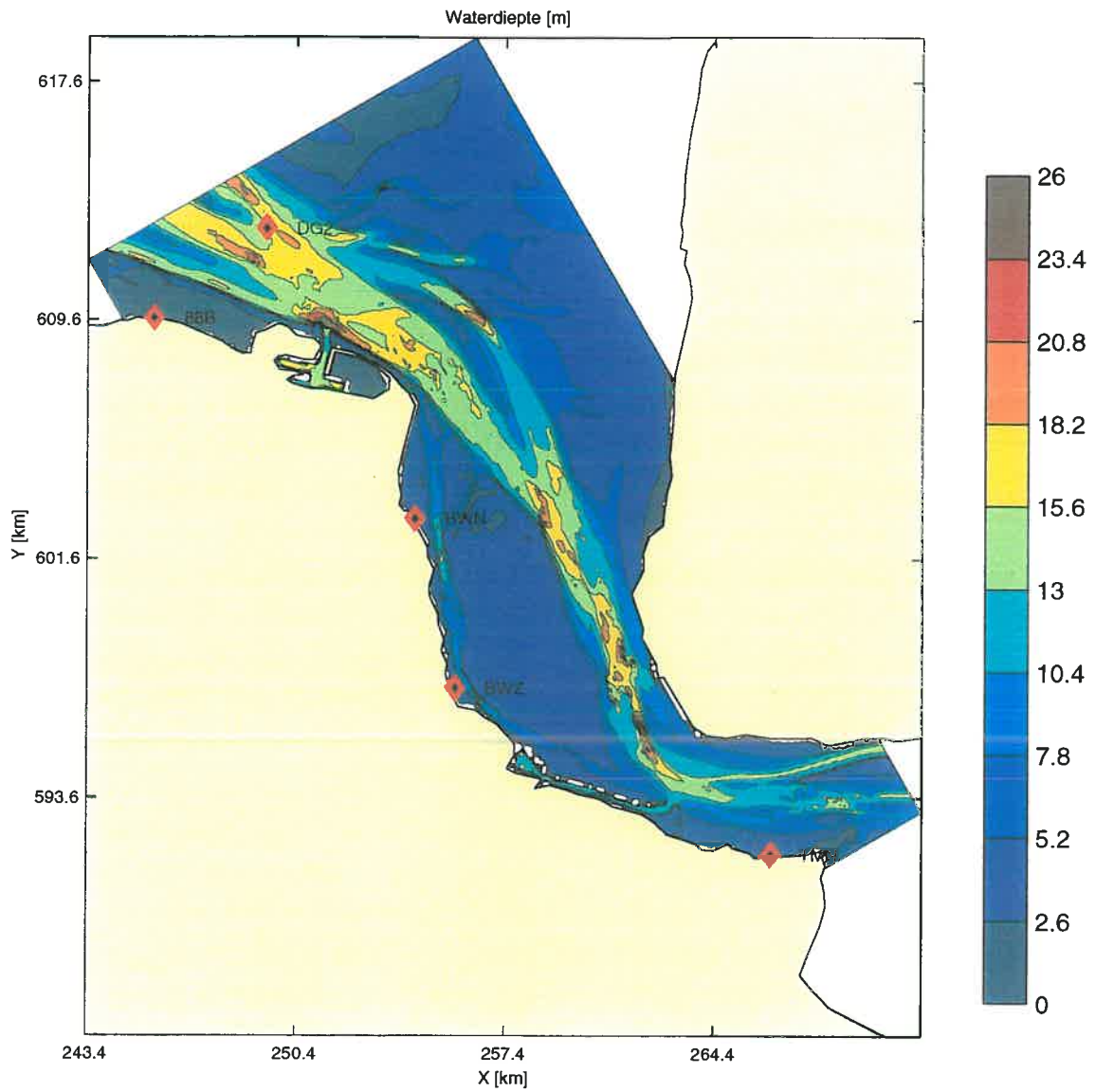
SWAN v40.01

WL | DELFT HYDRAULICS

H3761

Fig. E.2.a





Diepte schematisatie Eems-Dollard

Run m10

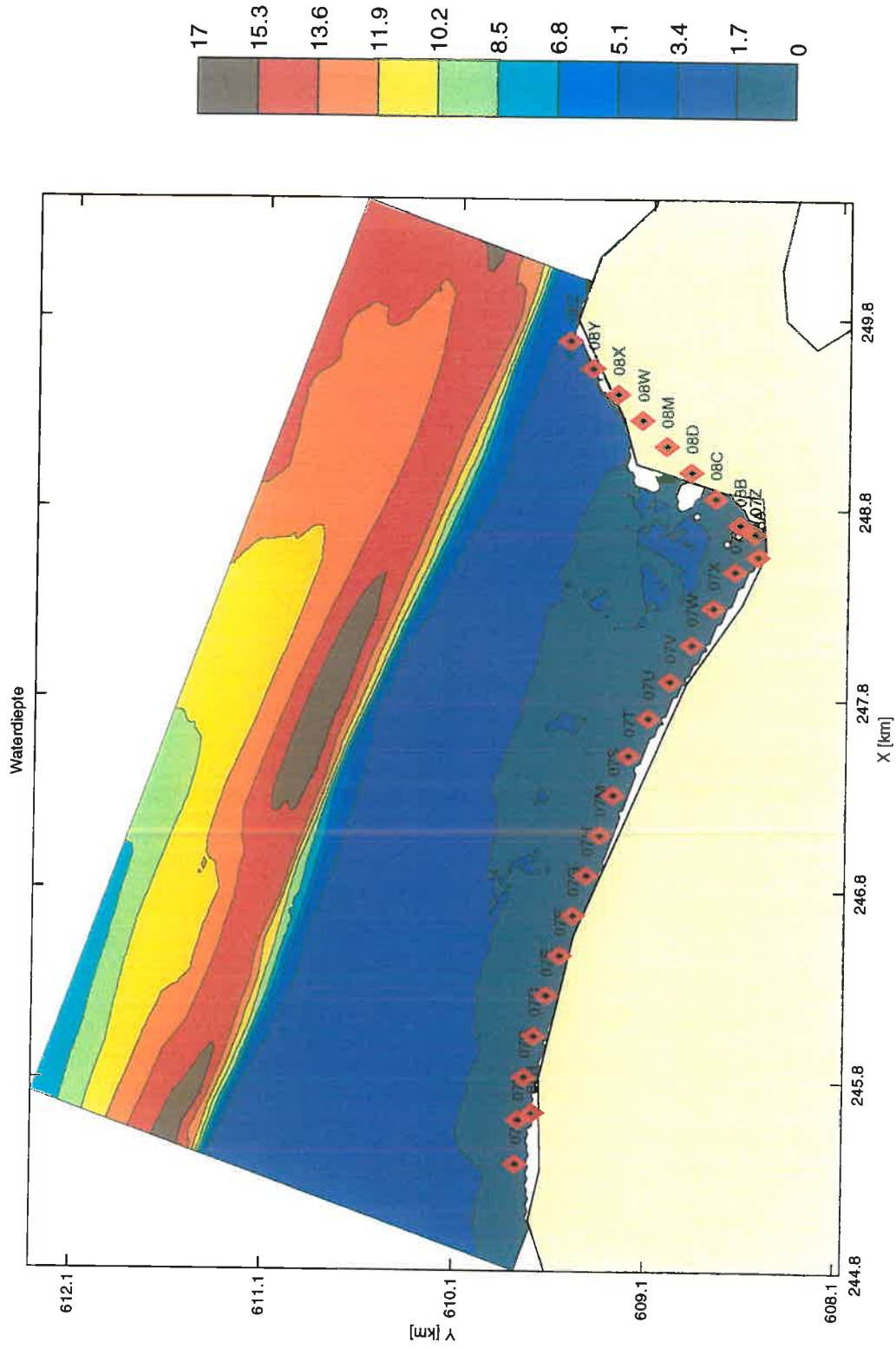
890214

SWAN v40.01

WL | DELFT HYDRAULICS

H3761

Fig. E.2.b



Diepte schematisatie Waddenzee w10

Run w10

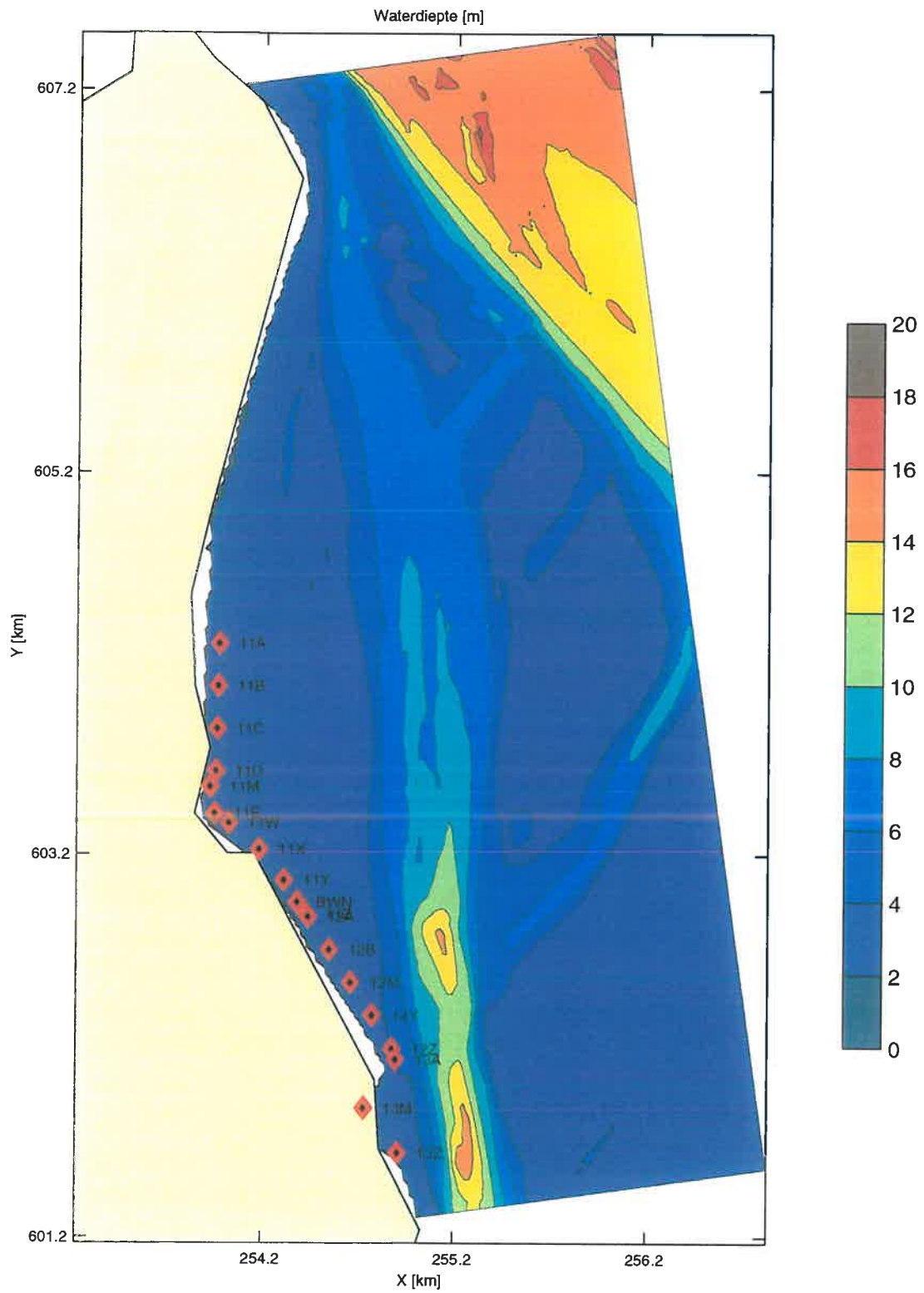
890214

SWAN v40.01

WL | DELFT HYDRAULICS

H3761

Fig. E.2.c



Diepte schematisatie Waddenzee x10

Run x10

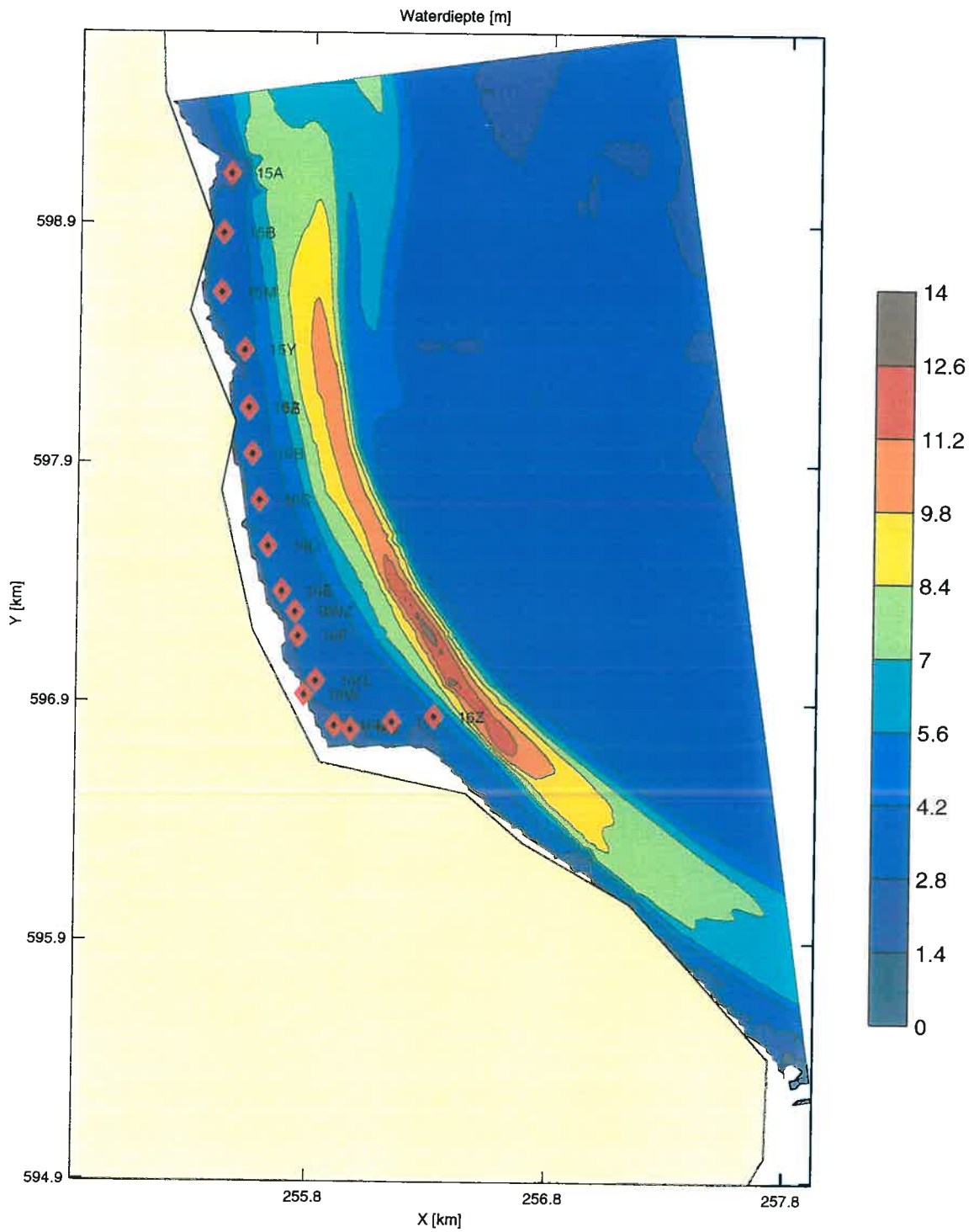
890214

SWAN v40.01

WL | DELFT HYDRAULICS

H3761

Fig. E.2.d



Diepte schematisatie Waddenzee y10

Run y10

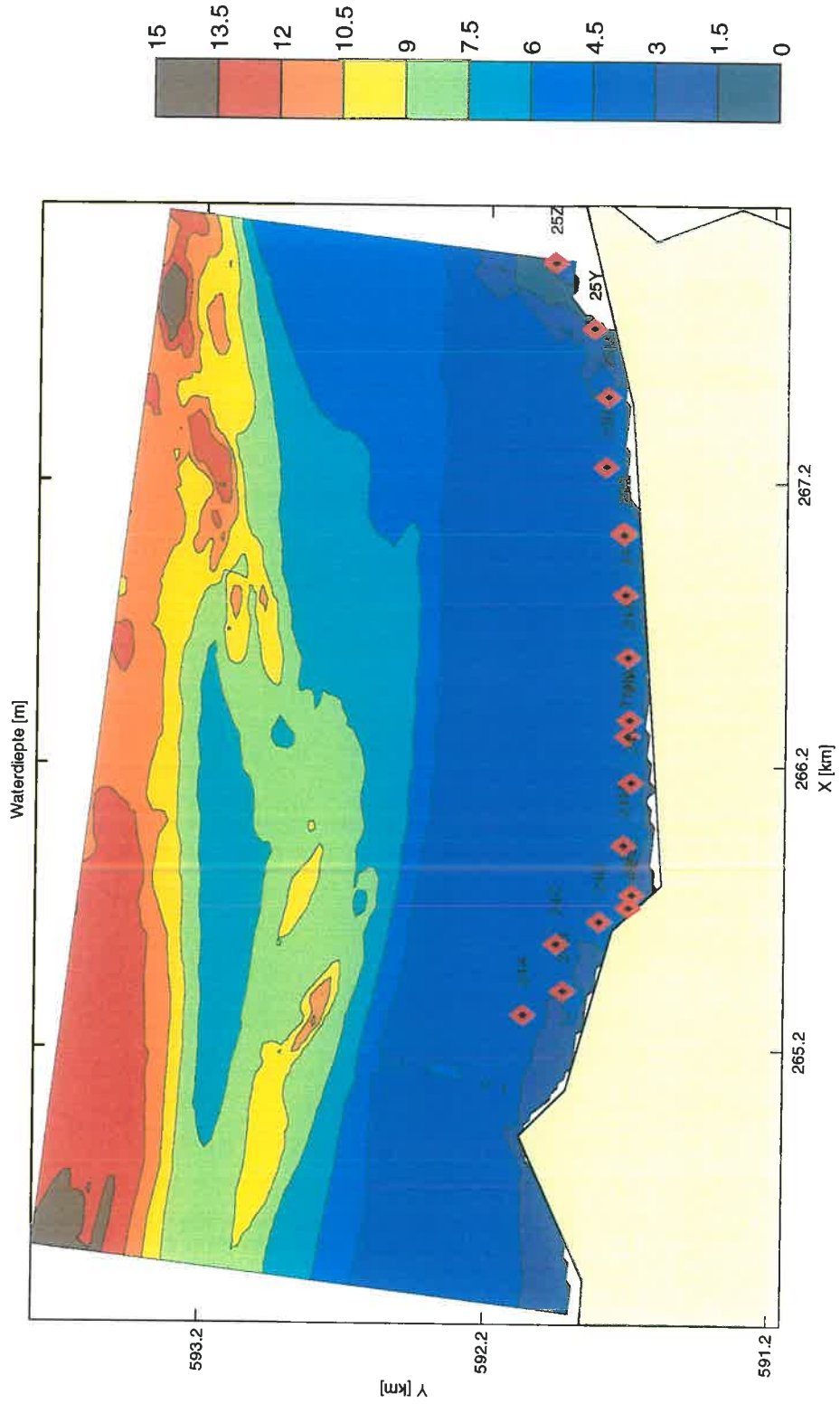
890214

SWAN v40.01

WL | DELFT HYDRAULICS

H3761

Fig. E.2.e



Diepte schematisatie Waddenzee z10

Run z10

890214

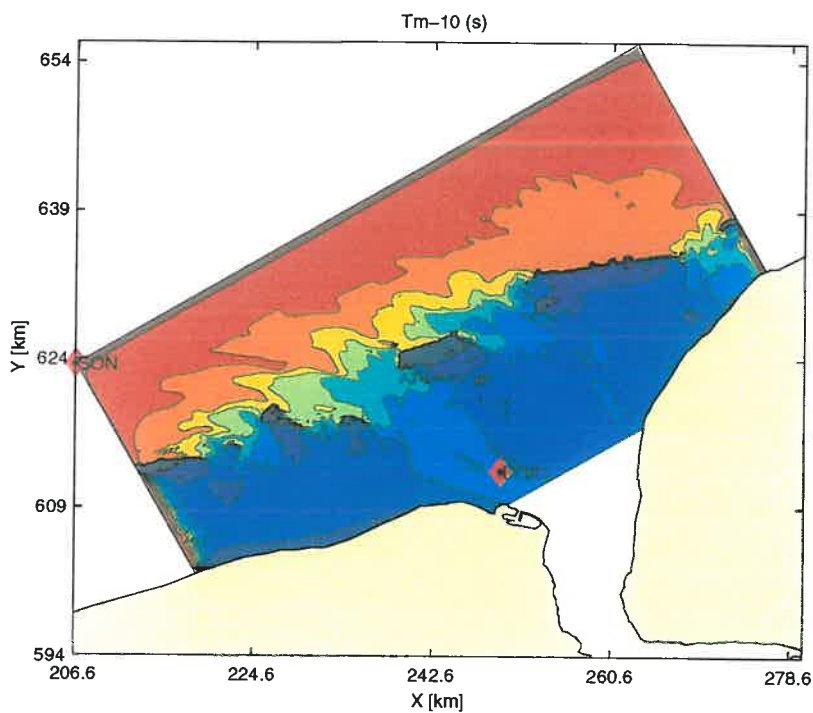
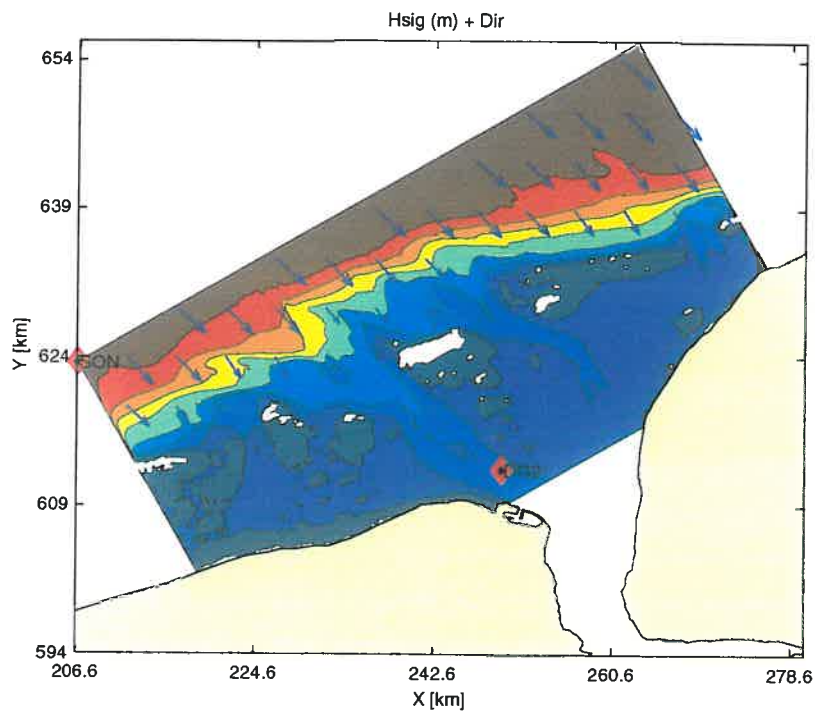
SWAN v40.01

WL | DELFT HYDRAULICS

H3761

Fig. E.2.f





Berekende Hs, Dir en Tm-10 (s) voor de Eems-Dollard

Run c10

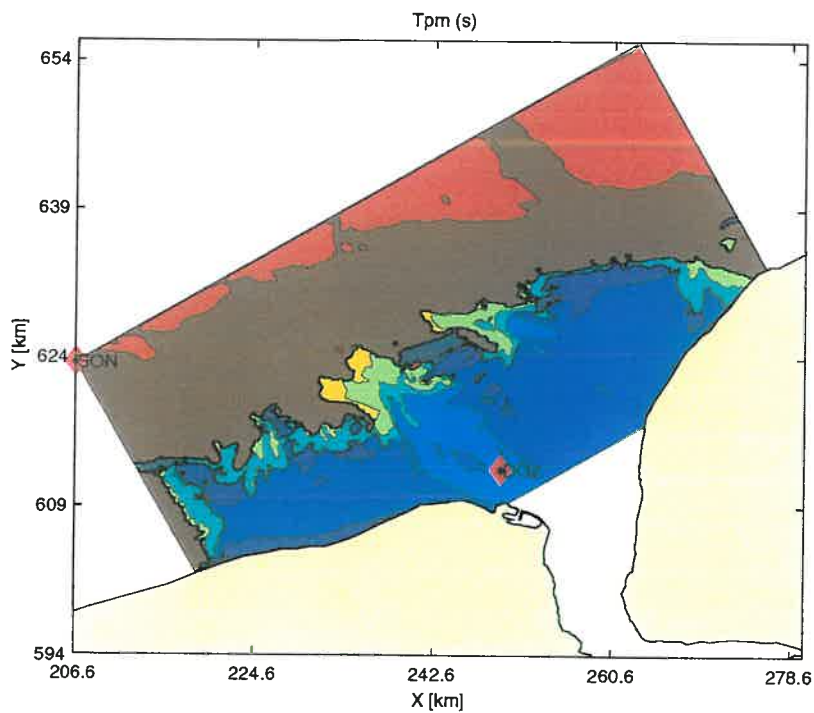
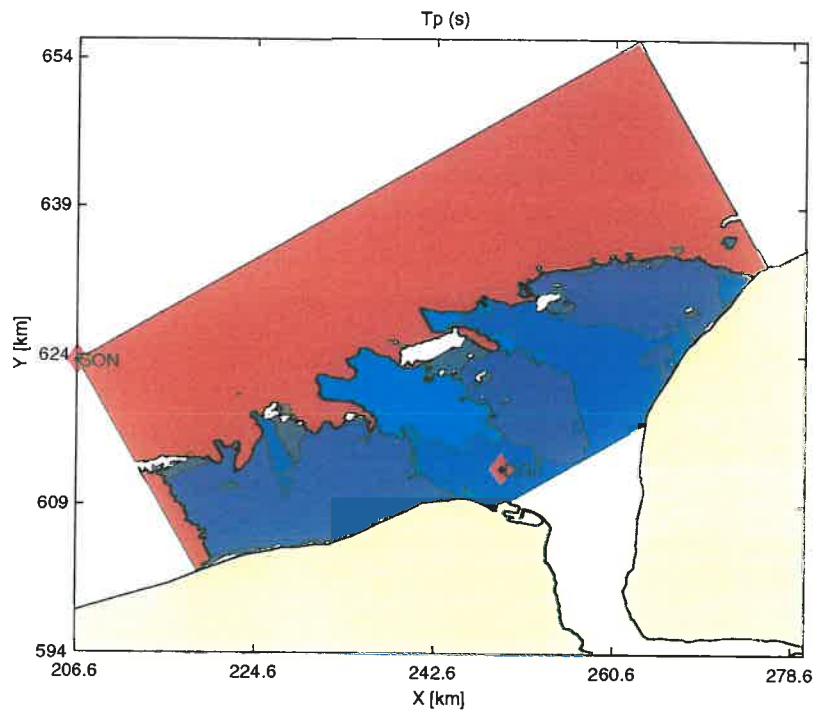
890214 06:00

SWAN v40.01

WL | DELFT HYDRAULICS

H3761

Fig. E.3.a



Berekende  $T_p$  (s) en  $T_{pm}$  (s) voor de Eems-Dollard

Run c10

890214 06:00

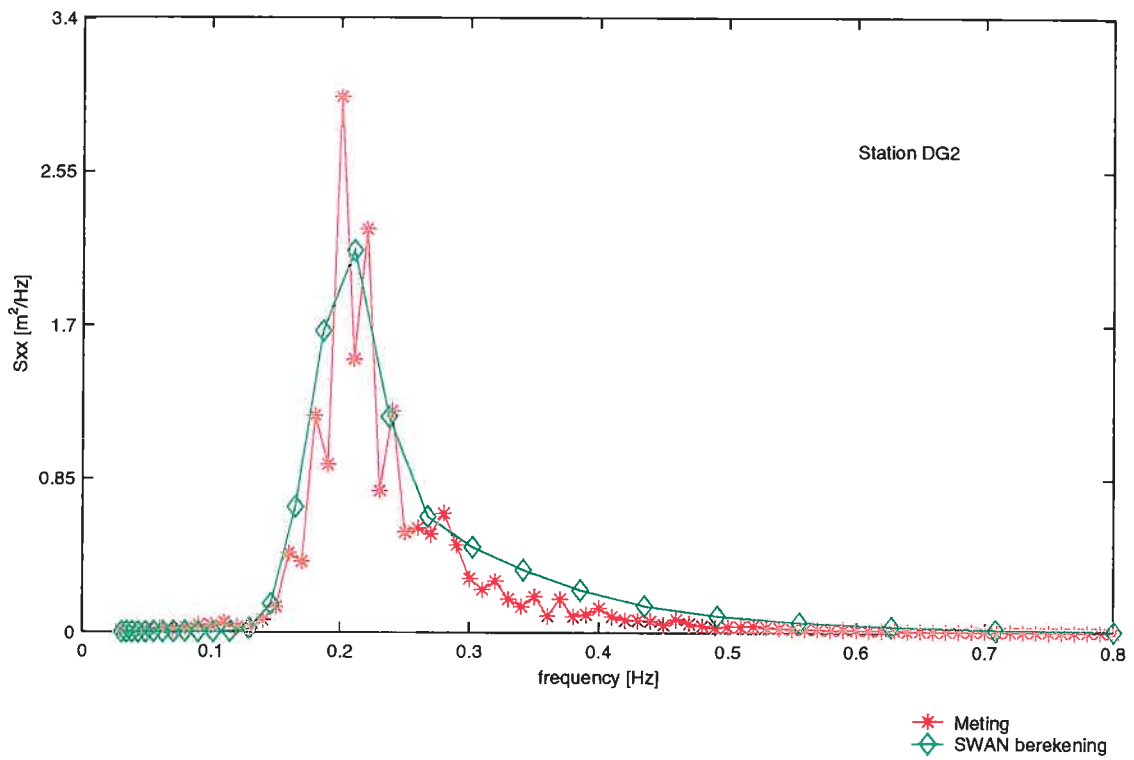
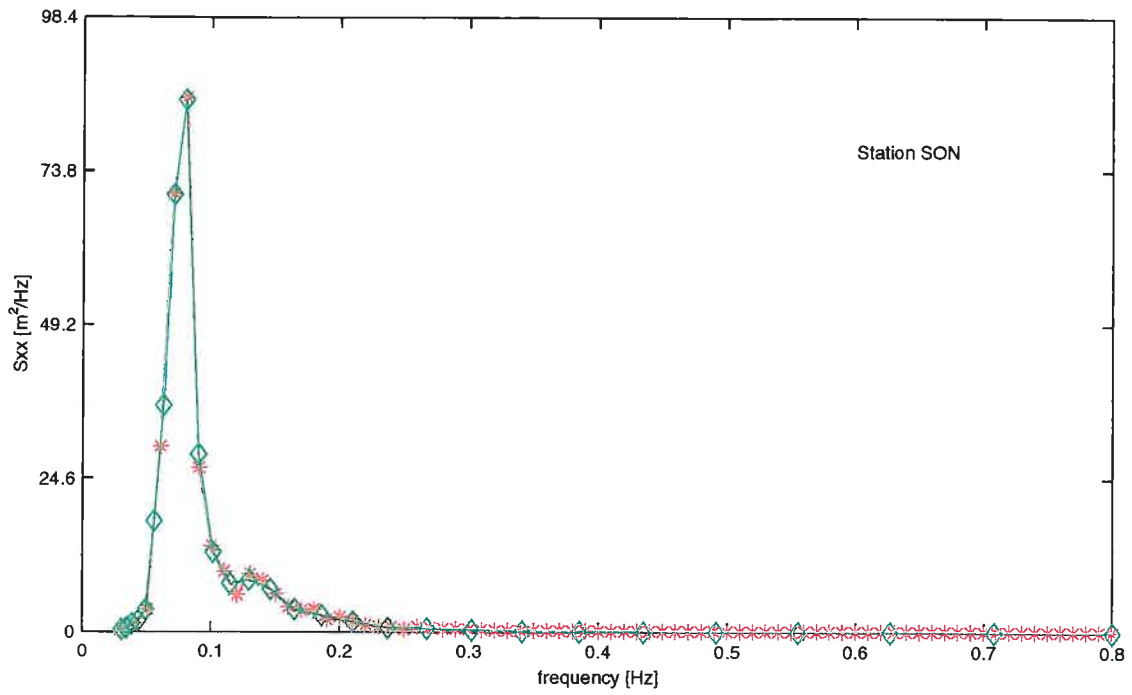
SWAN v40.01

WL | DELFT HYDRAULICS

H3761

Fig. E.3.b





Berekende versus gemeten spectra in de Eems-Dollard

Run c10

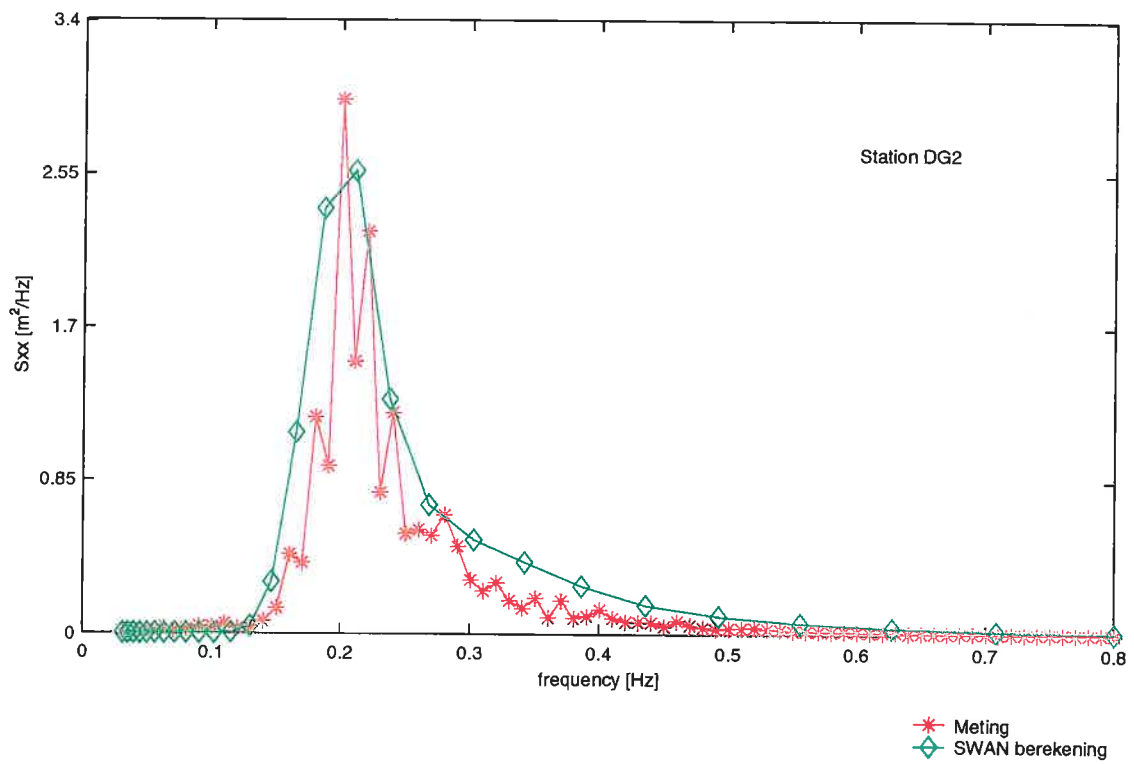
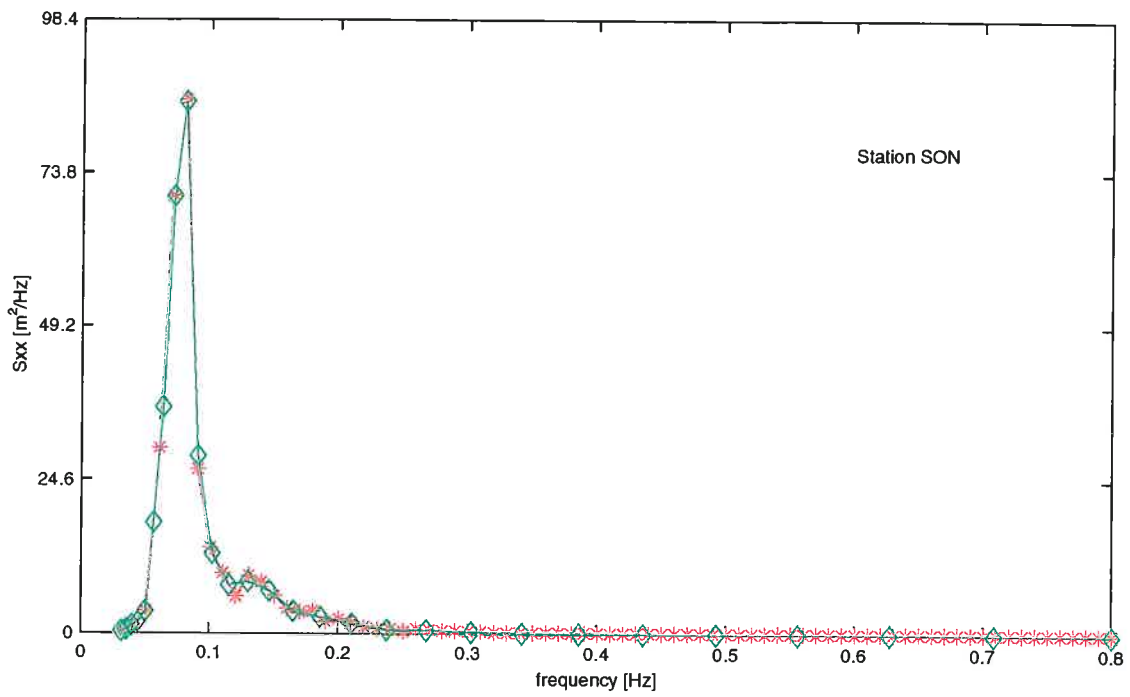
890214 06:00

SWAN v40.01

WL | DELFT HYDRAULICS

H3761

Fig. E.3.c



Berekende versus gemeten spectra in de Eems-Dollard

Run c12

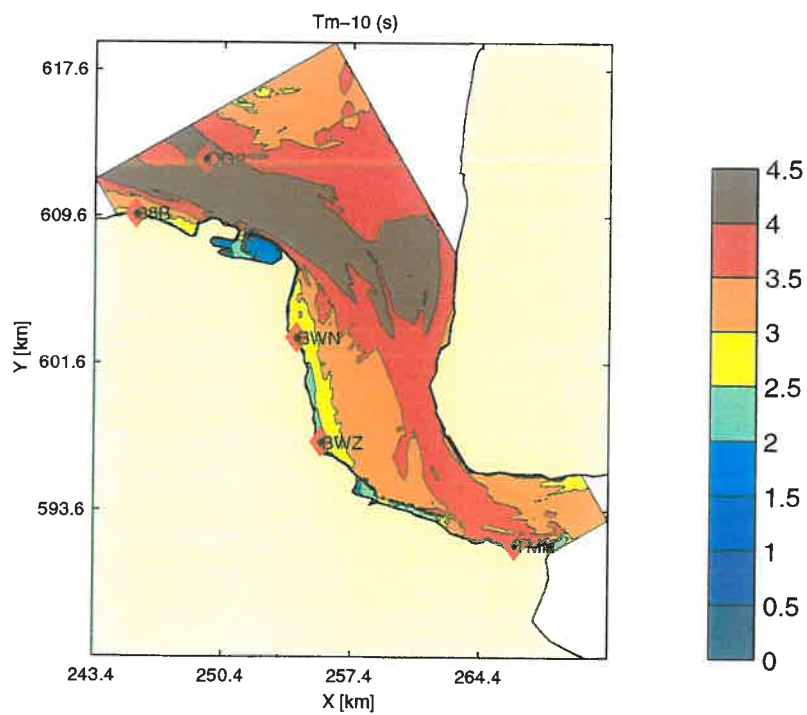
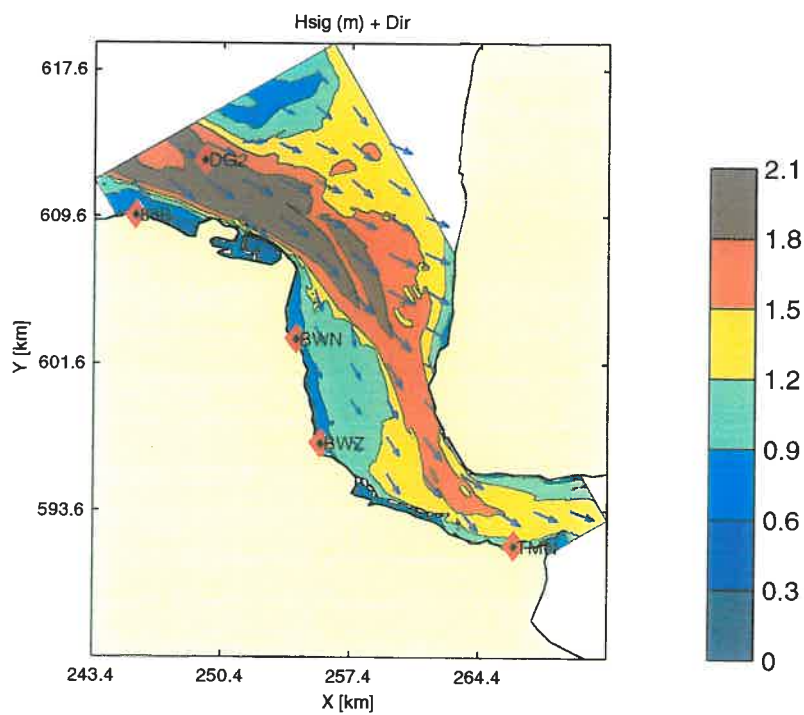
890214 06:00

SWAN v40.01

WL | DELFT HYDRAULICS

H3761

Fig. E.3.e



Berekende Hs, Dir en Tm-10 (s) voor de Eems-Dollard

Run m10

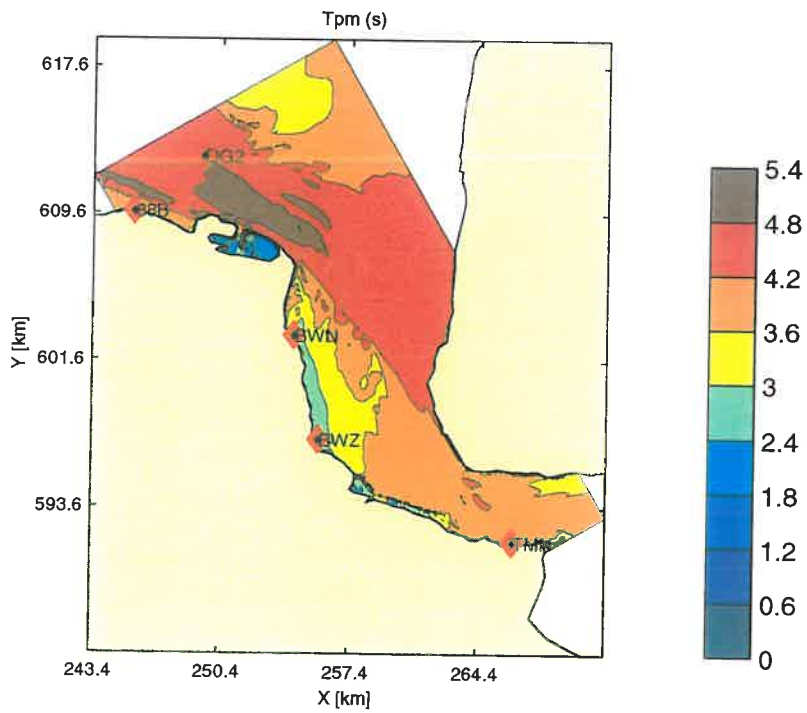
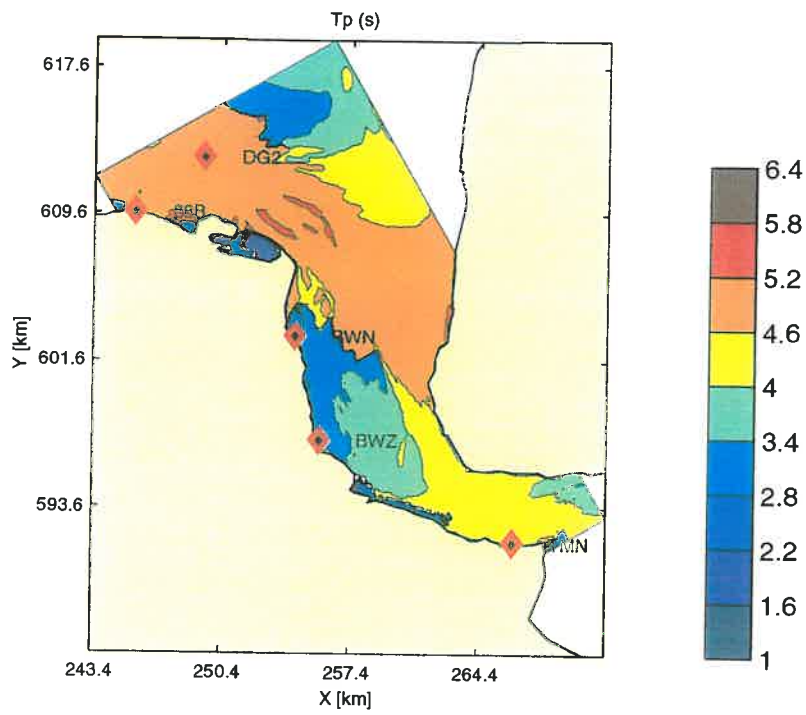
890214 06:00

SWAN v40.01

WL | DELFT HYDRAULICS

H3761

Fig. E.4.a



Berekende  $T_p$  (s) en  $T_{pm}$  (s) voor de Eems-Dollard

Run m10

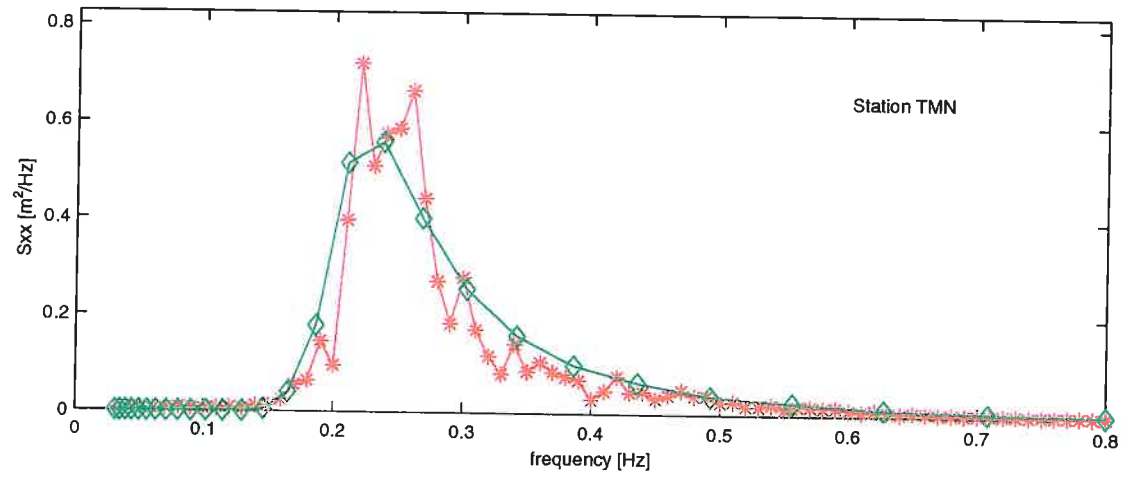
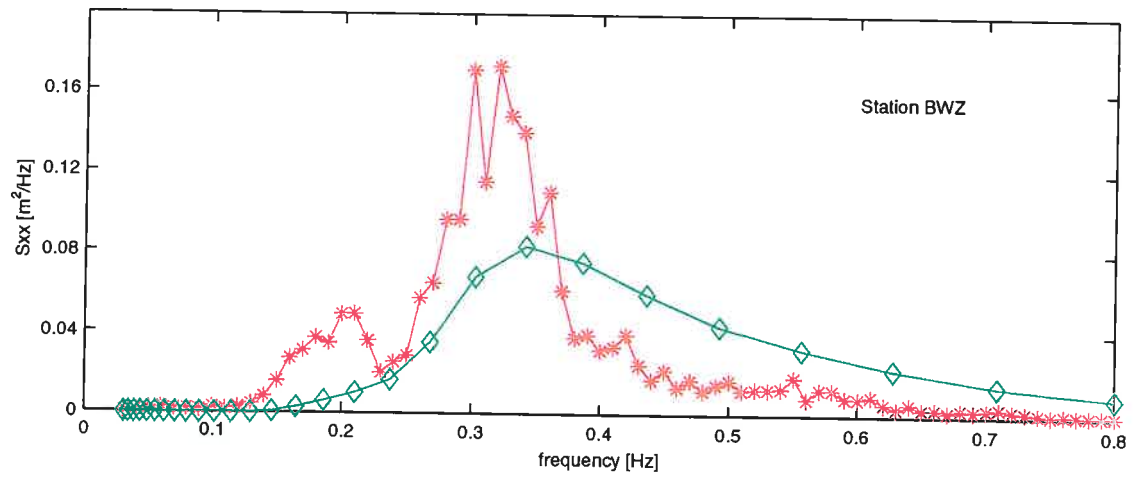
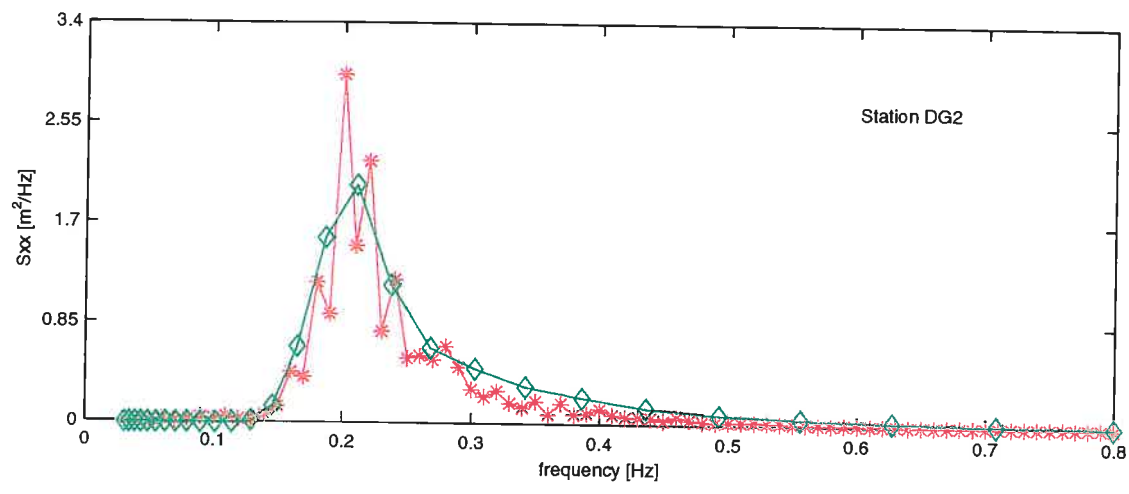
890214 06:00

SWAN v40.01

WL | DELFT HYDRAULICS

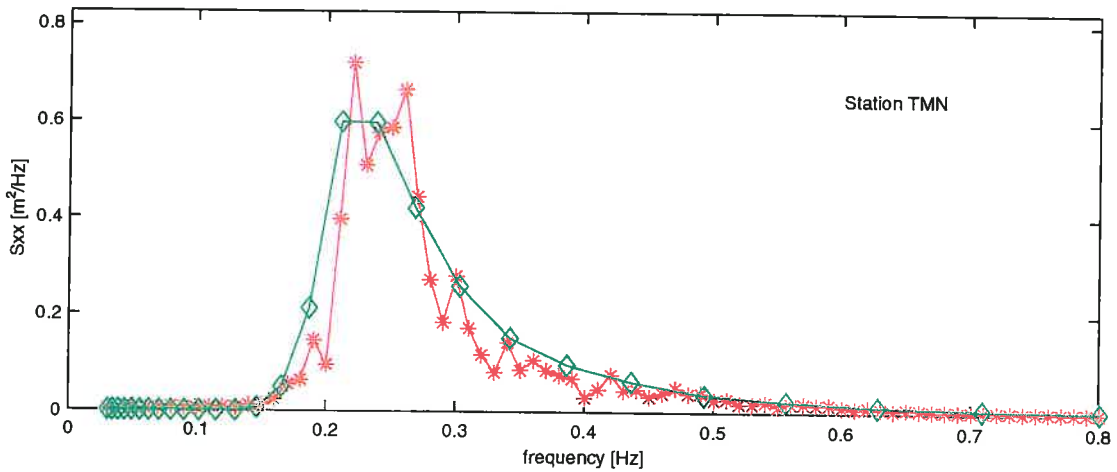
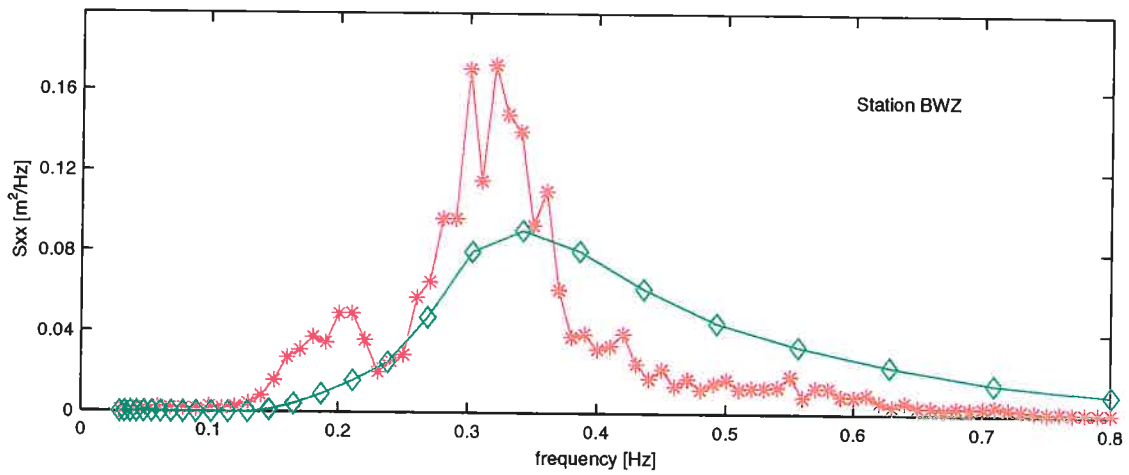
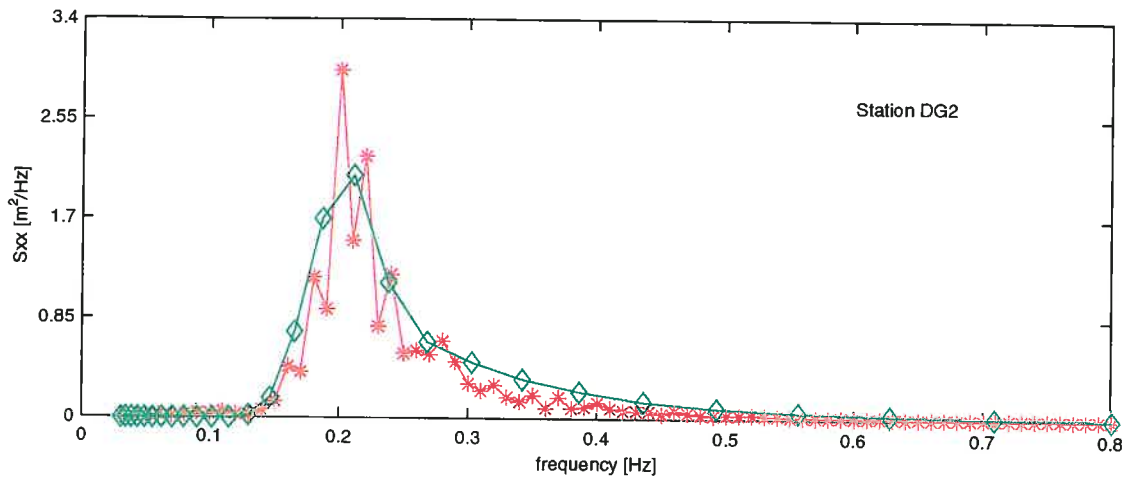
H3761

Fig. E.4.b



\* Meting  
◇ SWAN berekening

Berekende versus gemeten spectra in de Eems-Dollard	Run m10	890214 06:00
	SWAN v40.01	
WL   DELFT HYDRAULICS	H3761	Fig. E.4.c



\* Measured values  
◇ SWAN computation

Berekende versus gemeten spectra in de Eems-Dollard

Run m11

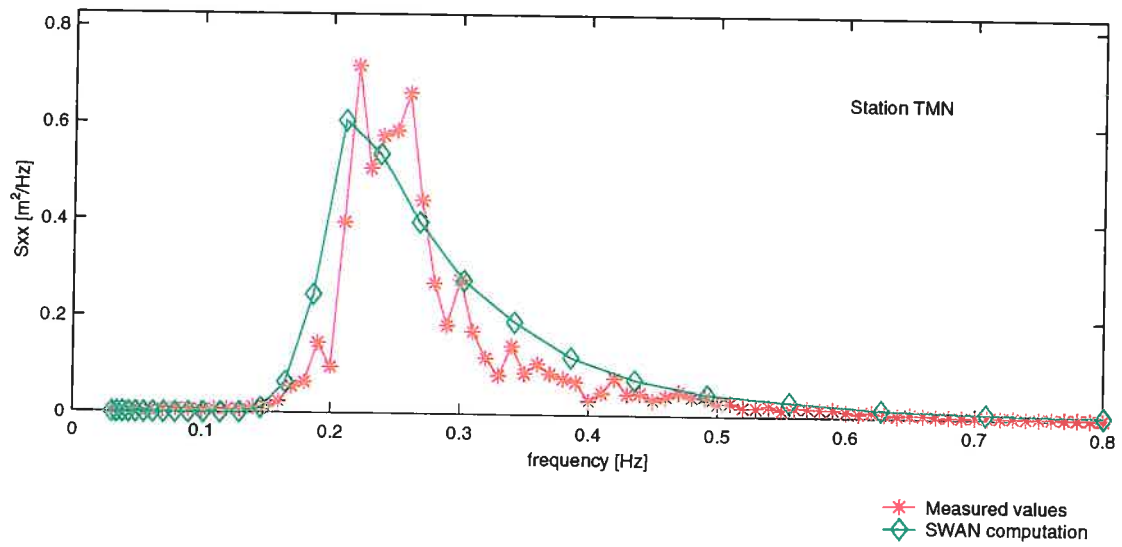
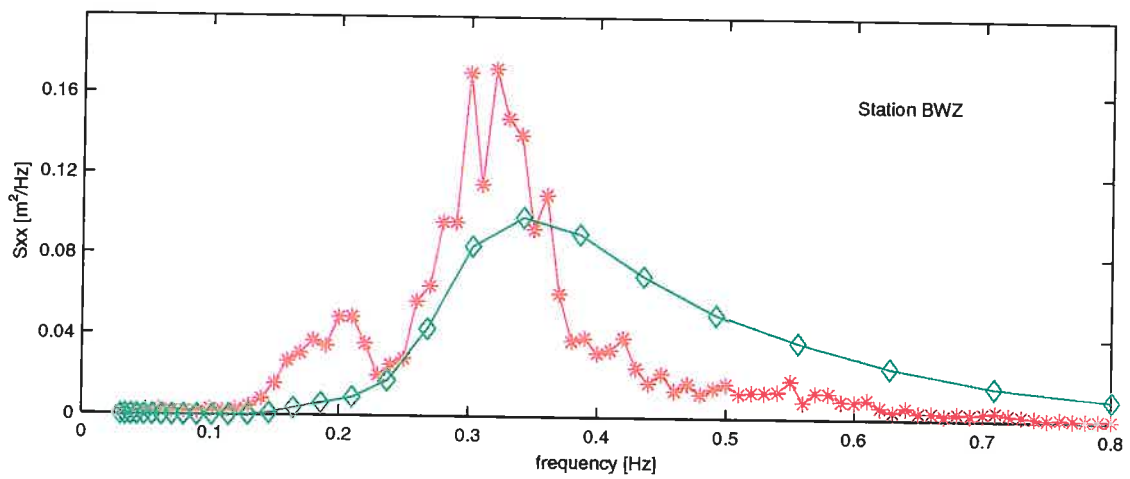
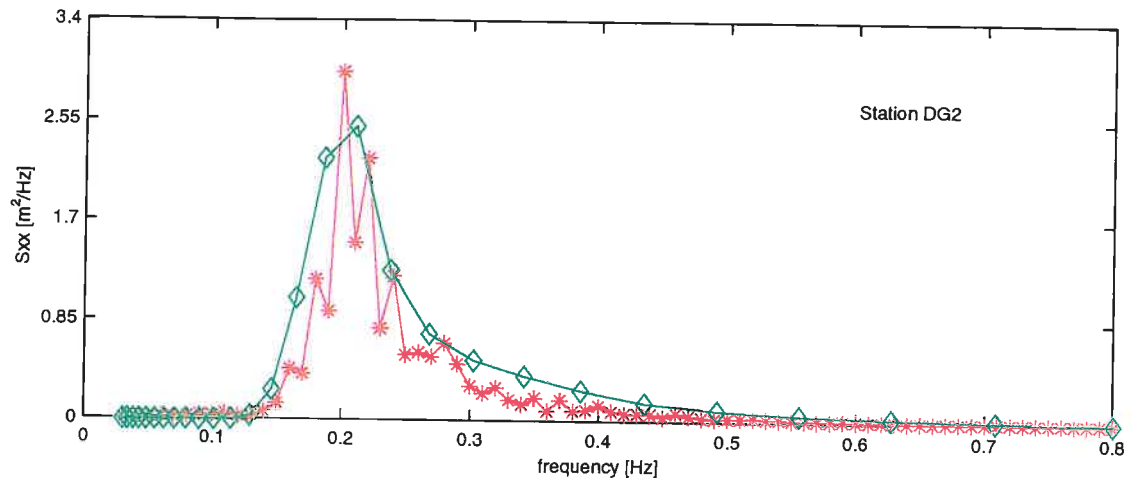
890214 06:00

SWAN v40.01

WL | DELFT HYDRAULICS

H3761

Fig. E.4.d



Berekende versus gemeten spectra in de Eems-Dollard

Run m12

890214 06:00

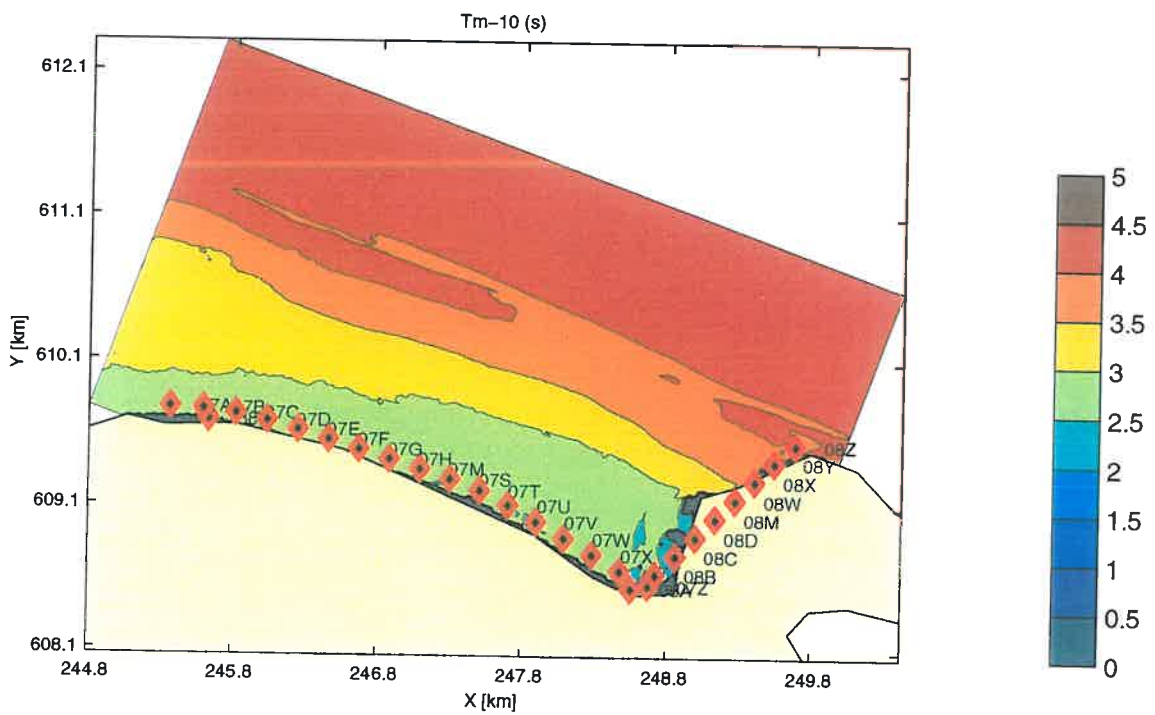
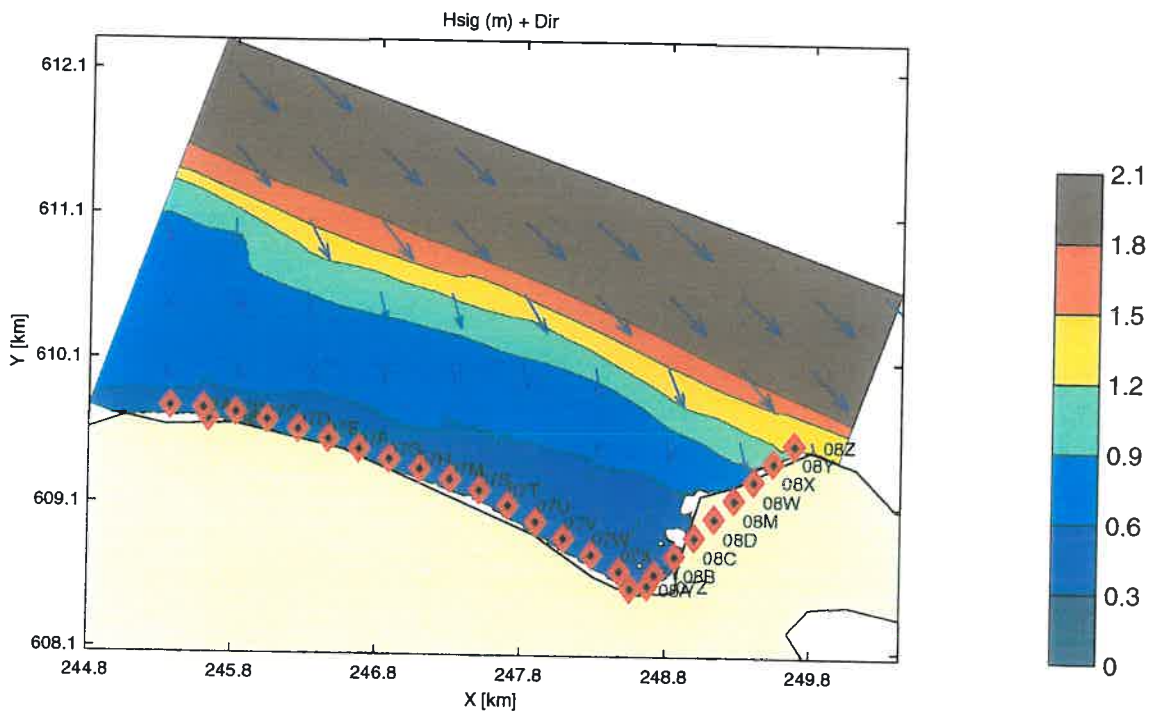
SWAN v40.01

WL | DELFT HYDRAULICS

H3761

Fig. E.4.e





Berekende Hs, Dir en Tm-10 (s) voor de Eems-Dollard

Run w10

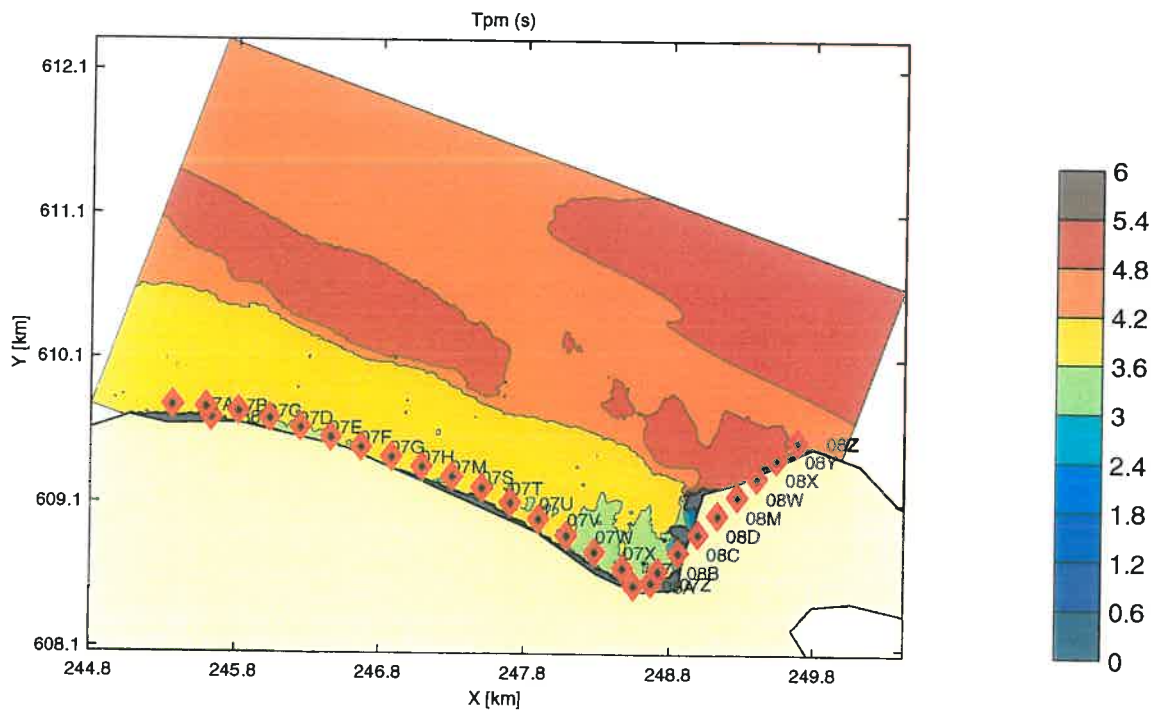
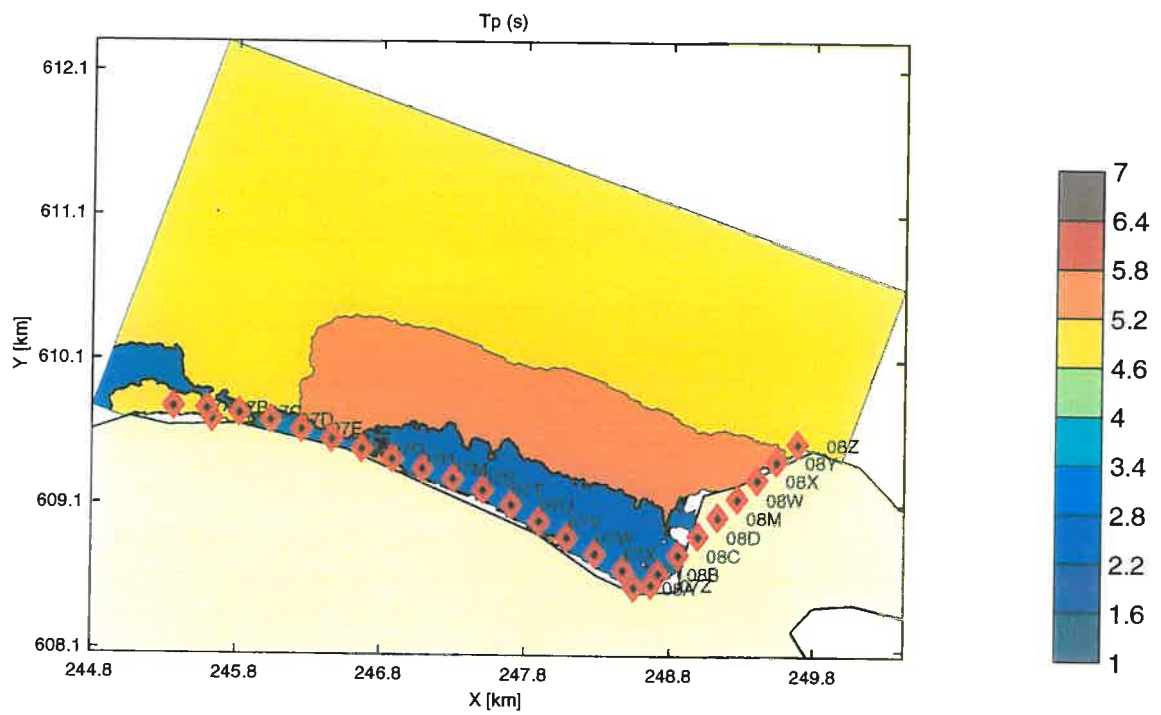
890214 06:00

SWAN v40.01

WL | DELFT HYDRAULICS

H3761

Fig. E.5.a



Berekende Tp (s) en Tpm (s) voor de Eems-Dollard

Run w10

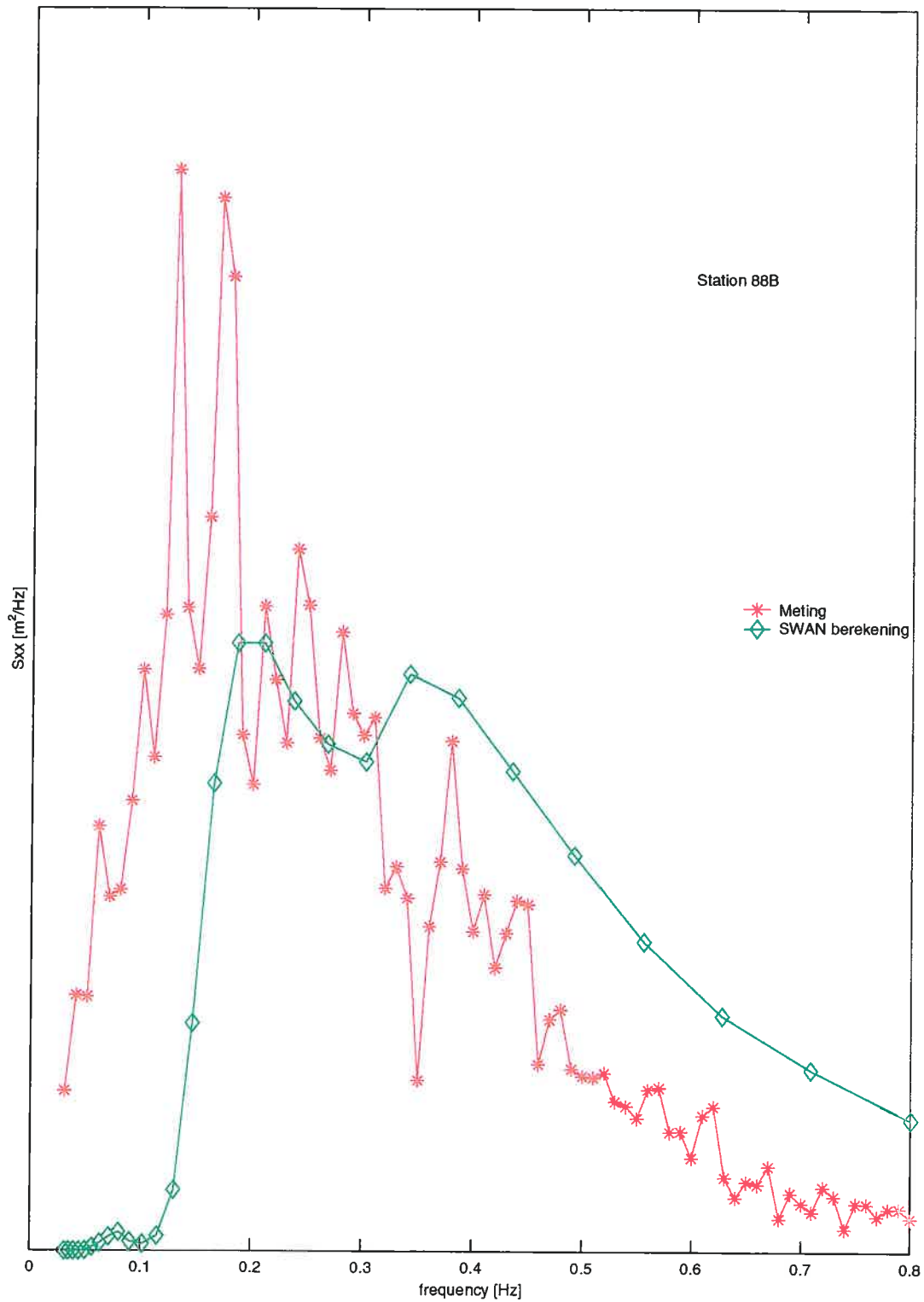
890214 06:00

SWAN v40.01

WL | DELFT HYDRAULICS

H3761

Fig. E.5.b



Berekende versus gemeten spectra in de Eems-Dollard

Run w10

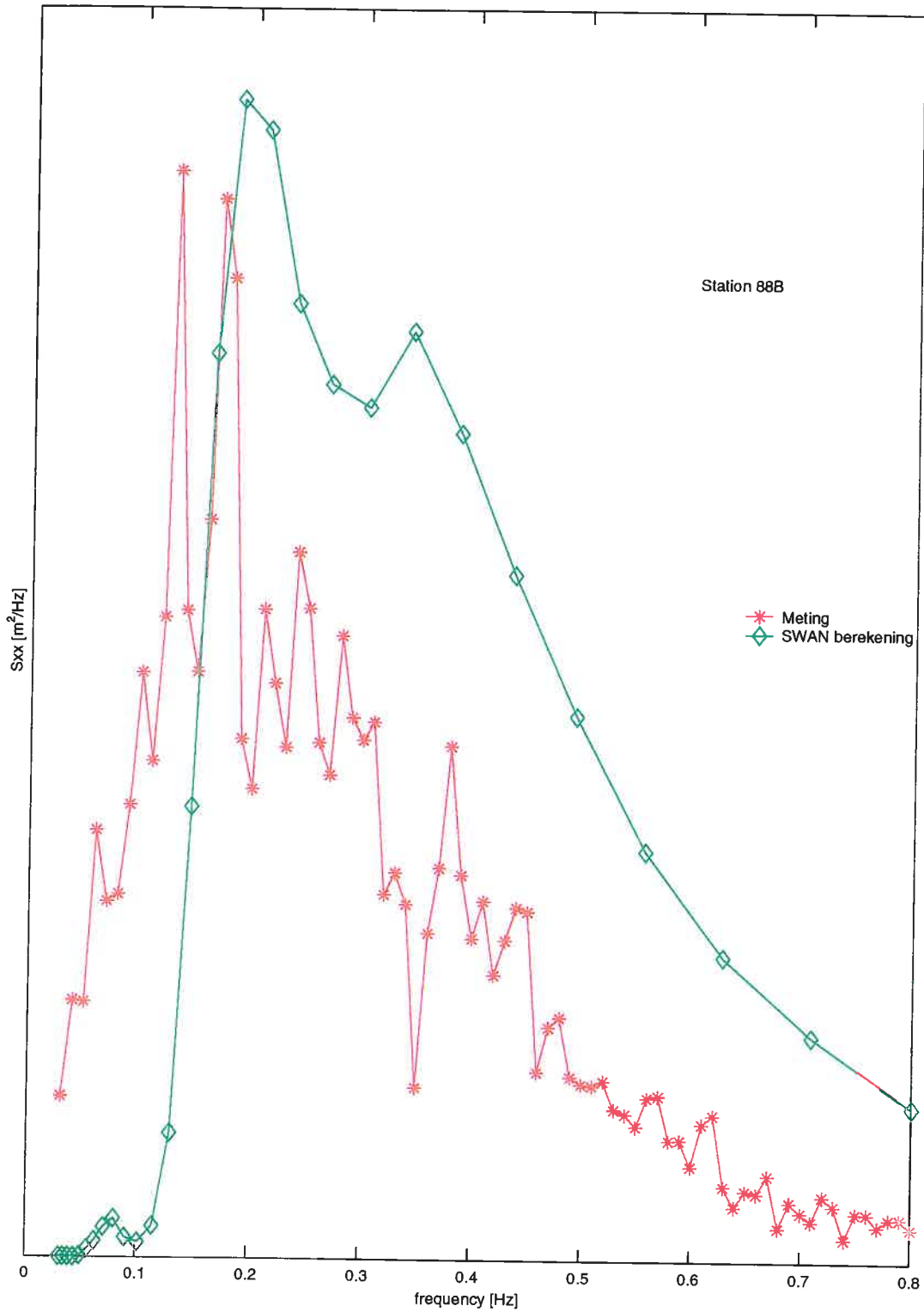
890214 06:00

SWAN v40.01

WL | DELFT HYDRAULICS

H3761

Fig. E.5.c



Berekende versus gemeten spectra in de Eems-Dollard

Run w11

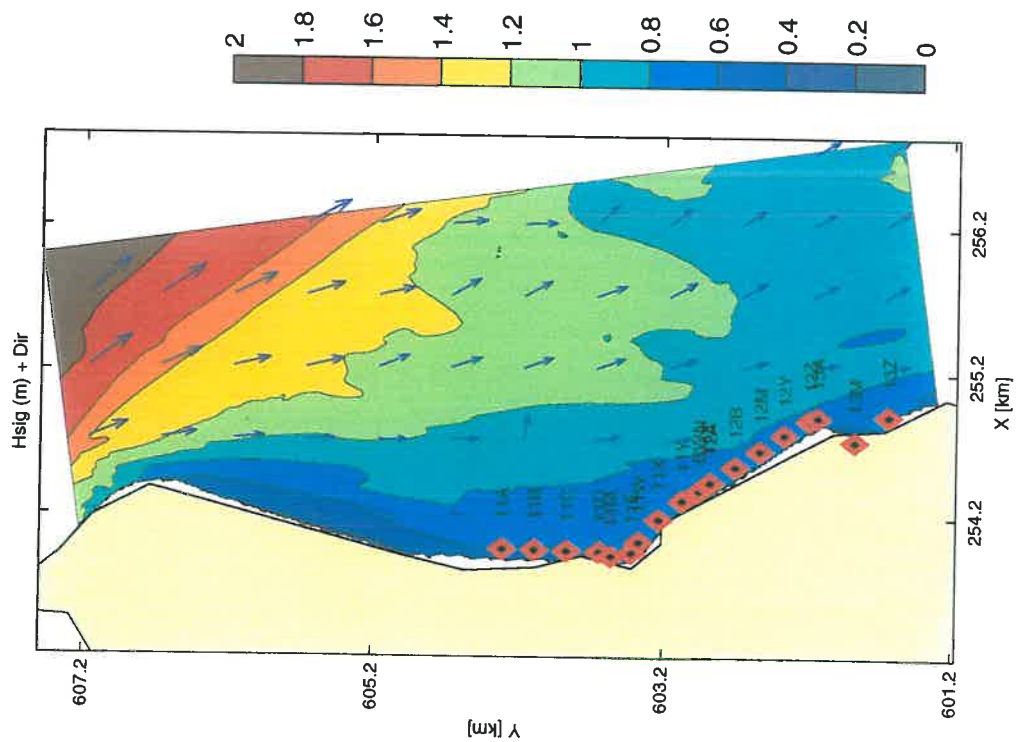
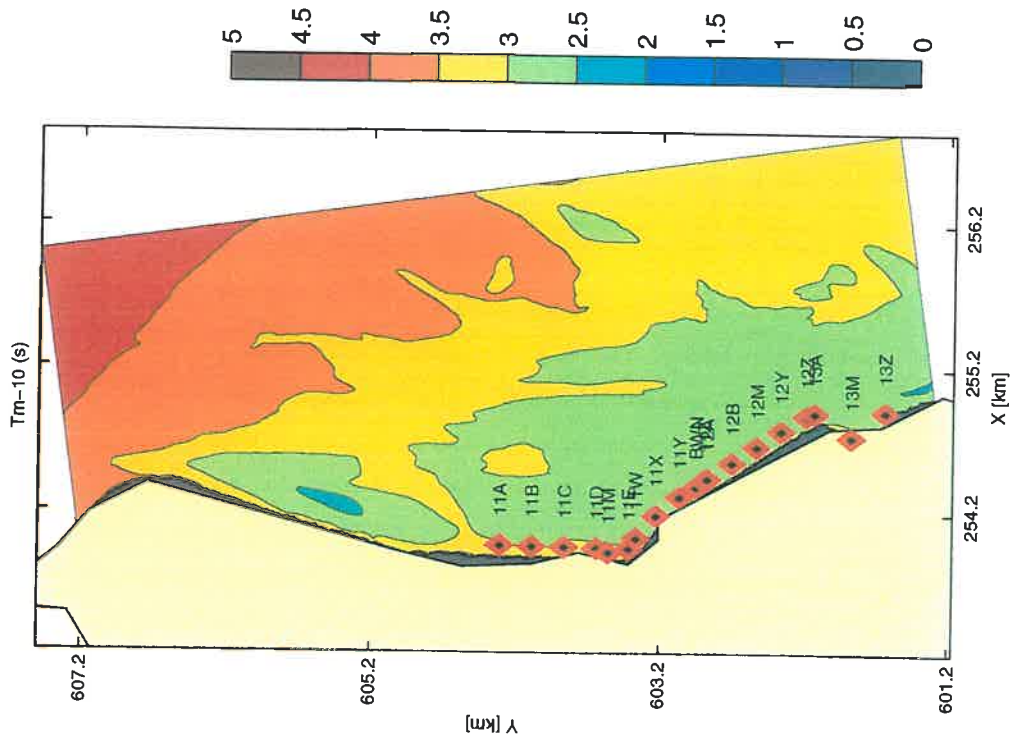
890214 06:00

SWAN v40.01

WL | DELFT HYDRAULICS

H3761

Fig. E.5.d



Berekende Hs, Dir en Tm-10 (s) voor de Eems-Dollard

Run x10

890214 06:00

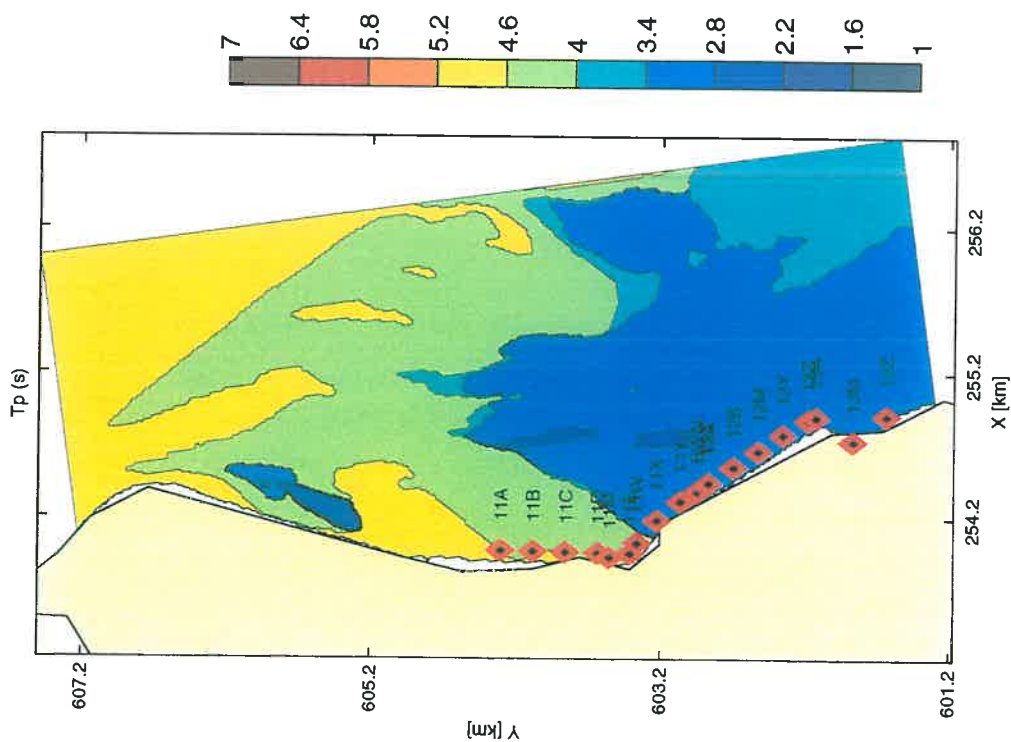
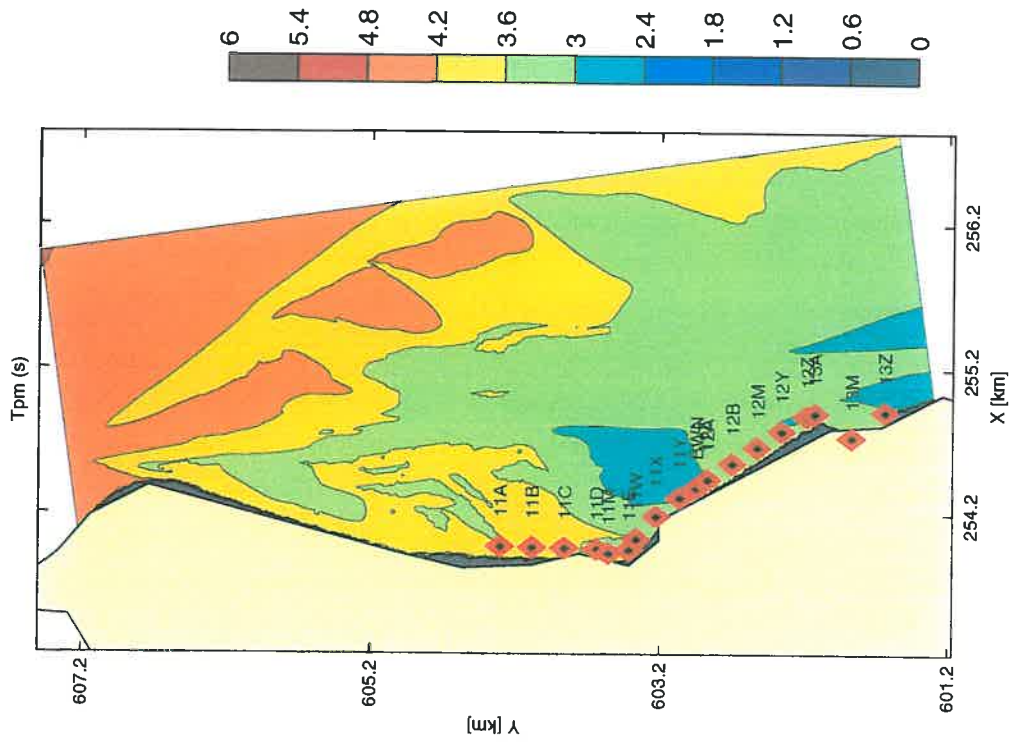
SWAN v40.01

WL | DELFT HYDRAULICS

H3761

Fig. E.6.a





Berekende Tp (s) en Tpm (s) voor de Eems-Dollard

Run x10

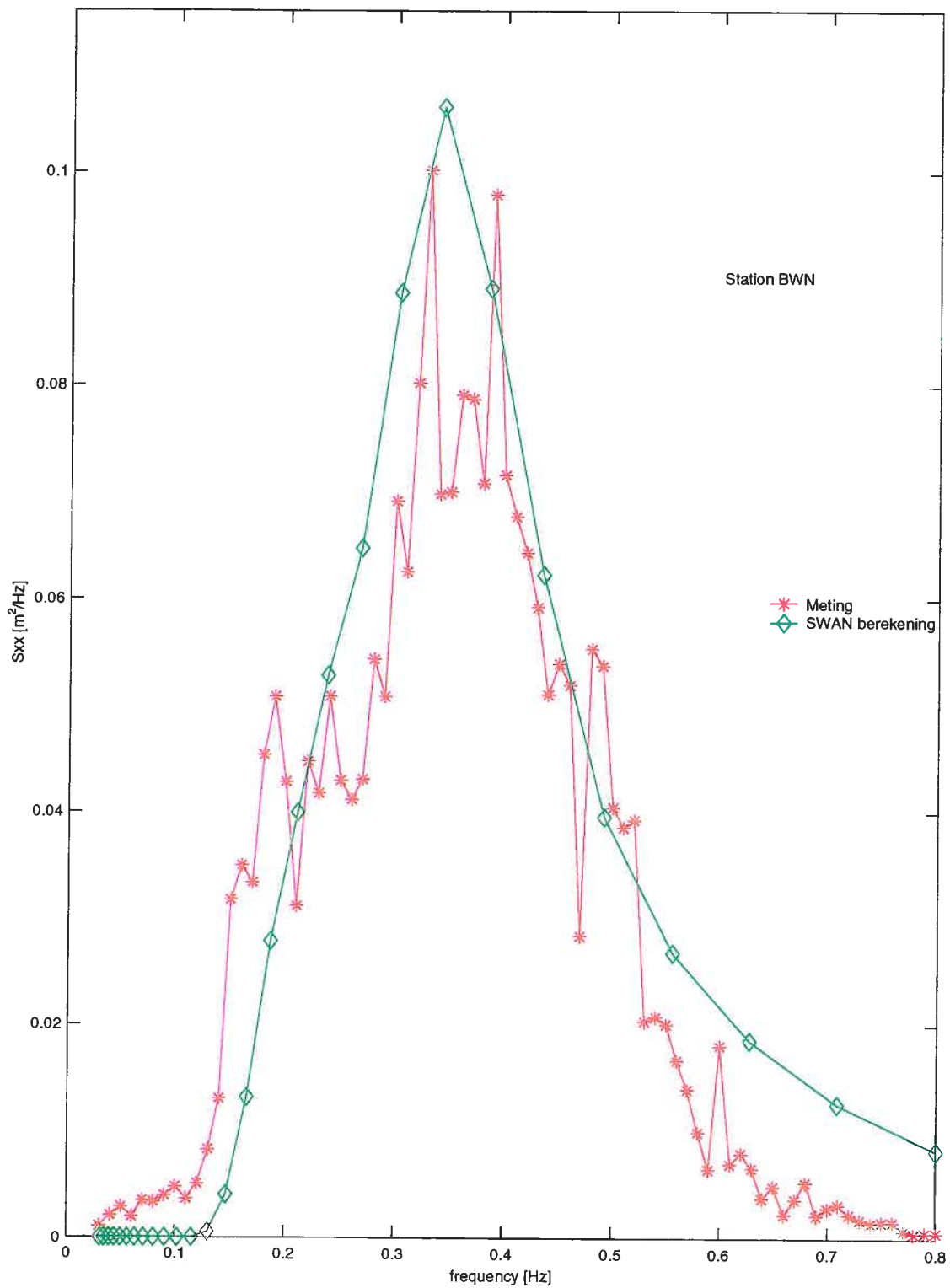
890214 06:00

SWAN v40.01

WL | DELFT HYDRAULICS

H3761

Fig. E.6.b



Berekende versus gemeten spectra in de Eems-Dollard

Run x10

890214 06:00

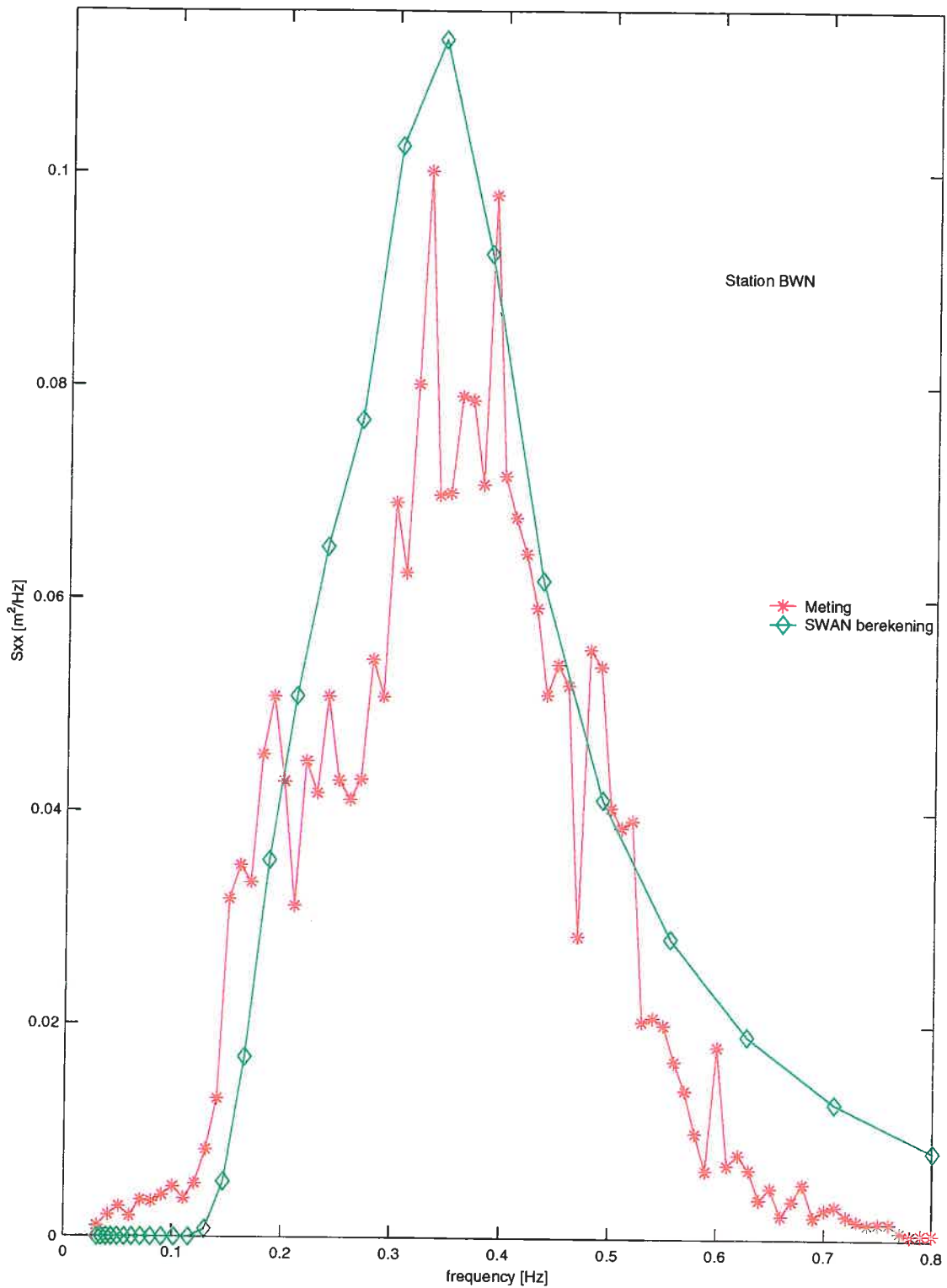
SWAN v40.01

WL | DELFT HYDRAULICS

H3761

Fig. E.6.c





Berekende versus gemeten spectra in de Eems-Dollard

Run x11

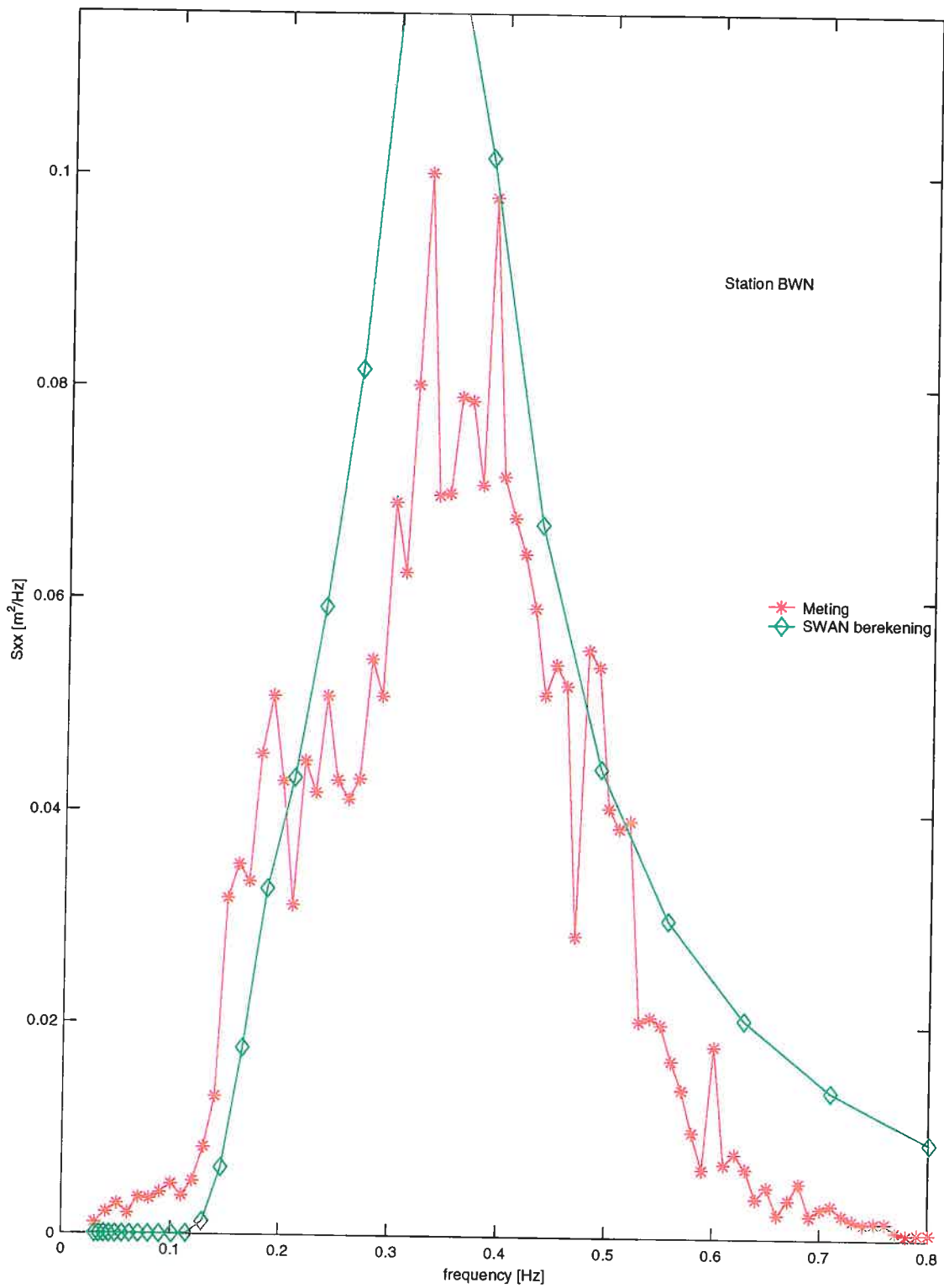
890214 06:00

SWAN v40.01

WL | DELFT HYDRAULICS

H3761

Fig. E.6.d



Berekende versus gemeten spectra in de Eems-Dollard

Run x12

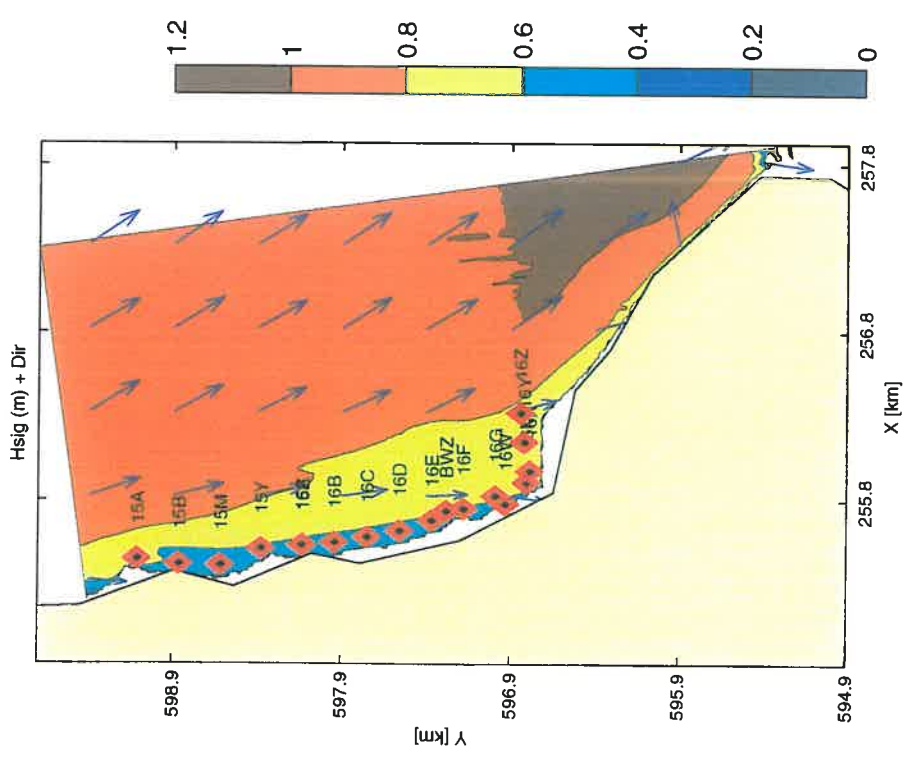
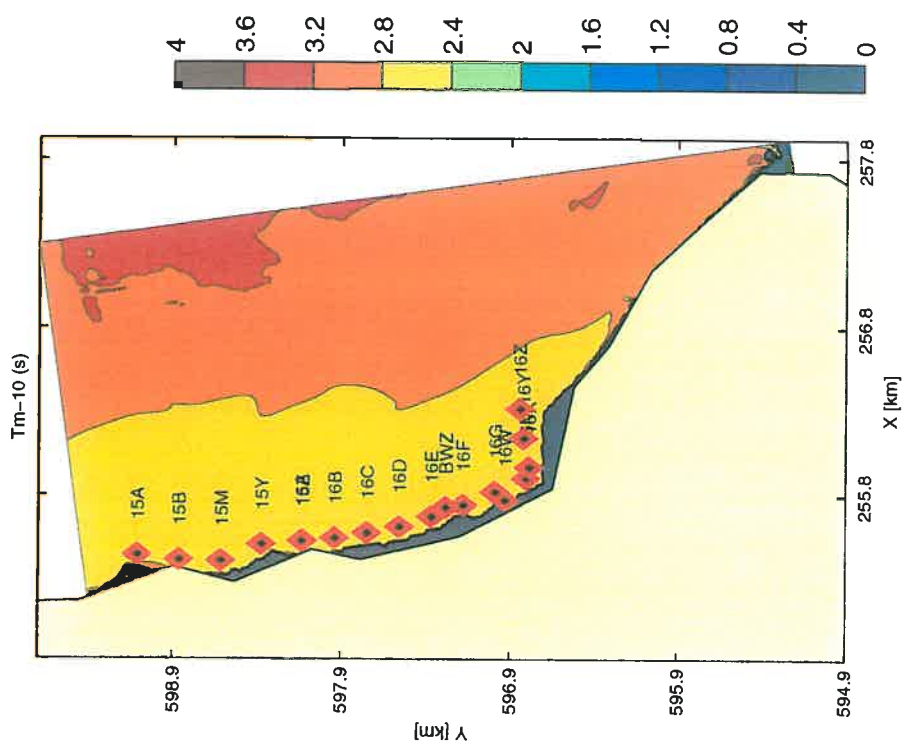
890214 06:00

SWAN v40.01

WL | DELFT HYDRAULICS

H3761

Fig. E.6.e



Berekende Hs, Dir en Tm-10 (s) voor de Eems-Dollard

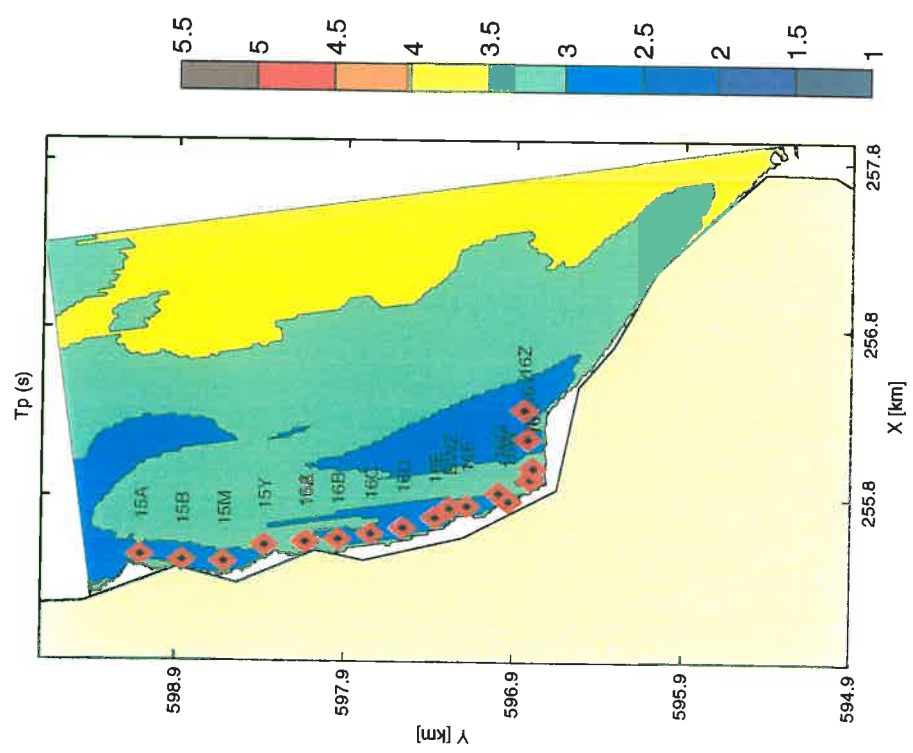
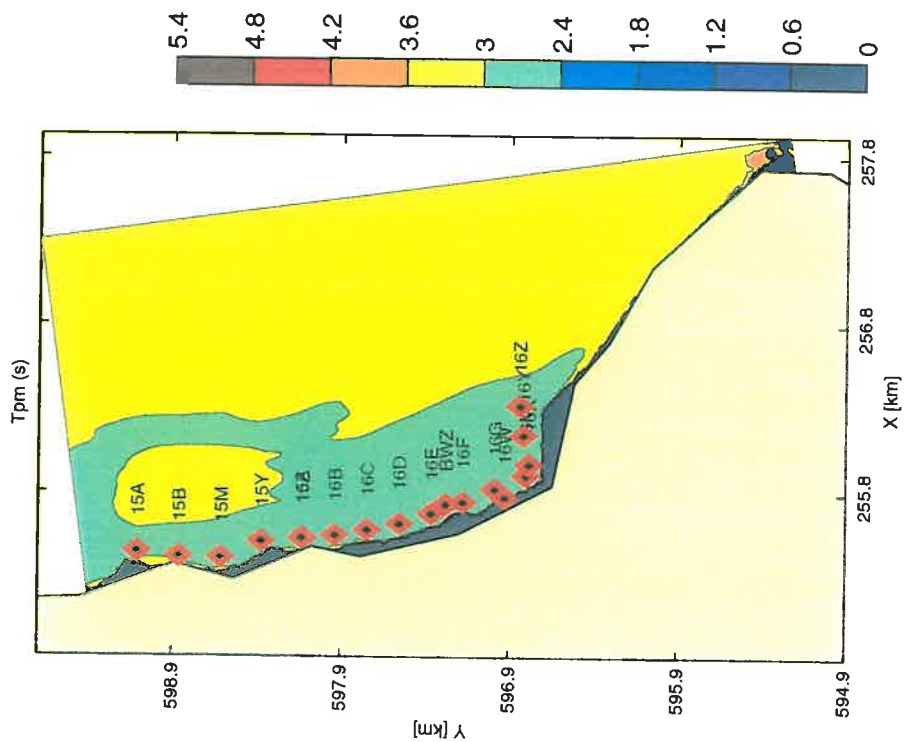
Run y10 890214 06:00

SWAN v40.01

WL | DELFT HYDRAULICS

H3761

Fig. E.7.a



Berekende Tp (s) en Tpm (s) voor de Eems-Dollard

Run y10

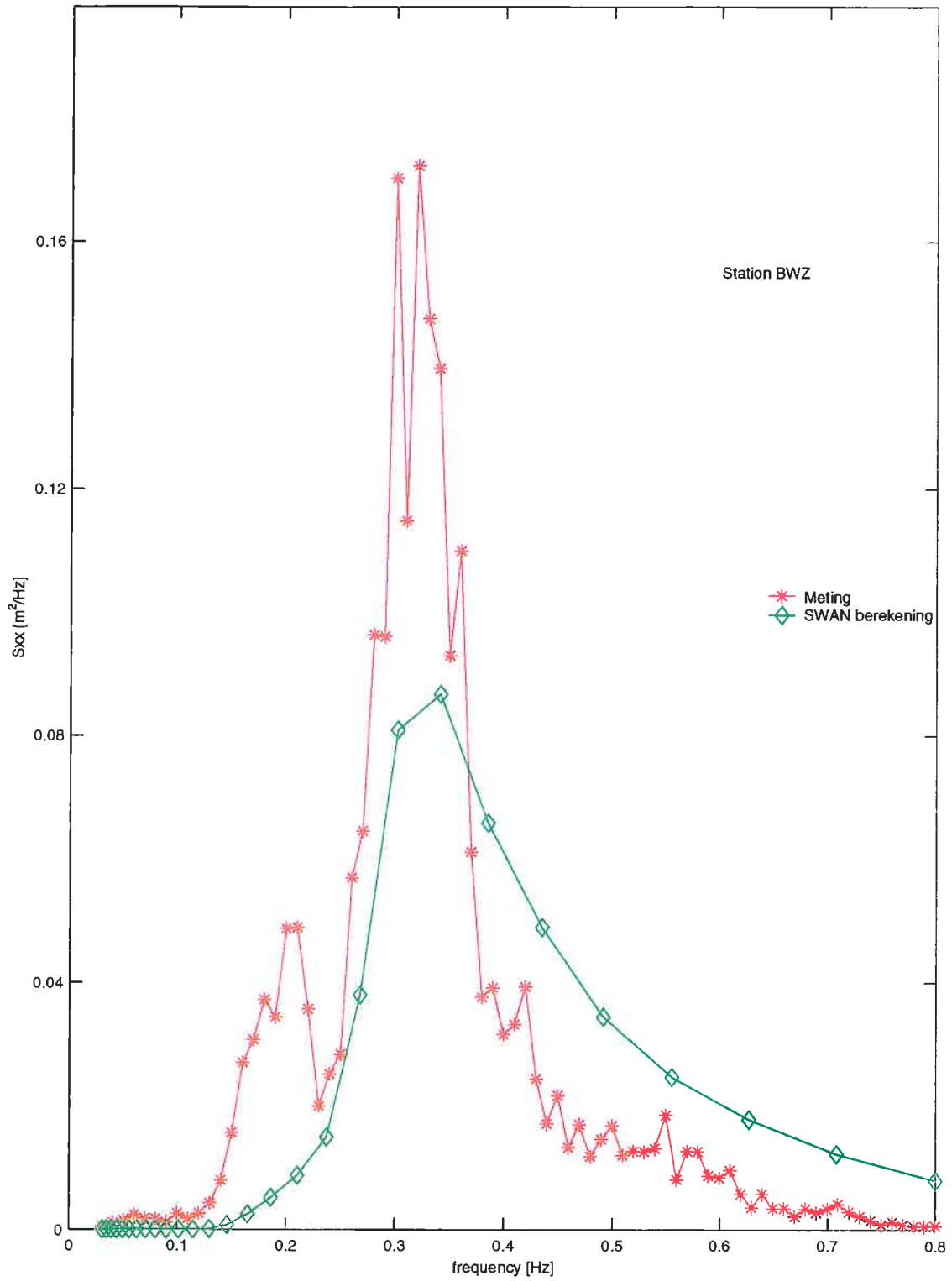
890214 06:00

SWAN v40.01

WL | DELFT HYDRAULICS

H3761

Fig. E.7.b



Berekende versus gemeten spectra in de Eems-Dollard

Run y10

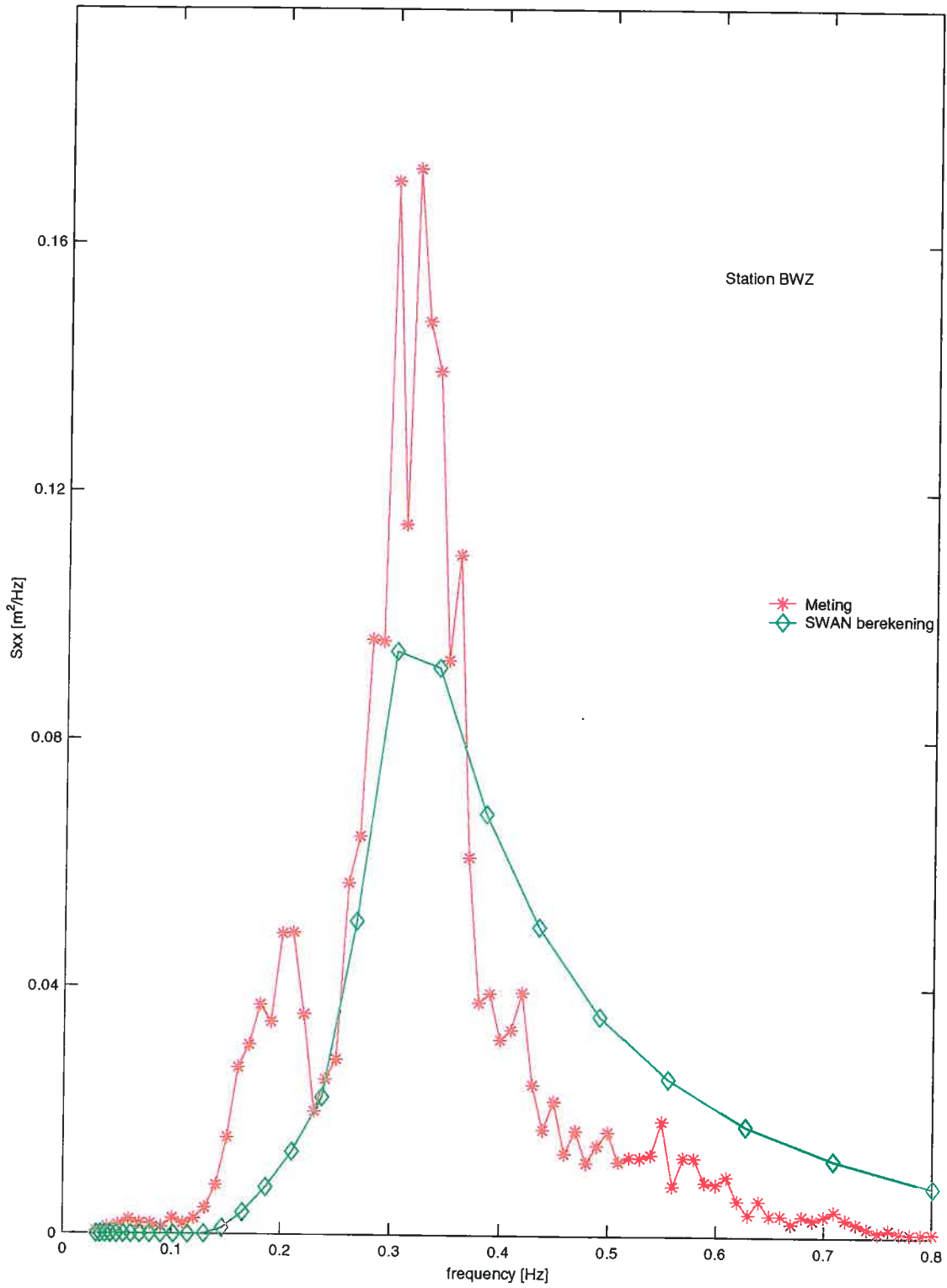
890214 06:00

SWAN v40.01

WL | DELFT HYDRAULICS

H3761

Fig. E.7.c



Berekende versus gemeten spectra in de Eems-Dollard

Run y11

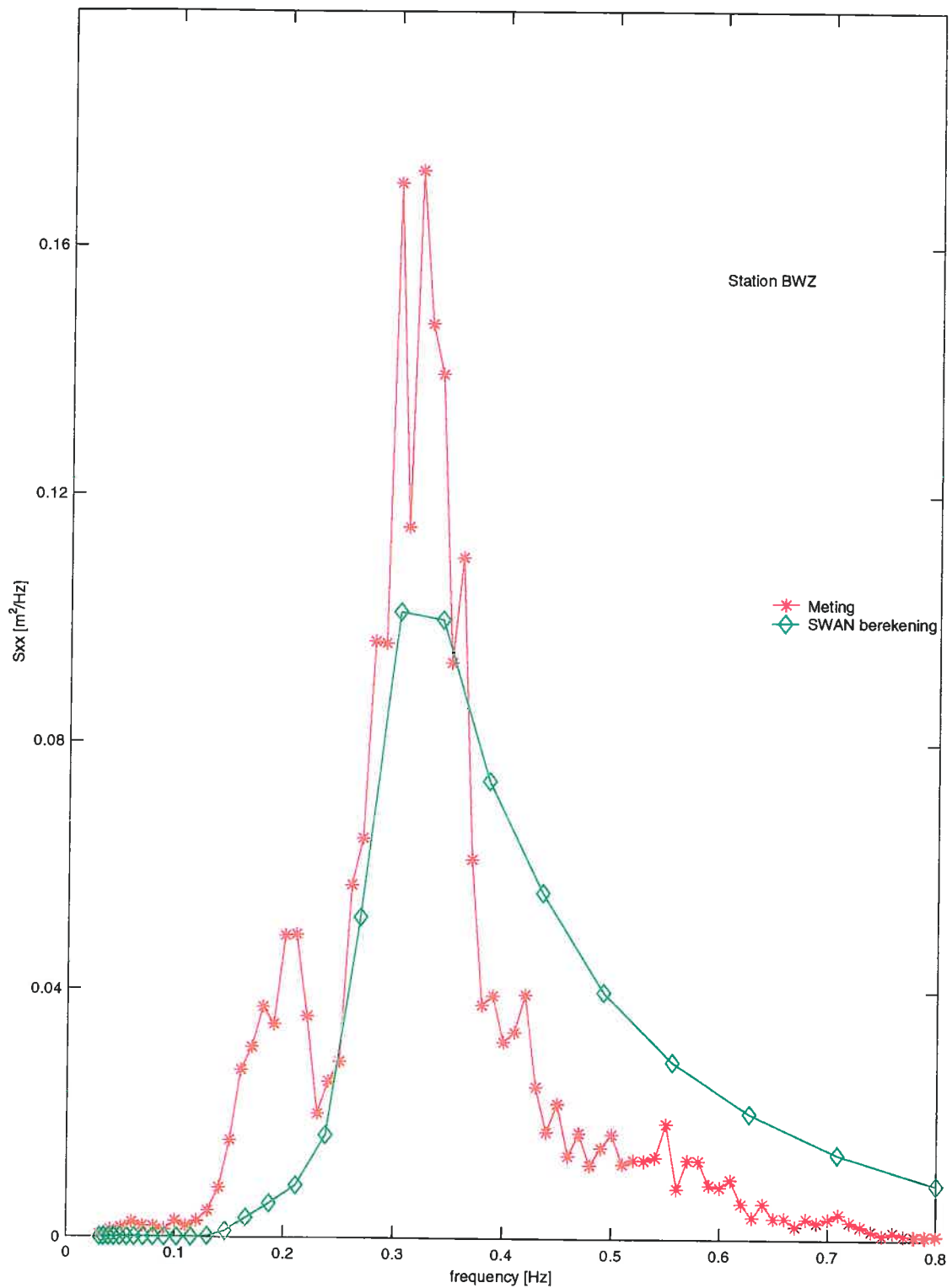
890214 06:00

SWAN v40.01

WL | DELFT HYDRAULICS

H3761

Fig. E.7.d



Berekende versus gemeten spectra in de Eems-Dollard

Run y12

890214 06:00

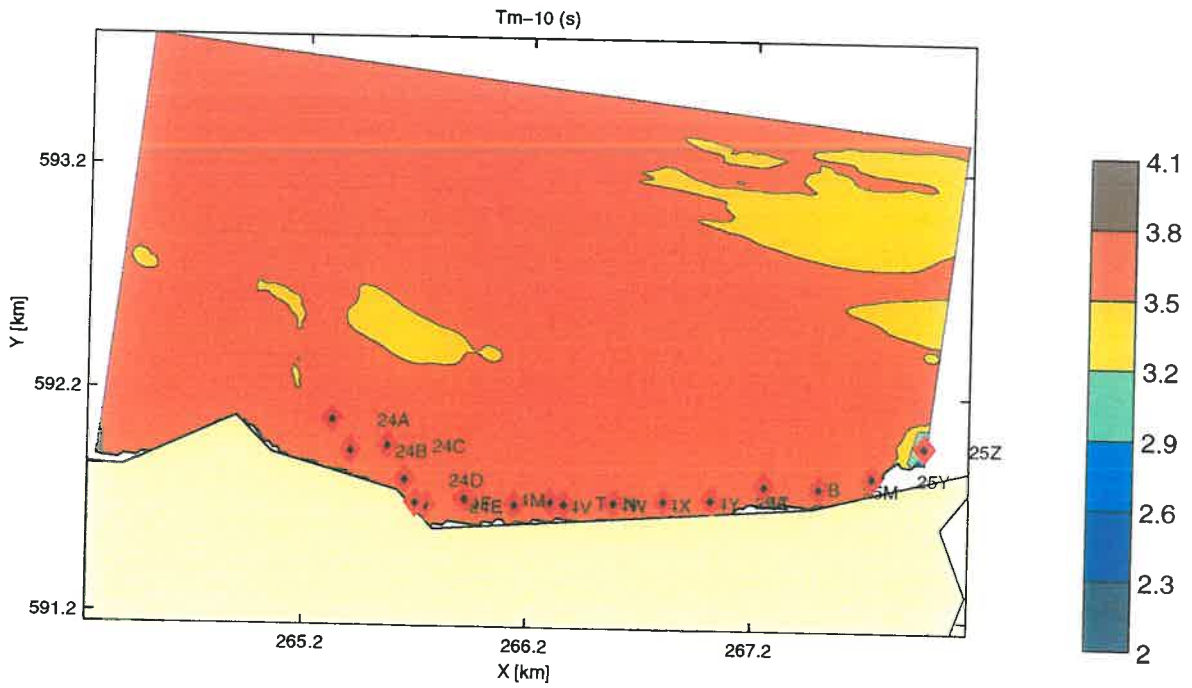
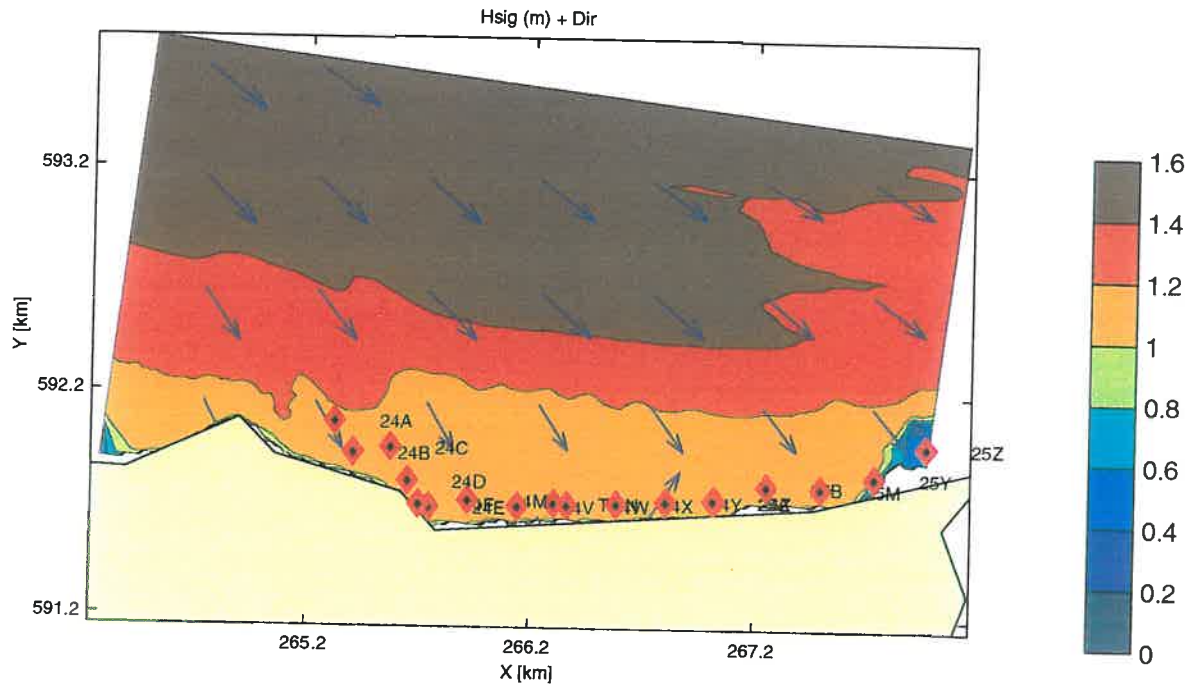
SWAN v40.01

WL | DELFT HYDRAULICS

H3761

Fig. E.7.e





Berekende Hs, Dir en Tm-10 (s) voor de Eems-Dollard

Run z10

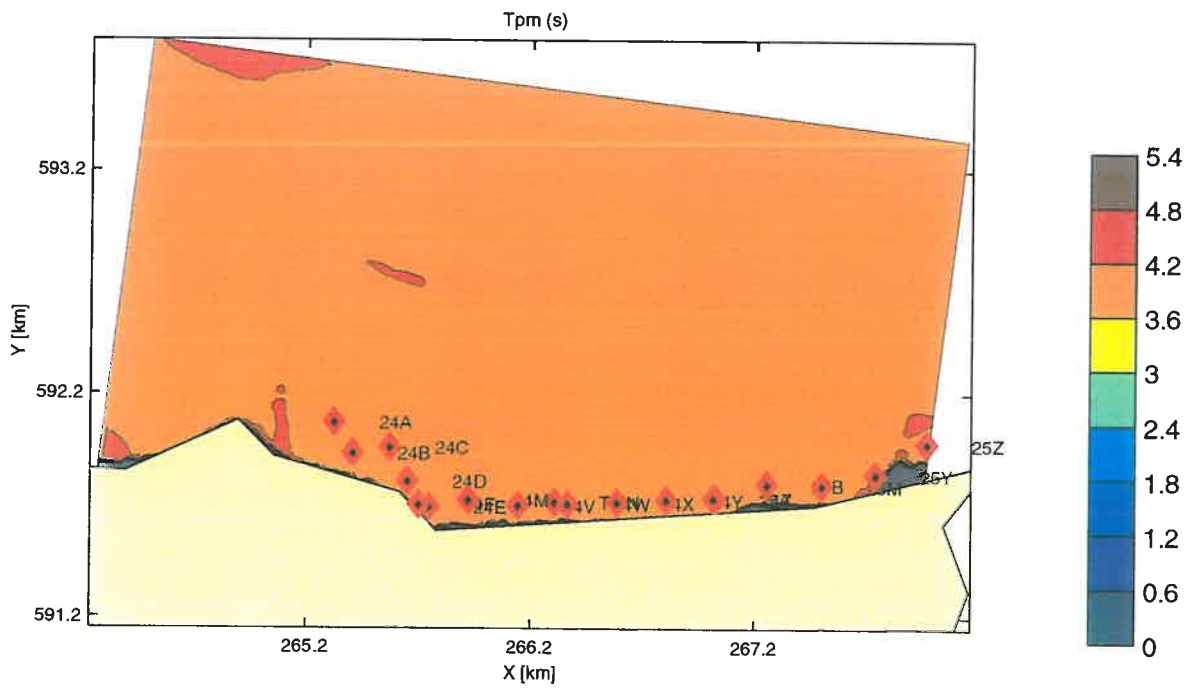
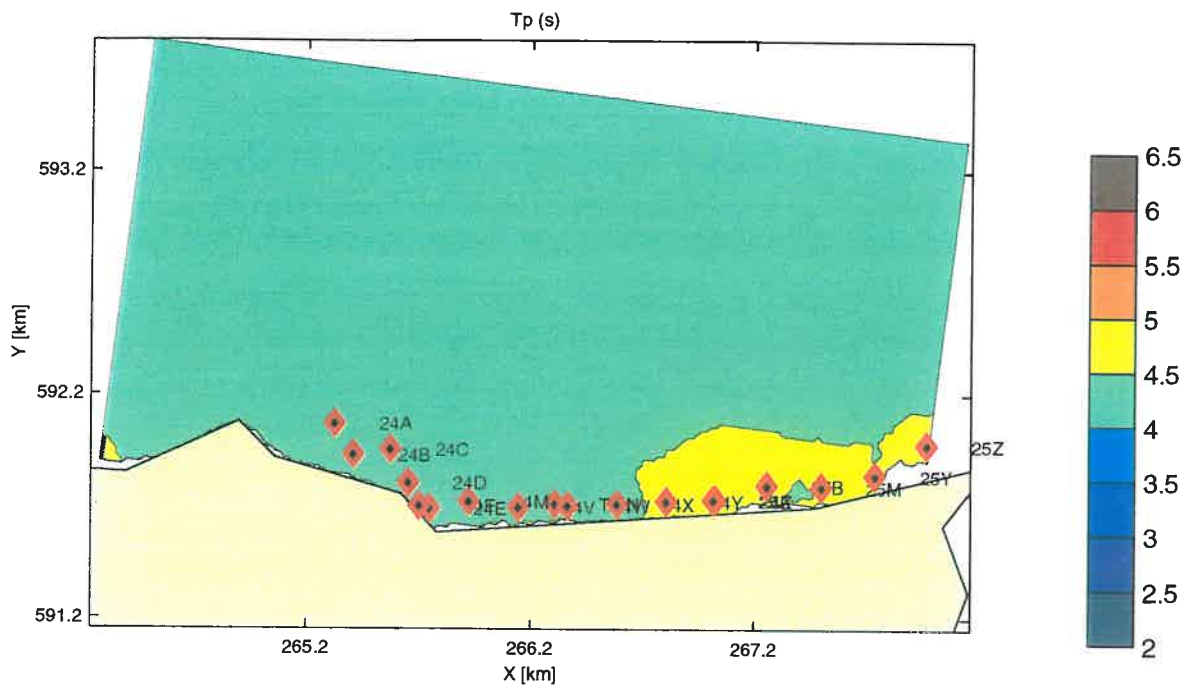
890214 06:00

SWAN v40.01

WL | DELFT HYDRAULICS

H3761

Fig. E.8.a



Berekende  $T_p$  (s) en  $T_{pm}$  (s) voor de Eems-Dollard

Run z10

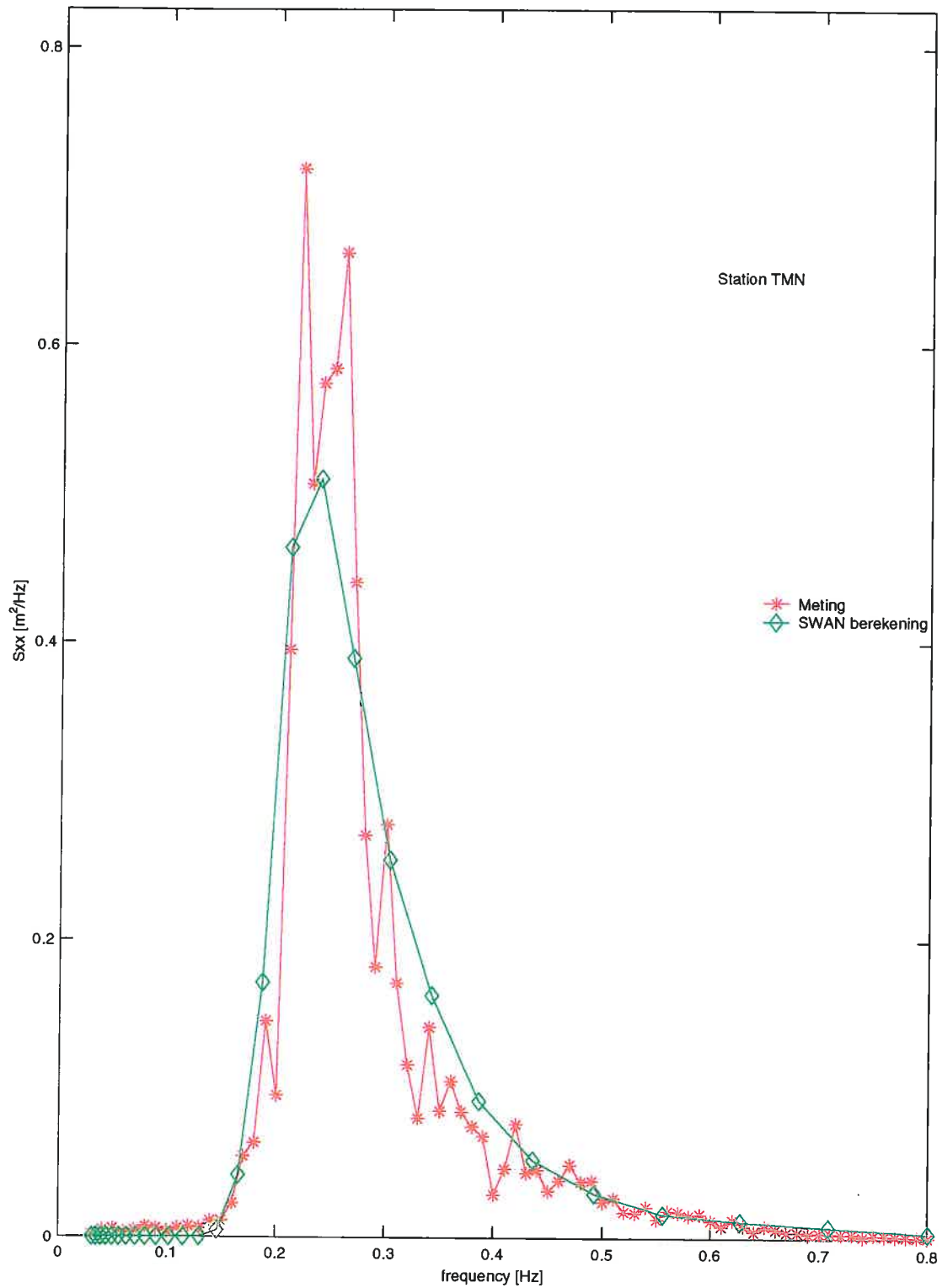
890214 06:00

SWAN v40.01

WL | DELFT HYDRAULICS

H3761

Fig. E.8.b



Berekende versus gemeten spectra in de Eems-Dollard

Run z10

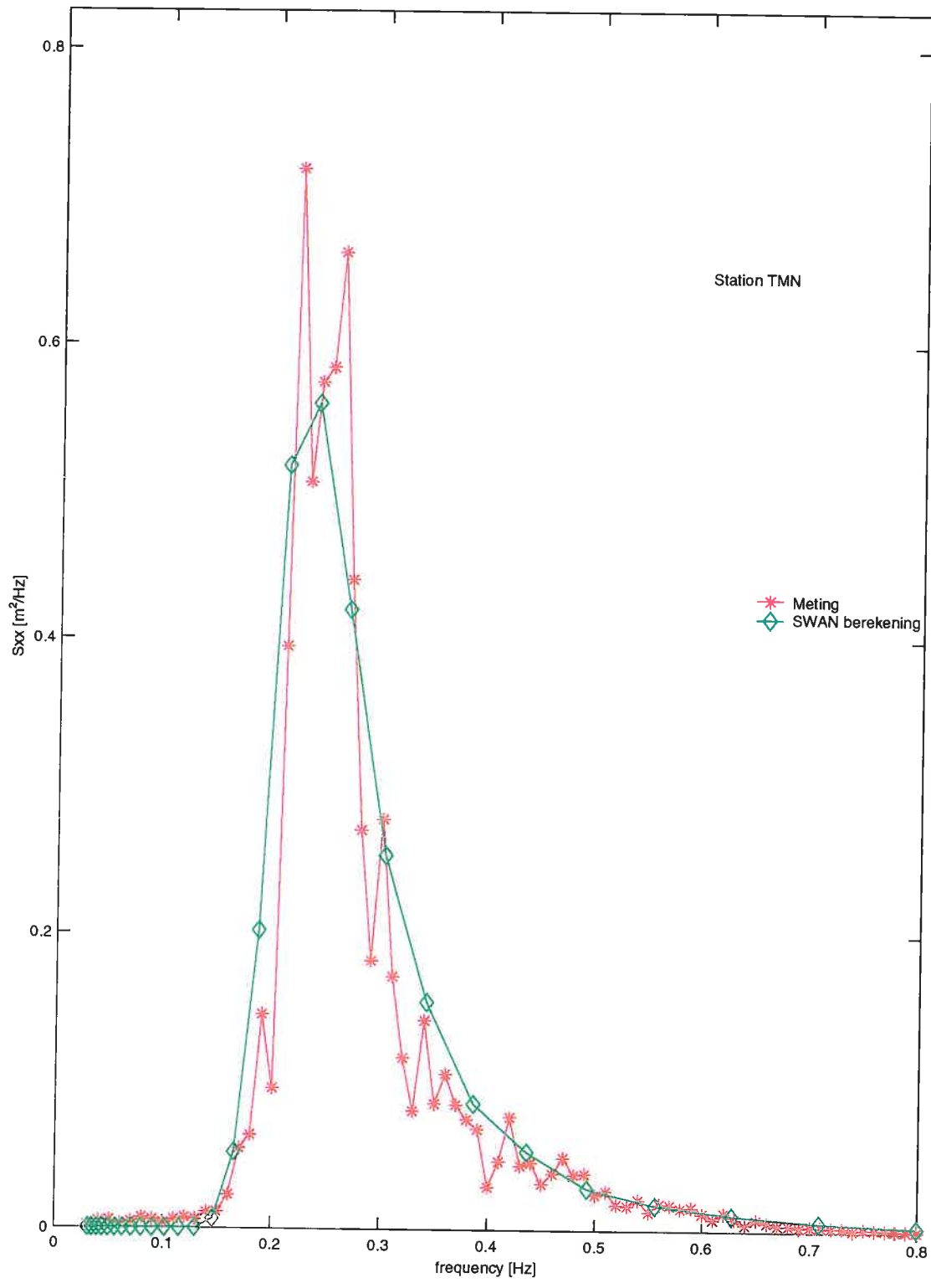
890214 06:00

SWAN v40.01

WL | DELFT HYDRAULICS

H3761

Fig. E.8.c



Berekende versus gemeten spectra in de Eems-Dollard

Run z11

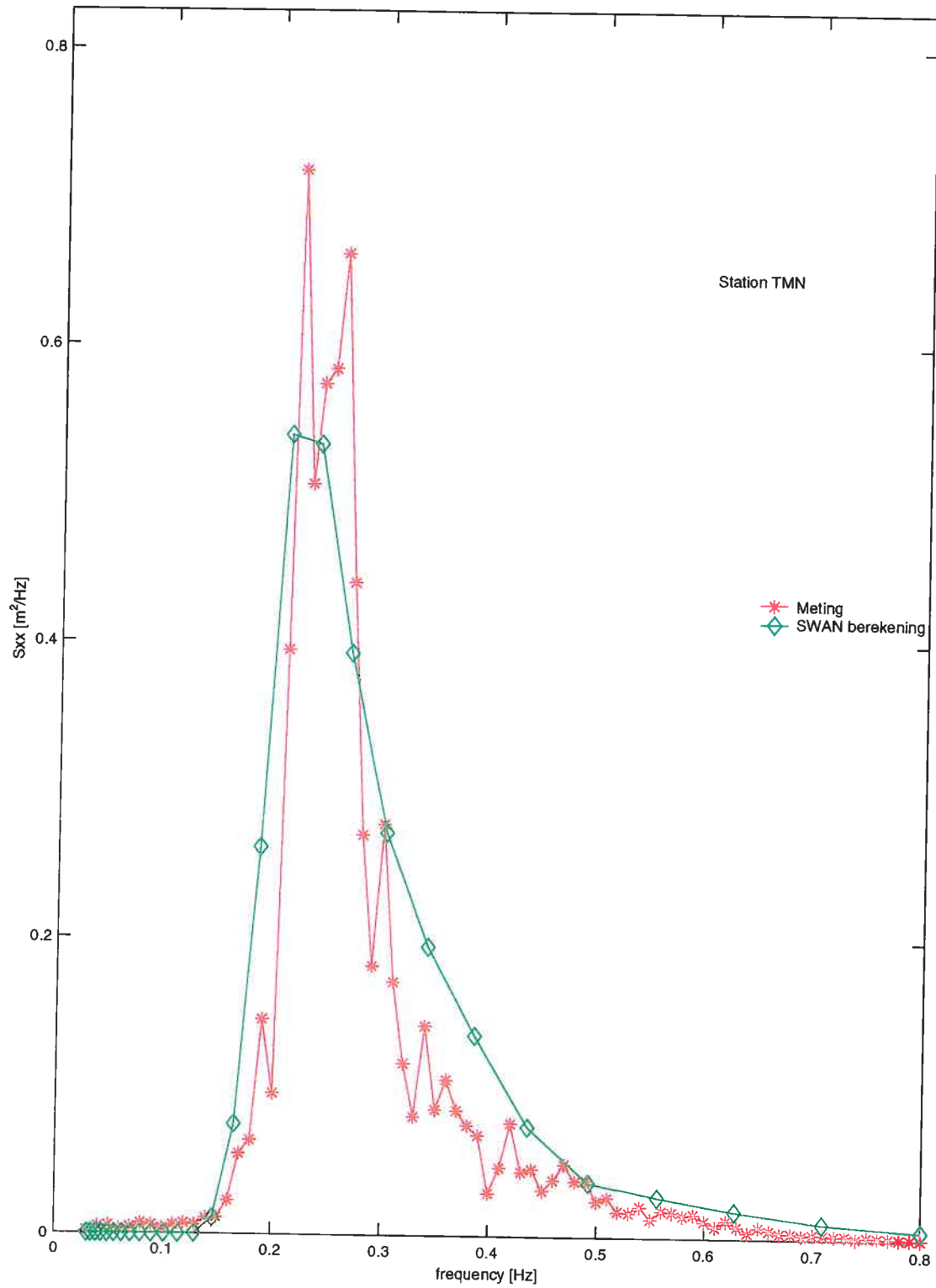
890214 06:00

SWAN v40.01

WL | DELFT HYDRAULICS

H3761

Fig. E.8.d



Berekende versus gemeten spectra in de Eems-Dollard

Run z12

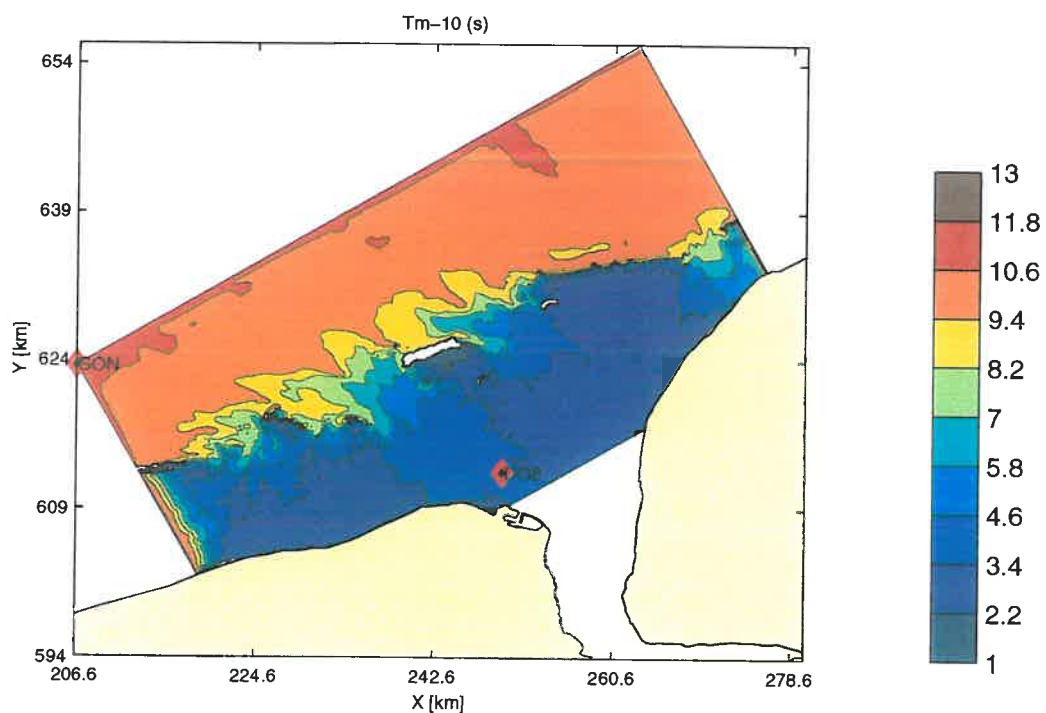
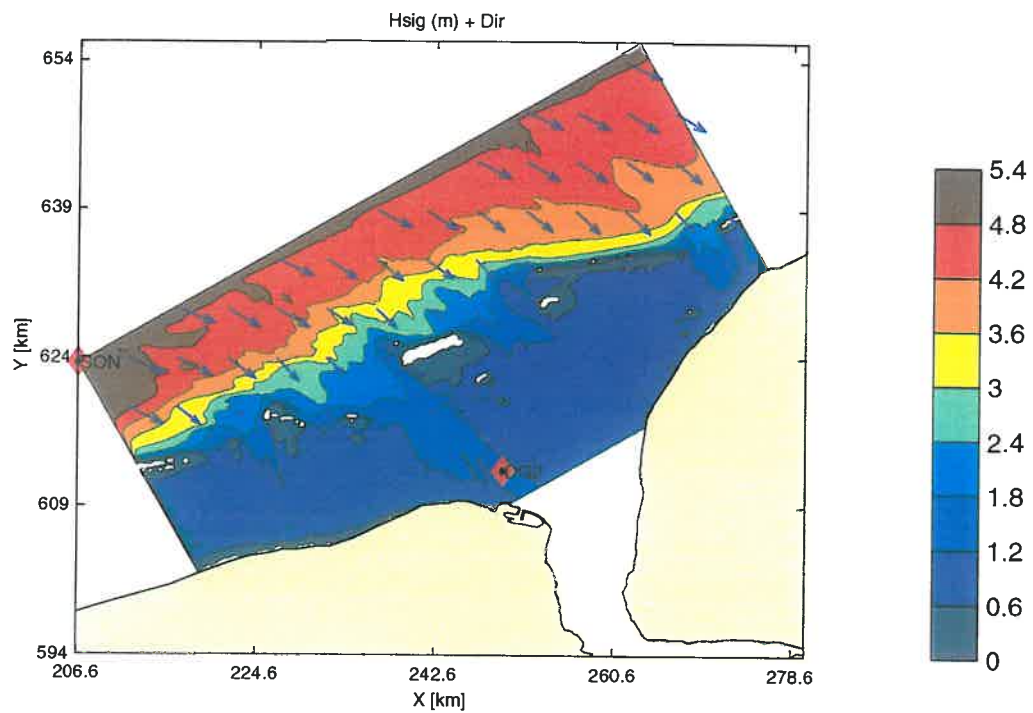
890214 06:00

SWAN v40.01

WL | DELFT HYDRAULICS

H3761

Fig. E.8.e



Berekende Hs, Dir en Tm-10 (s) voor de Eems-Dollard

Run c20

890214 16:00

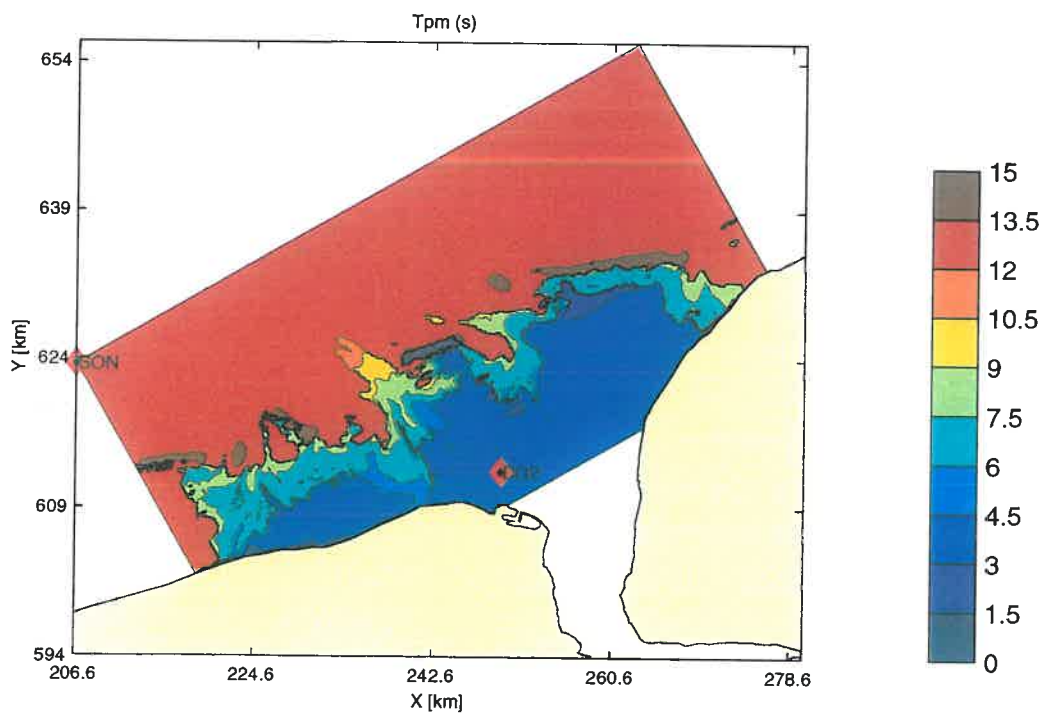
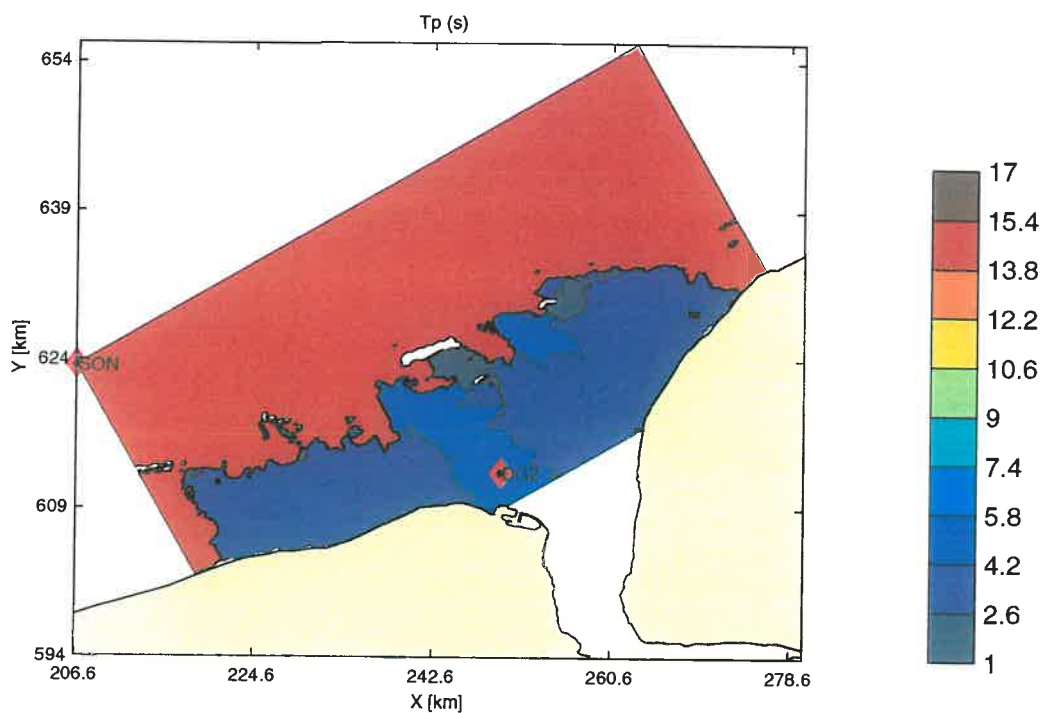
SWAN v40.01

WL | DELFT HYDRAULICS

H3761

Fig. E.9.a





Berekende Tp (s) en Tpm (s) voor de Eems-Dollard

Run c20

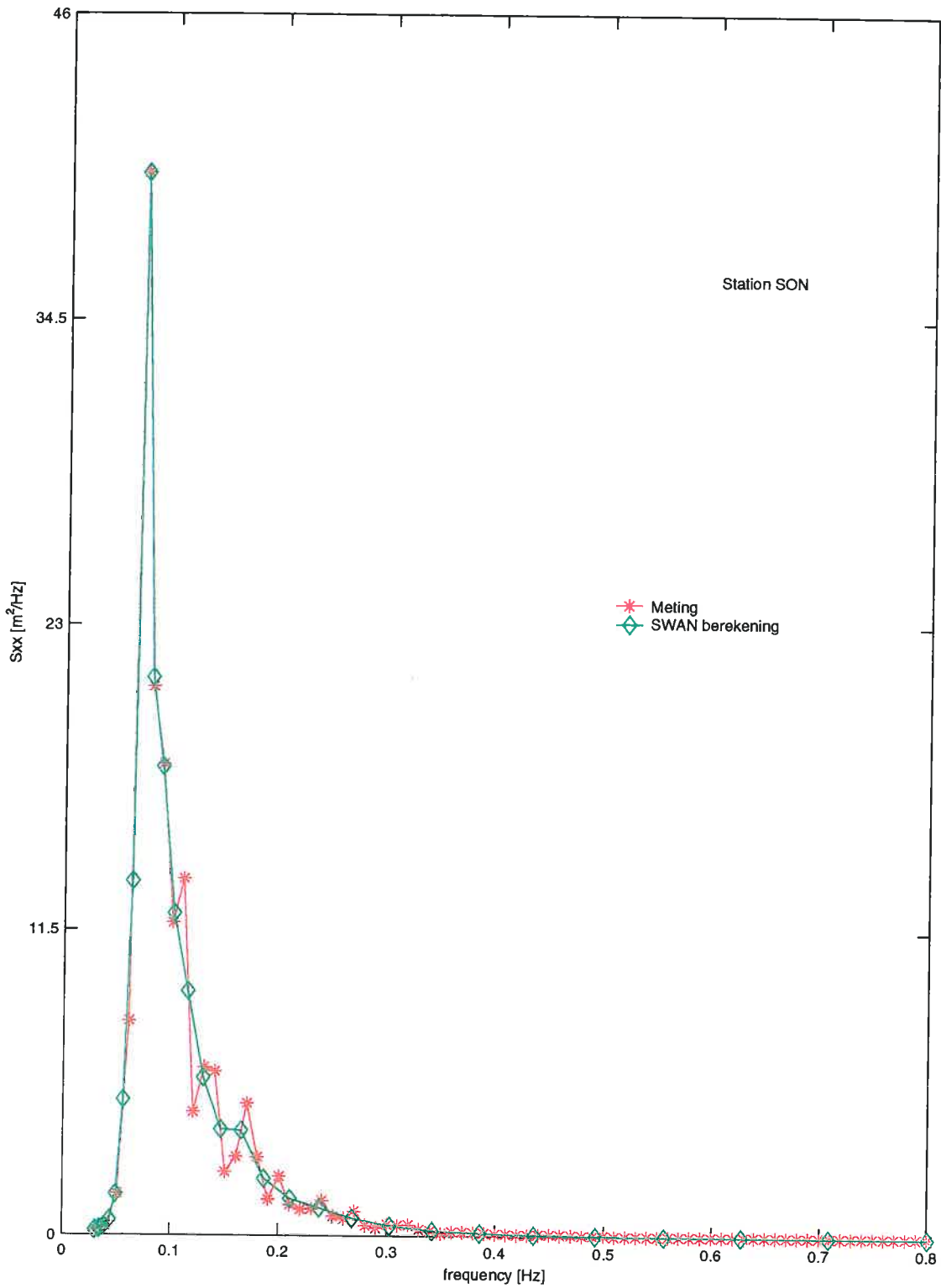
890214 16:00

SWAN v40.01

WL | DELFT HYDRAULICS

H3761

Fig. E.9.b



Berekende versus gemeten spectra (SON) in de Eems-Dollard

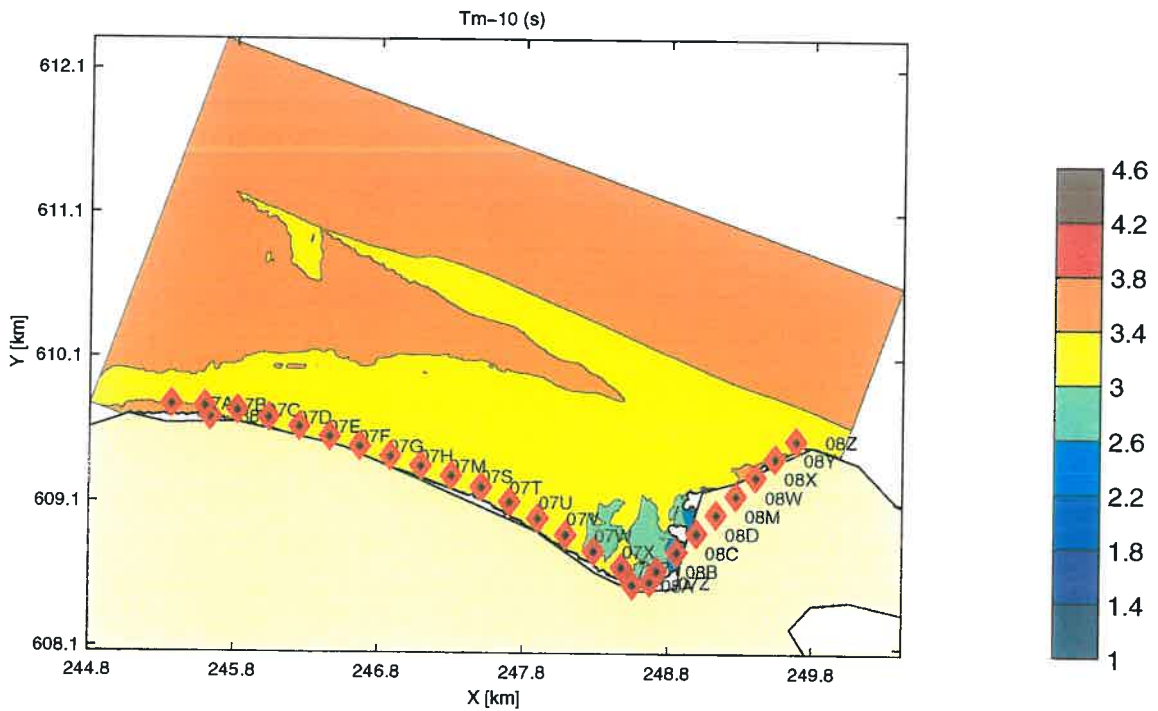
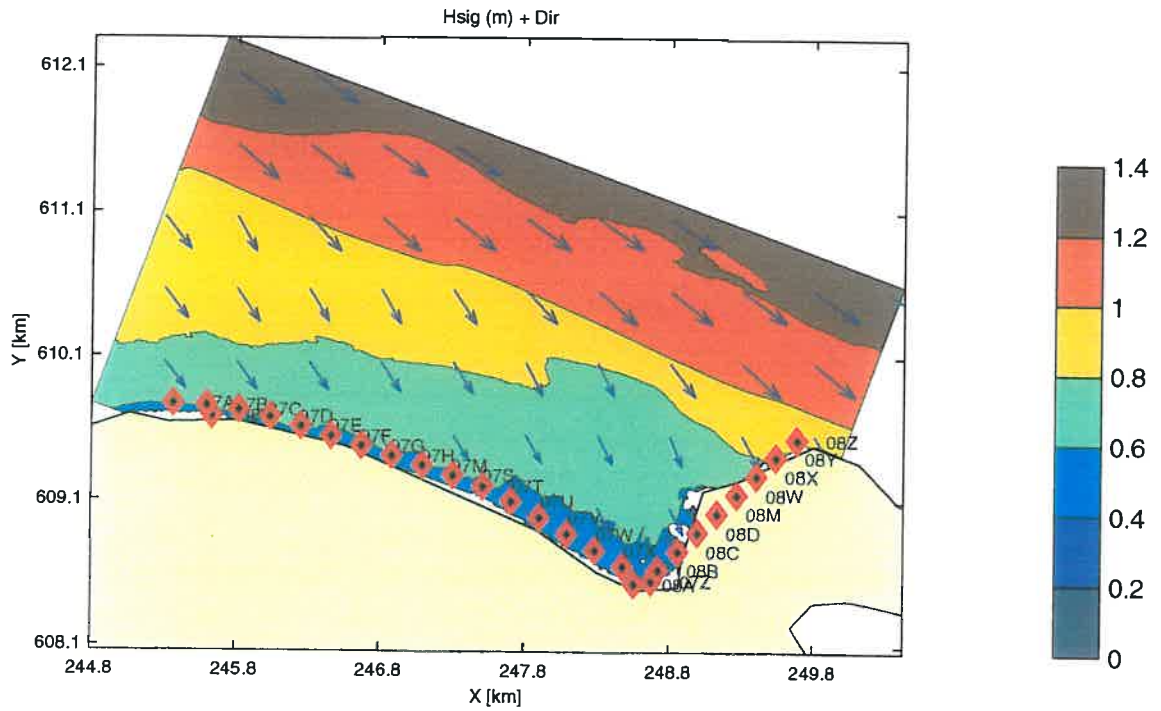
Run c20 890214 16:00

SWAN v40.01

WL | DELFT HYDRAULICS

H3761

Fig. E.9.c



Berekende Hs, Dir en Tm-10 (s) voor de Eems-Dollard

Run w20

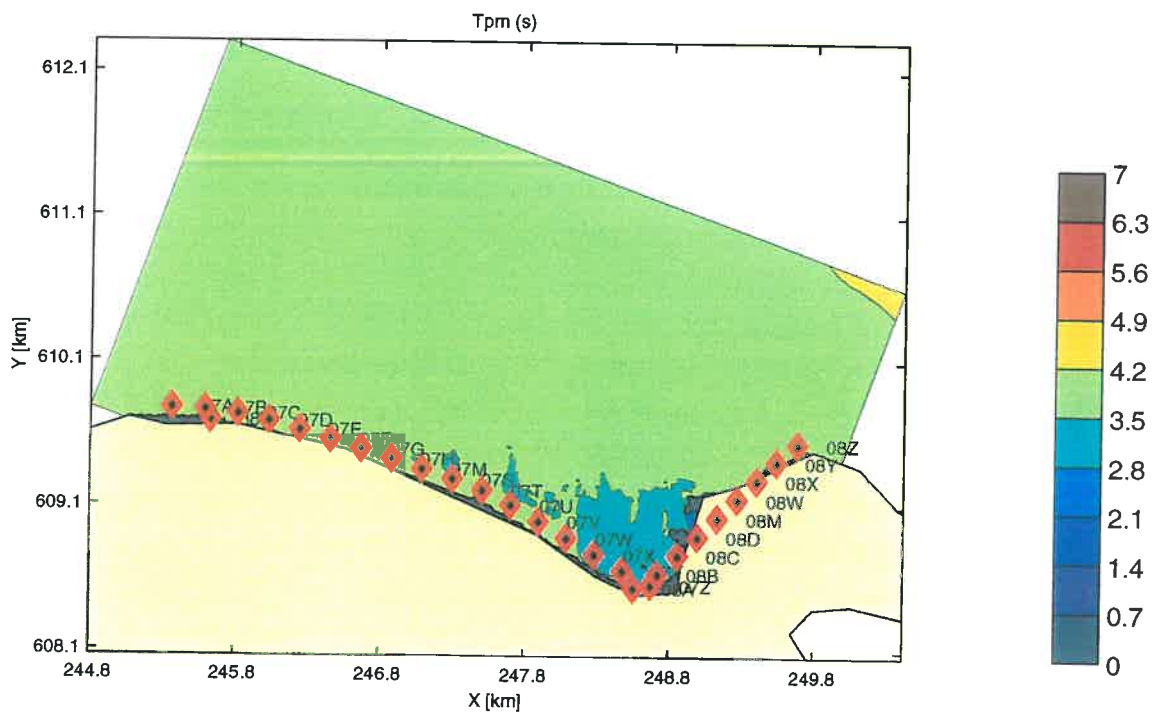
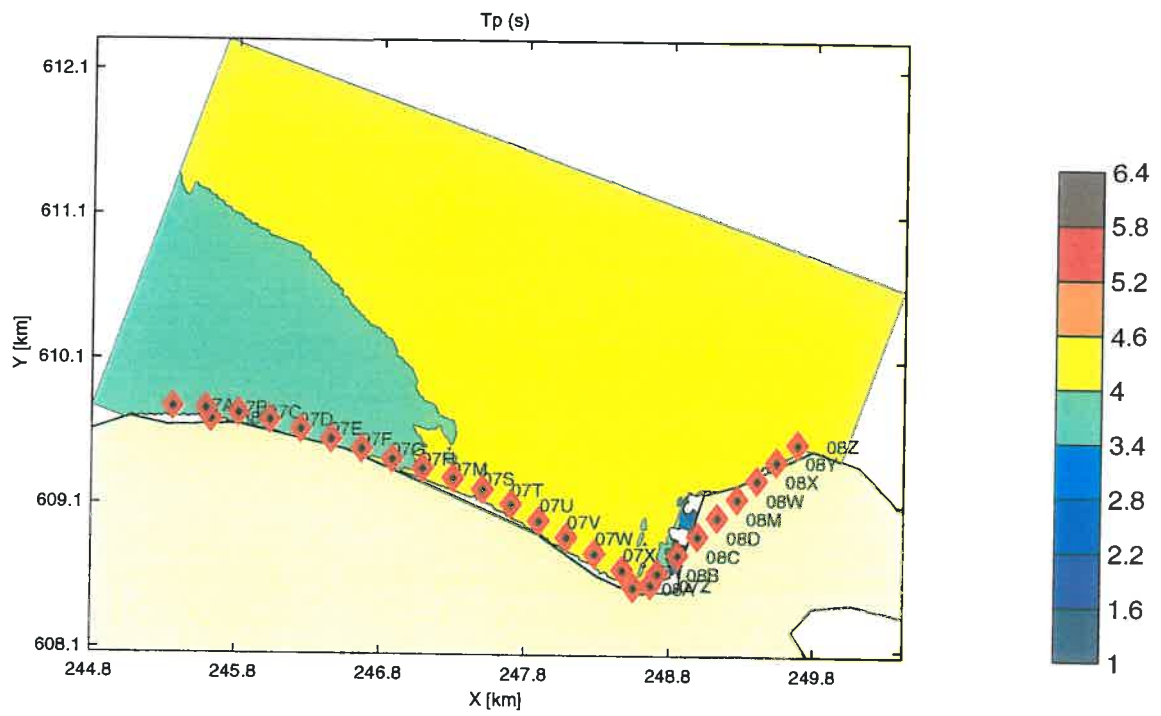
890214 16:00

SWAN v40.01

WL | DELFT HYDRAULICS

H3761

Fig. E.10.a



Berekende Tp (s) en Tpm (s) voor de Eems-Dollard

Run w20

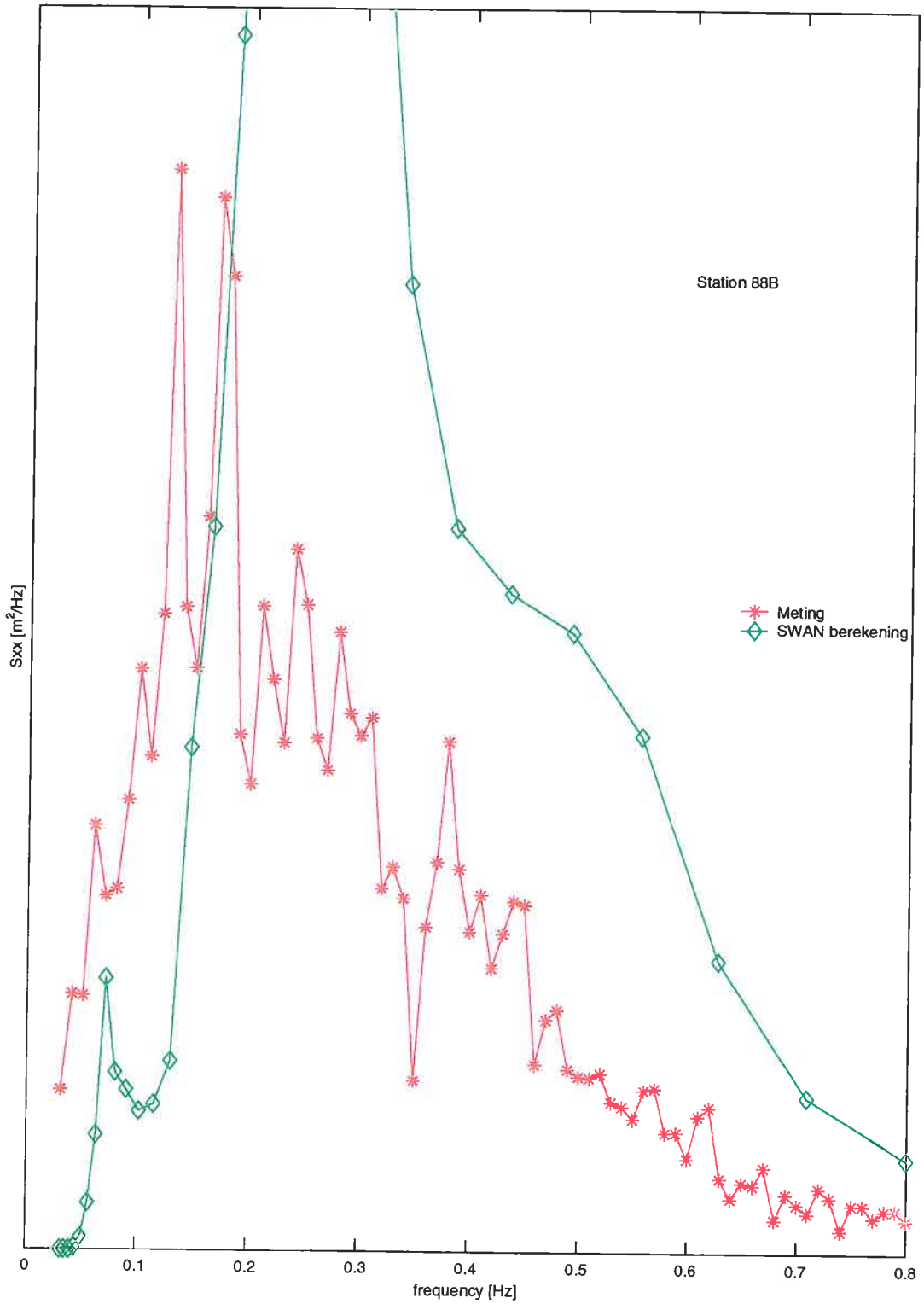
890214 16:00

SWAN v40.01

WL | DELFT HYDRAULICS

H3761

Fig. E.10.b



Berekende versus gemeten spectra in de Eems-Dollard

Run w20

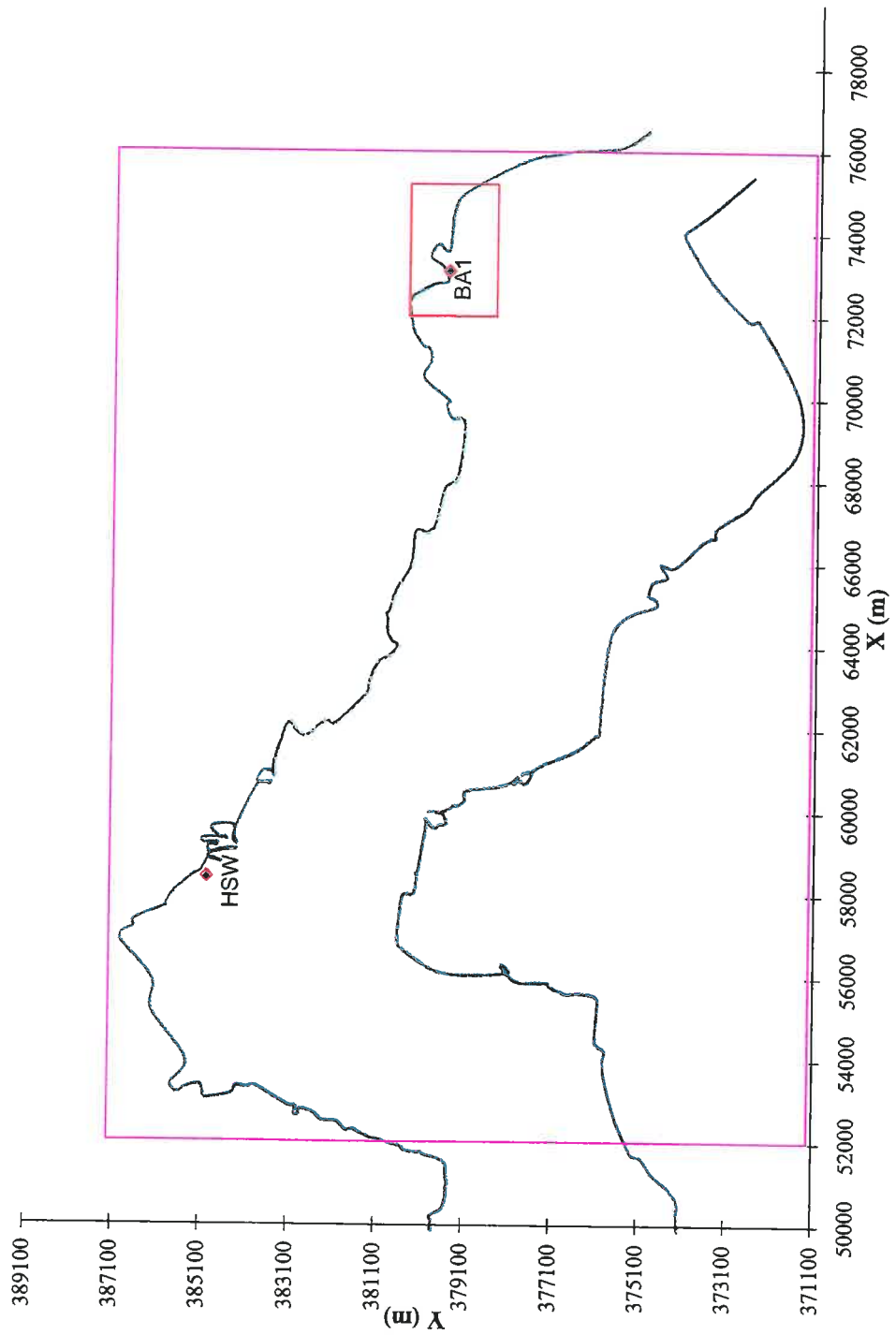
890214 16:00

SWAN v40.01

WL | DELFT HYDRAULICS

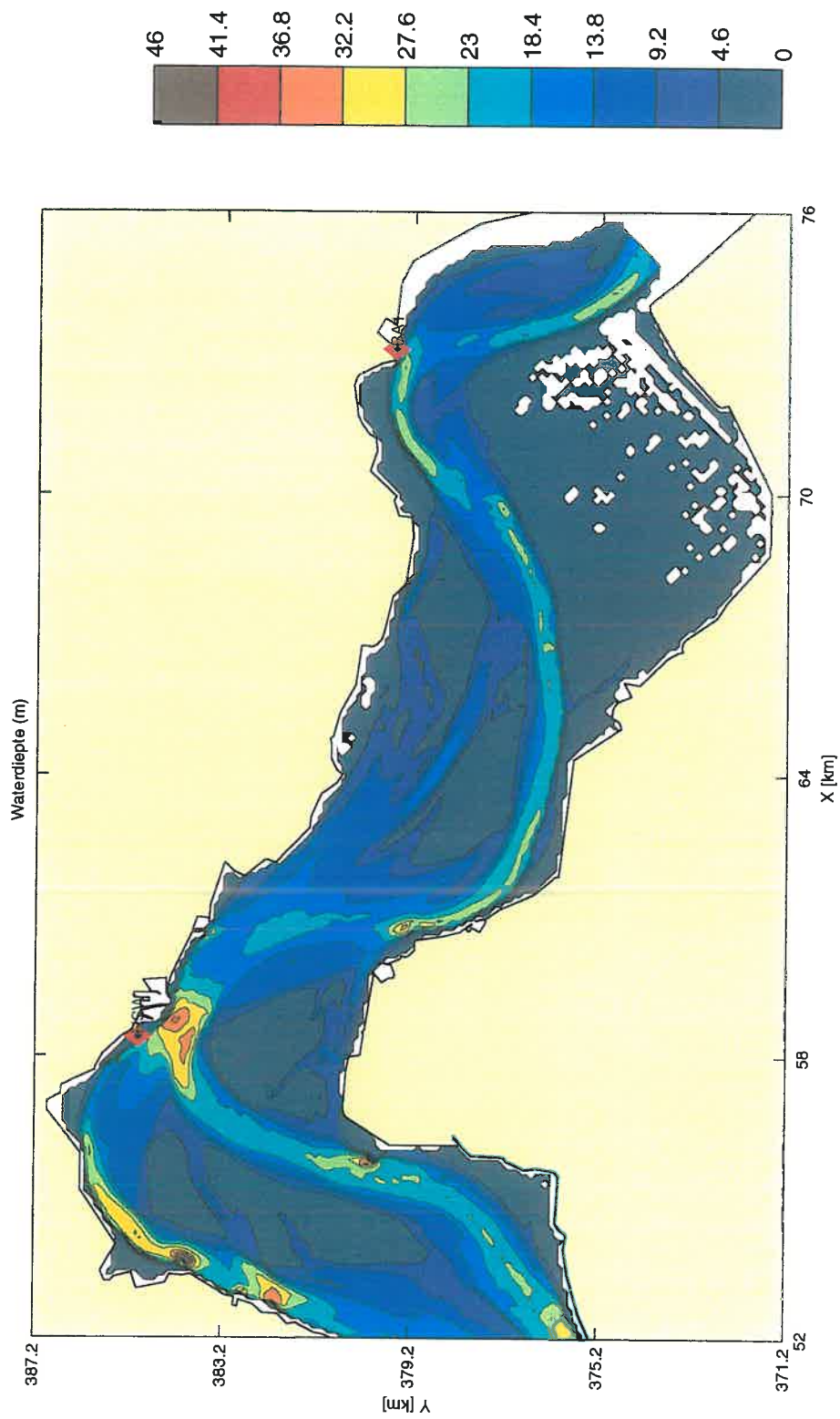
H3761

Fig. E.10.c



Rekenroosters Bath	Run c10	000528
<b>WL   DELFT HYDRAULICS</b>	H3761	Fig. F.1





Diepte schematisatie Bath

Run c10

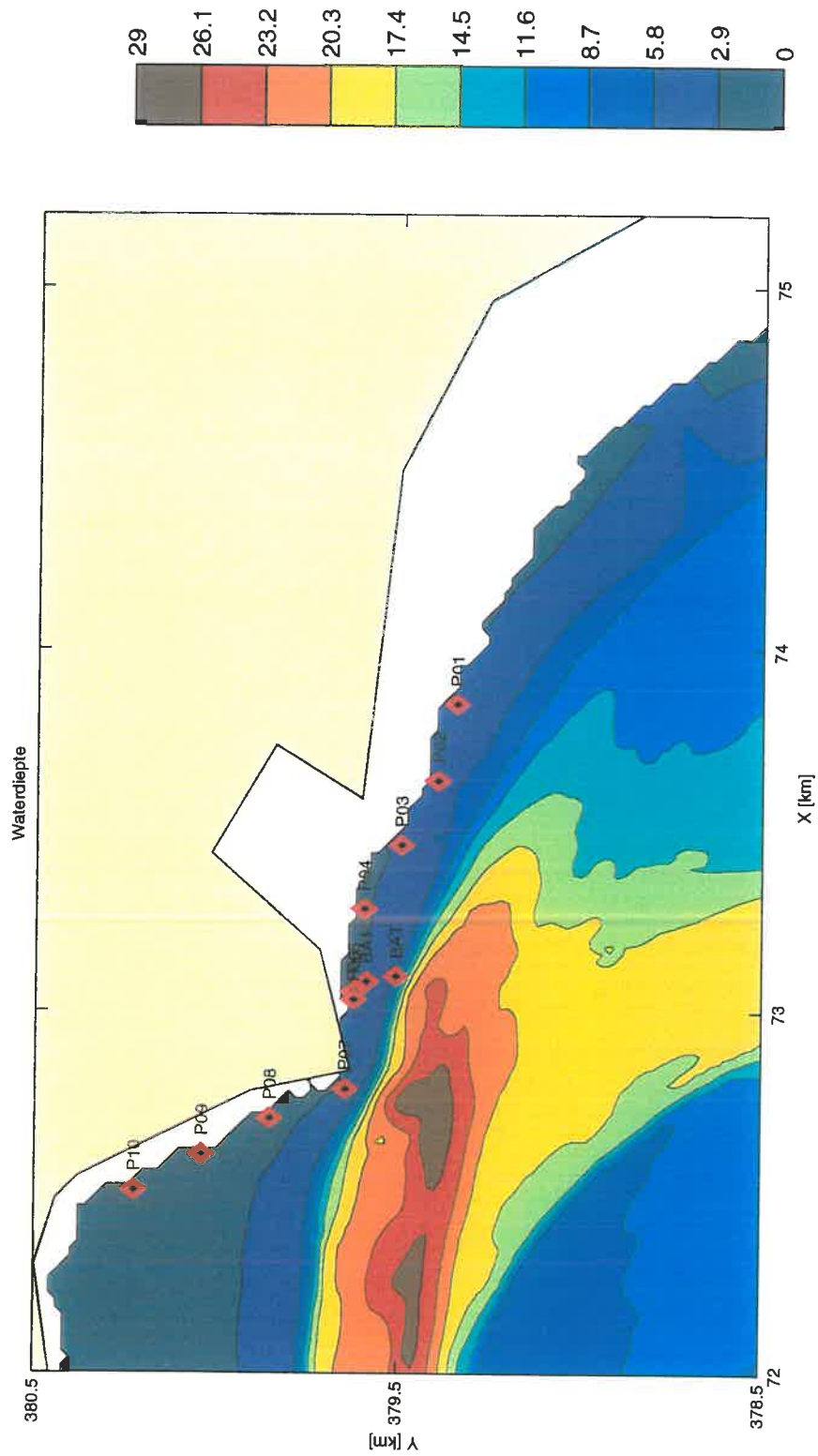
000528

SWAN v40.01

WL | DELFT HYDRAULICS

H3761

Fig. F.2.a



Diepte schematisatie Bath

Run f10

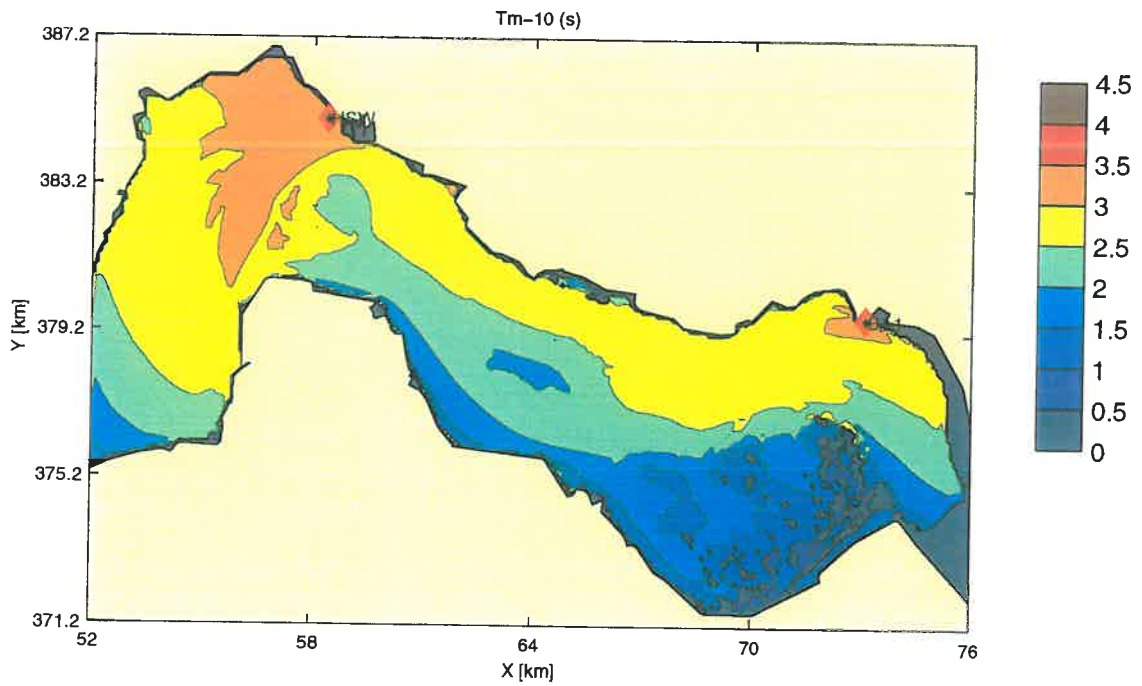
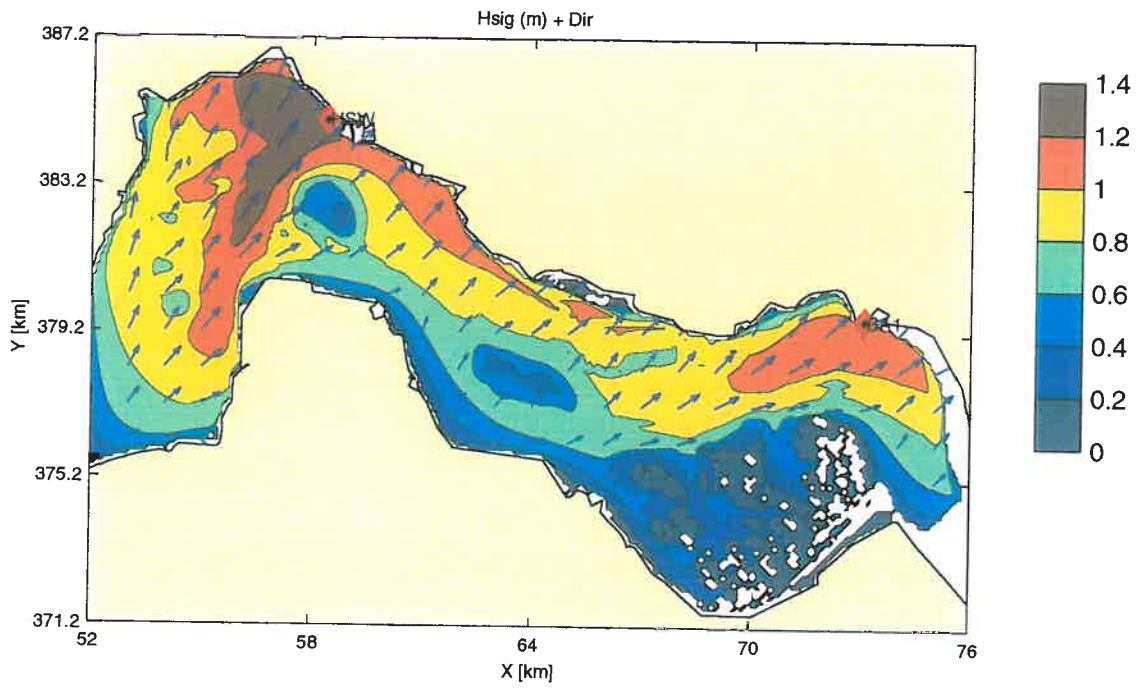
000528

SWAN v40.01

WL | DELFT HYDRAULICS

H3761

Fig. F.2.b



Berekende Hs, Dir en Tm-10 (s) voor Bath

Run c10

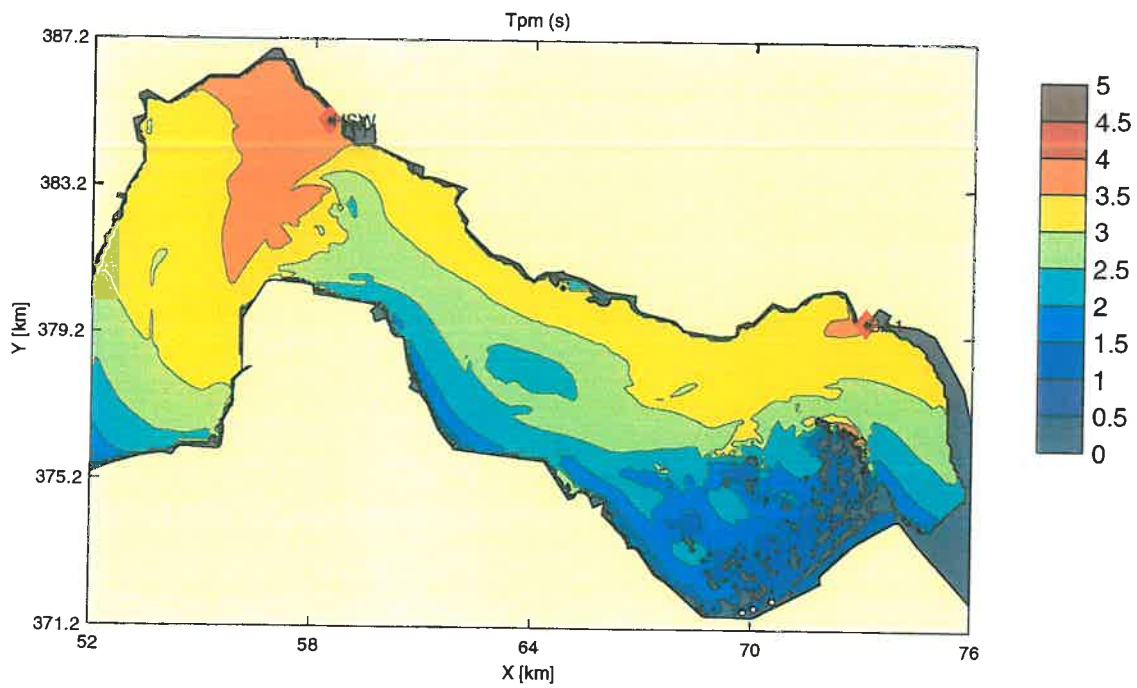
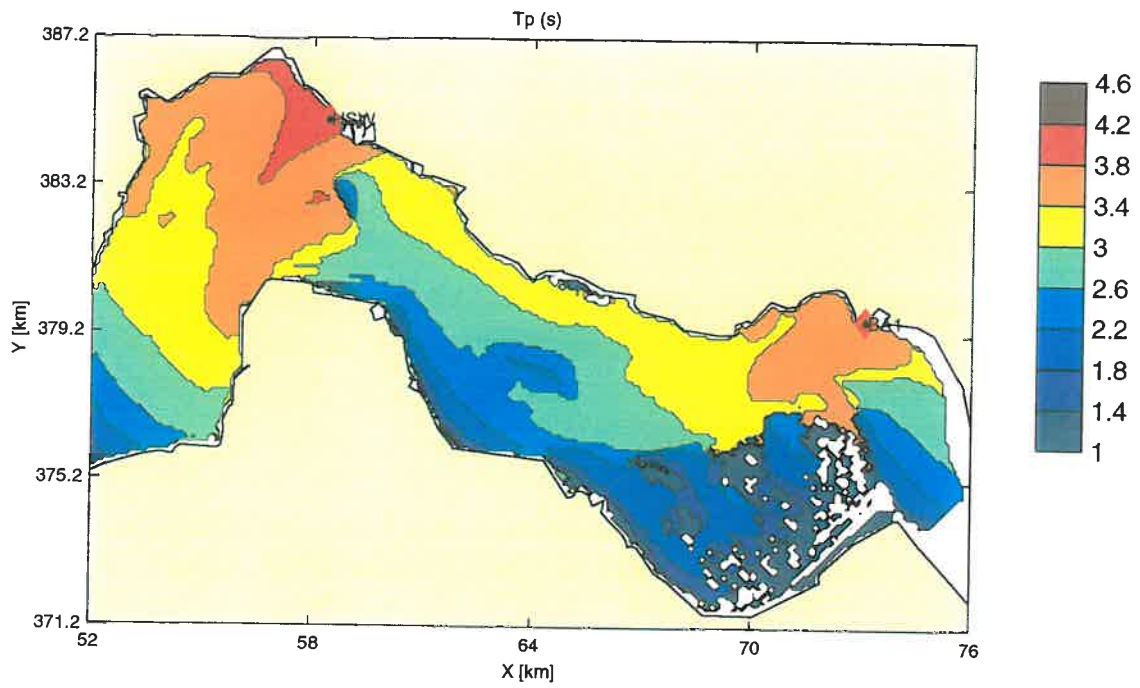
000528 11:30

SWAN v40.01

WL | DELFT HYDRAULICS

H3761

Fig. F.3.a



Berekende Tp (s) en Tpm (s) voor Bath

Run c10

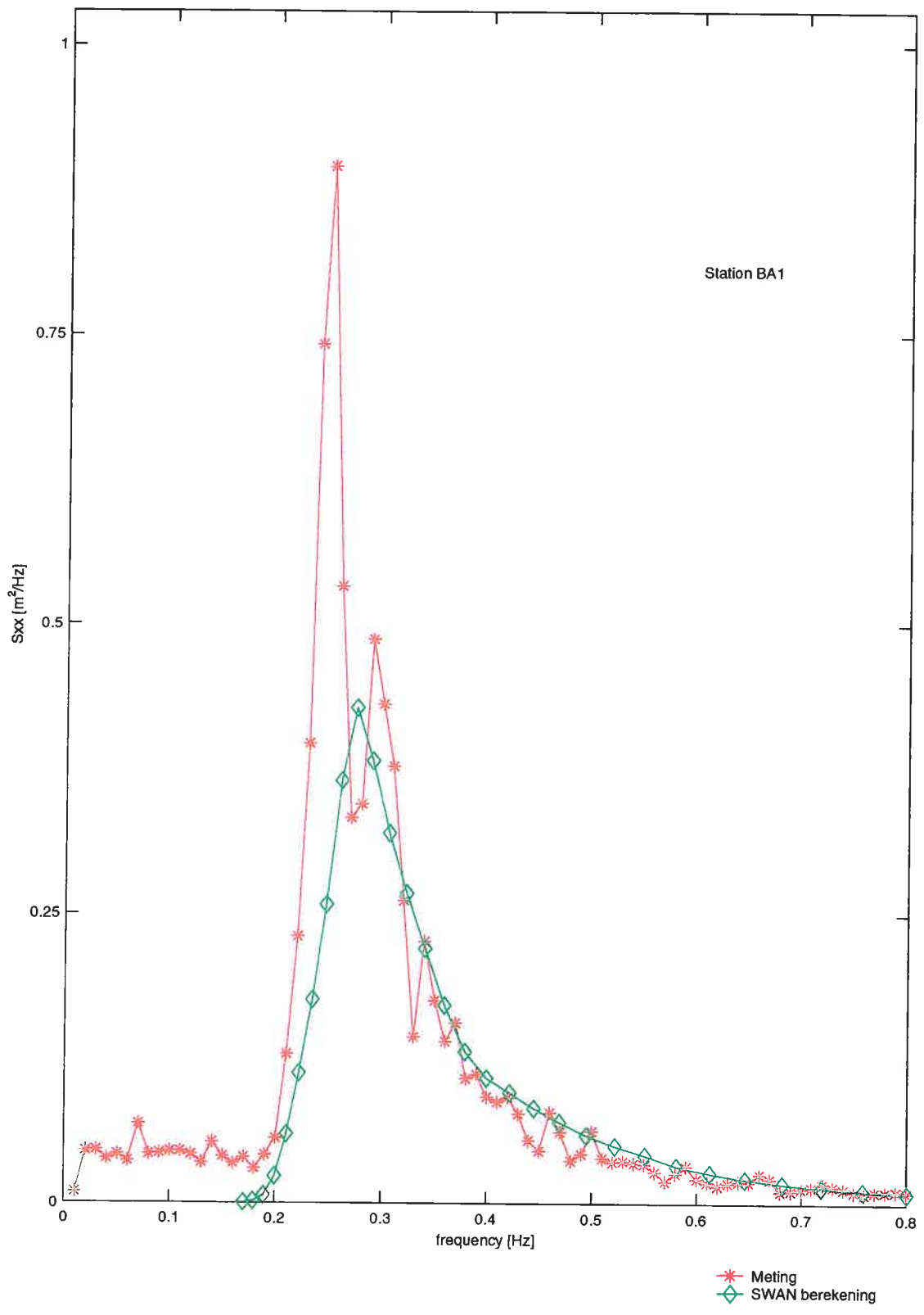
000528 11:30

SWAN v40.01

WL | DELFT HYDRAULICS

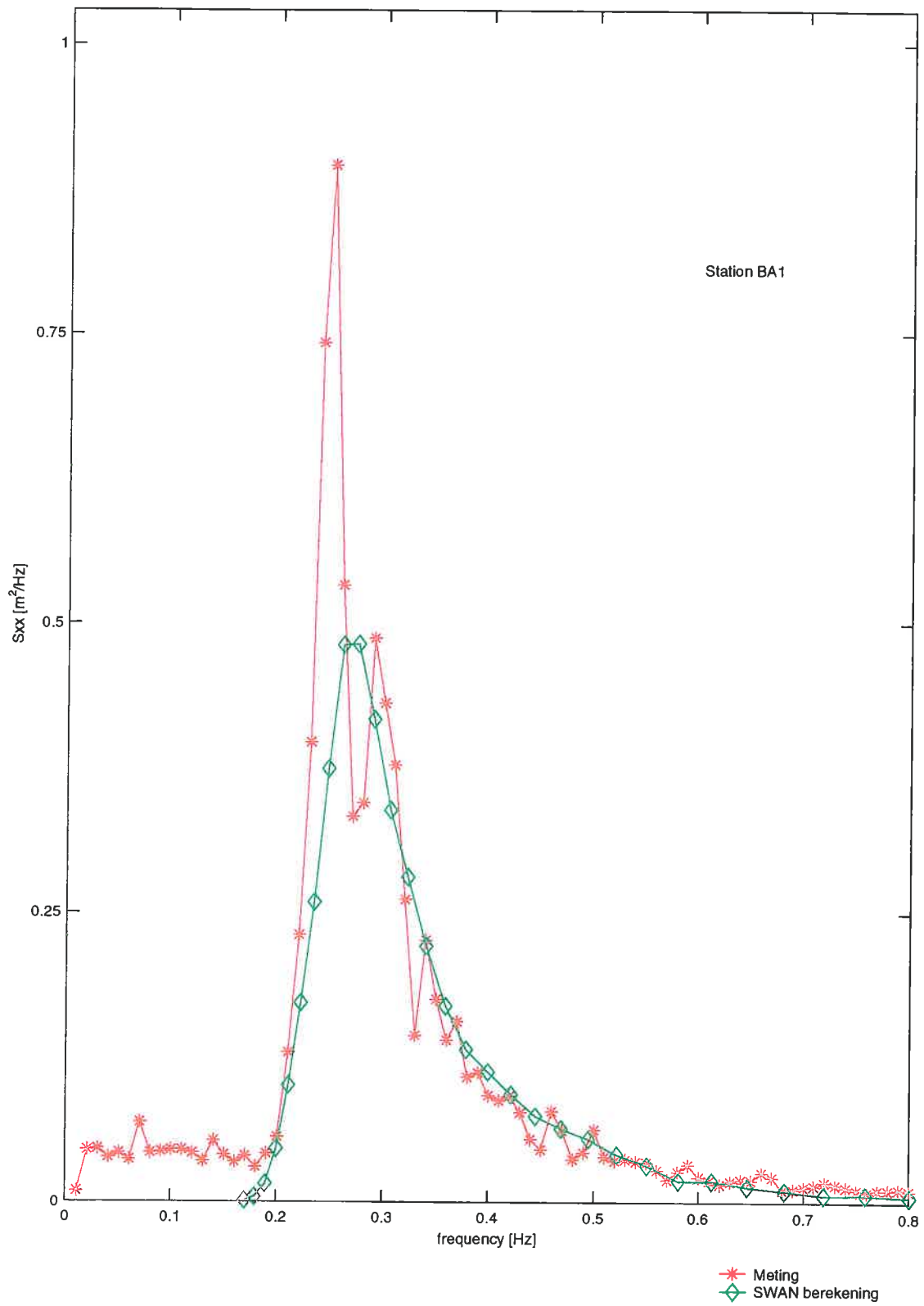
H3761

Fig. F.3.b



Berekende vs gemeten spectrum voor Bath	Run c10	000528 11:30
	SWAN v40.01	
WL   DELFT HYDRAULICS	H3761	Fig. F.3.c





Berekende vs gemeten spectrum voor Bath

Run c11

000528 11:30

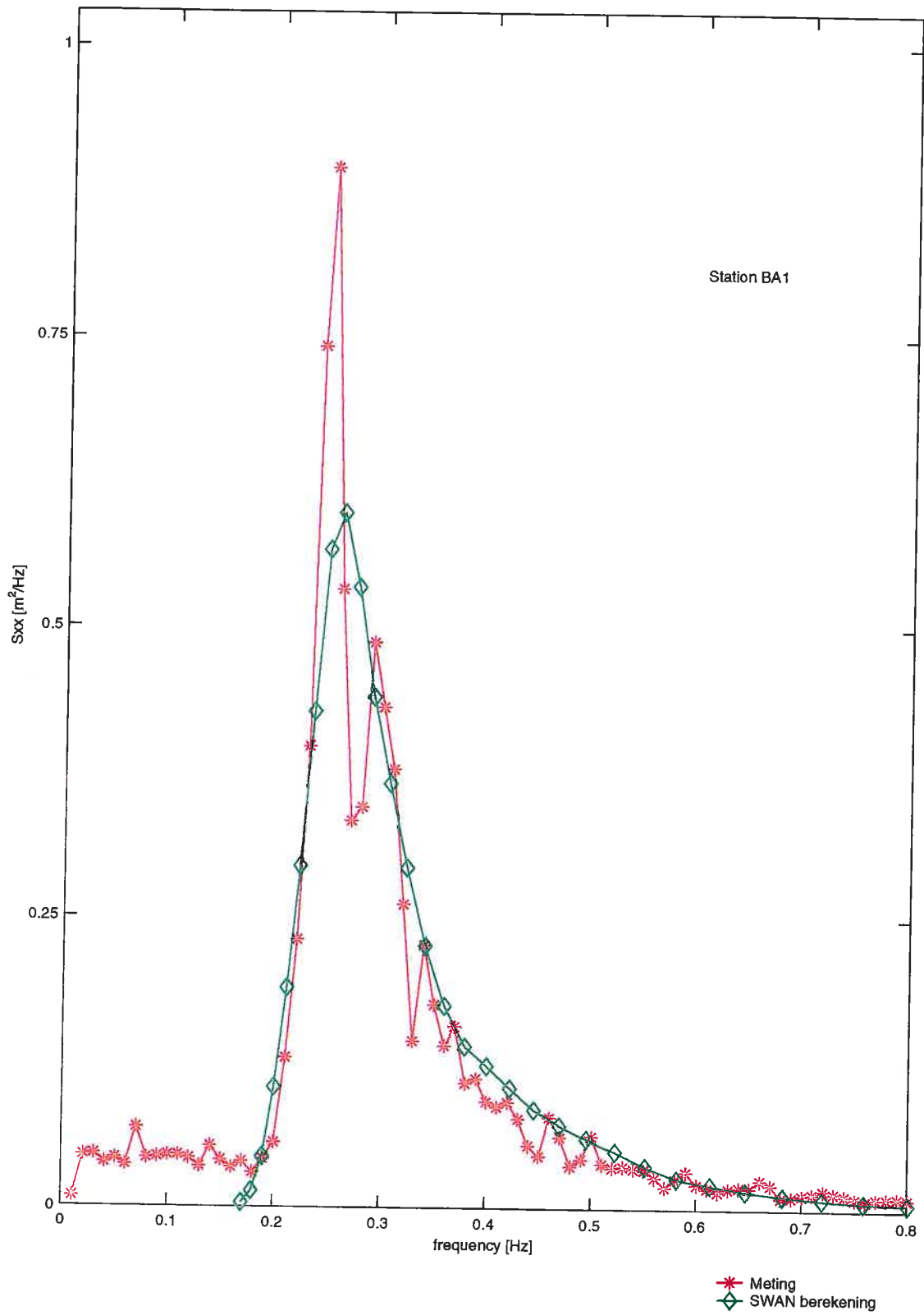
SWAN v40.01

WL | DELFT HYDRAULICS

H3761

Fig. F.3.d





Berekende vs gemeten spectrum voor Bath

Run c12

000528 11:30

SWAN v40.01

WL | DELFT HYDRAULICS

H3761

Fig. F.3.e